



การพัฒนาระบบที่ช่วยต่อ กับผู้ใช้สำหรับระบบตรวจวินิจฉัยป่วยที่มีปัญหาการกิน
Development of User Interface System for Dysphagia Patients Diagnostic System

วิเชียร วาทีกานท์

Wichian Vateekarn

Order Key... 20429
BIB Key... 161208

เจดหู..... QA402.5 268 2542 พ.2
เจดหูเบื้องบน.....
..... ๗๘ พ.๑ 2542

วิทยานิพนธ์วิศวกรรมศาสตรมหาบัณฑิต สาขาวิชาศึกษา
มหาวิทยาลัยสงขลานครินทร์

Master of Engineering Thesis in Electrical Engineering

Prince of Songkla University

2542

ชื่อวิทยานิพนธ์ การพัฒนาระบบที่อุปกรณ์ใช้สำหรับระบบตรวจวินิจฉัยป่วยที่มีปัญหาการกลืน
ผู้เขียน นาย วิเชียร วาทีกานท์
สาขาวิชา วิศวกรรมไฟฟ้า

คณะกรรมการที่ปรึกษา

.....
(ผู้ช่วยศาสตราจารย์ ดร.ชูศักดิ์ ลิ่มสกุล)

.....
(รองศาสตราจารย์ นพ.วิทูร ลีลามานิตย์)

.....
(ดร.นิตยา นินทรกิจ)

คณะกรรมการสอบ

.....
(ผู้ช่วยศาสตราจารย์ ดร.ชูศักดิ์ ลิ่มสกุล)

.....
(รองศาสตราจารย์ นพ.วิทูร ลีลามานิตย์)

.....
(ดร.นิตยา นินทรกิจ)

.....
(ผู้ช่วยศาสตราจารย์ บุญเรือง วงศ์กิตติศักดิ์)
.....
(ผู้ช่วยศาสตราจารย์ ดร.อาจิน จรชีพพัฒนา)

บัญชีติวิทยาลัย มหาวิทยาลัยสงขลานครินทร์ อนุมัติให้นับวิทยานิพนธ์ฉบับนี้เป็นส่วนหนึ่งของการศึกษา ตามหลักสูตรวิศวกรรมศาสตรมหาบัณฑิต สาขาวิชาศวกรรมไฟฟ้า

.....
(รองศาสตราจารย์ ดร.ก้าน จันทร์พรหมนา)
คณบดีบัญชีติวิทยาลัย

ชื่อวิทยานิพนธ์	การพัฒนาระบบที่อ่อนต่อ กับผู้ใช้สำหรับระบบตรวจสอบวินิจฉัยผู้ป่วยที่มีปัญหาการกลืน
ผู้เขียน	นาย วิเชียร วากิานันท์
สาขาวิชา	วิศวกรรมไฟฟ้า
ปีการศึกษา	2541

บทคัดย่อ

วิทยานิพนธ์ฉบับนี้กล่าวถึง การพัฒนาระบบที่อ่อนต่อ กับผู้ใช้สำหรับระบบตรวจสอบวินิจฉัยผู้ป่วยที่มีปัญหาการกลืน โดยโปรแกรมที่ถูกพัฒนาขึ้นจะประกอบด้วยหน้าจอการทำงานทั้งหมด 18 หน้าจอ มีปุ่มคำสั่งต่างๆ ให้เลือกใช้งานตามหน้าที่การทำงานที่แตกต่างกัน ในขั้นตอนโปรแกรมจะนำสัญญาณไฟฟ้ากล้ามเนื้อกลืนและกล้ามเนื้อจากอาสาสมัครที่ได้ทำการทดสอบ มาวิเคราะห์ด้วยวิธีทางคอมพิวเตอร์ 4 วิธีด้วยกันดังนี้

- 1) วิเคราะห์จากค่าความหนาแน่นของกล้ามเชิงสเปกตรัมที่ความถี่มีเดียน
- 2) วิเคราะห์จากค่าสูงสุดของค่าความหนาแน่นของกล้ามเชิงสเปกตรัม
- 3) วิเคราะห์โดยหาค่าสัมประสิทธิ์ของอัตรากำจัดไมเดเดล
- 4) วิเคราะห์โดยวิธีการหาค่าลักษณะสัญญาณในช่วงการกลืน

โดยผลที่ได้จากการวิเคราะห์ด้วยวิธีทางคอมพิวเตอร์ดังกล่าว โปรแกรมจะนำไปใช้เป็นพารามิเตอร์เพื่อทำการจำแนกหาผู้มีความผิดปกติด้านการกลืนด้วยวิธีการ โครงข่ายประสาท และพบว่า การจำแนกด้วยวิธีโครงข่ายประสาทรูปแบบที่ 1 ให้ผลดีกว่าการจำแนกด้วยวิธีโครงข่ายประสาทรูปแบบที่ 2 และรูปแบบที่ 3 ดังนี้ การจำแนกด้วยวิธีโครงข่ายประสาทรูปแบบที่ 1 ของกลุ่มกล้ามเนื้อกลืนและกลุ่มกล้ามเนื้อคอ มีปอร์เซ็นต์ความถูกต้อง 97% ส่วนการจำแนกด้วยวิธีโครงข่ายประสาทรูปแบบที่ 2 แบ่งเป็นของกลุ่มกล้ามเนื้อกลืน มีปอร์เซ็นต์ความถูกต้อง 91.4% และของกลุ่มกล้ามเนื้อคอ มีปอร์เซ็นต์ความถูกต้อง 77.1% ส่วนการจำแนกด้วยวิธีโครงข่ายประสาทรูปแบบที่ 3 ของกลุ่มกล้ามเนื้อกลืนและกลุ่มกล้ามเนื้อคอ มีปอร์เซ็นต์ความถูกต้อง 77.1% ตามลำดับ จากนั้นผลที่ได้ทั้งหมดนี้โปรแกรมจะนำมาทำการสรุปผลการวินิจฉัยว่า เป็นผู้มีความผิดปกติด้านการกลืนหรือเป็นคนปกติ หากผู้ใช้งานโปรแกรมได้รับทราบผ่านทางหน้าจอคอมพิวเตอร์ ได้สะท้อนรูปภาพ เรียว และมีประสิทธิภาพ

Thesis Title Development of User Interface System for Dysphagia Patients
Diagnostic System
Author Mr. Wichian Vateekarn
Major Program Electrical Engineering
Academic Year 1998

Abstract

This thesis describes the development of user interface system for dysphagia patients diagnostic system. This program is developed to consist of 18 windows, which are many command buttons to use differently. In the first step, signals from tongue muscles and neck muscles of subjects would be took to analyse by appropriate mathematical model by 4 various methods as following

- 1) Power Spectral Density at Median Frequency
- 2) Maximum of Power Spectral Density
- 3) Coefficient of Autoregressive Model
- 4) Power of Signal

Parameters analysed from the mathematical models would be used to classify the abnormal subjects by using the neural network. The results showed that classification by the neural network format 1 is better than the neural network format 2 and format 3. Classification format 1 of tongue muscles and neck muscles could correctly identify 97%. But classification format 2 of tongue muscles could correctly identify 91.4% while neck muscles could correctly identify 77.1%. For classification by the neural network format 3 of tongue muscles and neck muscles could correctly identify 77.1%. Then all of these results would be made a summary by this program that is dysphagia patients or normal subjects. User will get the results comfortably, quickly and efficiently on the monitor.

กิตติกรรมประกาศ

ขอแสดงคำขอบพระคุณผู้ช่วยศาสตราจารย์ ดร. ชูสักดิ์ ลิ่มนสกุล ประธานกรรมการที่ปรึกษา และรองศาสตราจารย์ นพ. วิทูร ลีตามานนิตย์ อาจารย์ที่ปรึกษาร่วมที่ได้ให้คำแนะนำเป็นอย่างดี รวมทั้งกรุณานำให้คำชี้แนะตลอดทั้งความรู้ทั้งหลายทั้งทางด้านวิศวกรรมศาสตร์และทางด้านการแพทย์ ช่วยเหลือหาเอกสาร ข้อมูลและการสนับสนุนอีกหลายประการ ตลอดจนกรุณาช่วยตรวจสอบแก้ไข วิทยานิพนธ์ดำเนินไปอย่างสมบูรณ์

ขอขอบพระคุณ ผู้ช่วยศาสตราจารย์ บุญเจริญ วงศ์กิตติศึกษา ใน การให้คำปรึกษาและความช่วยเหลือที่สำคัญต่องานวิจัย ตลอดจนกรุณาช่วยตรวจสอบแก้ไขวิทยานิพนธ์ฉบับนี้ จนทำให้ วิทยานิพนธ์ดำเนินไปอย่างสมบูรณ์

ขอขอบพระคุณ ดร.นิตยา นินทรกิจ และ ผู้ช่วยศาสตราจารย์ ดร.อา Jin จิรชัยพัฒนา ที่ให้ คำปรึกษาและกรุณาช่วยตรวจสอบแก้ไขวิทยานิพนธ์ฉบับนี้ จนกระทั่งบรรลุวัตถุประสงค์

ขอขอบพระคุณ สำนักงานพัฒนาวิทยาศาสตร์และเทคโนโลยีแห่งชาติ (สวทช.) ที่ให้ทุน บุคลากรศึกษาภายในประเทศ สำหรับเป็นทุนการศึกษาและทุนสนับสนุนงานวิจัยนี้

ขอขอบพระคุณ บุณนิชิมหาวิทยาลัยสหัสาครินทร์ ที่สนับสนุนทุนอุดหนุนการวิจัย

ขอบพระคุณคณาจารย์ และเจ้าหน้าที่ในภาควิชาวิศวกรรมไฟฟ้า ทุกท่านต่อการให้คำปรึกษาและความช่วยเหลือที่สำคัญ จนกระทั่งงานสำเร็จลุล่วง

สุดท้ายนี้ข้าพเจ้าขอն้อมระลึกถึงพระคุณ คุณ มีดิ นารดา ที่ส่งเสริมให้กำลังใจและ อุปถัมภ์ทางด้านการศึกษามาโดยตลอดจนประสบความสำเร็จ

วิเชียร วาทีกานท์

สารบัญ

	หน้า
บทคัดย่อ.....	(3)
Abstract.....	(4)
กิตติกรรมประกาศ.....	(5)
สารบัญ.....	(6)
รายการตาราง.....	(8)
รายการภาพประกอบ.....	(12)
ตัวย่อและสัญลักษณ์.....	(21)
บทที่	
1 บทนำ.....	1
1.1 ความสำคัญและที่มาของหัวข้อวิจัย.....	1
1.2 วัตถุประสงค์.....	2
1.3 ขอบเขตการวิจัย.....	3
1.4 ขั้นตอนและวิธีดำเนินการวิจัย.....	4
1.5 ประโยชน์ที่คาดว่าจะได้รับ.....	5
2 การพัฒนาโปรแกรมระบบตรวจวินิจฉัยผู้ป่วยที่มีปัญหาการกลืน.....	6
2.1 ซอฟต์แวร์ที่ใช้ในการพัฒนาโปรแกรม.....	8
2.2 การออกแบบโครงสร้างการทำงานและรูปแบบหน้าจอการทำงานในโปรแกรม..	10
3 สมการคณิตศาสตร์ที่ใช้ในโปรแกรมระบบตรวจวินิจฉัยผู้ป่วยที่มีปัญหาการกลืน.....	40
3.1 การวิเคราะห์จากค่าความหนาแน่นของกำลังเชิงสเปกตรัมที่ความถี่มีเดียน.....	41
3.2 การวิเคราะห์หาค่าสูงสุดของค่าความหนาแน่นของกำลังเชิงสเปกตรัม.....	45
3.3 การวิเคราะห์ค่าสัมประสิทธิ์ของอัตรากำลังเชิงสเปกตรัม.....	49
3.4 การวิเคราะห์ค่ากำลังของสัญญาณในช่วงการกลืน.....	54

หน้า

บทที่

4 การจำแนกผู้มีปัญหาการกลืนโดยวิธีโครงข่ายประสาท.....	58
4.1 การจำแนกด้วยโครงข่ายประสาท.....	58
4.2 เครื่องมือและวิธีการวัดสัญญาณไฟฟ้ากล้ามเนื้อคืนและกล้ามเนื้อคง.....	63
4.3 รูปแบบของโครงข่ายประสาทที่ใช้ในการจำแนก.....	64
5 ผลการทดลองโปรแกรมระบบตรวจวินิจฉัยผู้ป่วยที่มีปัญหาการกลืน.....	98
5.1 ผลการทดลองการใช้งานฟังก์ชันการทำงานต่างๆ ในโปรแกรม.....	98
5.2 ผลการทดลองโครงสร้างการทำงานและส่วนประกอบต่างๆ ของระบบตรวจวินิจฉัย.....	121
5.3 ผลการทดลองตรวจสอบความถูกต้อง แม่นยำ ของระบบตรวจวินิจฉัย.....	123
5.4 สรุปผลการทดลอง.....	124
5.5 สรุปและข้อเสนอแนะ.....	125
บรรณานุกรม.....	126
ภาคผนวก.....	129
ภาคผนวก ก. คุณลักษณะและรายละเอียดการใช้งานเบื้องต้นของซอฟต์แวร์ LabWindows/CVI for Windows Version 4.0.1.....	129
ภาคผนวก ข. คุณสมบัติและรายละเอียดของการ์ด Lab-PC-1200/AI.....	140
ประวัติผู้เขียน.....	145

รายการตาราง

ตาราง	หน้า
4-1ก แสดงค่าน้ำหนักที่ได้จากการเรียนรู้ ด้วยโครงข่ายประสาทรูปแบบที่ 1 กับพารามิเตอร์ที่ได้จากการคำนวณหาค่าความหนาแน่นของกำลังเชิงสเปกตรัมที่ความถี่มีเดียนของสัญญาณกลุ่มกล้านเนื้อดิน.....	65
4-1ข แสดงค่าน้ำหนักที่ได้จากการเรียนรู้ ด้วยโครงข่ายประสาทรูปแบบที่ 1 กับพารามิเตอร์ที่ได้จากการคำนวณหาค่าความหนาแน่นของกำลังเชิงสเปกตรัมที่ความถี่มีเดียนของสัญญาณกลุ่มกล้านเนื้อคอ.....	66
4-2ก แสดงผลการทดสอบ โครงข่ายประสาทรูปแบบที่ 1 กับพารามิเตอร์ที่ได้จากการคำนวณหาค่าความหนาแน่นของกำลังเชิงสเปกตรัมที่ความถี่มีเดียนของสัญญาณไฟฟ้ากลุ่มกล้านเนื้อดิน.....	67
4-2ข แสดงผลการทดสอบ โครงข่ายประสาทรูปแบบที่ 1 กับพารามิเตอร์ที่ได้จากการคำนวณหาค่าความหนาแน่นของกำลังเชิงสเปกตรัมที่ความถี่มีเดียนของสัญญาณไฟฟ้ากลุ่มกล้านเนื้อคอ.....	68
4-3ก แสดงค่าน้ำหนักที่ได้จากการเรียนรู้ ด้วยโครงข่ายประสาทรูปแบบที่ 1 กับพารามิเตอร์ที่ได้จากวิธีการคำนวณหาค่าสูงสุดของความหนาแน่นของกำลังเชิงสเปกตรัมของสัญญาณกลุ่มกล้านเนื้อดิน.....	69
4-3ข แสดงค่าน้ำหนักที่ได้จากการเรียนรู้ ด้วยโครงข่ายประสาทรูปแบบที่ 1 กับพารามิเตอร์ที่ได้จากวิธีการคำนวณหาค่าสูงสุดของความหนาแน่นของกำลังเชิงสเปกตรัมของสัญญาณกลุ่มกล้านเนื้อคอ.....	69
4-4ก แสดงผลการทดสอบ โครงข่ายประสาทรูปแบบที่ 1 กับพารามิเตอร์ที่ได้จากการวิธีการคำนวณหาค่าสูงสุดของความหนาแน่นของกำลังเชิงสเปกตรัมของสัญญาณกลุ่มกล้านเนื้อดิน.....	71
4-4ข แสดงผลการทดสอบ โครงข่ายประสาทรูปแบบที่ 1 กับพารามิเตอร์ที่ได้จากการวิธีการคำนวณหาค่าสูงสุดของความหนาแน่นของกำลังเชิงสเปกตรัมของสัญญาณกลุ่มกล้านเนื้อคอ.....	71

ໜັກ

กสุ่นกล้ามเนื้อดิ้น.....	81
หน้า	
4-7ก แสดงค่าน้ำหนักที่ได้จากการเรียนรู้ด้วยโครงข่ายประสาทรูปแบบที่ 1 กับพารามิเตอร์ที่ได้จากการคำนวณทางกำลังของสัญญาณช่วงการก dein ของกสุ่นกล้ามเนื้อคอด.....	81
4-8ก แสดงผลการทดสอบโครงข่ายประสาทรูปแบบที่ 1 ด้วยพารามิเตอร์ที่ได้จากการคำนวณทางกำลังช่วงการก dein ของกสุ่นกล้ามเนื้อดิ้น.....	83
4-8ก แสดงผลการทดสอบโครงข่ายประสาทรูปแบบที่ 1 ด้วยพารามิเตอร์ที่ได้จากการคำนวณทางกำลังช่วงการก dein ของกสุ่นกล้ามเนื้อคอด.....	83
4-9 แสดงการสรุปผลการจำแนกที่ได้จากการทดสอบด้วยโครงข่ายประสาทรูปแบบที่ 1 กับพารามิเตอร์ที่ได้จากการคำนวณทางคณิตศาสตร์หลาๆ วิธีของสัญญาณไฟฟ้ากสุ่นกล้ามเนื้อดิ้นและกสุ่นกล้ามเนื้อคอด.....	85
4-10ก แสดงค่าน้ำหนักที่ได้จากการเรียนรู้ ด้วยโครงข่ายประสาทรูปแบบที่ 2 กับพารามิเตอร์ที่ได้จากการคำนวณทางคณิตศาสตร์พร้อมกันทั้งหมด 4 วิธีมาเรียงตัวรวมกันของกสุ่นกล้ามเนื้อดิ้น.....	87
4-10ก แสดงค่าน้ำหนักที่ได้จากการเรียนรู้ ด้วยโครงข่ายประสาทรูปแบบที่ 2 กับพารามิเตอร์ที่ได้จากการคำนวณทางคณิตศาสตร์พร้อมกันทั้งหมด 4 วิธีมาเรียงตัวรวมกันของกสุ่นกล้ามเนื้อคอด.....	89
4-11ก แสดงผลการทดสอบโครงข่ายประสาทรูปแบบที่ 2 กับพารามิเตอร์ที่ได้จากการคำนวณทางคณิตศาสตร์พร้อมกันทั้งหมด 4 วิธี ที่มาเรียงตัวรวมกันของสัญญาณไฟฟ้ากสุ่นกล้ามเนื้อดิ้น.....	91
4-11ก แสดงผลการทดสอบโครงข่ายประสาทรูปแบบที่ 2 กับพารามิเตอร์ที่ได้จากการคำนวณทางคณิตศาสตร์พร้อมกันทั้งหมด 4 วิธี ที่มาเรียงตัวรวมกันของสัญญาณไฟฟ้ากสุ่นกล้ามเนื้อคอด.....	92
4-12 แสดงค่าน้ำหนักที่ได้จากการเรียนรู้ ด้วยโครงข่ายประสาทรูปแบบที่ 3 กับพารามิเตอร์ที่ได้จากการคำนวณทางคณิตศาสตร์พร้อมกันทั้งหมด 4 วิธีของกสุ่นกล้ามเนื้อดิ้นและกสุ่นกล้ามเนื้อคอดที่มาเรียงตัวรวมกันตามลำดับ.....	94

หน้า

4-13	แสดงผลการจำแนกด้วยโครงข่ายประสาทรูปแบบที่ 3 กับพารามิเตอร์ที่ได้จาก วิธีการคำนวณทางคณิตศาสตร์พร้อมกันทั้งหมด 4 วิธีของสัญญาณไฟฟ้ากลุ่ม กล้านเนื้อلينและกลุ่มกล้านเนื้อคอ ที่มาเรียงตัวรวมกันตามลำดับ.....	97
5-1	แสดงผลการทดลอง โครงสร้างการทำงานและส่วนประกอบต่างๆ ของระบบ ระบบตรวจวินิจฉัยที่ใช้ในการจำแนกอาสาสมัครในกลุ่มทดสอบ.....	123
5-2	แสดงผลการทดลองที่ได้จากการตรวจสอบความถูกต้อง แม่นยำ ของระบบ.....	124

รายการภาพประกอบ

ภาพประกอบ	หน้า
2-1 แสดงตำแหน่งการติดอิเลค โทรศัพท์ไว้ล้ำคอของอาสาสมัคร.....	6
2-2 แสดงโครงสร้างการทำงานของระบบตรวจวินิจฉัยในงานวิจัยนี้.....	7
2-3 แสดงขั้นตอนการทำงานในส่วนของโปรแกรมระบบตรวจวินิจฉัยปัจจุบันที่มีปัญหา การก dein.....	8
2-4 แสดงโครงสร้างการทำงานของหน้าจอการทำงานที่ 1.....	10
2-5 แสดงหน้าจอการทำงานที่ 1.....	11
2-6 แสดงโครงสร้างการทำงานของหน้าจอการทำงานที่ 2.....	13
2-7 แสดงหน้าจอการทำงานที่ 2.....	13
2-8 แสดงโครงสร้างการทำงานของหน้าจอการทำงานที่ 3.....	15
2-9 แสดงหน้าจอการทำงานที่ 3.....	16
2-10 แสดงโครงสร้างการทำงานของหน้าจอการทำงานที่ 4.....	17
2-11 แสดงหน้าจอการทำงานที่ 4.....	18
2-12 แสดงโครงสร้างการทำงานของหน้าจอการทำงานที่ 5.....	18
2-13 แสดงหน้าจอการทำงานที่ 5.....	19
2-14 แสดงโครงสร้างการทำงานของหน้าจอการทำงานที่ 6.....	19
2-15 แสดงหน้าจอการทำงานที่ 6.....	20
2-16 แสดงโครงสร้างการทำงานของหน้าจอการทำงานที่ 7.....	20
2-17 แสดงหน้าจอการทำงานที่ 7.....	21
2-18 แสดงโครงสร้างการทำงานของหน้าจอการทำงานที่ 8.....	22
2-19 แสดงหน้าจอการทำงานที่ 8.....	22
2-20 แสดงโครงสร้างการทำงานของหน้าจอการทำงานที่ 9.....	23
2-21 แสดงหน้าจอการทำงานที่ 9.....	23
2-22 แสดงโครงสร้างการทำงานของหน้าจอการทำงานที่ 10.....	24
2-23 แสดงหน้าจอการทำงานที่ 10.....	24
2-24 แสดงโครงสร้างการทำงานของหน้าจอการทำงานที่ 11.....	25

	หน้า
2-25 แสดงหน้าของการทำงานที่ 11.....	25
2-26 แสดงโครงสร้างการทำงานของหน้าของการทำงานที่ 12.....	26
2-27 แสดงหน้าของการทำงานที่ 12.....	27
2-28 แสดงโครงสร้างการทำงานของหน้าของการทำงานที่ 13.....	28
2-29 แสดงหน้าของการทำงานที่ 13.....	29
2-30 แสดงโครงสร้างการทำงานของหน้าของการทำงานที่ 14.....	30
2-31 แสดงหน้าของการทำงานที่ 14.....	31
2-32 แสดงโครงสร้างการทำงานของหน้าของการทำงานที่ 15.....	32
2-33 แสดงหน้าของการทำงานที่ 15.....	33
2-34 แสดงโครงสร้างการทำงานของหน้าของการทำงานที่ 16.....	34
2-35 แสดงหน้าของการทำงานที่ 16.....	34
2-36 แสดงโครงสร้างการทำงานของหน้าของการทำงานที่ 17.....	35
2-37 แสดงหน้าของการทำงานที่ 17.....	36
2-38 แสดงโครงสร้างการทำงานของหน้าของการทำงานที่ 18.....	37
2-39 แสดงหน้าของการทำงานที่ 18.....	37
2-40 แสดงโครงสร้างการทำงานของหน้าของการทำงานทั้งหมดในโปรแกรม.....	39
3-1 แสดงตัวอย่างสัญญาณไฟเพื่อของกล้องเนื้อดิน และการเลือกช่วงของข้อมูลมาใช้ในการคำนวณสำหรับวิธีที่ 1, 2, 3 และ 4.....	41
3-2 ผังงานแสดงการคำนวณหาความหนาแน่นของกำลังเชิงสเปกตรัมที่ความถี่มีเดียน.....	42
3-3 แสดงปุ่มคำสั่ง PS at MF ที่ทำหน้าที่คำนวณหาค่าความหนาแน่นของกำลังเชิงสเปกตรัมที่ความถี่มีเดียนของสัญญาณไฟฟ้ากอุ่นกล้องเนื้อดินและกอุ่นกล้อง.....	43
3-4 ผังรูปของโปรแกรมการคำนวณหาค่าความหนาแน่นของกำลังเชิงสเปกตรัมที่ความถี่มีเดียนของกอุ่นกล้องเนื้อดินและกอุ่นกล้องเนื้อคอ.....	43
3-5 แสดงตัวอย่างที่ได้จากการคำนวณหาค่าความหนาแน่นของกำลังเชิงสเปกตรัมที่ความถี่มีเดียนของกอุ่นกล้องเนื้อดินและกอุ่นกล้องเนื้อคอ.....	45
3-6 ผังงานแสดงการคำนวณหาสูงสุดของค่าความหนาแน่นของกำลังเชิงสเปกตรัม.....	46

หน้า

3-7	แสดงปั่นค่าสั่ง Max of PS ที่ทำหน้าที่คำนวณหาค่าสูงสุดของความหนาแน่นของกำลังเชิงสเปกตรัมของสัญญาณไฟฟ้ากลุ่มกล้ามเนื้อถีนและกลุ่มกล้ามเนื้อคอดในโปรแกรมนี้.....	46
3-8	พิจารณาของโปรแกรมการคำนวณหาค่าสูงสุดของค่าความหนาแน่นของกำลังเชิงสเปกตรัมของกลุ่มกล้ามเนื้อถีนและกลุ่มกล้ามเนื้อคอด.....	47
3-9	แสดงตัวอย่างค่าที่ได้จากการคำนวณหาค่าสูงสุดของค่าความหนาแน่นของกำลังเชิงสเปกตรัมของกลุ่มกล้ามเนื้อถีนและกลุ่มกล้ามเนื้อคอด.....	48
3-10	ผังงานแสดงการคำนวณหาสัมประสิทธิ์ของอัตราระดับ.....	50
3-11	แสดงปั่นค่าสั่ง Coeff of AR ที่ทำหน้าที่คำนวณหาค่าสัมประสิทธิ์ของอัตราระดับลำดับที่ 1, 3 และ 5 ของสัญญาณไฟฟ้ากลุ่มกล้ามเนื้อถีนและกลุ่มกล้ามเนื้อคอดในโปรแกรมนี้.....	51
3-12	พิจารณาของโปรแกรมการคำนวณหาสัมประสิทธิ์ของอัตราระดับลำดับที่ 1, 3 และ 5 ของกลุ่มกล้ามเนื้อถีนและกลุ่มกล้ามเนื้อคอด.....	51
3-13	แสดงตัวอย่างค่าที่ได้จากการคำนวณหาค่าสัมประสิทธิ์ของอัตราระดับที่ 1, 3 และ 5 ตามลำดับ ของกลุ่มกล้ามเนื้อถีนและกลุ่มกล้ามเนื้อคอด.....	53
3-14	ผังงานแสดงการคำนวณหาค่ากำลังของสัญญาณในช่วงการกลืน.....	54
3-15	แสดงปั่นค่าสั่ง Sum of PS ที่ทำหน้าที่คำนวณหาค่ากำลังของสัญญาณในช่วงการกลืนของสัญญาณไฟฟ้ากลุ่มกล้ามเนื้อถีนและกลุ่มกล้ามเนื้อคอดในโปรแกรมนี้.....	55
3-16	พิจารณาของโปรแกรมการคำนวณหาค่าสูงสุดของกำลังของสัญญาณในช่วงการกลืนของกลุ่มกล้ามเนื้อถีนและกลุ่มกล้ามเนื้อคอด.....	55
3-17	แสดงตัวอย่างผลที่ได้จากการคำนวณหากำลังของสัญญาณในช่วงการกลืนของกลุ่มกล้ามเนื้อถีนและกลุ่มกล้ามเนื้อคอด.....	57
4-1	โครงสร้างและส่วนประกอบของเซลล์ประสาท.....	58
4-2	แสดงโครงสร้างของแบบจำลองการแพร่กลับ(Back Propagation).....	59
4-3	แสดงแผนภาพอุปกรณ์ที่ใช้ในการบันทึกสัญญาณไฟฟ้าและวิเคราะห์สัญญาณไฟฟ้าของ รศ.น.พ. วิทูร ลิตามานิตย์ โรงพยาบาลสงขลานครินทร์.....	63

หน้า

4-4	แสดงการจำแนกด้วยโครงข่ายประสาทรูปแบบที่ 1 กับพารามิเตอร์ทางคณิตศาสตร์หลายๆ วิธีของกลุ่มกล้ามเนื้อลินและกลุ่มกล้ามเนื้อคอ.....	64
4-5	แสดงการจำแนกด้วยโครงข่ายประสาทรูปแบบที่ 2 กับพารามิเตอร์ทางคณิตศาสตร์หลายๆ วิธีของกลุ่มกล้ามเนื้อลินและกลุ่มกล้ามเนื้อคอ.....	86
4-6	แสดงการจำแนกด้วยโครงข่ายประสาทรูปแบบที่ 3 กับพารามิเตอร์ทางคณิตศาสตร์หลายๆ วิธีของกลุ่มกล้ามเนื้อลินและกลุ่มกล้ามเนื้อคอรวมกัน.....	93
5-1	แสดงสัญญาณไฟฟ้าของกลุ่มกล้ามเนื้อลินและกลุ่มกล้ามเนื้อคอของคนปกติ (อาสาสมัครคนที่ 24) ในหน้าจอการทำงานหลักของโปรแกรม.....	99
5-2	แสดงสัญญาณไฟฟ้าของกลุ่มกล้ามเนื้อลินและกลุ่มกล้ามเนื้อคอของผู้มีปัญหาการกลืน (อาสาสมัครคนที่ 29) ในหน้าจอการทำงานหลักของโปรแกรม.....	99
5-3	แสดงสัญญาณไฟฟ้าของกลุ่มกล้ามเนื้อลินและกลุ่มกล้ามเนื้อคอของคนปกติ (อาสาสมัครคนที่ 24) และช่วงสัญญาณไฟฟ้าที่เลือก (A) สำหรับวิธีการในบทที่ 3 หัวข้อ 3.1-3.4.....	100
5-4	แสดงสัญญาณไฟฟ้าของกลุ่มกล้ามเนื้อลินและกลุ่มกล้ามเนื้อคอของผู้มีปัญหาการกลืน (อาสาสมัครคนที่ 29) และช่วงสัญญาณไฟฟ้าที่เลือก (A) สำหรับวิธีการในบทที่ 3 หัวข้อ 3.1-3.4.....	100
5-5	แสดงตัวอย่างผลที่ได้จากการคำนวณหาค่าความหนาแน่นของกำลังเชิงสเปกตรัมที่ความถี่มีเดียนของสัญญาณไฟฟ้ากลุ่มกล้ามเนื้อลินและกลุ่มกล้ามเนื้อคอของคนปกติ (อาสาสมัครคนที่ 24).....	101
5-6	แสดงตัวอย่างผลที่ได้จากการคำนวณหาค่าความหนาแน่นของกำลังเชิงสเปกตรัมที่ความถี่มีเดียนของสัญญาณไฟฟ้ากลุ่มกล้ามเนื้อลินและกลุ่มกล้ามเนื้อคอของผู้มีปัญหาการกลืน (อาสาสมัครคนที่ 29).....	102
5-7	แสดงผลการจำแนกด้วยโครงข่ายประสาทกับพารามิเตอร์ที่ได้จากการคำนวณหาค่าความหนาแน่นของกำลังเชิงสเปกตรัมที่ความถี่มีเดียนของสัญญาณไฟฟ้ากลุ่มกล้ามเนื้อลินและคอของคนปกติ (อาสาสมัครคนที่ 24).....	103

หน้า

5-8	แสดงผลการจำแนกด้วยโครงข่ายประสาทกับพารามิเตอร์ที่ได้จากการคำนวณ หาค่าความหนาแน่นของกำลังเชิงสเปกตรัมที่ความถี่นี้เดินของสัญญาณไฟฟ้า กลุ่มกล้ามเนื้อลีนและคอกของผู้มีปัญหาการกลืน (อาสาสมัครคนที่ 29).....	103
5-9	แสดงตัวอย่างผลที่ได้จากการคำนวณหาค่าสูงสุดของความหนาแน่นของกำลัง เชิงสเปกตรัมของสัญญาณไฟฟ้ากลุ่มกล้ามเนื้อลีนและกลุ่มกล้ามเนื้อคอกของ คนปกติ (อาสาสมัครคนที่ 24).....	104
5-10	แสดงตัวอย่างผลที่ได้จากการคำนวณหาค่าสูงสุดของความหนาแน่นของกำลัง เชิงสเปกตรัมของสัญญาณไฟฟ้ากลุ่มกล้ามเนื้อตันและกลุ่มกล้ามเนื้อคอกของ ผู้มีปัญหาการกลืน (อาสาสมัครคนที่ 29).....	104
5-11	แสดงผลการจำแนกด้วยโครงข่ายประสาทกับพารามิเตอร์ที่ได้จากการคำนวณ หาค่าสูงสุดของความหนาแน่นของกำลังเชิงสเปกตรัมของสัญญาณไฟฟ้ากลุ่ม กล้ามเนื้อลีนและกลุ่มกล้ามเนื้อคอกของคนปกติ (อาสาสมัครคนที่ 24).....	105
5-12	แสดงผลการจำแนกด้วยโครงข่ายประสาทกับพารามิเตอร์ที่ได้จากการคำนวณ หาค่าสูงสุดของความหนาแน่นของกำลังเชิงสเปกตรัมของสัญญาณไฟฟ้ากลุ่ม กล้ามเนื้อลีนและกลุ่มกล้ามเนื้อคอกของผู้มีปัญหาการกลืน(อาสาสมัครคนที่29).....	105
5-13	แสดงตัวอย่างผลที่ได้จากการคำนวณหาค่าสัมประสิทธิ์ของอัตราเร่งซีฟ ลำดับที่ 1, 3 และ 5 ของสัญญาณไฟฟ้ากลุ่มกล้ามเนื้อลีนและกลุ่มกล้ามเนื้อ คอกของคนปกติ (อาสาสมัครคนที่ 24).....	106
5-14	แสดงตัวอย่างผลที่ได้จากการคำนวณหาค่าสัมประสิทธิ์ของอัตราเร่งซีฟ ลำดับที่ 1, 3 และ 5 ของสัญญาณไฟฟ้ากลุ่มกล้ามเนื้อลีนและกลุ่มกล้ามเนื้อ คอกของผู้มีปัญหาการกลืน (อาสาสมัครคนที่ 29).....	107
5-15	แสดงผลการจำแนกด้วยโครงข่ายประสาทกับพารามิเตอร์ที่ได้จากการคำนวณ หาค่าสัมประสิทธิ์ของอัตราเร่งซีฟลำดับที่ 1, 3 และ 5 ของสัญญาณไฟฟ้า กลุ่มกล้ามเนื้อลีนและกลุ่มกล้ามเนื้อคอกของคนปกติ (อาสาสมัครคนที่ 24).....	108
5-16	แสดงผลการจำแนกด้วยโครงข่ายประสาทกับพารามิเตอร์ที่ได้จากการคำนวณ หาค่าสัมประสิทธิ์ของอัตราเร่งซีฟลำดับที่ 1, 3, 5 ของสัญญาณไฟฟ้ากลุ่ม กล้ามเนื้อลีนและกลุ่มกล้ามเนื้อคอกของผู้มีปัญหาการกลืน(อาสาสมัครคนที่29).....	108

หน้า

5-17	แสดงตัวอย่างผลที่ได้จากการคำนวณหาค่ากำลังของสัญญาณไฟฟ้าช่วงการกลืนของสัญญาณไฟฟ้ากู่กลุ่มกล้ามเนื้อลิ้นและกลุ่มกล้ามเนื้อคอของคนปกติ (อาสาสมัครคนที่ 24).....	109
5-18	แสดงตัวอย่างผลที่ได้จากการคำนวณหาค่ากำลังของสัญญาณไฟฟ้าช่วงการกลืนของสัญญาณไฟฟ้ากู่กลุ่มกล้ามเนื้อลิ้นและกลุ่มกล้ามเนื้อคอของผู้มีปัญหาการกลืน (อาสาสมัครคนที่ 29).....	110
5-19	แสดงผลการจำแนกด้วยโครงข่ายประสาทกับพารามิเตอร์ที่ได้จากการคำนวณหาค่ากำลังของสัญญาณไฟฟ้าช่วงการกลืนของสัญญาณไฟฟ้ากู่กลุ่มกล้ามเนื้อลิ้นและกลุ่มกล้ามเนื้อคอของคนปกติ (อาสาสมัครคนที่ 24).....	111
5-20	แสดงผลการจำแนกด้วยโครงข่ายประสาทกับพารามิเตอร์ที่ได้จากการคำนวณหาค่ากำลังของสัญญาณไฟฟ้าช่วงการกลืนของสัญญาณไฟฟ้ากู่กลุ่มกล้ามเนื้อลิ้นและกลุ่มกล้ามเนื้อคอของผู้มีปัญหาการกลืน (อาสาสมัครคนที่ 29).....	111
5-21	แสดงตัวอย่างผลที่ได้จากการคำนวณหาค่าต่างๆ ด้วยวิธีการทำงานคณิตศาสตร์พร้อมกันทั้งหมด 4 วิธี ของสัญญาณไฟฟ้ากู่กลุ่มกล้ามเนื้อลิ้นและกลุ่มกล้ามเนื้อคอของคนปกติ (อาสาสมัครคนที่ 24).....	112
5-22	แสดงตัวอย่างผลที่ได้จากการคำนวณหาค่าต่างๆ ด้วยวิธีการทำงานคณิตศาสตร์พร้อมกันทั้งหมด 4 วิธี ของสัญญาณไฟฟ้ากู่กลุ่มกล้ามเนื้อลิ้นและกลุ่มกล้ามเนื้อคอของผู้มีปัญหาการกลืน (อาสาสมัครคนที่ 29).....	113
5-23	แสดงผลการจำแนกด้วยโครงข่ายประสาทรูปแบบที่ 1 กับพารามิเตอร์ที่ได้จากการคำนวณหาค่าต่างๆ ด้วยวิธีการทำงานคณิตศาสตร์ทั้ง 4 วิธี ของสัญญาณไฟฟ้ากู่กลุ่มกล้ามเนื้อลิ้นและกลุ่มกล้ามเนื้อคอ รวมทั้งผลการวินิจฉัยที่ได้ของคนปกติ (อาสาสมัครคนที่ 24).....	114
5-24	แสดงผลการจำแนกด้วยโครงข่ายประสาทรูปแบบที่ 1 กับพารามิเตอร์ที่ได้จากการคำนวณหาค่าต่างๆ ด้วยวิธีการทำงานคณิตศาสตร์ทั้ง 4 วิธี ของสัญญาณไฟฟ้ากู่กลุ่มกล้ามเนื้อลิ้นและกลุ่มกล้ามเนื้อคอ รวมทั้งผลการวินิจฉัยที่ได้ของผู้ที่มีปัญหาการกลืน (อาสาสมัครคนที่ 29).....	114

หน้า

5-25	แสดงหน้าของการทำงานที่เกิดขึ้นจากการเลือกปุ่มคำสั่ง MOC2 ของหน้าจอ การทำงานที่แสดงในภาพประกอบ 5-21 และ 5-22.....	115
5-26	แสดงผลการจำแนกด้วยโครงข่ายประสาทรูปแบบที่ 2 กับพารามิเตอร์ที่ได้จาก การคำนวณหาค่าต่างๆด้วยวิธีทางคณิตศาสตร์พร้อมกันทั้งหมด 4 วิธีเรียงกัน ของสัญญาณไฟฟ้ากลุ่มกล้ามเนื้อลีน รวมทั้งผลการวินิจฉัยที่ได้ของคนปกติ (อาสาสมัครคนที่ 24).....	116
5-27	แสดงผลการจำแนกด้วยโครงข่ายประสาทรูปแบบที่ 2 กับพารามิเตอร์ที่ได้จาก การคำนวณหาค่าต่างๆด้วยวิธีทางคณิตศาสตร์พร้อมกันทั้งหมด 4 วิธีเรียงกัน ของสัญญาณไฟฟ้ากลุ่มกล้ามเนื้อลีน รวมทั้งผลการวินิจฉัยที่ได้ของผู้มีปัญหา การกลืน (อาสาสมัครคนที่ 29).....	116
5-28	แสดงผลการจำแนกด้วยโครงข่ายประสาทรูปแบบที่ 2 กับพารามิเตอร์ที่ได้จาก การคำนวณหาค่าต่างๆด้วยวิธีทางคณิตศาสตร์พร้อมกันทั้งหมด 4 วิธีเรียงกัน ของสัญญาณไฟฟ้ากลุ่มกล้ามเนื้อคอ รวมทั้งผลการวินิจฉัยที่ได้ของคนปกติ (อาสาสมัครคนที่ 24).....	117
5-29	แสดงผลการจำแนกด้วยโครงข่ายประสาทรูปแบบที่ 2 กับพารามิเตอร์ที่ได้จาก การคำนวณหาค่าต่างๆด้วยวิธีทางคณิตศาสตร์พร้อมกันทั้งหมด 4 วิธีเรียงกัน ของสัญญาณไฟฟ้ากลุ่มกล้ามเนื้อคอ รวมทั้งผลการวินิจฉัยที่ได้ของผู้ที่มีปัญหา การกลืน (อาสาสมัครคนที่ 29).....	117
5-30	แสดงผลการจำแนกด้วยโครงข่ายประสาทรูปแบบที่ 3 กับพารามิเตอร์ที่ได้จาก การคำนวณค่าต่างๆด้วยวิธีทางคณิตศาสตร์พร้อมกันทั้งหมด 4 วิธีของแต่ละ สัญญาณไฟฟ้ากลุ่มกล้ามเนื้อลีนและกลุ่มกล้ามเนื้อคอมารีบงรวมกันตามลำดับ รวมทั้งสรุปผลการวินิจฉัยที่ได้ของคนปกติ (อาสาสมัครคนที่ 24).....	118
5-31	แสดงผลการจำแนกด้วยโครงข่ายประสาทรูปแบบที่ 3 กับพารามิเตอร์ที่ได้จาก การคำนวณค่าต่างๆด้วยวิธีทางคณิตศาสตร์พร้อมกันทั้งหมด 4 วิธีของแต่ละ สัญญาณไฟฟ้ากลุ่มกล้ามเนื้อลีนและกลุ่มกล้ามเนื้อคอมารีบงรวมกันตามลำดับ รวมทั้งสรุปผลการวินิจฉัยที่ได้ของผู้ที่มีปัญหาการกลืน (อาสาสมัครคนที่ 29)....	119

หน้า

5-32	แสดงผลลัพธ์ที่ได้ทั้งหมดจากการใช้งานปุ่มคำสั่ง MOC1, MOC2 และ MOC3 ของหน้าจอการทำงานที่แสดงในภาพประกอบ 5-21 ของคนปกติ (อาสาสมัครคนที่ 24).....	120
5-33	แสดงผลลัพธ์ที่ได้ทั้งหมดจากการใช้งานปุ่มคำสั่ง MOC1, MOC2 และ MOC3 ของหน้าจอการทำงานที่แสดงในภาพประกอบ 5-22 ของผู้มีปัญหาการกลืน (อาสาสมัครคนที่ 29).....	120
5-34	แสดงสัญญาณไฟฟ้ากลุ่มกล้ามเนื้อลิ้นและกลุ่มกล้ามเนื้อคอที่บันทึกได้ในครั้งที่ 1, 2 และ 3 ตามลำดับ ของอาสาสมัครทดสอบลำดับที่ 1.....	121
5-35	แสดงสัญญาณไฟฟ้ากลุ่มกล้ามเนื้อลิ้นและกลุ่มกล้ามเนื้อคอที่บันทึกได้ในครั้งที่ 1, 2 และ 3 ตามลำดับ ของอาสาสมัครทดสอบลำดับที่ 2.....	121
5-36	แสดงสัญญาณไฟฟ้ากลุ่มกล้ามเนื้อลิ้นและกลุ่มกล้ามเนื้อคอที่บันทึกได้ในครั้งที่ 1, 2 และ 3 ตามลำดับ ของอาสาสมัครทดสอบลำดับที่ 3.....	122
5-37	แสดงสัญญาณไฟฟ้ากลุ่มกล้ามเนื้อลิ้นและกลุ่มกล้ามเนื้อคอที่บันทึกได้ในครั้งที่ 1, 2 และ 3 ตามลำดับ ของอาสาสมัครทดสอบลำดับที่ 4.....	122
5-38	แสดงสัญญาณไฟฟ้ากลุ่มกล้ามเนื้อลิ้นและกลุ่มกล้ามเนื้อคอที่บันทึกได้ในครั้งที่ 1, 2 และ 3 ตามลำดับ ของอาสาสมัครทดสอบลำดับที่ 5.....	122
ก1	แสดงหน้าต่างส่วน Source Window.....	130
ก2	แสดงหน้าต่างส่วน User Interface Editor Window.....	131
ก3	แสดงหน้าต่างส่วน Function Tree Editor.....	133
ก4	แสดงหน้าต่างส่วน Project Window.....	134
ก5	แสดงการสร้าง Panel, Controls ในหน้าต่าง User Interface Editor Window สำหรับโปรแกรมการสร้างสัญญาณ Sine.....	136
ก6	แสดงรายละเอียดของไฟล์ Sample.h ที่เกิดขึ้นเองหลังจากได้ไฟล์ Sample.uir.....	137
ก7	แสดงรายละเอียดของไฟล์ Sample.c สำหรับโปรแกรมการสร้างสัญญาณ Sine.....	138
ก8	แสดงหน้าต่าง Project Window ของไฟล์ Sample.prj.....	138
ก9	แสดงหน้าจอการทำงานที่เกิดจากการรันไฟล์ Sample.prj.....	139
ก10	แสดงผลลัพธ์ที่ได้จากการทำงานของโปรแกรมการสร้างสัญญาณ Sine.....	139

หน้า

ก แสดงตำแหน่งของข้อต่อบนกราด Lab-PC-1200/AI..... 140

ຕັ້ງຢ່າງແລະສັງລັກນິ້ນ

°	=	degrees
-	=	negative of, or minus
Ω	=	ohms
%	=	percent
\pm	=	plus or minus
+	=	positive of, or plus
A	=	amperes
ACH <0..7>	=	analog channel 0 through 7 signals
ADC	=	analog-to-digital converter
AGND	=	analog ground signal
AI	=	analog input
AISENSE/AIGND	=	analog input sense/analog input ground signal
C	=	Celsius
CH	=	channel
CLKB1, CLKB2	=	counter B1, B2 clock signals
cm	=	centimeters
Coeff of AR	=	Coefficient of Autoregressive Model
Coeff	=	Coefficient
dB	=	decibels
DC	=	direct current
DGND	=	digital ground signal
DMA	=	direct memory access
DNL	=	differential nonlinearity
EXTCONV	=	external convert signal
EXTTRIG	=	external trigger signal
F	=	farad

FIFO	=	first in first out memory buffer
GATB<0..2>	=	counter B0, B1, B2 gate signals
Hz	=	hertz
in.	=	inches
I/O	=	input/output
LED	=	light-emitting diode
LSB	=	least significant bit
max	=	maximum
Max of PS	=	Maximum of Power Spectral Density
MB	=	megabytes of memory
min	=	minimum
MOC1	=	Method of Classification 1
MOC2	=	Method of Classification 2
MOC3	=	Method of Classification 3
MOC4	=	Method of Classification 4
NC	=	not connected
NRSE	=	nonreferenced single-ended
OUTB0, OUTB1	=	counter B0, B1 output signals
PA, PB, PC<0..7>	=	port A, B, or C 0 through 7 signals
PS at MF	=	Power Spectral Density at Median Frequency
ppm	=	parts per million
s	=	seconds
S	=	samples
Sum of PS	=	Power of Signal
typ	=	typical
V	=	volts
VDC	=	volts direct current
Ver.	=	Version

บทที่ 1

บทนำ

1.1 ความสำคัญและที่มาของหัวข้อวิจัย

ปัจจุบันพบผู้ป่วยที่มีปัญหาการกลืนจำนวนมาก โดยเฉพาะในผู้ป่วยที่สูงอายุ ผู้ประสบอุบัติเหตุ และกลุ่มบุคคลที่มีอาชีพก่อกรรม ซึ่งผู้ป่วยที่มีปัญหาการกลืนจะมีอาการกลืนลำบาก หรือไม่สามารถกลืนได้เลย ใน การตรวจวินิจฉัยผู้ที่มีปัญหาการกลืน แพทย์จะใช้วิธีการวัดแรงดันในหลอดอาหาร และการเอกซเรย์ (X-ray) ซึ่งต้องใช้เวลานาน และเป็นอันตรายต่อผู้ป่วยเนื่องจากรังสีจากการเอกซเรย์ ดังนั้นการวิเคราะห์สัญญาณไฟฟ้าจากกลุ่มกล้ามเนื้อที่ใช้ในการกลืน น่าจะนำมาใช้ในการจำแนกผู้ป่วยกับคนปกติได้ ซึ่งถ้าวิธีการวิเคราะห์สัญญาณไฟฟ้าจากกลุ่มกล้ามเนื้อสามารถใช้ได้ ผลก็จะทำให้ได้วิธีการตรวจวินิจฉัยที่ประหยัดเวลาและปลอดภัยต่อผู้ป่วย โดยการวิจัยนี้ได้เริ่มทำการศึกษาที่ภาควิชาเวชกรรมไฟฟ้า คณะวิศวกรรมศาสตร์ มหาวิทยาลัยสงขลานครินทร์ (เฉลิมชัย แซ่ลี่น, 2539 ; พrushy พฤกษ์ภารานนต์, 2540 และ วนิชช์ อุบลสุตรวนิช, 2541) ซึ่งที่ผ่านมานั้นการวิจัยได้มีการคัดเลือกหาลักษณะเด่นของสัญญาณไฟฟ้าจากกลุ่มกล้ามเนื้อเพื่อตรวจจับสัญญาณที่บ่งบอกการกลืน (เฉลิมชัย แซ่ลี่น, 2539) จากการวิเคราะห์พบว่า กลุ่มกล้ามเนื้อด้านมีความเหมาะสมที่จะนำมาใช้ในการบันทึกสัญญาณไฟฟ้าเพื่อหาลักษณะเด่น โดยทำการบันทึกสัญญาณไฟฟ้ากล้ามเนื้อจากกิจกรรมการเคี้ยวและกลืน จากนั้นนำสัญญาณไฟฟ้าที่ได้มาวิเคราะห์ด้วยวิธีการทางคอมพิวเตอร์ และพบว่าการใช้วิธีการคำนวณหากำลังเฉลี่ยของสัญญาณสามารถตรวจจับสัญญาณที่บ่งบอกการกลืนจากสัญญาณไฟฟ้าจากกลุ่มกล้ามเนื้อด้านที่มีกิจกรรมการเคี้ยวและการกลืนได้ดี ต่อมาจึงได้มีการออกแบบและสร้างเครื่องกระตุ้นไฟฟ้าเชิงล้ำดับสำหรับผู้ป่วยที่มีปัญหาการกลืน (พrushy พฤกษ์ภารานนต์, 2540) เพื่อใช้ช่วยผู้ป่วยที่มีปัญหาการกลืนอันเนื่องมาจากการกล้ามเนื้อติดกันและกล้ามเนื้อคอไม่สามารถทำงานได้ตามปกติ โดยให้เครื่องกระตุ้นไฟฟ้าเชิงล้ำดับกระตุ้นกล้ามเนื้อติดกันและกล้ามเนื้อคอของขณะที่ผู้ป่วยกำลังกลืน เพื่อให้การกลืนเป็นปกติตามล้ำดับขั้นตอนที่ถูกต้อง โดยจะมีวงจรคำนวณและตัดสินใจทำการคำนวณเพื่อตรวจจับจุดกลืนและส่งสัญญาณทริกเกอร์ไปยังวงจรสร้างสัญญาณกระตุ้นกล้ามเนื้อ จากการทดสอบวงจรที่ได้สร้างขึ้น ปรากฏว่าจะทำงานถูกต้องตามที่ต้องการ และได้มีการศึกษาการจำแนกผู้ที่มีปัญหาการกลืน โดยวิธีการวิเคราะห์สัญญาณไฟฟ้าจากกลุ่มกล้ามเนื้อที่ใช้ในการกลืน

(วาระเขยร์ อุบลสูตรวนิช, 2541) ซึ่งในขั้นต้น จำเป็นต้องพิจารณาหากกลุ่มกล้ามเนื้อและบริเวณที่จะใช้ในการตรวจจับสัญญาณ จากการวิเคราะห์พบว่า กลุ่มกล้ามเนื้อด้านและกลุ่มกล้ามเนื้อก่อ มีความเหมาะสมที่จะนำมาใช้ในการบันทึกสัญญาณ ไฟฟ้าเพื่อใช้ในการจำแนกหาผู้มีความผิดปกติ จากนั้นนำสัญญาณ ไฟฟ้าที่ได้มาวิเคราะห์ด้วยวิธีการทางคณิตศาสตร์เพื่อหาลักษณะเด่นที่สามารถใช้จำแนกหาความผิดปกติได้ โดยผลที่ได้จากการทางคณิตศาสตร์จะถูกนำมาไปใช้เป็นลักษณะเด่นเพื่อการจำแนกหาผู้มีความผิดปกติด้วยวิธีการ โครงข่ายประสาทต่อไป การศึกษาของวาระเขยร์ เป็นเพียงการศึกษาหารือวิธีการทางคณิตศาสตร์ที่เหมาะสม สำหรับการวิเคราะห์สัญญาณกล้ามเนื้อก่อและลืน เพื่อใช้ในการจำแนกผู้ที่มีปัญหาการกลืนเท่านั้น แต่ยังไม่ได้สร้างเป็นระบบตรวจวินิจฉัยขึ้นมา เพื่อเชื่อมต่อกับผู้ใช้แต่อย่างใด

งานวิจัยนี้จึงเป็นการพัฒนาระบบทซอฟต์แวร์สำหรับสร้างระบบตรวจวินิจฉัยผู้ป่วยที่มีปัญหาการกลืนขึ้นมา เพื่อทำการติดต่อกับผู้ใช้ผ่านทางหน้าจอคอมพิวเตอร์ ซึ่งจากหน้าจอคอมพิวเตอร์จะประกอบด้วยหน้าจอแสดงผลการทำงานและปุ่มคำสั่งต่างๆ ที่มีหน้าที่การทำงานแตกต่างกันไป เพื่อให้ผู้ใช้สามารถใช้งานได้ง่าย สะดวก และมีประสิทธิภาพมากที่สุด ทั้งนี้การวิเคราะห์สัญญาณ ไฟฟ้ากล้ามเนื้อจะใช้วิธีการทางคณิตศาสตร์ที่วาระเขยร์ได้ทำการศึกษาไว้ จากอัลกอริทึมทางคณิตศาสตร์จะถูกนำมาเขียนโปรแกรมคำขอฟ์แวร์ชื่อ LabWindows/CVI for Windows Version 4.0.1 แล้วนำผลหรือค่าพารามิเตอร์ที่ได้มาใช้ในการจำแนกหาผู้มีปัญหาการกลืน ด้วยวิธีการทางโครงข่ายประสาท (Neural Network) ในลำดับต่อไป ดังนั้นงานวิจัยนี้ก็จะทำให้ได้ระบบตรวจวินิจฉัยที่สามารถจำแนกผู้ที่มีปัญหาในการกลืนออกจากรุปแบบปกติได้ ซึ่งจะช่วยให้แพทย์สามารถทำการวินิจฉัยได้แม่นยำขึ้น ประหยัดเวลา และปลอดภัยต่อผู้ป่วยมากกว่าวิธีการเดิมๆ ที่เคยใช้กันมา

1.2 วัตถุประสงค์

- 1.2.1 เพื่อศึกษาและวิเคราะห์ลักษณะสัญญาณ ไฟฟ้ากล้ามเนื้อที่เกี่ยวข้องกับการกลืนในคนปกติและผู้ป่วยที่มีปัญหาการกลืน สำหรับวิเคราะห์หาข้อแตกต่างระหว่างผู้ป่วยและคนปกติ
- 1.2.2 เพื่อศึกษาและพัฒนาระบบทซอฟต์แวร์สำหรับสร้างระบบตรวจวินิจฉัยผู้ป่วยที่มีปัญหาการกลืน โดยระบบสามารถทำการเชื่อมต่อกับผู้ใช้ได้ง่าย มีประสิทธิภาพ และวินิจฉัยจำแนกผู้ที่มีปัญหาการกลืนออกจากรุปแบบปกติได้

1.2.3 เพื่อส่งเสริมให้มีการศึกษาและใช้งานระบบตรวจวินิจฉัยในงานค้านต่างๆ

1.3 ขอบเขตการวิจัย

- 1.3.1 ศึกษาโปรแกรมภาษาค่าทางๆ ที่จะนำมาใช้ในการเขียนโปรแกรมพัฒนาระบบตรวจวินิจฉัยที่มีปัญหาการกลืน เพื่อเปรียบเทียบหาข้อดีและข้อเสียของภาษานั้นๆ
- 1.3.2 ศึกษาสัญญาณไฟฟ้าจากกลุ่มถ่านเนื้อกลืนและขอของคนปกติและผู้ป่วยที่มีปัญหาการกลืน ที่ได้ทำการบันทึกไว้แล้ว โดยใช้อาสาสมัครที่เป็นคนปกติและผู้ป่วยที่มีปัญหาการกลืน อายุง่ายไม่น้อยกว่า 20 คน
- 1.3.3 ศึกษาหารามิเตอร์ของสัญญาณไฟฟ้าจากกลุ่มถ่านเนื้อที่บันทึกไว้ในข้อ 1.3.2 โดยใช้วิธีการทางคณิตศาสตร์ ดังต่อไปนี้
- 1.3.3.1 วิเคราะห์จากค่าความหนาแน่นของกำลังเชิงスペกตรัมที่ความถี่มีเดียน (Power Spectral Density at Median Frequency)
 - 1.3.3.2 วิเคราะห์จากค่าสูงสุดของค่าความหนาแน่นของกำลังเชิงスペกตรัม (Maximum of Power Spectral Density)
 - 1.3.3.3 วิเคราะห์โดยหาค่าสัมประสิทธิ์ของออโตเรgresซีฟโมเดล (Coefficient of Autoregressive Model)
 - 1.3.3.4 วิเคราะห์โดยวิธีการหากำลังของสัญญาณในช่วงการกลืน (Power of Signal)
- 1.3.4 ศึกษาแนวข้อมูลและหารามิเตอร์ที่ได้ในข้อ 1.3.3 ระหว่างคนปกติและผู้ป่วย โดยอาศัยวิธีการทางโครงข่ายประสาท เพื่อใช้ในการแยกผู้ป่วยออกจากคนปกติ ศึกษาและเขียนโปรแกรมพัฒนาระบบทอฟต์แวร์สำหรับ สร้างระบบตรวจวินิจฉัยผู้ป่วยที่มีปัญหาการกลืน โดยมีขอบเขตการวิจัยกว้างๆ ดังนี้
- 1.3.5.1 ศึกษาและเขียนโปรแกรมควบคุม ตัวแปลงสัญญาณอนาลอกเป็นดิจิตอล (Analog to Digital Converter : ADC) เพื่อรับสัญญาณจาก Preamplifier (คุณภาพอิเล็กทรอนิกส์)
 - 1.3.5.2 ศึกษาและเขียนโปรแกรมพัฒนาระบบตรวจวินิจฉัย ให้มีหน้าจอการทำงานที่สามารถเชื่อมต่อกับผู้ใช้ ได้ง่าย สะดวก และมีประสิทธิภาพ

- 1.3.5.3 ศึกษาและเขียนโปรแกรมพัฒนาระบบตรวจวินิจฉัย ให้สามารถแสดงผลสัญญาณไฟฟ้าจากกลุ่มถ่านเนื้อถ่านและค่าที่รับเข้ามา และสามารถบันทึกสัญญาณไฟฟ้าดังกล่าวเก็บในรูปของไฟล์ได้ พร้อมทั้งพิมพ์ภาพสัญญาณที่รับเข้ามาออกรายการเครื่องพิมพ์ได้
- 1.3.5.4 ศึกษาและเขียนโปรแกรมพัฒนาระบบตรวจวินิจฉัย ให้สามารถทำการวิเคราะห์สัญญาณไฟฟ้าจากกลุ่มถ่านเนื้อถ่านและค่าของคนปกติและผู้ป่วยที่มีปัญหาการกลืนได้ โดยใช้วิธีการทำงานคณิตศาสตร์ทั้ง 4 วิธีในข้อ 1.3.3
- 1.3.5.5 ศึกษาและเขียนโปรแกรมพัฒนาระบบตรวจวินิจฉัย ให้แสดงผลลัพธ์ของสัญญาณที่ได้หลังจากการวิเคราะห์ในข้อ 1.3.5.4 ในรูปแบบต่างๆ พร้อมทั้งพิมพ์ผลลัพธ์ของสัญญาณที่ได้ออกรายการเครื่องพิมพ์
- 1.3.5.6 ศึกษาและเขียนโปรแกรมพัฒนาระบบตรวจวินิจฉัย ให้สามารถทำการตัดสินใจและสรุปผลการวินิจฉัยได้เองอัตโนมัติโดยอาศัยวิธีการทำงานโครงข่ายประสาท เพื่อนำไปใช้ตรวจหาผู้ที่มีปัญหาการกลืนต่อไป พร้อมทั้งพิมพ์ผลลัพธ์ที่ได้ออกรายการเครื่องพิมพ์

1.4 ขั้นตอนและวิธีดำเนินการวิจัย

- 1.4.1 ศึกษาถักยณะและรูปแบบการตรวจวินิจฉัยผู้ป่วยที่มีปัญหาการกลืนจากแพทย์ผู้เชี่ยวชาญของโรงพยาบาลสงขลานครินทร์
- 1.4.2 ศึกษาและออกแบบหน้าจอการทำงาน หน้าจอแสดงผล และปุ่มคำสั่งต่างๆ ของระบบตรวจวินิจฉัยผู้ป่วยที่มีปัญหาการกลืน
- 1.4.3 เขียนโปรแกรมพัฒนาระบบเชื่อมต่อกับผู้ใช้สำหรับสร้างระบบตรวจวินิจฉัยผู้ป่วยที่มีปัญหาการกลืน ในส่วนของหน้าจอการทำงาน หน้าจอแสดงผล หน้าจอการพิมพ์งาน และปุ่มคำสั่งต่างๆ เพื่อให้จ่ายต่อการใช้งานและมีประสิทธิภาพ
- 1.4.4 เขียนโปรแกรมวิเคราะห์สัญญาณไฟฟ้าจากกลุ่มถ่านเนื้อที่ได้บันทึกไว้แล้ว โดยวิธีการวิเคราะห์จากค่าความหนาแน่นของกำลังเชิงสเปกตรัมที่ความถี่ที่เดินวิเคราะห์จากค่าความหนาแน่นของกำลังเชิงสเปกตรัมสูงสุด วิเคราะห์โดยวิธีทาง

สัมประสิทธิ์ของขอ โครร์เมรสซีฟไม่เดล และวิเคราะห์โดยวิธีการหาคำลังของ
สัญญาณไฟฟ้าในช่วงการกลืน

- 1.4.5 นำข้อมูลที่ได้ในข้อ 1.4.4 มาใช้ เพื่อทำการเขียนโปรแกรมจำแนกผู้ป่วยออกจากคนปกติ โดยใช้วิธีโครงข่ายประสาท และเขียนโปรแกรมสรุปผลการวินิจฉัยและแสดงผลลัพธ์ที่ได้ ในการจำแนกหาผู้มีความผิดปกติในด้านการกลืน
- 1.4.6 ทดสอบและแก้ไขระบบตรวจวินิจฉัยผู้ป่วยที่มีปัญหาการกลืน
- 1.4.7 เขียนวิทยานิพนธ์

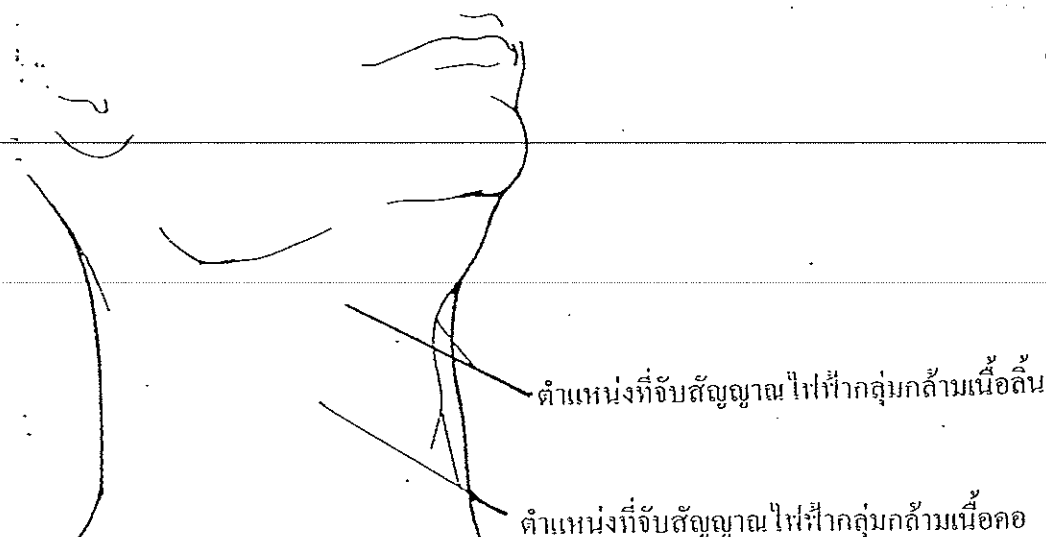
1.5 ประโยชน์ที่คาดว่าจะได้รับ

- 1.5.1 ทำให้ผู้ใช้สามารถใช้งานระบบตรวจวินิจฉัยผู้ป่วยที่มีปัญหาด้านการกลืน ได้ง่าย สะดวก และมีประสิทธิภาพ
- 1.5.2 ช่วยให้แพทย์สามารถสรุปผลการวินิจฉัยผู้ป่วยที่มีปัญหาการกลืน ได้รวดเร็ว ประหยัดเวลา และแม่นยำขึ้น
- 1.5.3 ทำให้มีการศึกษาและใช้งานระบบตรวจวินิจฉัยผู้ป่วยที่มีปัญหาการกลืนมากขึ้น
- 1.5.4 สามารถใช้เป็นข้อมูลพื้นฐานสำหรับผู้ที่สนใจทำการวิจัยในลักษณะที่ใกล้เคียง กันต่อไป

บทที่ 2

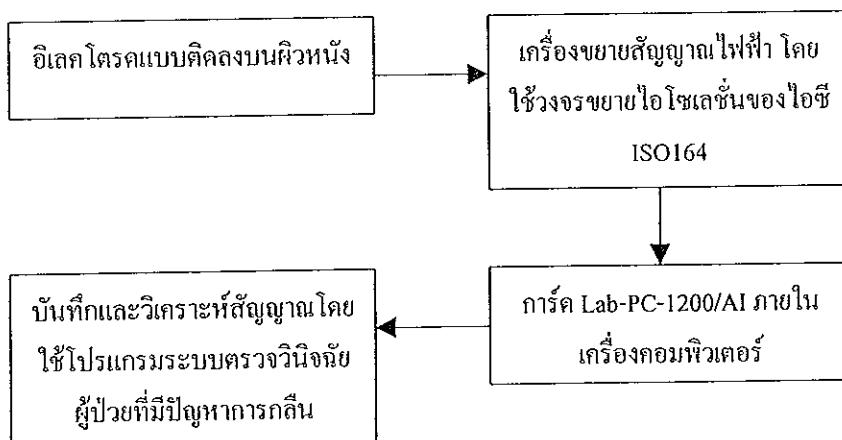
การพัฒนาโปรแกรมระบบตรวจวินิจฉัยผู้ป่วยที่มีปัญหาการกลืน

โปรแกรมระบบตรวจวินิจฉัยผู้ป่วยที่มีปัญหาการกลืน เป็นโปรแกรมที่ถูกพัฒนาขึ้นเพื่อทำ การเชื่อมต่อ (Interface) กับผู้ใช้ผ่านทางหน้าจอคอมพิวเตอร์ ในโปรแกรมจะประกอบด้วยหน้าจอ การทำงานทั้งหมด 18 หน้าจอ และมีปุ่มคำสั่งต่างๆ ให้เลือกใช้งานตามหน้าที่การทำงานที่แตกต่าง กัน ก่อนการใช้งาน โปรแกรมจะจับสัญญาณไฟฟ้ากลุ่มกล้ามเนื้อด้านและกลุ่มกล้ามเนื้อคอก ขณะทำ กิจกรรมการกลืนน้ำปริมาณ 5 มิลลิลิตร โดยใช้อิเลคโทรดเป็นตัวรับสัญญาณไฟฟ้ากล้ามเนื้อ ซึ่งจะ ใช้อิเลคโทรดชนิดติดผิวนังขนาดเด็นผ่านศูนย์กลางประมาณ 9 ม.m. ติดตรงบริเวณกลุ่มกล้ามเนื้อ ด้าน และบริเวณกลุ่มกล้ามเนื้อคอก ดังภาพประกอบ 2-1 โดยใช้สาร EC2 Electrode Cream ของ GRASS INSTRUMENT ทาลงบนอิเลคโทรดก่อนที่นำไปติดลงบนผิวนัง เพื่อช่วยให้มีการนำไฟฟ้า ได้ดีขึ้น หลังจากนั้น โปรแกรมจะทำการบันทึกข้อมูลสัญญาณไฟฟ้ากล้ามเนื้อที่ได้รับเข้ามา และทำการวิเคราะห์สัญญาณด้วยวิธีการทางคณิตศาสตร์ต่างๆ (ฐานะคะแนนในบทที่ 3) แล้วนำข้อมูลหรือ ค่าพารามิเตอร์ที่ได้มาใช้ในการจำแนกหาผู้มีปัญหาการกลืนด้วยวิธีการทางโครงข่ายประสาท (Neural Network) รูปแบบต่างๆ (ฐานะคะแนนในบทที่ 4) ซึ่งจะทำให้โปรแกรมสามารถจำแนกผู้ที่ มีปัญหาการกลืนออกจากคนปกติได้ และช่วยให้แพทย์สามารถทำการวินิจฉัยได้แม่นยำขึ้น ประหยัดเวลา และลดอัตราผู้ป่วยมากกว่าวิธีการเดิมๆ ที่เคยใช้กันมา



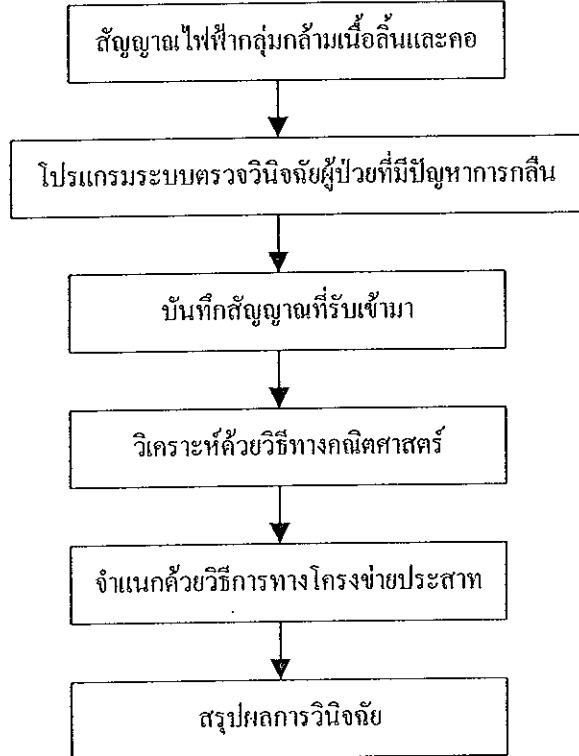
ภาพประกอบ 2-1 แสดงตำแหน่งการติดอิเลคโทรดบริเวณลำคอของอาสาสมัคร

โครงสร้างของระบบตรวจวินิจฉัยผู้ป่วยที่มีปัญหาการกลืนในงานวิจัยนี้ ประกอบด้วย สัญญาณไฟฟ้าจากอิเลคโทรด จะผ่านไปยังเครื่องขยายสัญญาณไฟฟ้าโดยใช้วงจรขยายไฟฟ้าเด่นของไอซี ISO164 และวงจรของความถี่ผ่านเฉพาะช่วงที่มีช่วง Passband ตั้งแต่ 20 Hz ถึง 2 kHz ซึ่งสัญญาณไฟฟ้าจะถูกขยายด้วยอัตราการขยายสัญญาณ 300 เท่า โดยที่เครื่องขยายสัญญาณไฟฟ้าที่ใช้ในงานวิจัยนี้เป็นส่วนหนึ่งของการพัฒนาระบบ hart's ของระบบช่วยวินิจฉัยผู้ป่วยที่มีปัญหาการกลืน (ธีรเดช เศวตไพบูลย์กิจ, 2540) หลังจากผ่านเครื่องขยายสัญญาณแล้ว สัญญาณจะถูกส่งผ่านไปยังการ์ด Lab-PC-1200/AI ภายในเครื่องคอมพิวเตอร์โดยทำหน้าที่แปลงสัญญาณอนาล็อกให้เป็นสัญญาณดิจิตอล (ดูรายละเอียดคุณสมบัติในภาคผนวก ข) ซึ่งสัญญาณที่ได้จะถูกขยายด้วยอัตราการขยายสัญญาณ 10 เท่า และสัญญาณที่ได้จะถูกบันทึกโดยโปรแกรมระบบตรวจวินิจฉัยผู้ป่วยที่มีปัญหาการกลืน ซึ่งจะทำการบันทึกข้อมูลได้สูงสุดจำนวน 32512 จุด โดยจะจับสัญญาณจากอาสาสมัครคนละกลืนน้ำ จำนวน 3 ครั้ง จากนั้นจะนำข้อมูลที่ได้ไปทำการวิเคราะห์โดยใช้โปรแกรมระบบตรวจวินิจฉัยผู้ป่วยที่มีปัญหาการกลืนอีกรั้งหนึ่ง ดังแสดงในภาพประกอบ 2-2



ภาพประกอบ 2-2 แสดงโครงสร้างการทำงานของระบบตรวจวินิจฉัยในงานวิจัยนี้

จากการประกอบ 2-2 ในส่วนของการบันทึกและวิเคราะห์สัญญาณโดยใช้โปรแกรมระบบตรวจวินิจฉัยผู้ป่วยที่มีปัญหาการกลืน สามารถที่จะแสดงขั้นตอนการทำงานได้ดังภาพประกอบ 2-3



ภาพประกอบ 2-3 แสดงขั้นตอนการทำงานในส่วนของโปรแกรมระบบตรวจวินิจฉัยผู้ป่วยที่มีปัญหาการกลืน

จากการประกอบ 2-3 สร้างไฟฟ้ากลุ่มล้านเนื้อ ซึ่งเป็นสร้างไฟฟ้ากลุ่มล้านเนื้อ ซึ่งเป็นสัญญาณคิจตอนจะถูกส่งไปยังโปรแกรมเพื่อทำการบันทึกข้อมูลด้วยจำนวน 32512 ชุด หลังจากนั้นจะถูกวิเคราะห์ค่าวิธีการทางคณิตศาสตร์ พารามิเตอร์ที่ได้จากการคำนวณจะถูกส่งไปจำแนกค่าวิธีการทางโครงข่ายประสาท รูปแบบต่างๆ ดูด้วยโปรแกรมจะทำการสรุปผลการวินิจฉัยที่มีปัญหาการกลืนออกจากคนปกติ

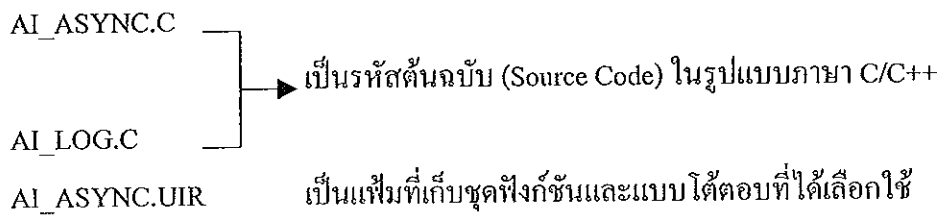
2.1 ซอฟต์แวร์ที่ใช้ในการพัฒนาโปรแกรม

การพัฒนาโปรแกรมระบบตรวจวินิจฉัยผู้ป่วยที่มีปัญหาการกลืน จะใช้ซอฟต์แวร์ที่ชื่อว่า LabWindows/CVI for Windows Ver. 4.0.1 ของบริษัท National Instruments Corporation U.S.A ซึ่งจะเขียนโปรแกรมในรูปแบบของ Visual C เท็มผลลัพธ์ในการเดือดใช้ซอฟต์แวร์นี้ ได้แก่

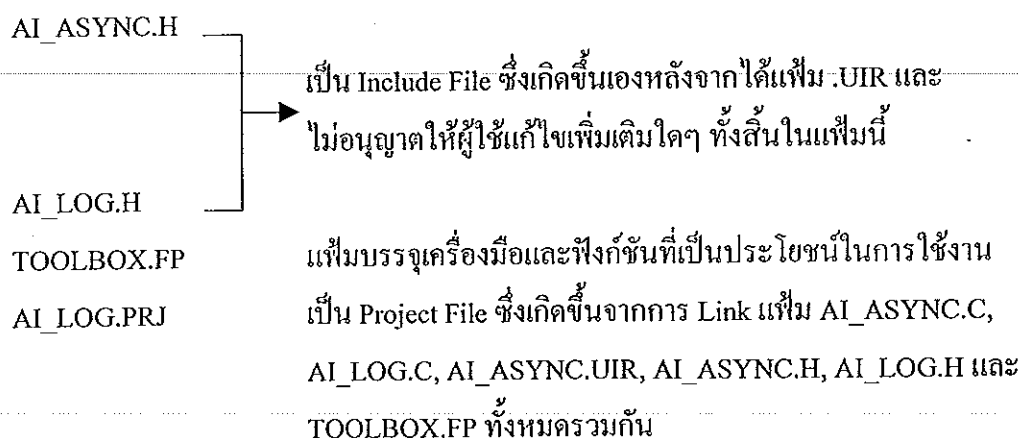
- 2.1.1 มีลักษณะการเขียนโปรแกรมแบบโครงสร้าง ทำให้ง่ายต่อการเขียนและการเปลี่ยนแปลงแก้ไข

- 2.1.2 โปรแกรมจะเป็นลักษณะที่มีชุดฟังก์ชันและแบบโต้ตอบ มีส่วนอำนวยความสะดวกในการทำภาพกราฟิกที่ใช้งานได้ง่าย หมายคือการเชื่อมต่อ (Interface) กับผู้ใช้ผ่านทางหน้าจอคอมพิวเตอร์
- 2.1.3 การพัฒนาโปรแกรมสามารถแบ่งงานออกเป็นหน่วย (Unit) แล้วทำการเรียกใช้ภายหลัง ทำให้การพัฒนาโปรแกรมเป็นไปด้วยความสะดวกมากขึ้น
- 2.1.4 ตัวแปลภาษาไมโครซึ่งมีอ่อนนุ่มอำนวยความสะดวกในการพัฒนาโปรแกรมให้มากนay ในการพัฒนาระบบที่มีการพัฒนาโปรแกรมอยู่นั้นจำเป็นที่จะต้อง Run บนโปรแกรม LabWindows/CVI for Windows Ver. 4.0.1 ไปก่อน ซึ่งใช้งานบนระบบ Windows 95 หากโปรแกรมที่ได้เห็นว่ามีความสมบูรณ์แล้วประสงค์ที่จะใช้ในแบบที่มีส่วนขยายไฟล์ข้อมูลเป็นชนิด .EXE ก็สามารถที่จะคอมไพล์ (Compile) ไปเป็นไฟล์ .EXE ได้แต่ต้องมีคอมไพล์เตอร์ (Compiler) ตามรูปแบบของภาษาที่ใช้ในการเขียนมาใช้ในการคอมไпал์

ในการพัฒนาในครั้งนี้ ผู้วิจัยได้เลียนในรูปแบบ Visual C ซึ่งจะได้ไฟล์ในการพัฒนาซึ่งอ่วว่า AI_ASYNC.C และ AI_LOG.C แล้ว Run บนโปรแกรม LabWindows/CVI for Windows Ver. 4.0.1 โดยยังไม่มีการคอมไпал์ไปเป็นไฟล์ .EXE ซึ่งจะมีไฟล์ข้อมูลที่เกี่ยวข้องในการพัฒนาครั้งนี้ ได้แก่



โดยจะเกิดขึ้นเมื่อมีการขอใช้ User Interface Library

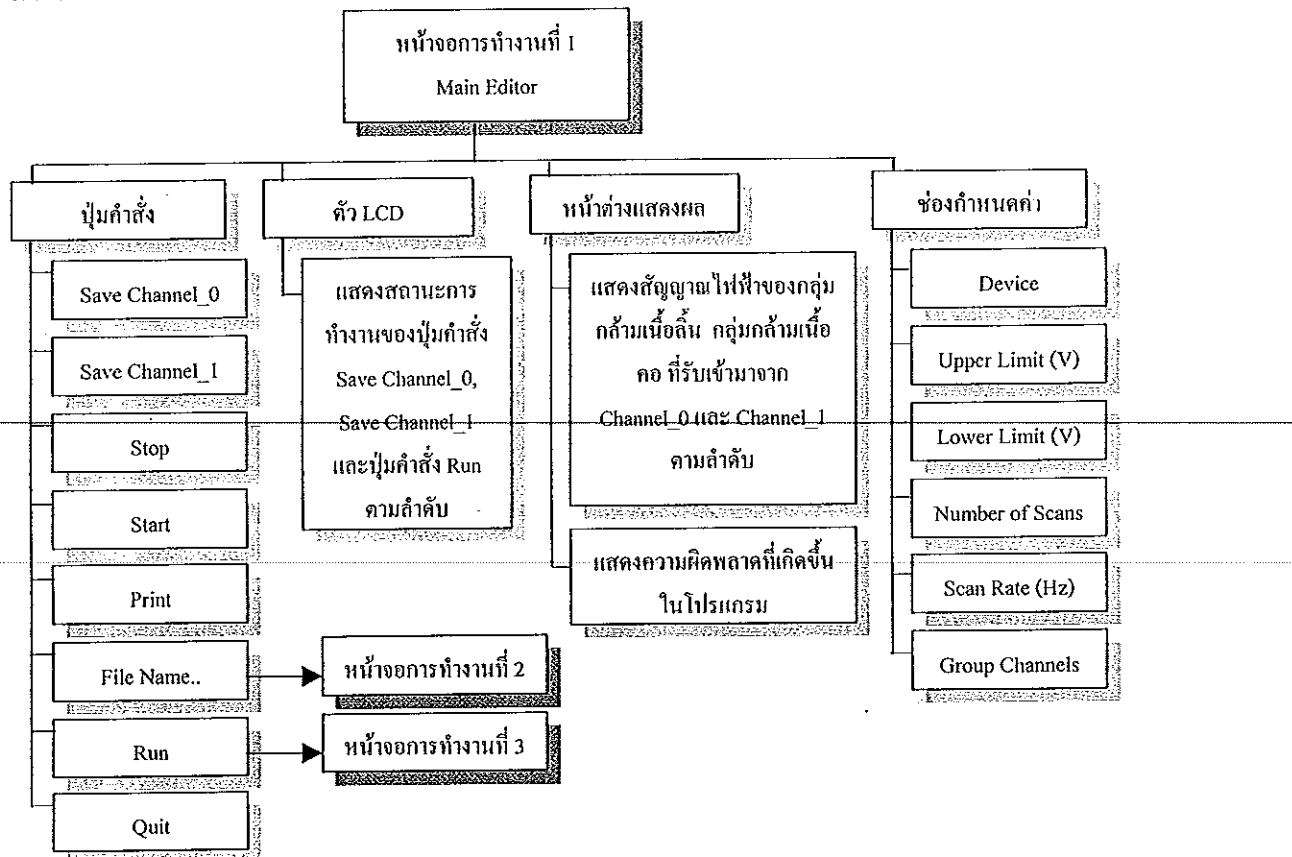


จะต้องมีครบทั้ง 6 แฟ้มนี้ ได้แก่ AI_ASYNC.C, AI_LOG.C, AI_ASYNC.UIR, AI_ASYNC.H, AI_LOG.H และ TOOLBOX.FP จึงจะ Run แฟ้ม AI_LOG.PRJ ได้บนโปรแกรม LabWindows/CVI for Windows Ver. 4.0.1 เพื่อเข้าสู่การทำงานของโปรแกรมระบบตรวจวินิจฉัยผู้ป่วยที่มีปัญหาการกลืนต่อไป

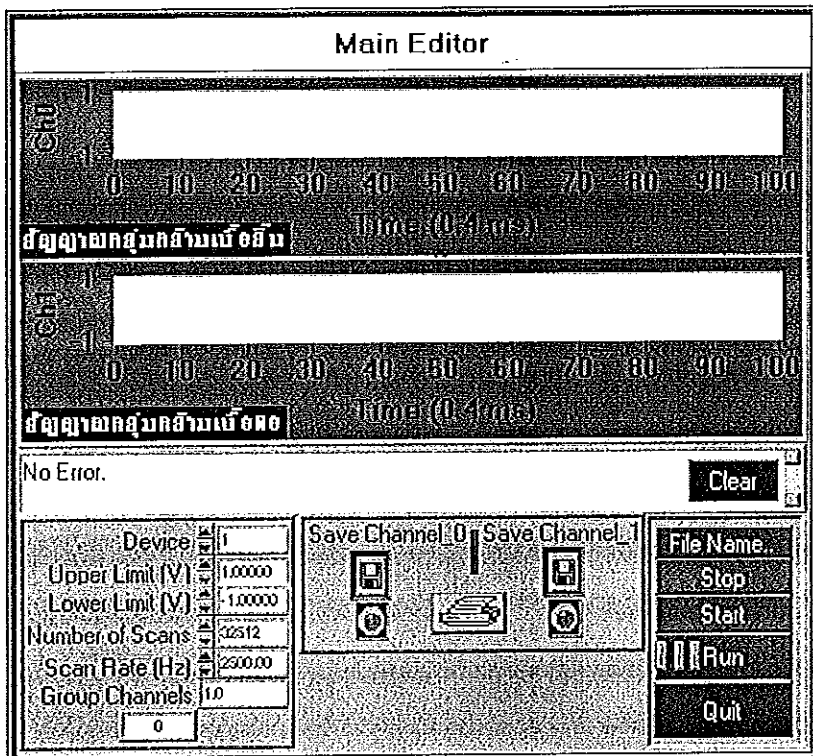
ในส่วนเริ่มต้นของการพัฒนาโปรแกรมระบบตรวจวินิจฉัยผู้ป่วยที่มีปัญหาการกลืนในบทนี้ จะเป็นการออกแบบโครงสร้างการทำงาน และรูปแบบของหน้าจอการทำงานรวมทั้งหมวด 18 หน้าจอ โดยมีรายละเอียดและหน้าที่การทำงานต่างๆ ดังนี้

2.2 การออกแบบโครงสร้างการทำงานและรูปแบบหน้าจอการทำงานในโปรแกรม

เมื่อทำการรันแฟ้ม AI_LOG.PRJ บนโปรแกรม LabWindows/CVI for Windows Ver. 4.0.1 โปรแกรมจะเข้าสู่หน้าจอการทำงานที่ 1 ซึ่งมีโครงสร้างการทำงานและรูปแบบของหน้าจอการทำงาน ดังแสดงในภาพประกอบ 2-4 และ 2-5 ตามลำดับ



ภาพประกอบ 2-4 แสดงโครงสร้างการทำงานของหน้าจอการทำงานที่ 1



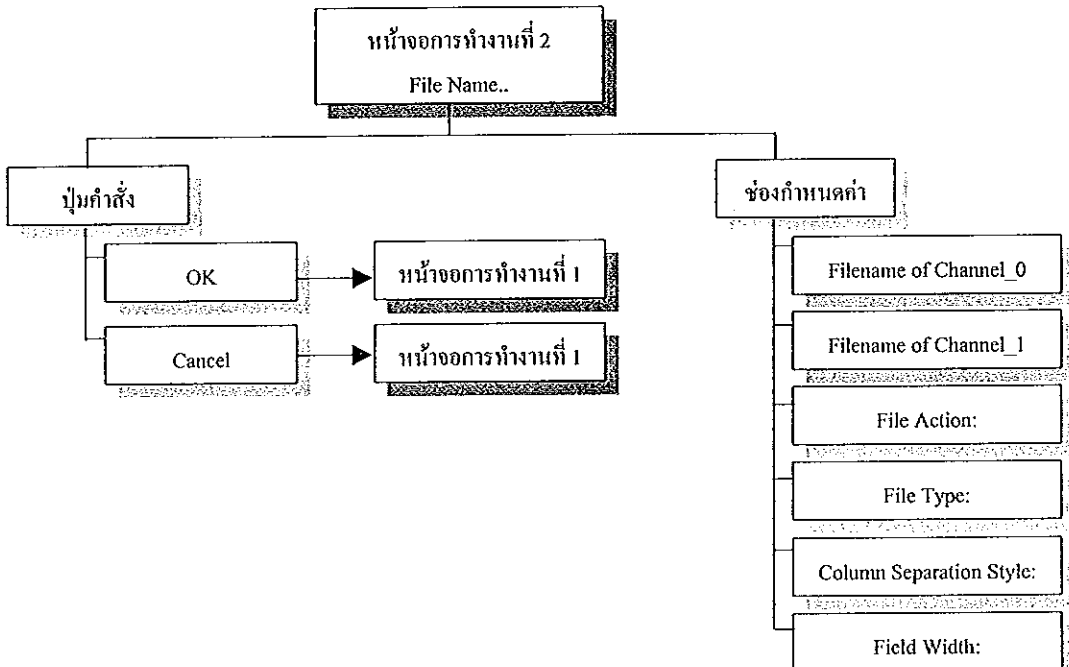
ภาพประกอบ 2-5 แสดงหน้าจอการทำงานที่ 1

จากภาพประกอบ 2-4 และ 2-5 มีส่วนประกอบและหน้าที่การทำงานต่างๆ ดังนี้

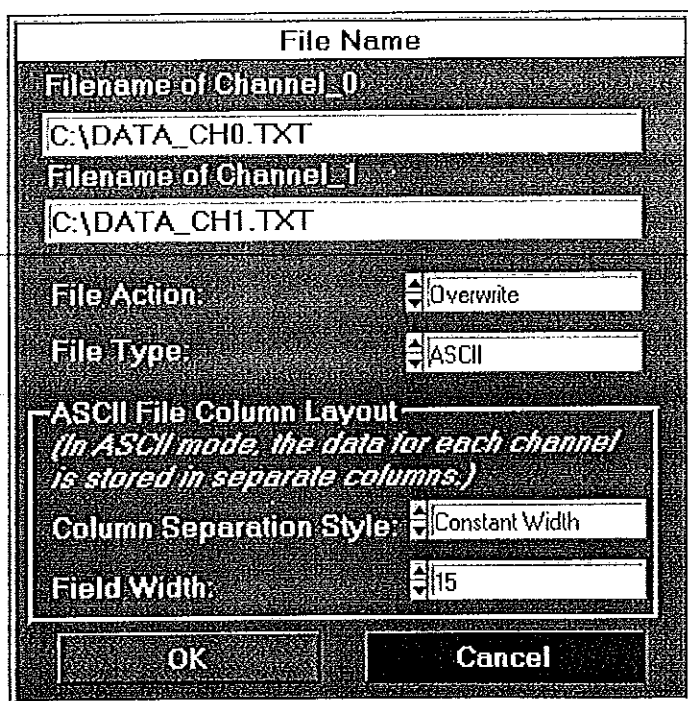
- 2.2.1 หน้าต่างแสดงผลสัญญาณ ทำหน้าที่แสดงผลสัญญาณไฟฟ้าของกลุ่มกล้องเนื้อคลื่นที่รับเข้ามาจาก Channel_0 และแสดงผลสัญญาณไฟฟ้าของกลุ่มกล้องเนื้อคลื่นที่รับเข้ามาจาก Channel_1 ตามลำดับ
- 2.2.2 หน้าต่างแสดงผล Error ทำหน้าที่แสดงข้อความผิดพลาดที่เกิดขึ้นจากการใช้งานโปรแกรมเพื่อให้ผู้ใช้งานทำการแก้ไขต่อไป
- 2.2.3 ช่องกำหนดค่า Device ทำหน้าที่กำหนดค่าจำนวนอุปกรณ์ทางด้านฮาร์ดแวร์ที่ใช้งานภายในเครื่องคอมพิวเตอร์เพื่อทำงานร่วมกับโปรแกรม โดยที่โปรแกรมนี้จะใช้อุปกรณ์ 1 ตัว คือ การ์ด Lab-PC-1200/AI จึงกำหนดค่าวัตต์เลขหมายเดียว
- 2.2.4 ช่องกำหนดค่า Upper Limit (V) ทำหน้าที่กำหนดค่า Voltage สูงสุดให้กับโปรแกรมเวลาทำงาน ในโปรแกรมนี้ใช้ค่าเท่ากับ 0.5 โวลต์
- 2.2.5 ช่องกำหนดค่า Lower Limit (V) ทำหน้าที่กำหนดค่า Voltage ต่ำสุดให้กับโปรแกรมเวลาทำงาน ในโปรแกรมนี้ใช้ค่าเท่ากับ -0.5 โวลต์

- 2.2.6 ช่องกำหนดค่า Number of Scans ทำหน้าที่กำหนดค่าจำนวนจุดของสัญญาณที่จะอ่านเข้ามาในโปรแกรม ในโปรแกรมนี้จะกำหนดจำนวนจุดที่อ่านเข้ามาเท่ากับ 32512 จุด
- 2.2.7 ช่องกำหนดค่า Scan Rate (Hz) ทำหน้าที่กำหนดค่า Sampling Rate ในการทำงานให้กับโปรแกรม ในโปรแกรมนี้ใช้ค่า Sampling Rate เท่ากับ 2500 Hz
- 2.2.8 ช่องกำหนดค่า Group Channels ทำหน้าที่กำหนดจำนวนช่องสัญญาณของการ์ด Lab-PC-1200/AI ที่จะใช้งานร่วมกับโปรแกรม ในโปรแกรมนี้จะใช้จำนวน 2 ช่อง สัญญาณ คือ ช่องสัญญาณที่ 0 (Channel_0) และช่องสัญญาณที่ 1 (Channel_1) จึงกำหนดค่าตัวเลขหมายเลข 1, 0 ตามลำดับ
- 2.2.9 ปุ่มคำสั่ง Save Channel_0 ทำหน้าที่บันทึกสัญญาณไฟฟ้าของกลุ่มถ่านเนื้อคลินที่รับเข้ามาจาก Channel_0 โดยมีตัว LCD แสดงสถานะการทำงาน ซึ่งจะเปลี่ยนจากสีเขียวเป็นสีแดง เมื่อมีการบันทึกสัญญาณเกิดขึ้นในโปรแกรม
- 2.2.10 ปุ่มคำสั่ง Save Channel_1 ทำหน้าที่บันทึกสัญญาณไฟฟ้าของกลุ่มถ่านเนื้อคลอที่รับเข้ามาจาก Channel_1 โดยมีตัว LCD แสดงสถานะการทำงาน ซึ่งจะเปลี่ยนจากสีเขียวเป็นสีแดง เมื่อมีการบันทึกสัญญาณเกิดขึ้นในโปรแกรม
- 2.2.11 ปุ่มคำสั่ง File Name.. ทำหน้าที่เกี่ยวกับการจัดการไฟล์ในลักษณะต่างๆ เมื่อเลือกปุ่มคำสั่งนี้ โปรแกรมก็จะทำงานเข้าไปปั้งหน้าจอการทำงานที่ 2 ดังแสดงในภาพประกอบ 2-7
- 2.2.12 ปุ่มคำสั่ง Stop ทำหน้าที่หยุดการอ่านสัญญาณไฟฟ้าของกลุ่มถ่านเนื้อคลิน และกลุ่มถ่านเนื้อคลอ ที่รับเข้ามาจาก Channel_0 และ Channel_1 ตามลำดับ ชั่วคราว
- 2.2.13 ปุ่มคำสั่ง Start ทำหน้าที่ยกเลิกการทำงานของปุ่มคำสั่ง Stop เพื่อให้โปรแกรมทำการอ่านสัญญาณที่รับเข้ามาต่อไป
- 2.2.14 ปุ่มคำสั่ง Run ทำหน้าที่รันโปรแกรมเพื่อเข้าสู่หน้าจอการวิเคราะห์สัญญาณ โดยมีตัว LCD 3 ตัว แสดงสถานะการทำงาน เมื่อเลือกปุ่มคำสั่งนี้ โปรแกรมก็จะทำงานเข้าไปปั้งหน้าจอการทำงานที่ 3 ดังแสดงในภาพประกอบ 2-9
- 2.2.15 ปุ่มคำสั่ง Quit ทำหน้าที่ยกเลิกการทำงานหรือออกจากโปรแกรม
- 2.2.16 ปุ่มคำสั่ง Print ทำหน้าที่พิมพ์รูปหน้าจอการทำงานที่ 1 ออกทางเครื่องพิมพ์

เมื่อทำการเดือกดูคำสั่ง File Name.. ในหน้าจอการทำงานที่ 1 โปรแกรมจะเข้าสู่หน้าจอการทำงานที่ 2 ซึ่งมีโครงสร้างการทำงานและรูปแบบของหน้าจอการทำงาน ดังแสดงในภาพประกอบ 2-6 และ 2-7 ตามลำดับ



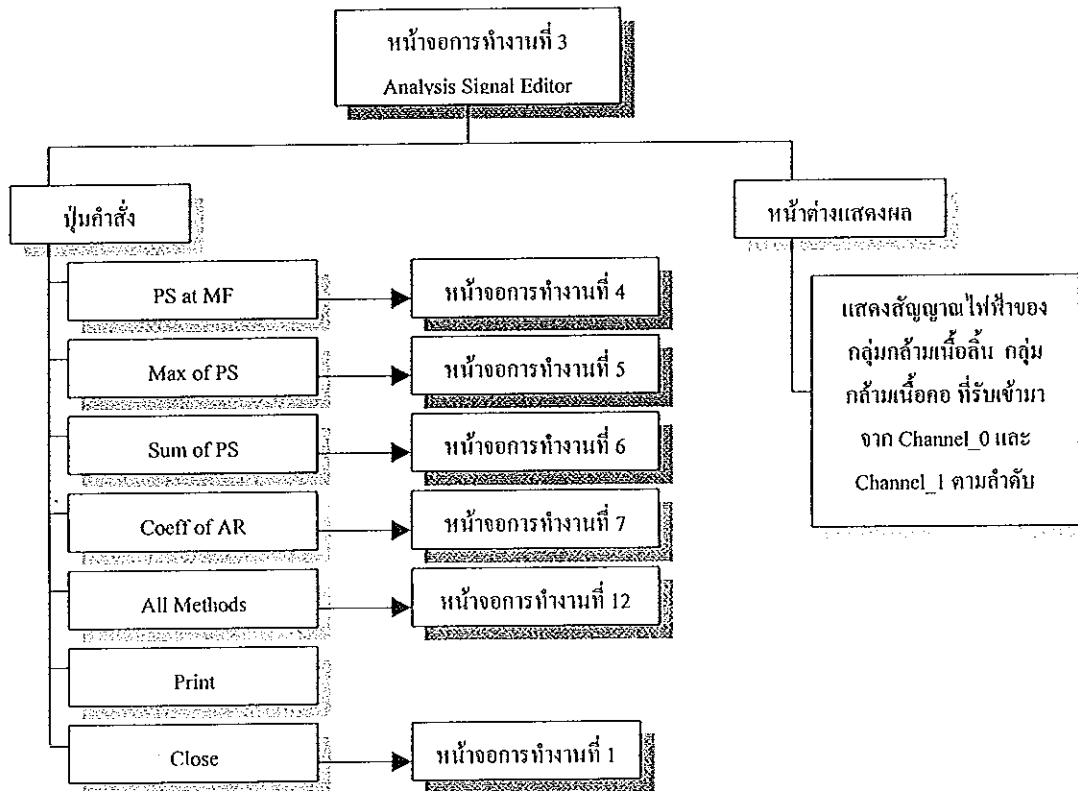
ภาพประกอบ 2-6 แสดงโครงสร้างการทำงานของหน้าจอการทำงานที่ 2



ภาพประกอบ 2-7 แสดงหน้าจอการทำงานที่ 2

- จากภาพประกอบ 2-6 และ 2-7 มีส่วนประกอบและหน้าที่การทำงานต่างๆ ดังนี้
- 2.2.17 ช่องกำหนดค่า Filename of Channel_0 ทำหน้าที่กำหนดตำแหน่งที่อยู่ของไฟล์ และกำหนดชื่อไฟล์ที่ต้องการจะบันทึกสัญญาณไฟฟ้าของกลุ่มกล้ามเนื้อด้านที่รับเข้ามาจาก Channel_0 ในโปรแกรมนี้จะกำหนดค่าปกติเป็น C:\DATA_CH0.TXT
 - 2.2.18 ช่องกำหนดค่า Filename of Channel_1 ทำหน้าที่กำหนดตำแหน่งที่อยู่ของไฟล์ และกำหนดชื่อไฟล์ที่ต้องการจะบันทึกสัญญาณไฟฟ้าของกลุ่มกล้ามเนื้อด้านที่รับเข้ามาจาก Channel_1 ในโปรแกรมนี้จะกำหนดค่าปกติเป็น C:\DATA_CH1.TXT
 - 2.2.19 ช่องกำหนดค่า File Action: ทำหน้าที่กำหนดรูปแบบการกระทำต่างๆ ที่เกี่ยวกับไฟล์ ซึ่งโปรแกรมนี้จะกำหนดได้ 2 รูปแบบ คือ การกระทำแบบ Overwrite ไฟล์ และการกระทำแบบ Append ไฟล์ ในโปรแกรมนี้จะกำหนดค่าปกติเป็นแบบ Overwrite ไฟล์
 - 2.2.20 ช่องกำหนดค่า File Type: ทำหน้าที่กำหนดรูปแบบชนิดของไฟล์ที่จะทำการบันทึก ซึ่งโปรแกรมนี้จะกำหนดได้ 2 รูปแบบ คือ การบันทึกไฟล์เป็นแบบ ASCII และการบันทึกไฟล์เป็นแบบ Binary ในโปรแกรมนี้จะกำหนดค่าปกติเป็นการบันทึกไฟล์แบบ ASCII
 - 2.2.21 ช่องกำหนดค่า Column Separation Style: ทำหน้าที่กำหนดรูปแบบการแบ่งแยกคอลัมน์ที่ใช้ในการบันทึกไฟล์ในรูปแบบต่างๆ ได้แก่ การแบ่งแยกคอลัมน์แบบ Constant Width การแบ่งแยกคอลัมน์แบบ Comma และการแบ่งแยกคอลัมน์แบบ Tab ในโปรแกรมนี้จะกำหนดค่าปกติเป็นแบบ Constant Width
 - 2.2.22 ช่องกำหนดค่า Field Width: ทำหน้าที่กำหนดค่าความกว้างของฟีลด์ในคอลัมน์ จะใช้งานได้ก็ต่อเมื่อต้องกำหนดค่าในช่อง Column Separation Style เป็นแบบ Constant Width เท่านั้น ในโปรแกรมนี้จะกำหนดค่าความกว้างปกติเท่ากับ 15
 - 2.2.23 ปุ่มคำสั่ง OK ทำหน้าที่รับค่าหาระยะต่อตัวงาน ห้องหนดที่ได้กำหนดไว้ในหน้าจอการทำงานที่ 2 ส่งต่อให้โปรแกรมทำงานต่อไป หลังจากนั้นจะกลับเข้าสู่หน้าจอการทำงานที่ 1
 - 2.2.24 ปุ่มคำสั่ง Cancel ทำหน้าที่ยกเลิกการทำงานและปิดหน้าจอการทำงานที่ 2 หลังจากนั้นจะกลับเข้าสู่หน้าจอการทำงานที่ 1

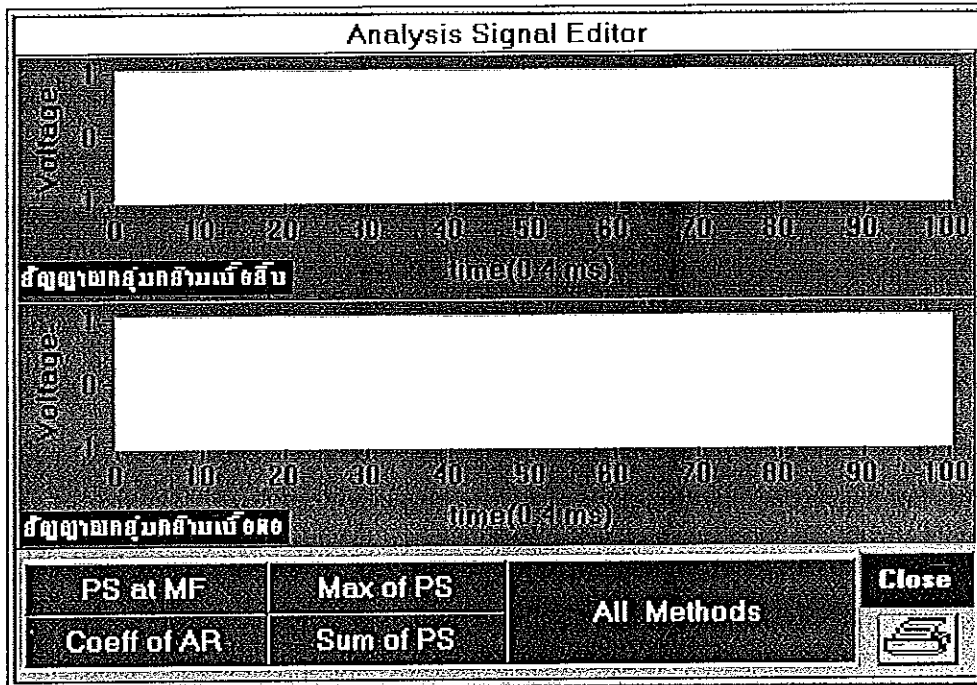
เมื่อทำการเลือกปุ่มคำสั่ง Run ในหน้าจอการทำงานที่ 1 โปรแกรมจะเข้าสู่หน้าจอการทำงานที่ 3 ซึ่งมีโครงสร้างการทำงานและรูปแบบของหน้าจอการทำงาน ดังแสดงในภาพประกอบ 2-8 และ 2-9 ตามลำดับ



ภาพประกอบ 2-8 แสดงโครงสร้างการทำงานของหน้าจอการทำงานที่ 3

ตัวอักษรย่อของปุ่มคำสั่งที่แสดงในโครงสร้างการทำงานของหน้าจอการทำงานที่ 3 ได้แก่

1. PS at MF เป็นวิธีวิเคราะห์ค่าความหนาแน่นของกำลังเชิงสเปกตรัมที่ความถี่นี้เดียว
2. Max of PS เป็นวิธีวิเคราะห์จากค่าสูงสุดของค่าความหนาแน่นของกำลังเชิงสเปกตรัม
3. Sum of PS เป็นวิธีวิเคราะห์โดยวิธีการหาค่าลังของสัญญาณในช่วงการกลืน
4. Coeff of AR เป็นวิธีวิเคราะห์โดยหาค่าสัมประสิทธิ์ของออโตรีเกรสซีฟโมเดล



ภาพประกอบ 2-9 แสดงหน้าจอการทำงานที่ 3

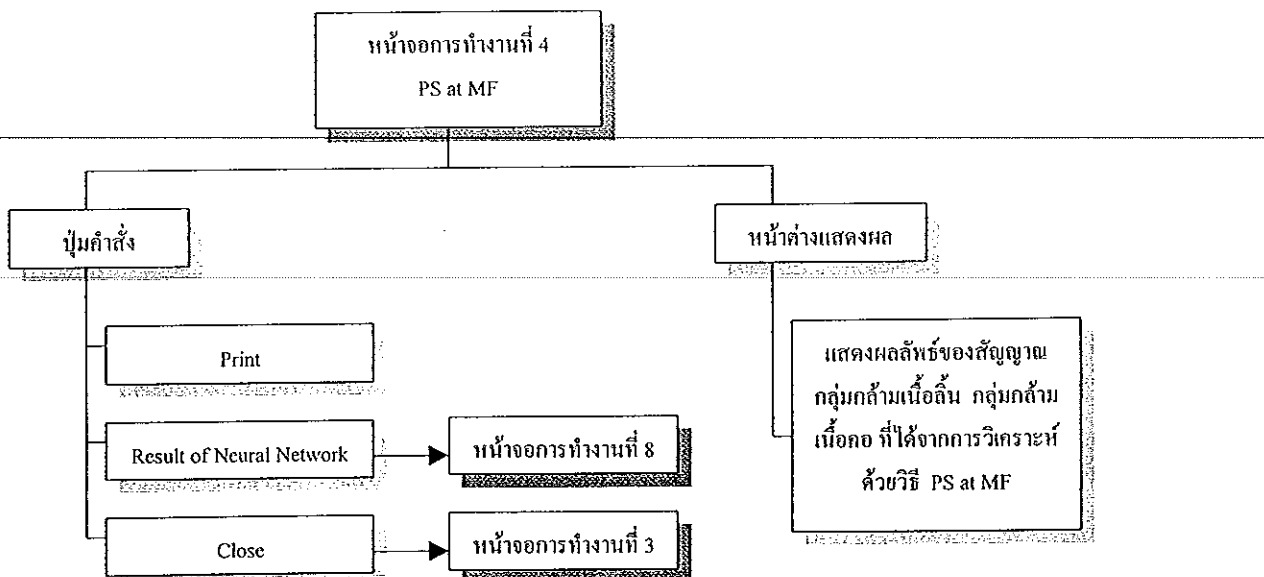
จากภาพประกอบ 2-8 และ 2-9 มีส่วนประกอบและหน้าที่การทำงานต่างๆ ดังนี้

- 2.2.25 หน้าต่างแสดงผลสัญญาณ ทำหน้าที่แสดงผลสัญญาณไฟฟ้าของกลุ่มกล้องเนื้อลินที่รับเข้ามาจาก Channel_0 และแสดงผลสัญญาณไฟฟ้าของกลุ่มกล้องเนื้อคอกที่รับเข้ามาจาก Channel_1 ตามลำดับ
- 2.2.26 ปุ่มคำสั่ง PS at MF ทำหน้าที่วิเคราะห์สัญญาณไฟฟ้าของกลุ่มกล้องเนื้อลินและกลุ่มกล้องเนื้อคอกที่รับเข้ามาจาก Channel_0 และ Channel_1 ตามลำดับ ด้วยวิธีการวิเคราะห์ค่าความหนาแน่นของกำลังเชิงสเปกตรัมที่ความถี่มีเดิน เมื่อเลือกปุ่มคำสั่งนี้ โปรแกรมจะเข้าสู่หน้าจอการทำงานที่ 4 ดังแสดงในภาพประกอบ 2-11
- 2.2.27 ปุ่มคำสั่ง Max of PS ทำหน้าที่วิเคราะห์สัญญาณไฟฟ้าของกลุ่มกล้องเนื้อลินและกลุ่มกล้องเนื้อคอกที่รับเข้ามาจาก Channel_0 และ Channel_1 ตามลำดับ ด้วยวิธีการวิเคราะห์ค่าสูงสุดของความหนาแน่นของกำลังเชิงสเปกตรัม เมื่อเลือกปุ่มคำสั่งนี้ โปรแกรมจะเข้าสู่หน้าจอการทำงานที่ 5 ดังแสดงในภาพประกอบ 2-13
- 2.2.28 ปุ่มคำสั่ง Sum of PS ทำหน้าที่วิเคราะห์สัญญาณไฟฟ้าของกลุ่มกล้องเนื้อลินและกลุ่มกล้องเนื้อคอกที่รับเข้ามาจาก Channel_0 และ Channel_1 ตามลำดับ ด้วยวิธี

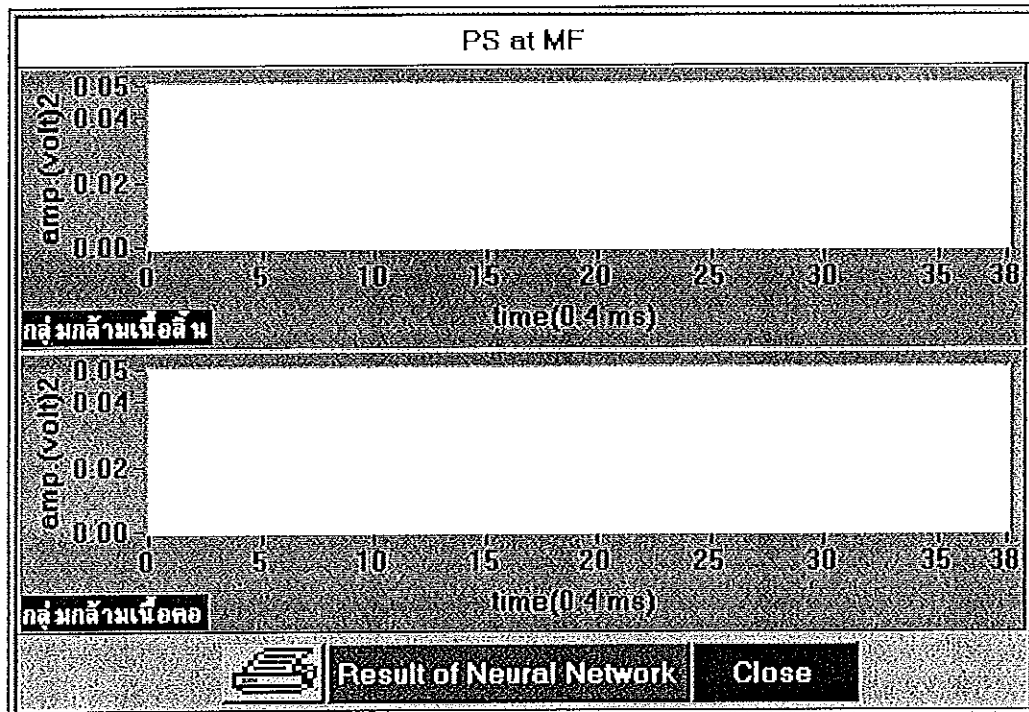
การหาค่าดั้งของสัญญาณไฟฟ้าในช่วงการกลืน เมื่อเลือกปุ่มคำสั่งนี้ โปรแกรมจะเข้าสู่หน้าจอการทำงานที่ 6 ดังแสดงในภาพประกอบ 2-15

- 2.2.29 ปุ่มคำสั่ง Coeff of AR ทำหน้าที่วิเคราะห์สัญญาณไฟฟ้าของกลุ่มกล้านเนื้อดินและกลุ่มกล้านเนื้อคอกที่รับเข้ามาจาก Channel_0 และ Channel_1 ตามลำดับ ด้วยวิธีการวิเคราะห์ค่าสัมประสิทธิ์ของอัตรารสเซฟไมเดล เมื่อเลือกปุ่มคำสั่งนี้ โปรแกรมจะเข้าสู่หน้าจอการทำงานที่ 7 ดังแสดงในภาพประกอบ 2-17
- 2.2.30 ปุ่มคำสั่ง All Methods ทำหน้าที่แสดงผลลัพธ์ที่ได้ทั้งหมด ภายหลังจากการใช้งานปุ่มคำสั่ง PS at MF ปุ่มคำสั่ง Max of PS ปุ่มคำสั่ง Ceoff of AR และปุ่มคำสั่ง Sum of PS ตามลำดับ เมื่อเลือกปุ่มคำสั่งนี้ โปรแกรมจะเข้าสู่หน้าจอการทำงานที่ 12 ดังแสดงในภาพประกอบ 2-27
- 2.2.31 ปุ่มคำสั่ง Print ทำหน้าที่พิมพ์รูปหน้าจอการทำงานที่ 3 ออกทางเครื่องพิมพ์
- 2.2.32 ปุ่มคำสั่ง Close ทำหน้าที่ปิดหน้าจอการทำงานที่ 3 และกลับเข้าสู่หน้าจอการทำงานที่ 1 ต่อไป

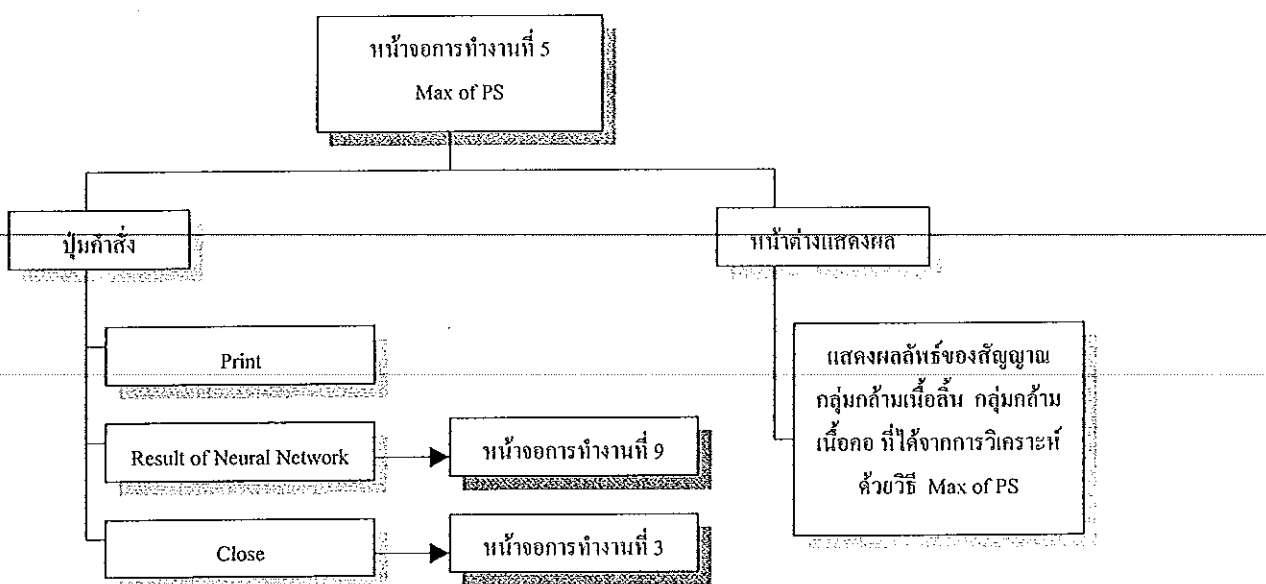
เมื่อทำการเลือกปุ่มคำสั่ง PS at MF, Max of PS, Sum of PS และ Coeff of AR ในหน้าจอการทำงานที่ 3 โปรแกรมจะเข้าสู่หน้าจอการทำงานที่ 4, 5, 6 และ 7 ตามลำดับ ซึ่งมีโครงสร้างการทำงานและรูปแบบของหน้าจอการทำงาน ดังแสดงในภาพประกอบ 2-10 ถึง 2-17 ตามลำดับ



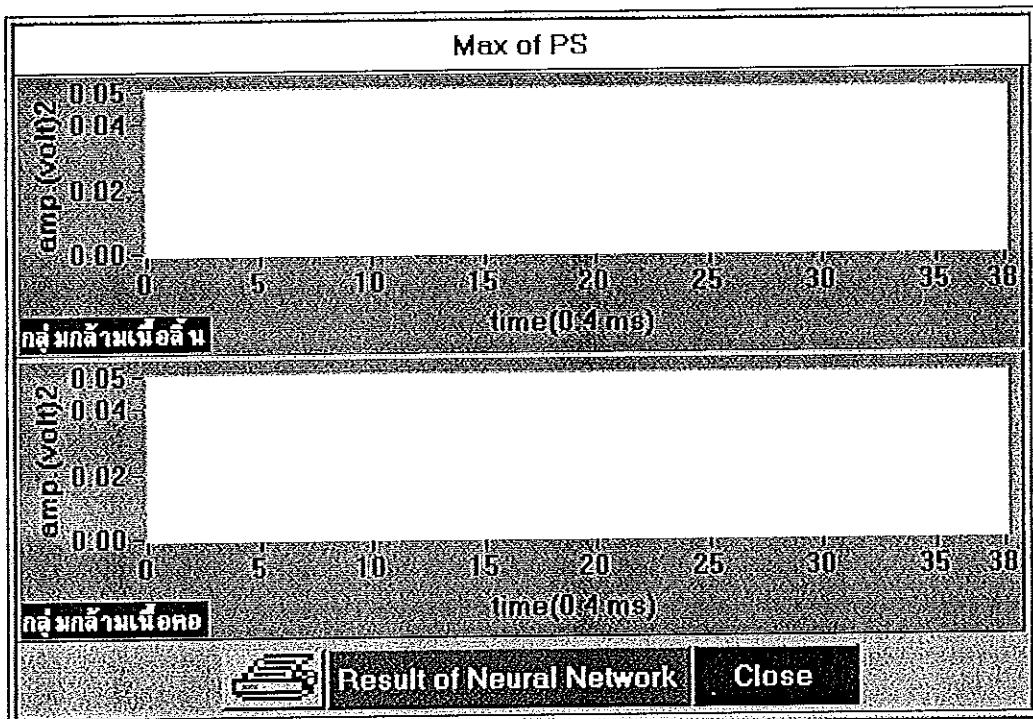
ภาพประกอบ 2-10 แสดงโครงสร้างการทำงานของหน้าจอการทำงานที่ 4



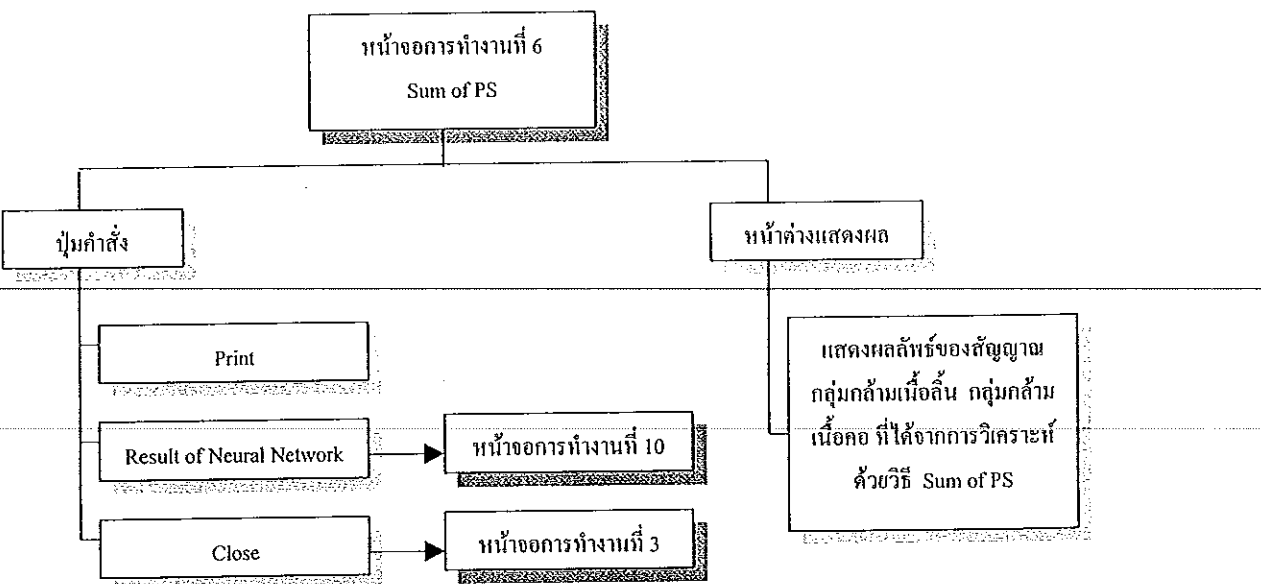
ภาพประกอบ 2-11 แสดงหน้าจอการทำงานที่ 4



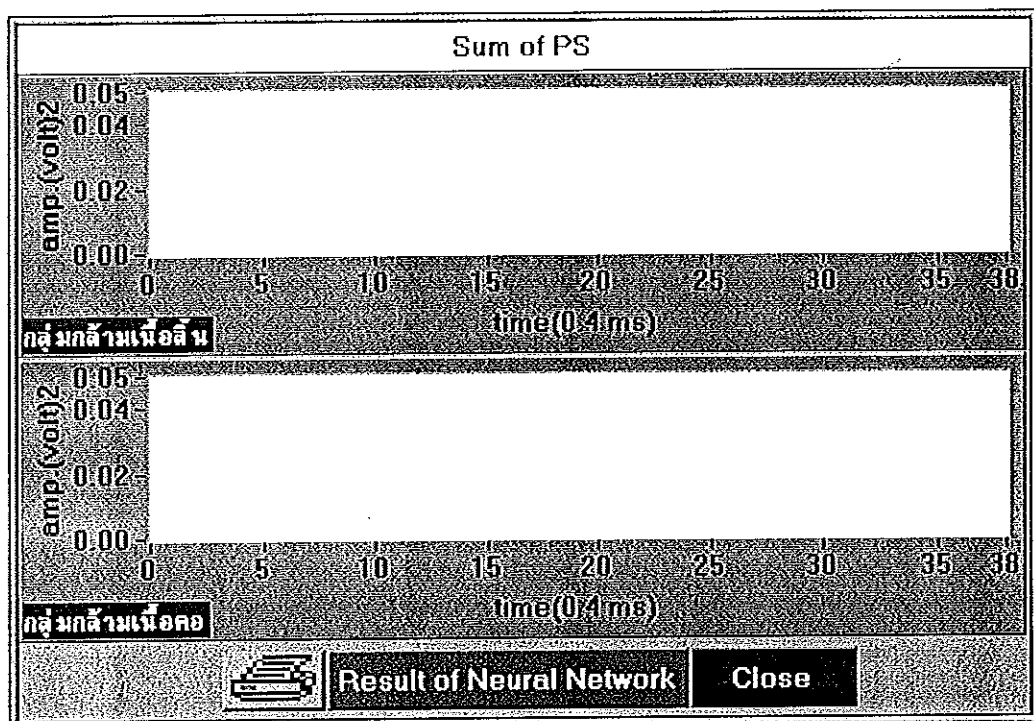
ภาพประกอบ 2-12 แสดงโครงสร้างการทำงานของหน้าจอการทำงานที่ 5



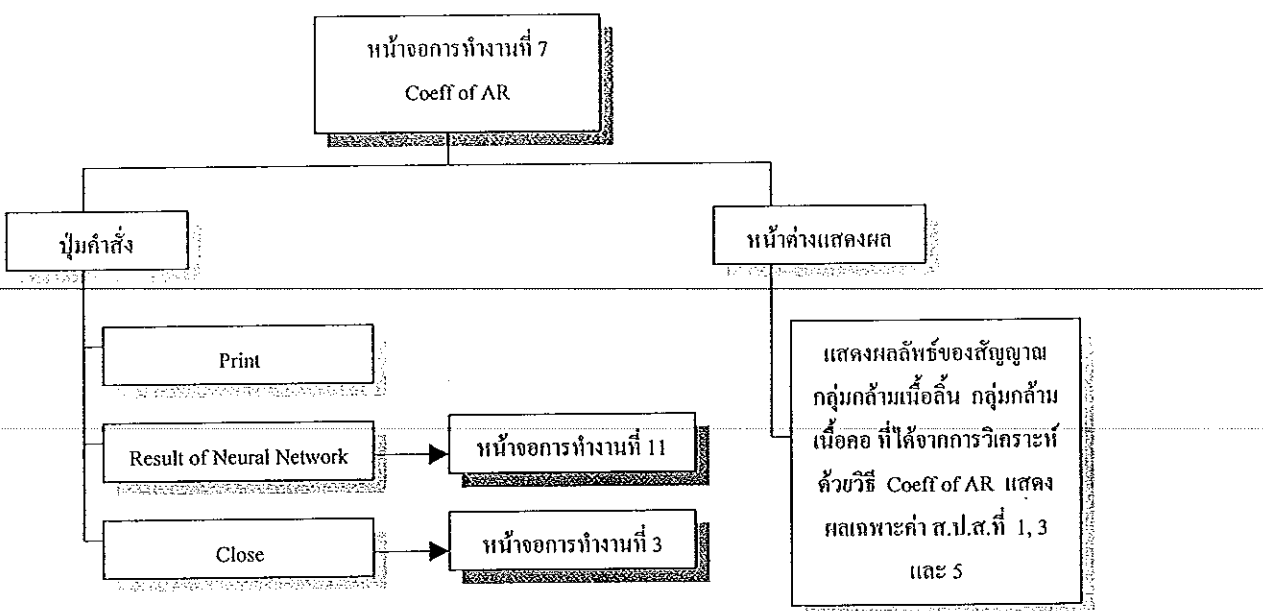
ภาพประกอบ 2-13 แสดงหน้าจอการทำงานที่ 5



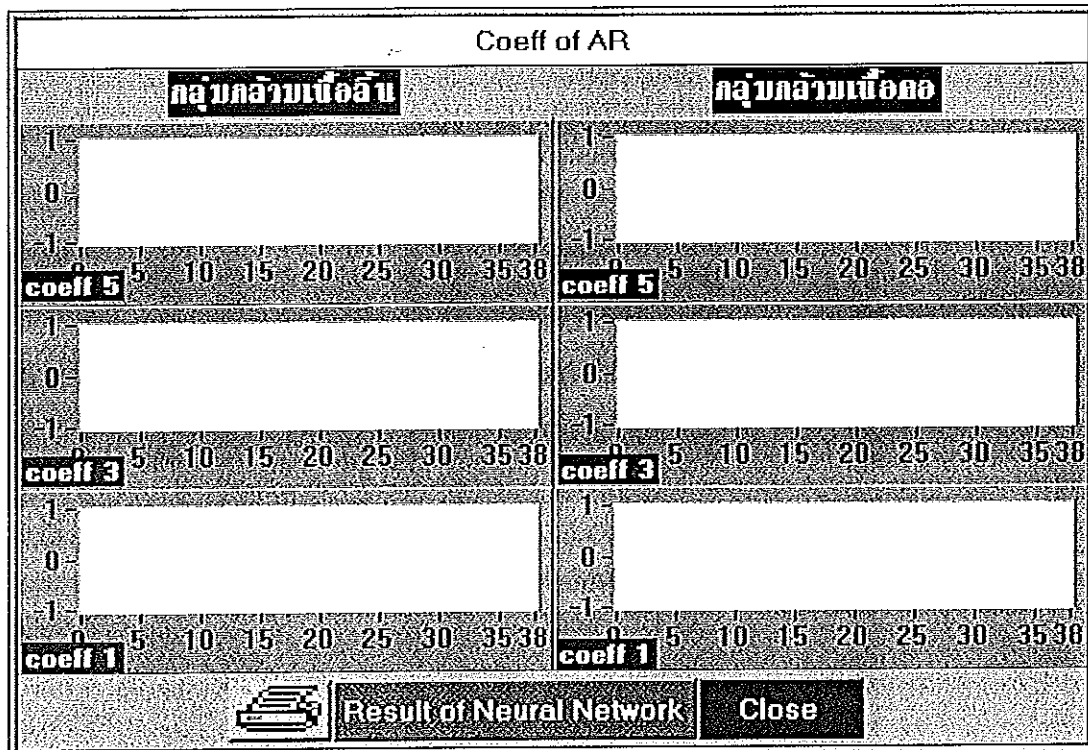
ภาพประกอบ 2-14 แสดงโครงสร้างการทำงานของหน้าจอการทำงานที่ 6



ภาพประกอบ 2-15 แสดงหน้าจอการทำงานที่ 6



ภาพประกอบ 2-16 แสดงโครงสร้างการทำงานของหน้าจอการทำงานที่ 7



ภาพประกอบ 2-17 แสดงหน้าจอการทำงานที่ 7

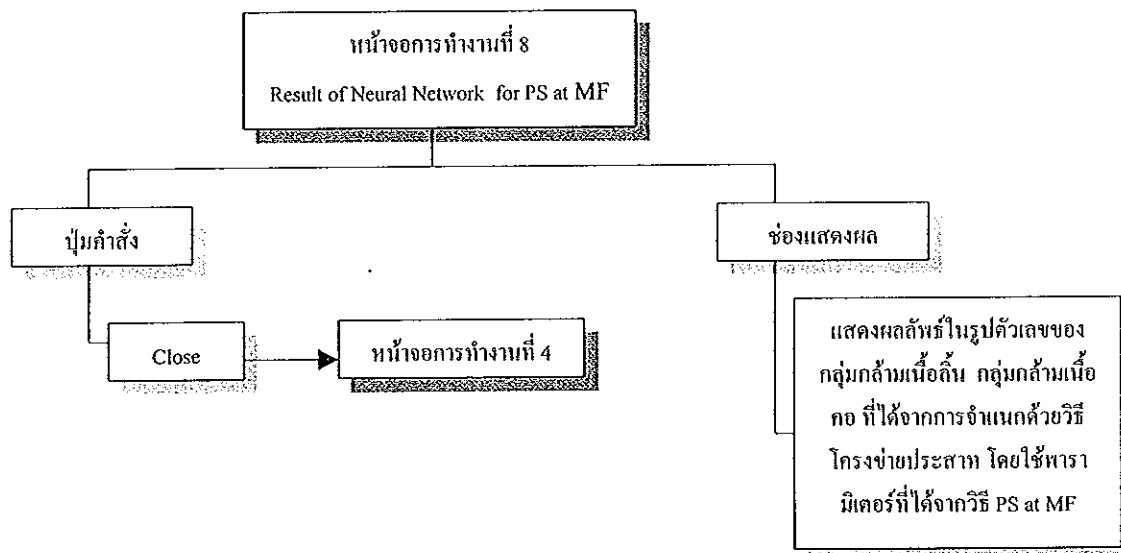
จากการประกอบ 2-10 ถึง 2-17 มีส่วนประกอบและหน้าที่การทำงานต่างๆ ดังนี้

- 2.2.33 หน้าต่างแสดงผล ทำหน้าที่แสดงผลลัพธ์ของสัญญาณกลุ่มกล้านเนื้อลินและกลุ่มกล้านเนื้อคอก ที่เกิดจากการใช้งานปุ่มคำสั่ง PS at MF ปุ่มคำสั่ง Max of PS ปุ่มคำสั่ง Ceoff of AR หรือปุ่มคำสั่ง Sum of PS ในหน้าจอการทำงานที่ 3
- 2.2.34 ปุ่มคำสั่ง Print ทำหน้าที่พิมพ์รูปหน้าจอการทำงานที่ปรากฏออกทางเครื่องพิมพ์
- 2.2.35 ปุ่มคำสั่ง Result of Neural Network ทำหน้าที่แสดงผลลัพธ์ที่ได้จากการจำแนก ด้วยวิธีการทางโครงข่ายประสาท ของกลุ่มกล้านเนื้อลินและกลุ่มกล้านเนื้อคอก โดยใช้พารามิเตอร์ที่ได้จากการวิเคราะห์ด้วยวิธีการทางคอมพิวเตอร์ของแต่ละวิธี เมื่อเลือกปุ่มคำสั่ง Result of Neural Network ในหน้าจอการทำงานที่ 4 โปรแกรมจะเข้าสู่หน้าจอการทำงานที่ 8 ดังแสดงในภาพประกอบ 2-19 ถ้าเลือกปุ่มคำสั่ง Result of Neural Network ในหน้าจอการทำงานที่ 5 โปรแกรมจะเข้าสู่หน้าจอการทำงานที่ 9 ดังแสดงในภาพประกอบ 2-21 ถ้าเลือกปุ่มคำสั่ง Result of Neural Network ในหน้าจอการทำงานที่ 6 โปรแกรมจะเข้าสู่หน้าจอการทำงานที่ 10 ดัง

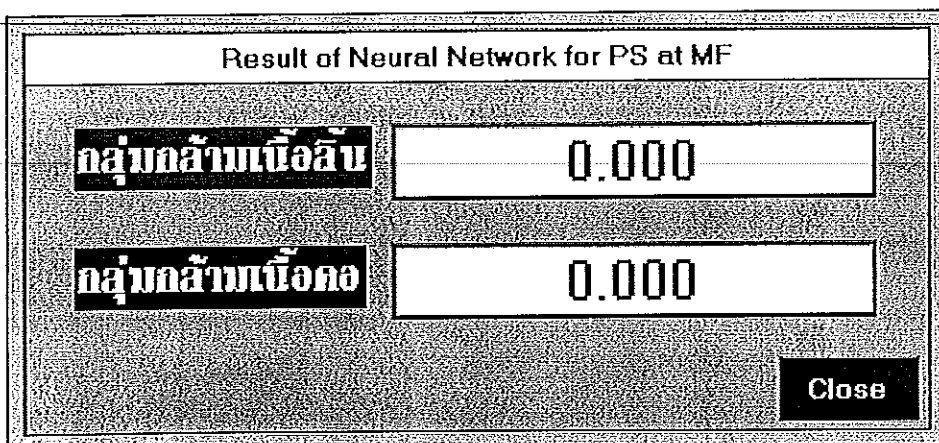
แสดงในภาพประกอบ 2-23 และถ้าเลือกปุ่มคำสั่ง Result of Neural Network ในหน้าจอการทำงานที่ 7 โปรแกรมจะเข้าสู่หน้าจอการทำงานที่ 11 ดังแสดงในภาพประกอบ 2-25 ตามลำดับ

2.2.36 ปุ่มคำสั่ง Close ทำหน้าที่ยกเลิกหรือปิดหน้าจอการทำงานที่เปิดอยู่

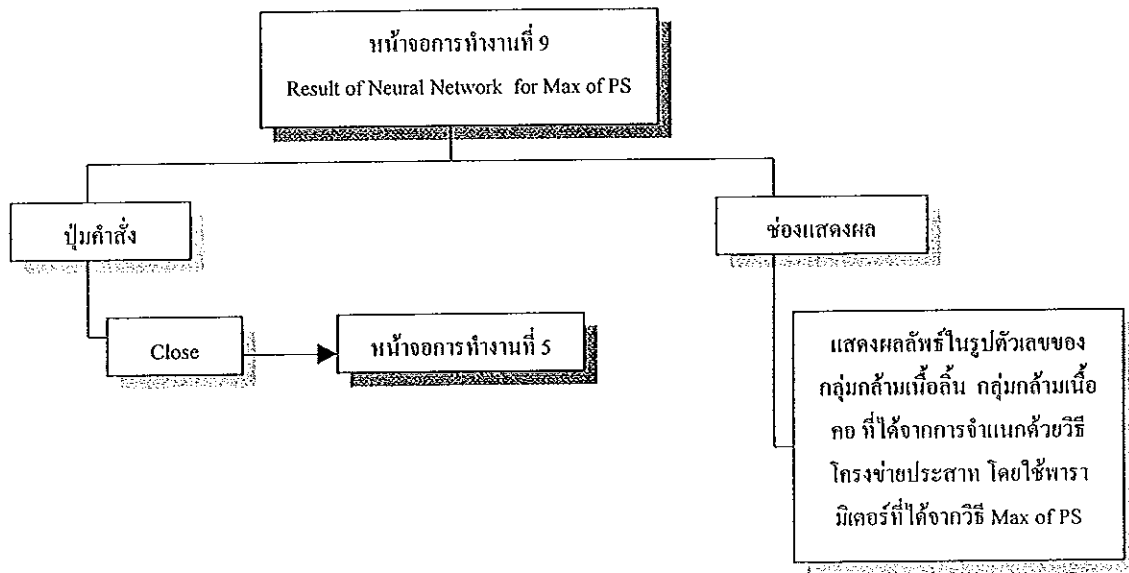
เมื่อทำการเลือกปุ่มคำสั่ง Result of Neural Network ในหน้าจอการทำงานที่ 4, 5, 6 และ 7 โปรแกรมจะเข้าสู่หน้าจอการทำงานที่ 8, 9, 10 และ 11 ตามลำดับ ซึ่งมีโครงสร้างการทำงานและรูปแบบของหน้าจอการทำงาน ดังแสดงในภาพประกอบ 2-18 ถึง 2-25 ตามลำดับ



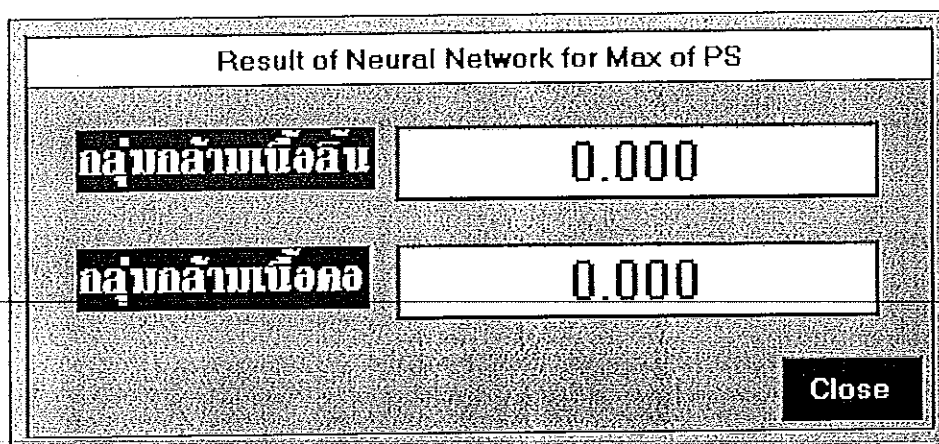
ภาพประกอบ 2-18 แสดงโครงสร้างการทำงานของหน้าจอการทำงานที่ 8



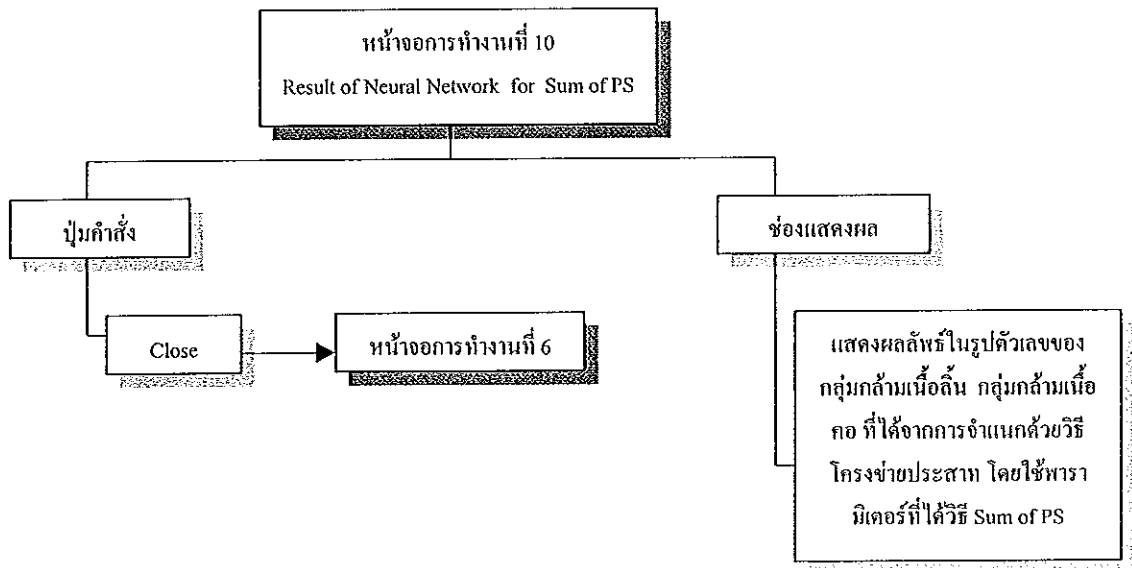
ภาพประกอบ 2-19 แสดงหน้าจอการทำงานที่ 8



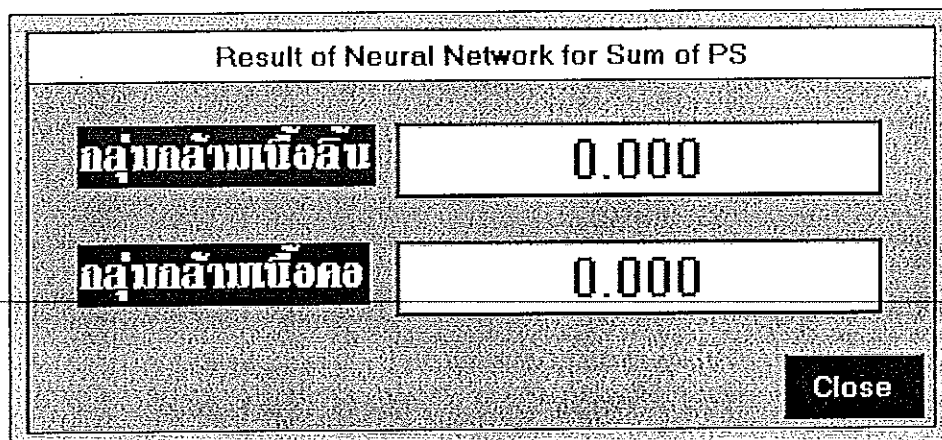
ภาพประกอบ 2-20 แสดงโครงสร้างการทำงานของหน้าจอการทำงานที่ 9



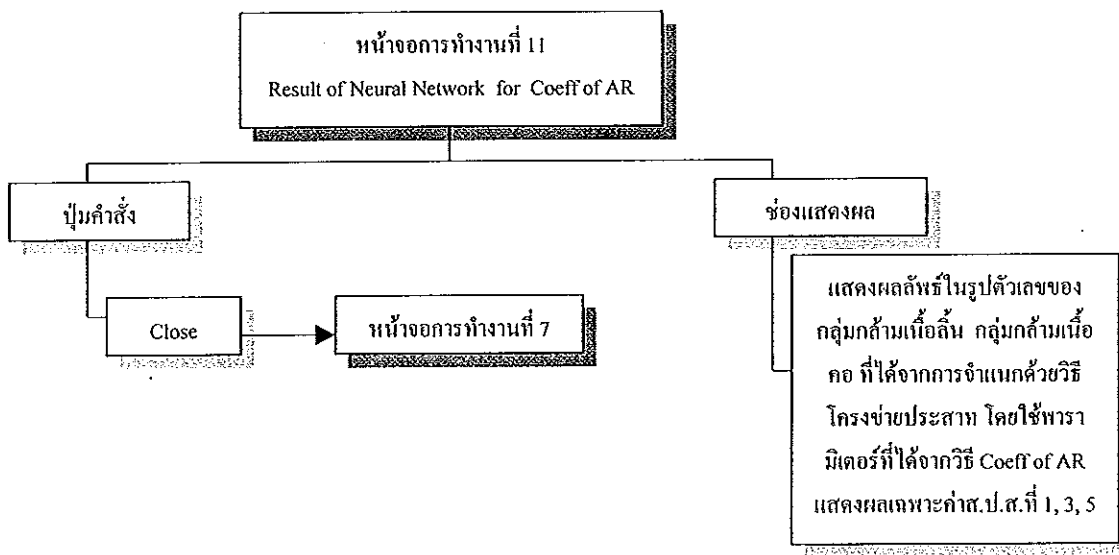
ภาพประกอบ 2-21 แสดงหน้าจอการทำงานที่ 9



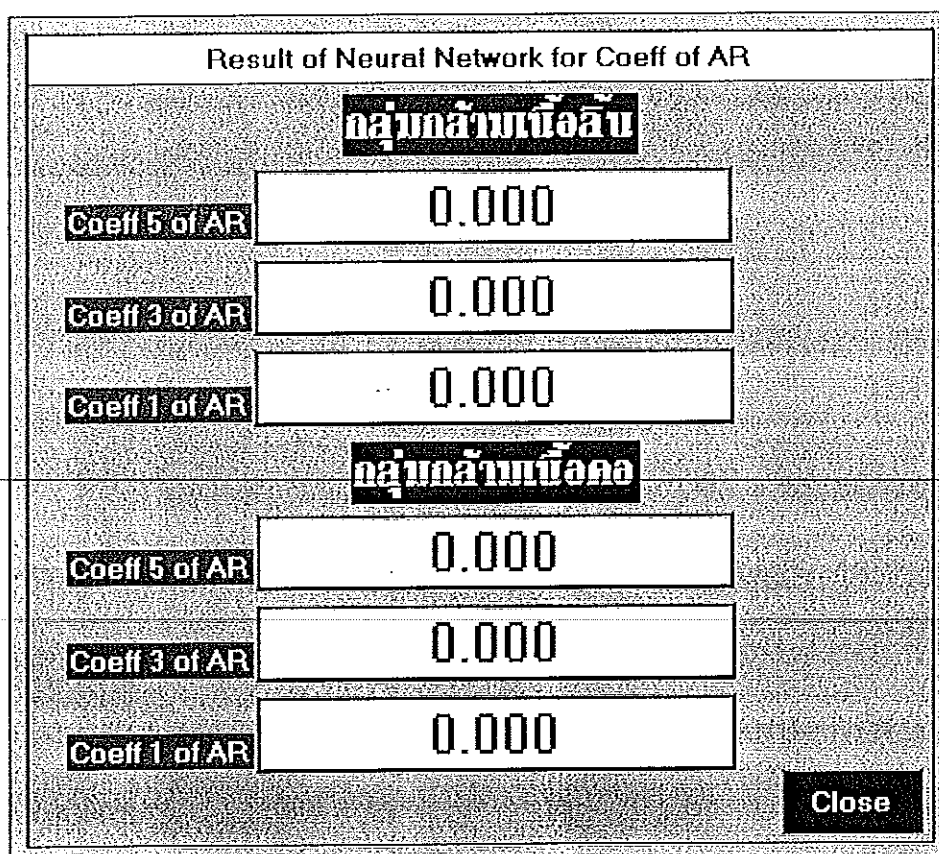
ภาพประกอบ 2-22 แสดงโครงสร้างการทำงานของหน้าจอการทำงานที่ 10



ภาพประกอบ 2-23 แสดงหน้าจอการทำงานที่ 10



ภาพประกอบ 2-24 แสดงโครงสร้างการทำงานของหน้าจอการทำงานที่ 11

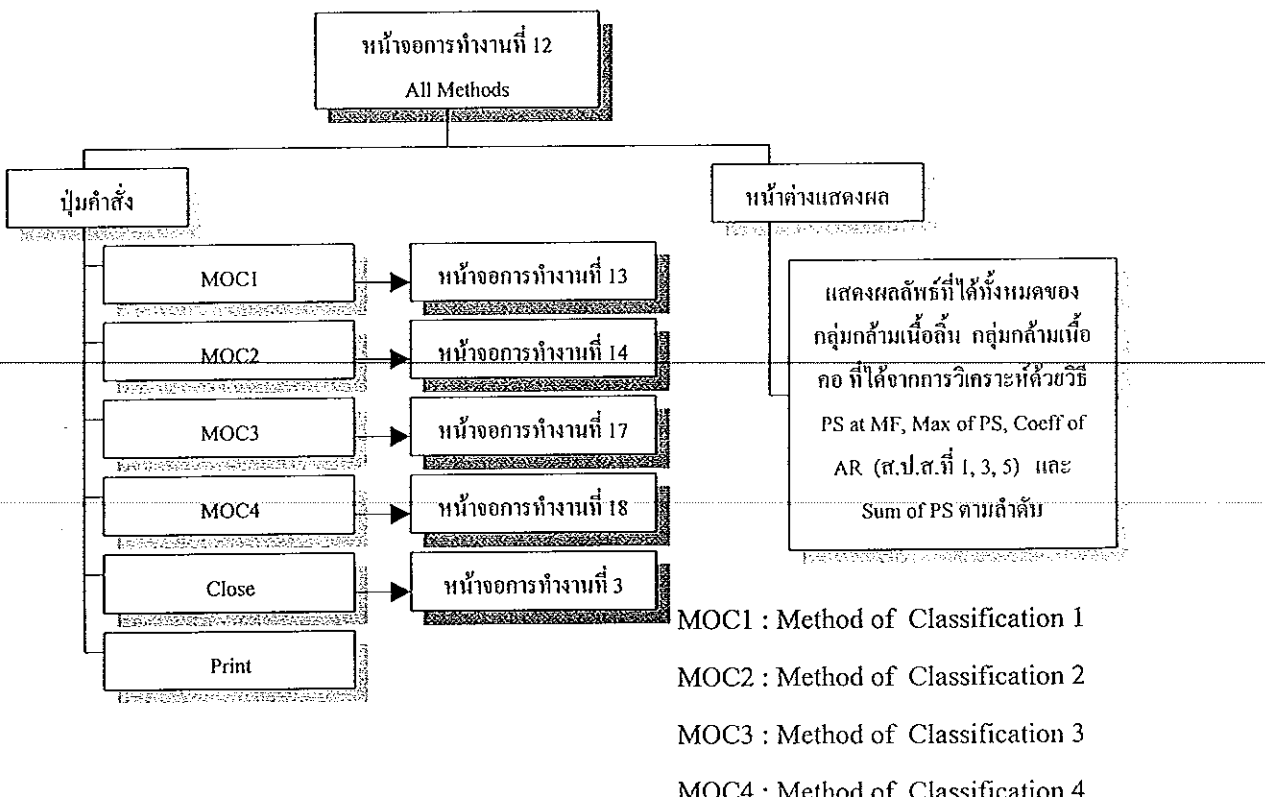


ภาพประกอบ 2-25 แสดงหน้าจอการทำงานที่ 11

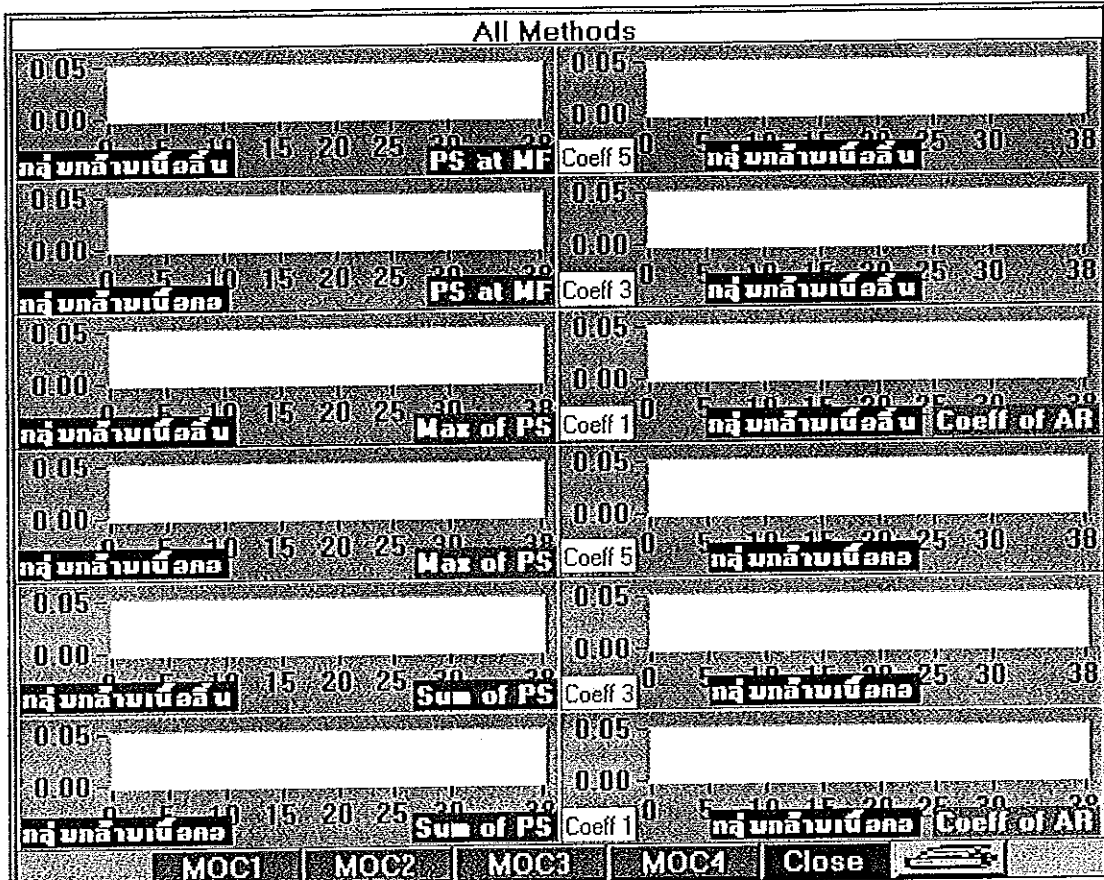
จากภาพประกอบ 2-18 ถึง 2-25 มีส่วนประกอบและหน้าที่การทำงานต่างๆ ดังนี้

- 2.2.37 ช่องแสดงผลของกลุ่มกล้ามเนื้อกลืน ทำหน้าที่แสดงผลลัพธ์ในรูปตัวเลขของกลุ่มกล้ามเนื้อกลืน ที่เกิดจากการใช้งานปุ่มคำสั่ง Result of Neural Network ในหน้าจอการทำงานที่ 4, 5, 6 หรือ 7 ซึ่งถ้าโปรแกรมยังไม่ได้ทำงาน โปรแกรมก็จะแสดงผลลัพธ์เป็นค่าตัวเลขปกติเท่ากับ 0.000
- 2.2.38 ช่องแสดงผลของกลุ่มกล้ามเนื้อคอ ทำหน้าที่แสดงผลลัพธ์ในรูปตัวเลขของกลุ่มกล้ามเนื้อคอ ที่เกิดจากการใช้งานปุ่มคำสั่ง Result of Neural Network ในหน้าจอการทำงานที่ 4, 5, 6 หรือ 7 ซึ่งถ้าโปรแกรมยังไม่ได้ทำงาน โปรแกรมก็จะแสดงผลลัพธ์เป็นค่าตัวเลขปกติเท่ากับ 0.000
- 2.2.39 ปุ่มคำสั่ง Close ทำหน้าที่ปิดหน้าจอการทำงานที่เปิดอยู่

เมื่อทำการเลือกปุ่มคำสั่ง All Methods ในหน้าจอการทำงานที่ 3 จะเข้าสู่หน้าจอการทำงานที่ 12 ซึ่งมีโครงสร้างการทำงานและรูปแบบของหน้าจอการทำงาน ดังแสดงในภาพประกอบ 2-26 และ 2-27 ตามลำดับ



ภาพประกอบ 2-26 แสดงโครงสร้างการทำงานของหน้าจอการทำงานที่ 12



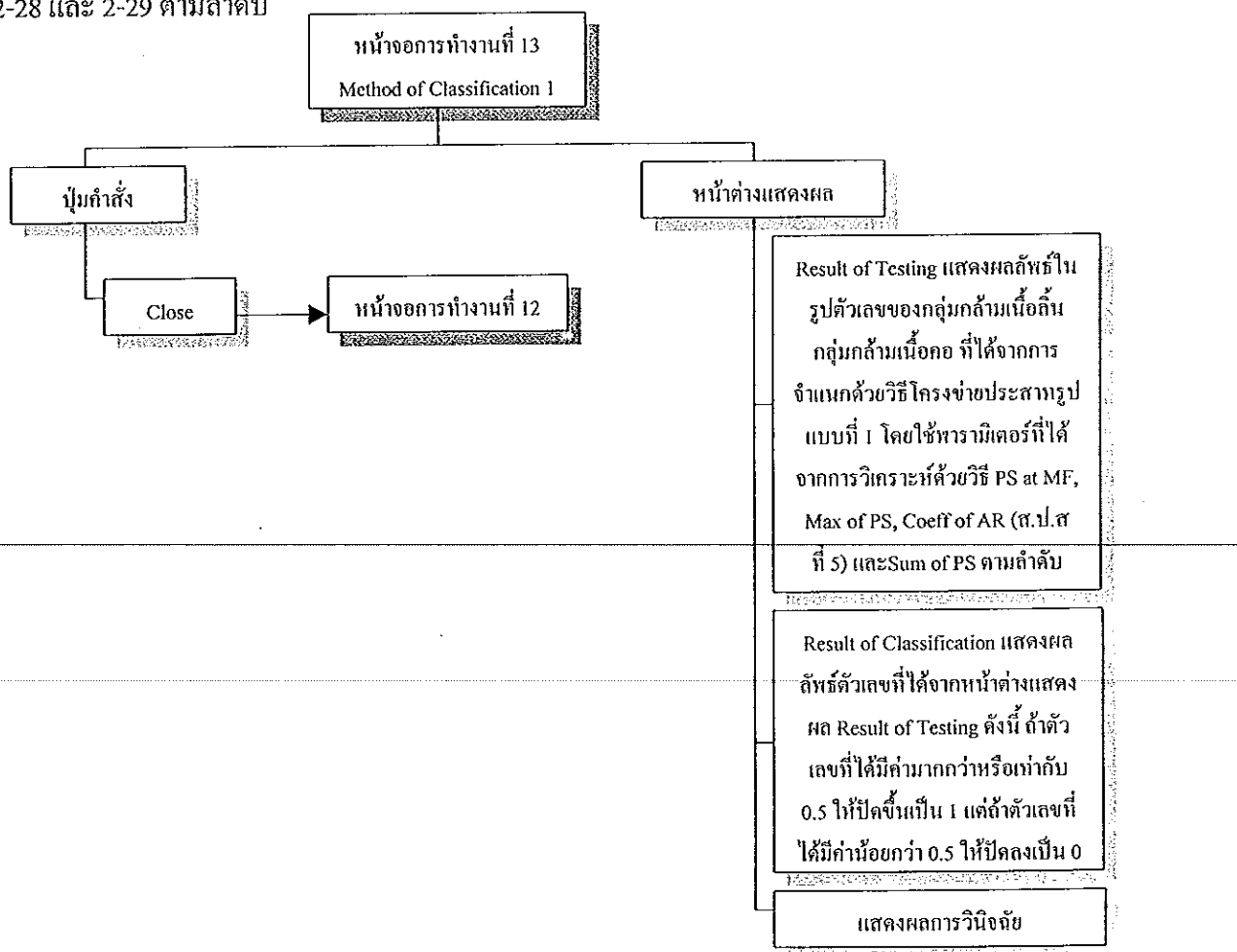
ภาพประกอบ 2-27 แสดงหน้าของการทำงานที่ 12

จากภาพประกอบ 2-26 และ 2-27 มีส่วนประกอบและหน้าที่การทำงานต่างๆ ดังนี้

- 2.2.40 หน้าต่างแสดงผล ทำหน้าที่แสดงผลลัพธ์ที่ได้จากการใช้งานปุ่มคำสั่ง PS at MF ปุ่มคำสั่ง Max of PS ปุ่มคำสั่ง Sum of PS และปุ่มคำสั่ง Coeff of AR ตามลำดับ ในหน้าของการทำงานที่ 3
- 2.2.41 ปุ่มคำสั่ง MOC1 ทำหน้าที่แสดงผลการจำแนกโดยโครงข่ายประสาทรูปแบบที่ 1 เมื่อเลือกปุ่มคำสั่งนี้ จะเข้าสู่หน้าของการทำงานที่ 13 ดังแสดงในภาพประกอบ 2-29
- 2.2.42 ปุ่มคำสั่ง MOC2 ทำหน้าที่แสดงผลการจำแนกโดยโครงข่ายประสาทรูปแบบที่ 2 เมื่อเลือกปุ่มคำสั่งนี้ จะเข้าสู่หน้าของการทำงานที่ 14, 15 และ 16 ดังแสดงในภาพประกอบ 2-31, 2-33 และ 2-35 ตามลำดับ
- 2.2.43 ปุ่มคำสั่ง MOC3 ทำหน้าที่แสดงผลการจำแนกโดยโครงข่ายประสาทรูปแบบที่ 3 เมื่อเลือกปุ่มคำสั่งนี้ จะเข้าสู่หน้าของการทำงานที่ 17 ดังแสดงในภาพประกอบ 2-37

- 2.2.44 ปุ่มคำสั่ง MOC4 ทำหน้าที่แสดงผลการจำแนกที่ได้ทั้งหมดจากโครงข่ายประชากร รูปแบบที่ 1, 2 และ 3 ตามลำดับ ภายหลังมีการใช้งานปุ่มคำสั่ง MOC1 ปุ่มคำสั่ง MOC2 และปุ่มคำสั่ง MOC3 เมื่อเลือกปุ่มคำสั่งนี้ โปรแกรมจะทำงานเข้าสู่หน้าจอการทำงานที่ 18 ดังแสดงในภาพประกอบ 2-39
- 2.2.45 ปุ่มคำสั่ง Print ทำหน้าที่พิมพ์รูปหน้าจอการทำงานที่ 12 ออกทางเครื่องพิมพ์
- 2.2.46 ปุ่มคำสั่ง Close ทำหน้าที่ปิดหน้าจอการทำงานที่ 12 และกลับเข้าสู่หน้าจอการทำงานที่ 3 ต่อไป

เมื่อทำการเลือกปุ่มคำสั่ง MOC1 ในหน้าจอการทำงานที่ 12 โปรแกรมจะเข้าสู่หน้าจอการทำงานที่ 13 ซึ่งมีโครงสร้างการทำงานและรูปแบบของหน้าจอการทำงาน ดังแสดงในภาพประกอบ 2-28 และ 2-29 ตามลำดับ



Method of Classification 1			
Result of Testing			
PS at MF	Max of PS	Coeff 5 of AR	Sum of PS
กบุขกล้ามเนื้อฉัน	กบุขกล้ามเนื้อฉัน	กบุขกล้ามเนื้อฉัน	กบุขกล้ามเนื้อฉัน
0.000	0.000	0.000	0.000
กบุขกล้ามเนื้อฉัน	กบุขกล้ามเนื้อฉัน	กบุขกล้ามเนื้อฉัน	กบุขกล้ามเนื้อฉัน
0.000	0.000	0.000	0.000
Result of Classification			
PS at MF	Max of PS	Coeff 5 of AR	Sum of PS
กบุขกล้ามเนื้อฉัน	กบุขกล้ามเนื้อฉัน	กบุขกล้ามเนื้อฉัน	กบุขกล้ามเนื้อฉัน
0	0	0	0
กบุขกล้ามเนื้อฉัน	กบุขกล้ามเนื้อฉัน	กบุขกล้ามเนื้อฉัน	กบุขกล้ามเนื้อฉัน
0	0	0	0
ผลการวินิจฉัย			Close

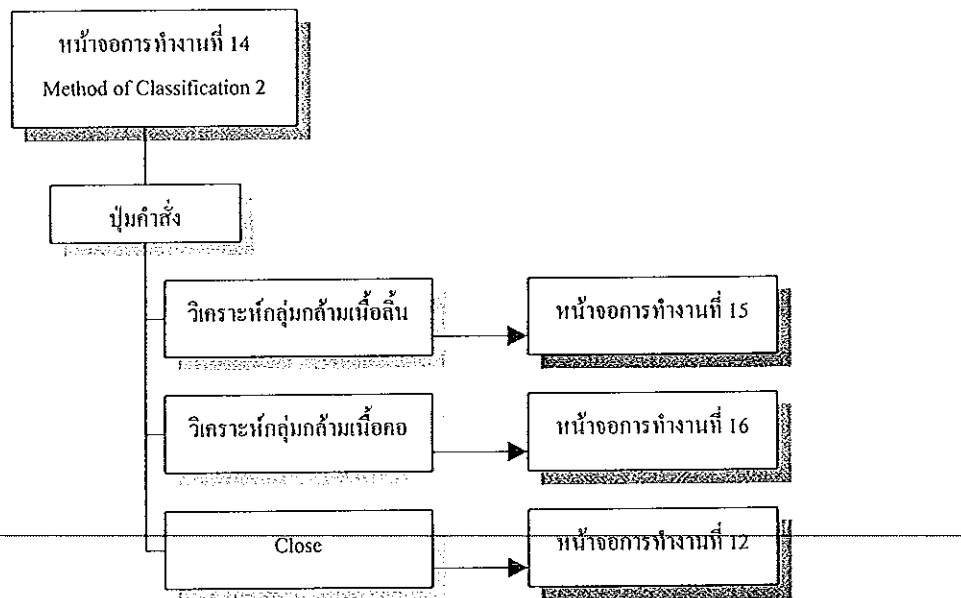
ภาพประกอบ 2-29 แสดงหน้าของการทำงานที่ 13

จากภาพประกอบ 2-28 และ 2-29 มีส่วนประกอบและหน้าที่การทำงานค่าๆ ดังนี้

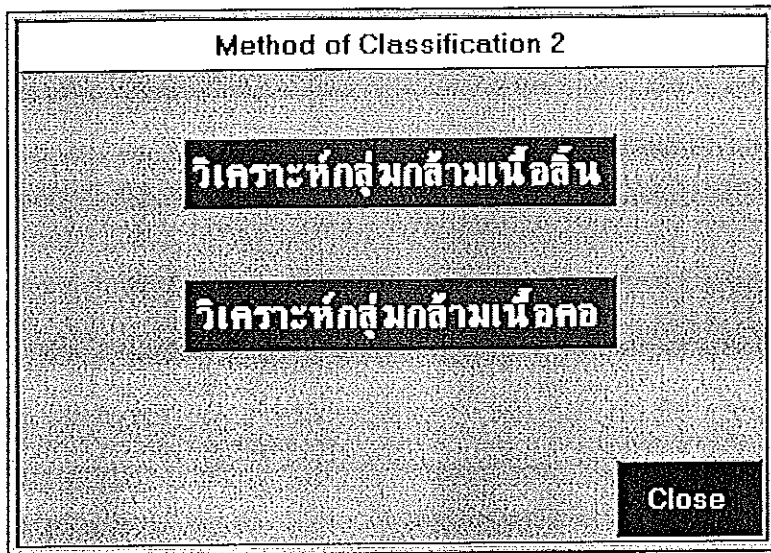
- 2.2.47 หน้าต่างแสดงผล Result of Testing ทำหน้าที่แสดงผลลัพธ์ที่ได้ทั้งหมดในรูปตัวเลขของกลุ่มกล้ามเนื้อด้านและกลุ่มกล้ามเนื้อคอกที่ได้จากการผ่านค่าหารามิเตอร์ของแต่ละวิชี PS at MF, Max of PS, Coeff of AR (ส.ป.ส. ที่ 5) และ Sum of PS ไปทำการจำแนกโดยอาศัยวิธีโครงข่ายประสาทรูปแบบที่ 1 (ครายละเอียดในหัวข้อ 4.3.1 ของบทที่ 4) และถ้าโปรแกรมยังไม่ได้ทำงาน โปรแกรมก็จะแสดงผลลัพธ์เป็นค่าตัวเลขปกติเท่ากับ 0.000
- 2.2.48 หน้าต่างแสดงผล Result of Classification ทำหน้าที่แสดงผลลัพธ์ที่ได้ทั้งหมดในรูปของตัวเลข 1 และ 0 เท่านั้น โดยพิจารณาจากค่าของตัวเลขที่แสดงในหน้าต่างแสดงผล Result of Testing ดังนี้ ถ้าตัวเลขที่ได้มีค่ามากกว่าหรือเท่ากับ 0.5 ให้ปิดค้างเป็น 1 แต่ถ้าตัวเลขที่ได้มีค่าน้อยกว่า 0.5 ให้ปิดลงเป็น 0 และถ้าโปรแกรมยังไม่ได้ทำงาน โปรแกรมก็จะแสดงผลลัพธ์เป็นค่าตัวเลขปกติเท่ากับ 0

- 2.2.49 ช่องแสดงผลการวินิจฉัย ทำหน้าที่สรุปผลการวินิจฉัย ดังนี้ ถ้าเป็นผู้มีปัญหาการกลืน จะแสดงข้อความเป็น PATIENT แต่ถ้าเป็นคนปกติ จะแสดงข้อความเป็น NORMAL และถ้าโปรแกรมไม่สามารถสรุปผลการวินิจฉัยได้ว่าเป็นผู้มีปัญหาการกลืน หรือเป็นคนปกติ ก็จะแสดงข้อความเป็น !!ERROR!! บนหน้าจอ
- 2.2.50 ปุ่มคำสั่ง Close ทำหน้าที่ปิดหน้าจอการทำงานที่ 13 และกลับเข้าสู่หน้าจอการทำงานที่ 12 ต่อไป

เมื่อทำการเลือกปุ่มคำสั่ง MOC2 ในหน้าจอการทำงานที่ 12 โปรแกรมจะเข้าสู่หน้าจอการทำงานที่ 14 ซึ่งมีโครงสร้างการทำงานและรูปแบบของหน้าจอการทำงาน ดังแสดงในภาพประกอบ 2-30 และ 2-31 ตามลำดับ



ภาพประกอบ 2-30 แสดงโครงสร้างการทำงานของหน้าจอการทำงานที่ 14

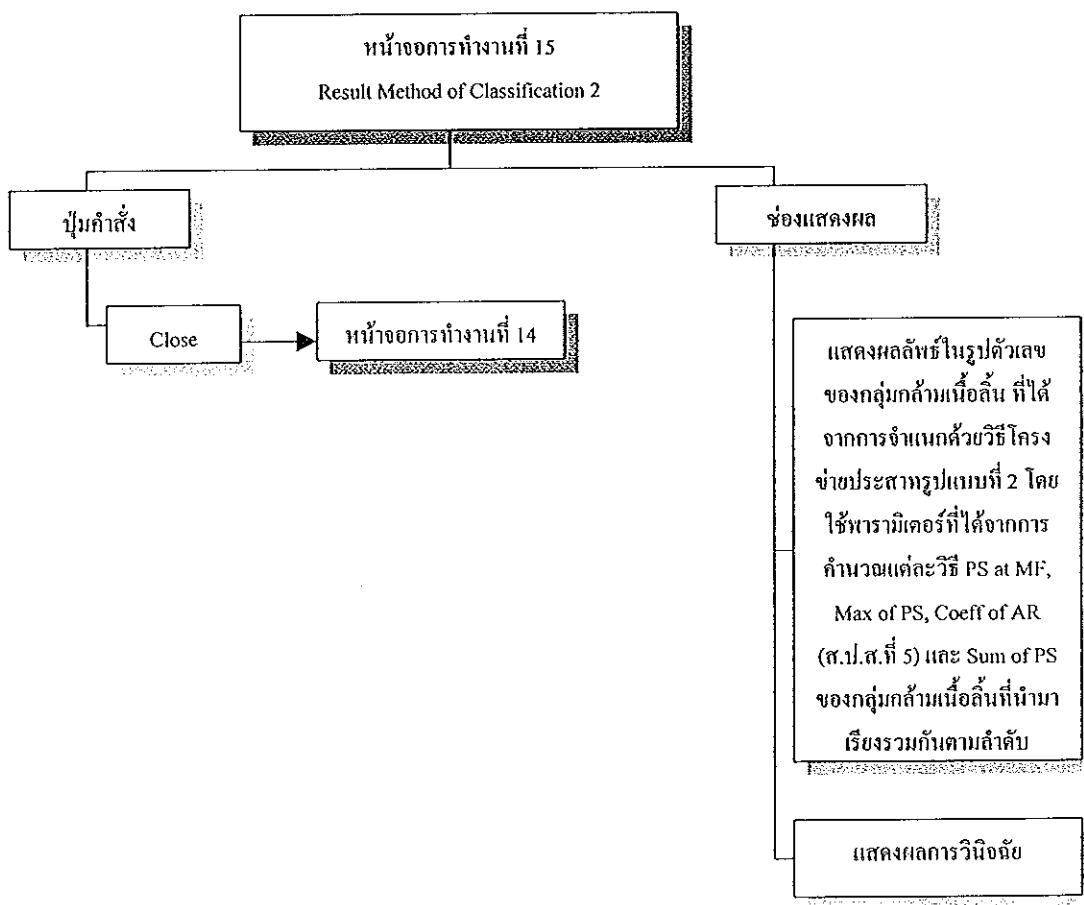


ภาพประกอบ 2-31 แสดงหน้าจอการทำงานที่ 14

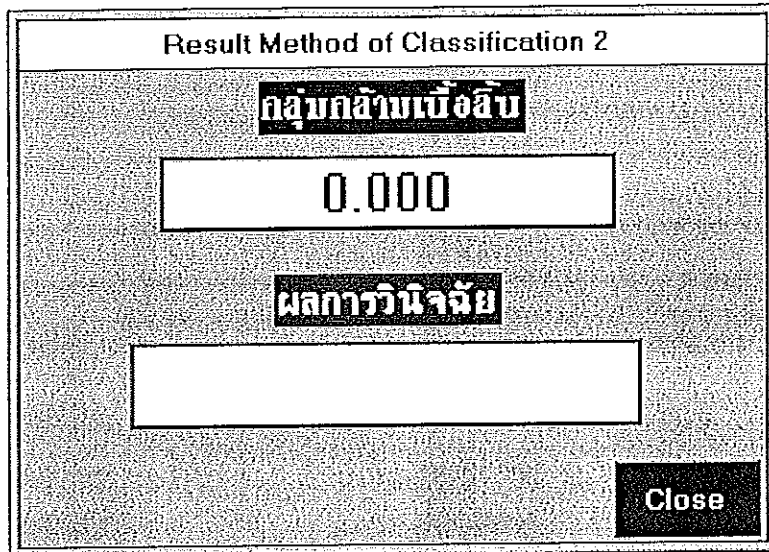
จากภาพประกอบ 2-30 และ 2-31 มีส่วนประกอบและหน้าที่การทำงานต่างๆ ดังนี้

- 2.2.51 ปุ่มคำสั่งวิเคราะห์กลุ่มกล้ามเนื้อถั่น ทำหน้าที่นำค่าพารามิเตอร์ที่ได้จากการคำนวณแต่ละวิธี PS at MF, Max of PS, Coeff of AR และ Sum of PS ของกลุ่มกล้ามเนื้อถั่น มาเรียงรวมกันตามลำดับ แล้วส่งไปจำแนกโดยอาศัยวิธีโครงข่ายประสาทรูปแบบที่ 2 (คุณลักษณะเดียวกันในหัวข้อ 4.3.2 ของบทที่ 4) เมื่อเลือกปุ่มคำสั่งนี้ โปรแกรมจะเข้าสู่หน้าจอการทำงานที่ 15 ดังแสดงในภาพประกอบ 2-33
- 2.2.52 ปุ่มคำสั่งวิเคราะห์กลุ่มกล้ามเนื้อคอ ทำหน้าที่นำค่าพารามิเตอร์ที่ได้จากการคำนวณแต่ละวิธี PS at MF, Max of PS, Coeff of AR และ Sum of PS ของกลุ่มกล้ามเนื้อคอ มาเรียงรวมกันตามลำดับ แล้วส่งไปจำแนกโดยอาศัยวิธีโครงข่ายประสาทรูปแบบที่ 2 (คุณลักษณะเดียวกันในหัวข้อ 4.3.2 ของบทที่ 4) เมื่อเลือกปุ่มคำสั่งนี้ โปรแกรมจะเข้าสู่หน้าจอการทำงานที่ 16 ดังแสดงในภาพประกอบ 2-35
- 2.2.53 ปุ่มคำสั่ง Close ทำหน้าที่ปิดหน้าจอการทำงานที่ 14 และกลับเข้าสู่หน้าจอการทำงานที่ 12 ต่อไป

เมื่อทำการเลือกปุ่มคำสั่งวิเคราะห์กุ่นกล้ามเนื้อดิน ในหน้าจอการทำงานที่ 14 โปรแกรมจะเข้าสู่หน้าจอการทำงานที่ 15 ซึ่งมีโครงสร้างการทำงานและรูปแบบของหน้าจอการทำงาน ดังแสดงในภาพประกอบ 2-32 และ 2-33 ตามลำดับ



ภาพประกอบ 2-32 แสดงโครงสร้างการทำงานของหน้าจอการทำงานที่ 15

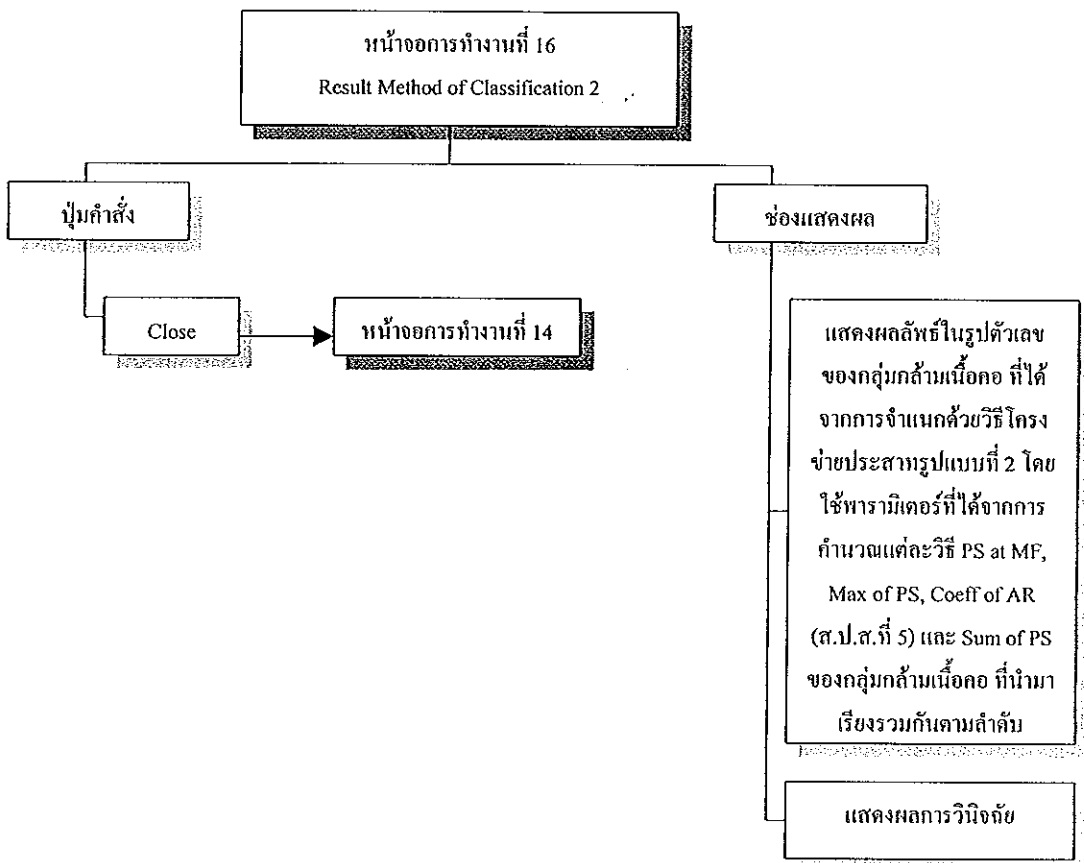


ภาพประกอบ 2-33 แสดงหน้าจอการทำงานที่ 15

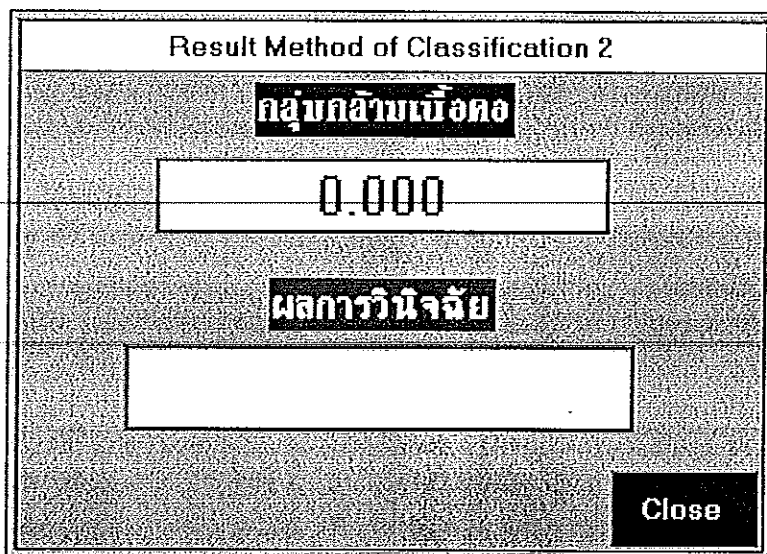
จากการประกอบ 2-32 และ 2-33 มีส่วนประกอบและหน้าที่การทำงานต่างๆ ดังนี้

- 2.2.54 ช่องแสดงผลของกลุ่มกล้ามเนื้อดิน ทำหน้าที่แสดงผลลัพธ์ในรูปของตัวเลขที่ได้มาจากการใช้งานปุ่มคำสั่งวิเคราะห์กลุ่มกล้ามเนื้อดิน ในหน้าจอการทำงานที่ 14 ถ้าโปรแกรมยังไม่ได้ทำงาน โปรแกรมก็จะแสดงผลลัพธ์เป็นค่าตัวเลขปักติเท่ากับ 0.000
- 2.2.55 ช่องแสดงผลการวินิจฉัย ทำหน้าที่สรุปผลการวินิจฉัย ดังนี้ ถ้าเป็นผู้มีปัญหาการกลืน จะแสดงข้อความเป็น PATIENT แต่ถ้าเป็นคนปกติ จะแสดงข้อความเป็น NORMAL และถ้าโปรแกรมไม่สามารถสรุปผลการวินิจฉัยได้ว่าเป็นผู้มีปัญหาการกลืน หรือเป็นคนปกติ ก็จะแสดงข้อความเป็น !!ERROR!! บนหน้าจอ
- 2.2.56 ปุ่มคำสั่ง Close ทำหน้าที่ปิดหน้าจอการทำงานที่ 15 และกลับเข้าสู่หน้าจอการทำงานที่ 14 ต่อไป

เมื่อทำการเลือกปุ่มคำสั่งวิเคราะห์กลุ่มกล้ามเนื้อดิน ในหน้าจอการทำงานที่ 14 โปรแกรมจะเข้าสู่หน้าจอการทำงานที่ 16 ซึ่งมีโครงสร้างการทำงานและรูปแบบของหน้าจอการทำงาน ดังแสดงในภาพประกอบ 2-34 และ 2-35 ตามลำดับ



ภาพประกอบ 2-34 แสดงโครงสร้างการทำงานของหน้าจอการทำงานที่ 16

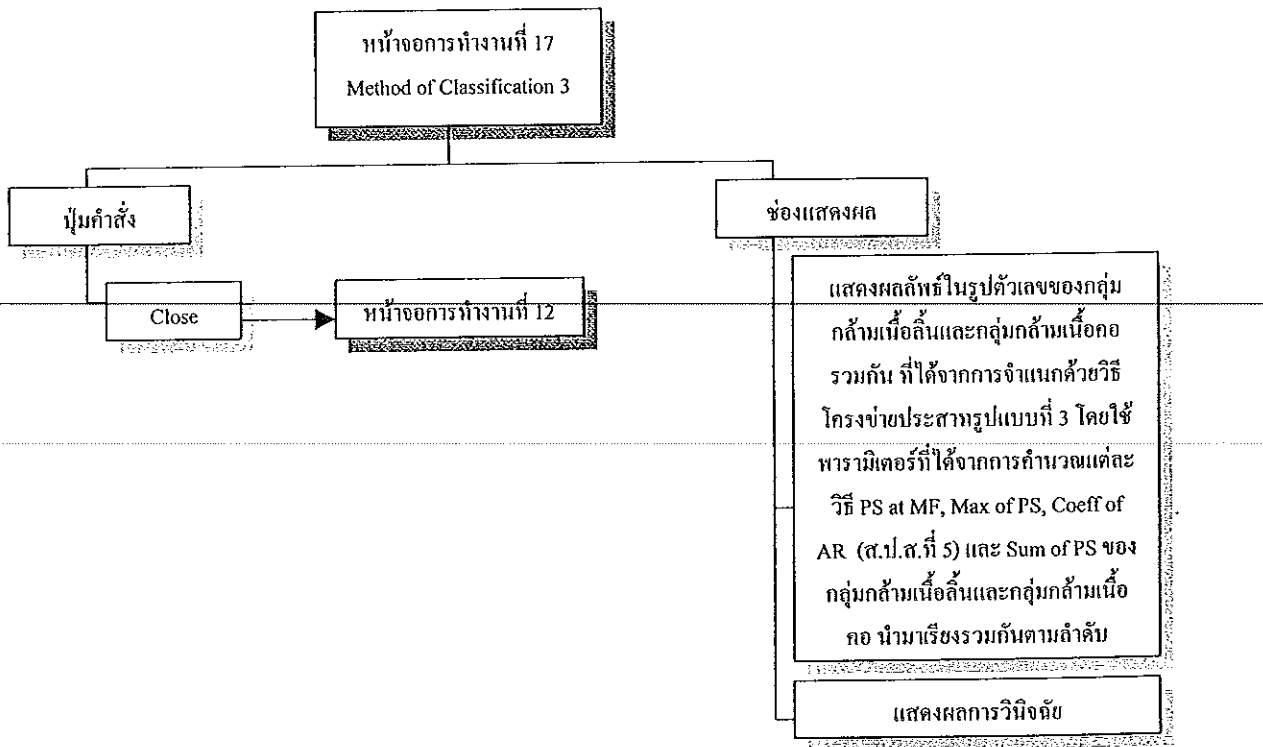


ภาพประกอบ 2-35 แสดงหน้าจอการทำงานที่ 16

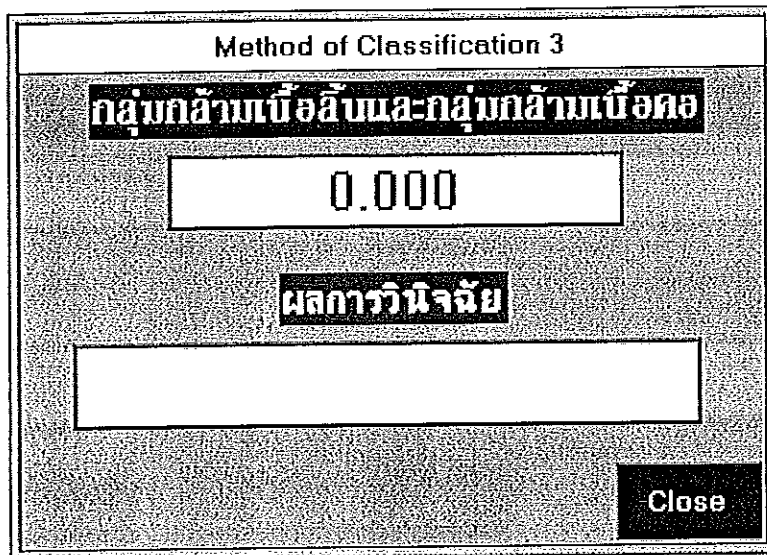
จากภาพประกอบ 2-34 และ 2-35 มีส่วนประกอบและหน้าที่การทำงานต่างๆ ดังนี้

- 2.2.57 ช่องแสดงผลของกลุ่มกล้ามเนื้อคอ ทำหน้าที่แสดงผลลัพธ์ในรูปของตัวเลขที่ได้จากการใช้งานปุ่มคำสั่งวิเคราะห์กลุ่มกล้ามเนื้อคอ ในหน้าจอการทำงานที่ 14 ถ้าโปรแกรมยังไม่ได้ทำงาน โปรแกรมก็จะแสดงผลลัพธ์เป็นค่าตัวเลขปกติเท่ากับ 0.000
- 2.2.58 ช่องแสดงผลการวินิจฉัย ทำหน้าที่สรุปผลการวินิจฉัย ดังนี้ ถ้าเป็นผู้มีปัญหาการกลืน จะแสดงข้อความเป็น PATIENT แต่ถ้าเป็นคนปกติ จะแสดงข้อความเป็น NORMAL และถ้าโปรแกรมไม่สามารถสรุปผลการวินิจฉัยได้ว่าเป็นผู้มีปัญหาการกลืน หรือเป็นคนปกติ ก็จะแสดงข้อความเป็น !!ERROR!! บนหน้าจอ
- 2.2.59 ปุ่มคำสั่ง Close ทำหน้าที่ปิดหน้าจอการทำงานที่ 16 และกลับเข้าสู่หน้าจอการทำงานที่ 14 ต่อไป

เมื่อทำการเลือกปุ่มคำสั่ง MOC3 ในหน้าจอการทำงานที่ 12 โปรแกรมจะเข้าสู่หน้าจอการทำงานที่ 17 ซึ่งมีโครงสร้างการทำงานและรูปแบบของหน้าจอการทำงาน ดังแสดงในภาพประกอบ 2-36 และ 2-37 ตามลำดับ



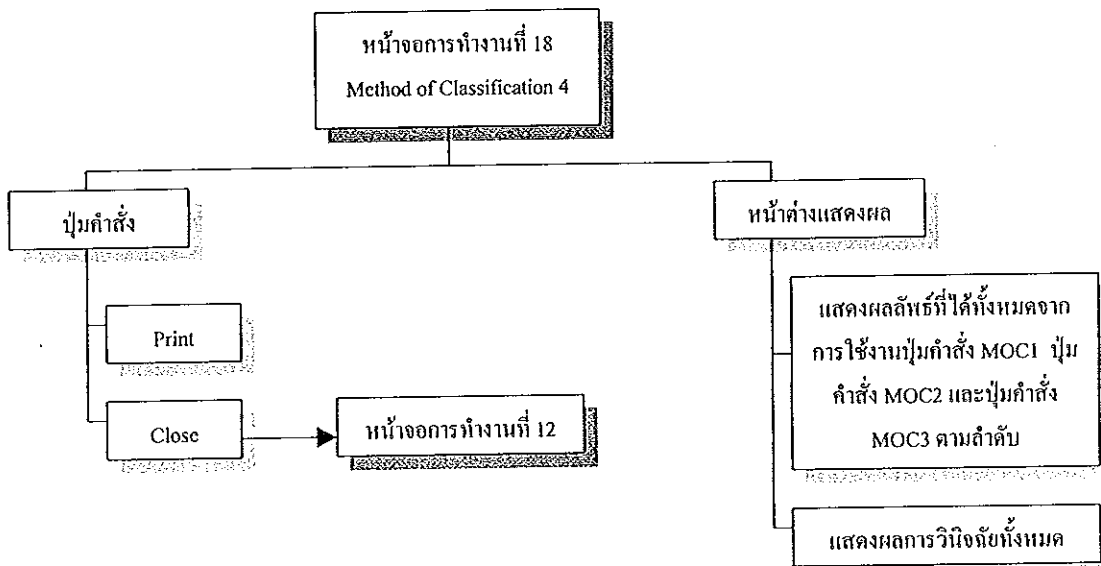
ภาพประกอบ 2-36 แสดงโครงสร้างการทำงานของหน้าจอการทำงานที่ 17



ภาพประกอบ 2-37 แสดงหน้าจอการทำงานที่ 17

- จากภาพประกอบ 2-36 และ 2-37 มีส่วนประกอบและหน้าที่การทำงานต่างๆ ดังนี้
- 2.2.60 ช่องแสดงผลกลุ่มกล้ามเนื้อลิ้นและกลุ่มกล้ามเนื้อคอก ทำหน้าที่แสดงผลลัพธ์ในรูปของตัวเลข ที่ได้จากการผ่านค่าพารามิเตอร์ของแต่ละวิธี PS at MF, Max of PS, Coeff of AR (ส.ป.ส.ที่ 5) และ Sum of PS ของกลุ่มกล้ามเนื้อลิ้นและกลุ่มกล้ามเนื้อคอกที่นำมาเรียงรวมกันตามลำดับ แล้วส่งไปทำการจำแนก โดยอาศัยวิธีโครงข่ายประสาทรูปแบบที่ 3 (ดูรายละเอียดในหัวข้อ 4.3.3 ของบทที่ 4) และถ้าโปรแกรมยังไม่ได้ทำงาน โปรแกรมก็จะแสดงผลลัพธ์เป็นค่าว่างๆปกติเท่ากับ 0.000
- 2.2.61 ช่องแสดงผลการวินิจฉัย ทำหน้าที่สรุปผลการวินิจฉัย ดังนี้ ถ้าเป็นผู้มีปัญหาการกลืน จะแสดงข้อความเป็น PATIENT แต่ถ้าเป็นคนปกติ จะแสดงข้อความเป็น NORMAL และถ้าโปรแกรมไม่สามารถสรุปผลการวินิจฉัยได้ว่าเป็นผู้มีปัญหาการกลืน หรือเป็นคนปกติ ก็จะแสดงข้อความเป็น !!ERROR!! บนหน้าจอ
- 2.2.62 ปุ่มคำสั่ง Close ทำหน้าที่ปิดหน้าจอการทำงานที่ 17 และกลับเข้าสู่หน้าจอการทำงานที่ 12 ต่อไป

เมื่อทำการเลือกปุ่มคำสั่ง MOC4 ในหน้าจอการทำงานที่ 12 โปรแกรมจะเข้าสู่หน้าจอการทำงานที่ 18 ซึ่งมีโครงสร้างการทำงานและรูปแบบของหน้าจอการทำงาน ดังแสดงในภาพประกอบ 2-38 และ 2-39 ตามลำดับ



ภาพประกอบ 2-38 แสดงโครงสร้างการทำงานของหน้าจอการทำงานที่ 18

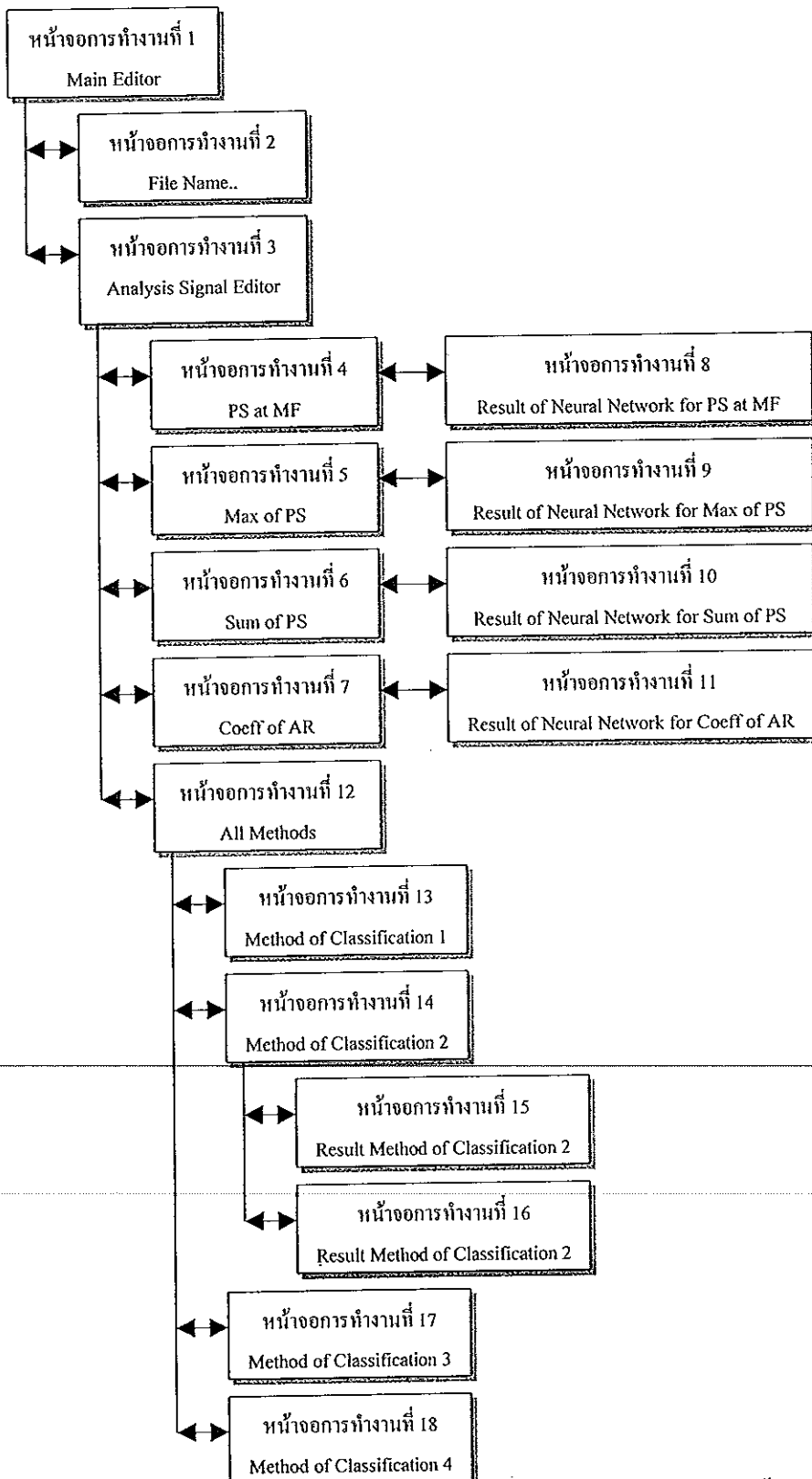
Method of Classification 4			
Method of Classification 1			
PS at MF	Max of PS	Coeff 5 of AR	Sum of PS
กลุ่มกล้ามเนื้อข้น	กลุ่มกล้ามเนื้อข้น	กลุ่มกล้ามเนื้อข้น	กลุ่มกล้ามเนื้อข้น
0	0	0	0
กลุ่มกล้ามเนื้อหลัง	กลุ่มกล้ามเนื้อหลัง	กลุ่มกล้ามเนื้อหลัง	กลุ่มกล้ามเนื้อหลัง
0	0	0	0
ผลการวินิจฉัย			
Method of Classification 2		Method of Classification 3	
กลุ่มกล้ามเนื้อข้น	กลุ่มกล้ามเนื้อหลัง	กลุ่มกล้ามเนื้อข้น และ กลุ่มกล้ามเนื้อหลัง	
0.000	0.000	0.000	
ผลการวินิจฉัย	ผลการวินิจฉัย	ผลการวินิจฉัย	
<input type="button" value="Close"/>			

ภาพประกอบ 2-39 แสดงหน้าจอการทำงานที่ 18

จากภาพประกอบ 2-38 และ 2-39 มีส่วนประกอบและหน้าที่การทำงานต่างๆ ดังนี้

- 2.2.63 หน้าต่างแสดงผล Method of Classification 1 ทำหน้าที่แสดงผลลัพธ์ที่ได้ทั้งหมด จากการใช้งานปุ่มคำสั่ง MOC1 ในหน้าจอการทำงานที่ 12
- 2.2.64 หน้าต่างแสดงผล Method of Classification 2 ทำหน้าที่แสดงผลลัพธ์ที่ได้ทั้งหมด จากการใช้งานปุ่มคำสั่ง MOC2 ในหน้าจอการทำงานที่ 12
- 2.2.65 หน้าต่างแสดงผล Method of Classification 3 ทำหน้าที่แสดงผลลัพธ์ที่ได้ทั้งหมด จากการใช้งานปุ่มคำสั่ง MOC3 ในหน้าจอการทำงานที่ 12
- 2.2.66 ช่องแสดงผลการวินิจฉัย ทำหน้าที่สรุปผลการวินิจฉัย ดังนี้ ถ้าเป็นผู้มีปัญหาการกลืน จะแสดงข้อความเป็น PATIENT แต่ถ้าเป็นคนปกติ จะแสดงข้อความเป็น NORMAL และถ้าโปรแกรมไม่สามารถสรุปผลการวินิจฉัยได้ว่าเป็นผู้มีปัญหาการกลืน หรือเป็นคนปกติ ก็จะแสดงข้อความเป็น !!ERROR!! บนหน้าจอ
- 2.2.67 ปุ่มคำสั่ง Print ทำหน้าที่พิมพ์รูปหน้าจอการทำงานที่ 18 ออกทางเครื่องพิมพ์
- 2.2.68 ปุ่มคำสั่ง Close ทำหน้าที่ปิดหน้าจอการทำงานที่ 18 และกลับเข้าสู่หน้าจอการทำงานที่ 12 ต่อไป

จากที่ได้กล่าวมาข้างต้น เป็นการพัฒนาโปรแกรมระบบตรวจวินิจฉัยผู้ป่วยที่มีปัญหาการกลืนในส่วนของการออกแบบ โครงสร้างการทำงานของหน้าจอ รูปแบบหน้าจอการทำงานและหน้าที่การทำงานต่างๆ ในโปรแกรม สามารถสรุปภาพรวมของโครงสร้างการทำงานของหน้าจอการทำงานทั้งหมดในโปรแกรมนี้ ดังแสดงในภาพประกอบ 2-40 เพื่อทำให้โปรแกรมนี้การใช้มีต่อไป ผู้ใช้งานทางหน้าจอคอมพิวเตอร์เป็นไปด้วยความสะดวกรวดเร็ว ง่ายต่อการใช้งาน และมีประสิทธิภาพในการทำงาน ในบทต่อไปจะกล่าวถึงรายละเอียดของสมการคณิตศาสตร์ต่างๆ ที่ใช้ในการวิเคราะห์สัญญาณไฟที่มาจากกล้องลิมและกล้องกล้องเนื้อคอกของโปรแกรมนี้



ภาพประกอบ 2-40 แสดงโครงสร้างการทำงานของหน้าจอการทำงานทั้งหมดในโปรแกรม

บทที่ 3

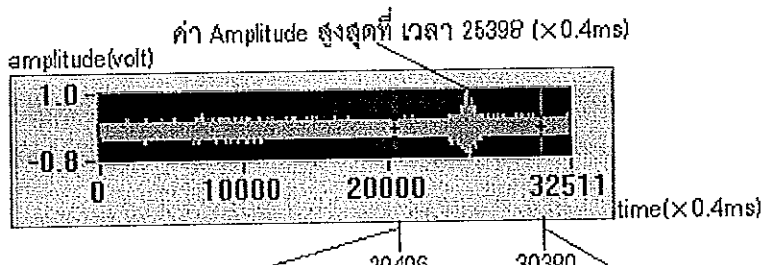
สมการคณิตศาสตร์ที่ใช้ในการพัฒนาระบบทรัจวินิจฉัยผู้ป่วยที่มีปัญหาการกลืน

สมการคณิตศาสตร์ที่ใช้ในการพัฒนาระบบทรัจวินิจฉัยผู้ป่วยที่มีปัญหาการกลืน จะใช้วิธีการคำนวณทางคณิตศาสตร์ มาพิจารณาสัญญาณไฟฟ้าทั้งในแกนเวลา และแกนความถี่ เพื่อหาลักษณะเด่นของสัญญาณไฟฟ้าจากกลุ่มกล้ามเนื้อลิ้นและกลุ่มกล้ามเนื้อคอ ขณะทำการกินอาหาร หรือค่าหารามิเตอร์ที่ได้ไปทำการจำแนกด้วยวิธีโครงข่ายประสาท ดังนั้นจึงพิจารณาเลือกวิธีการคำนวณทางคณิตศาสตร์ ที่ให้ผลการคำนวณมีลักษณะเด่นชัดพอที่จะทำการจำแนกได้ดังนี้ (วรรณยุทธ์ ลุบลสุตรวนิช, 2541)

- 1) วิเคราะห์จากค่าความหนาแน่นของกล้ามเชิงสเปกตรัมที่ความถี่เม็ดเดียน (PS at MF)
- 2) วิเคราะห์จากค่าสูงสุดของความหนาแน่นของกล้ามเชิงสเปกตรัม (Max of PS)
- 3) วิเคราะห์ค่าสัมประสิทธิ์ของอัตรีเกรตซีฟโนเดต (Coeff of AR)
- 4) วิเคราะห์โดยวิธีการหาค่าความหนาแน่นของสัญญาณไฟฟ้าในช่วงการกลืน (Sum of PS)

โดยวิธีการคำนวณทั้ง 4 วิธี จะนำมาประยุกต์ใช้กับสัญญาณไฟฟ้าที่ได้จากการกลุ่มกล้ามเนื้อลิ้นและกลุ่มกล้ามเนื้อคอ โดยจะทำการเขียนโปรแกรมคอมพิวเตอร์ ด้วยโปรแกรม LabWindows/CVI for Windows Ver. 4.0.1 (อยู่รายละเอียดในภาคผนวก ก) โปรแกรมที่เขียนขึ้นจะให้ผู้ใช้ทำการอ่านค่าสัญญาณไฟฟ้าจากกลุ่มกล้ามเนื้อลิ้นและกลุ่มกล้ามเนื้อคอที่รับเข้ามา จากนั้นโปรแกรมจะนำข้อมูลจำนวน 9984 จุด จากข้อมูลทั้งหมด 32512 จุด มาคำนวณเป็นช่วงๆ ช่วงละ 256 จุด โดยจะเดือดช่วงของข้อมูลอัตโนมัติ เริ่มจากจุดก่อนถึงจุดที่ให้ค่าสัญญาณไฟฟ้าสูงสุด 4992 จุด ไปจนถึงตำแหน่งที่ต่อหลังจากจุดที่ให้ค่าสัญญาณไฟฟ้าสูงสุด 4992 จุด เช่นกัน ดังตัวอย่าง สัญญาณไฟฟ้าจากกลุ่มกล้ามเนื้อลิ้นของคนปกติ (อาสาสมัครคนที่ 24) ในภาพประกอบ 3-1

สัญญาณไฟฟ้ากอสัมภีร์เนื้อลิ้น



จุดเริ่มต้นของข้อมูลที่ใช้คำนวน = $(25398 - 4992) \times 0.4\text{ms}$

จุดสุดท้ายของข้อมูลที่ใช้คำนวน = $(25398 + 4992) \times 0.4\text{ms}$

ภาพประกอบ 3-1 แสดงตัวอย่างสัญญาณไฟฟ้าของกล้ามเนื้อลิ้น และการเลือกช่วงของข้อมูลมาใช้ในการคำนวนสำหรับวิธีที่ 1, 2, 3 และ 4

จากภาพประกอบ 3-1 แสดงสัญญาณไฟฟ้าของกล้ามเนื้อที่ใช้ในการกลืนและการเลือกช่วงของข้อมูลมาใช้ในการคำนวน การเลือกช่วงข้อมูลเริ่มจากเดือนแรกหนึ่งที่สัญญาณไฟฟ้ามีค่าขนาดสูงสุด คือ ที่ตำแหน่ง 25398 โปรแกรมจะคำนวณหาตำแหน่งเริ่มต้นข้อมูล ก่อนตำแหน่งที่ขนาดสูงสุด จำนวน 4992 จุด และตำแหน่งสุดท้ายคือ หลังตำแหน่งที่ขนาดสูงสุด จำนวน 4992 จุด ดังนี้

ตำแหน่ง เริ่มต้นข้อมูล คือ $25398 - 4992 = 20406$

ตำแหน่ง สุดท้ายข้อมูล คือ $25398 + 4992 = 30390$

เมื่อเลือกข้อมูลที่จะใช้คำนวนแล้ว โปรแกรมจะคำนวณหาค่าในแต่ละวิธีที่จะนำมาประยุกต์ใช้ในการคำนวน ซึ่งวิธีคำนวนมีรายละเอียดดังต่อไปนี้

3.1 การวิเคราะห์จากค่าความหนาแน่นของกำลังเชิงスペกตรัมที่ความถี่มีเดียน

ความถี่มีเดียน (f_m) คือความถี่ที่ทำให้ผลรวมของกำลังของสัญญาณเป็นครึ่งหนึ่งของผลรวมของกำลังของสัญญาณทั้งหมด ซึ่งมีสมการพื้นฐานดังนี้

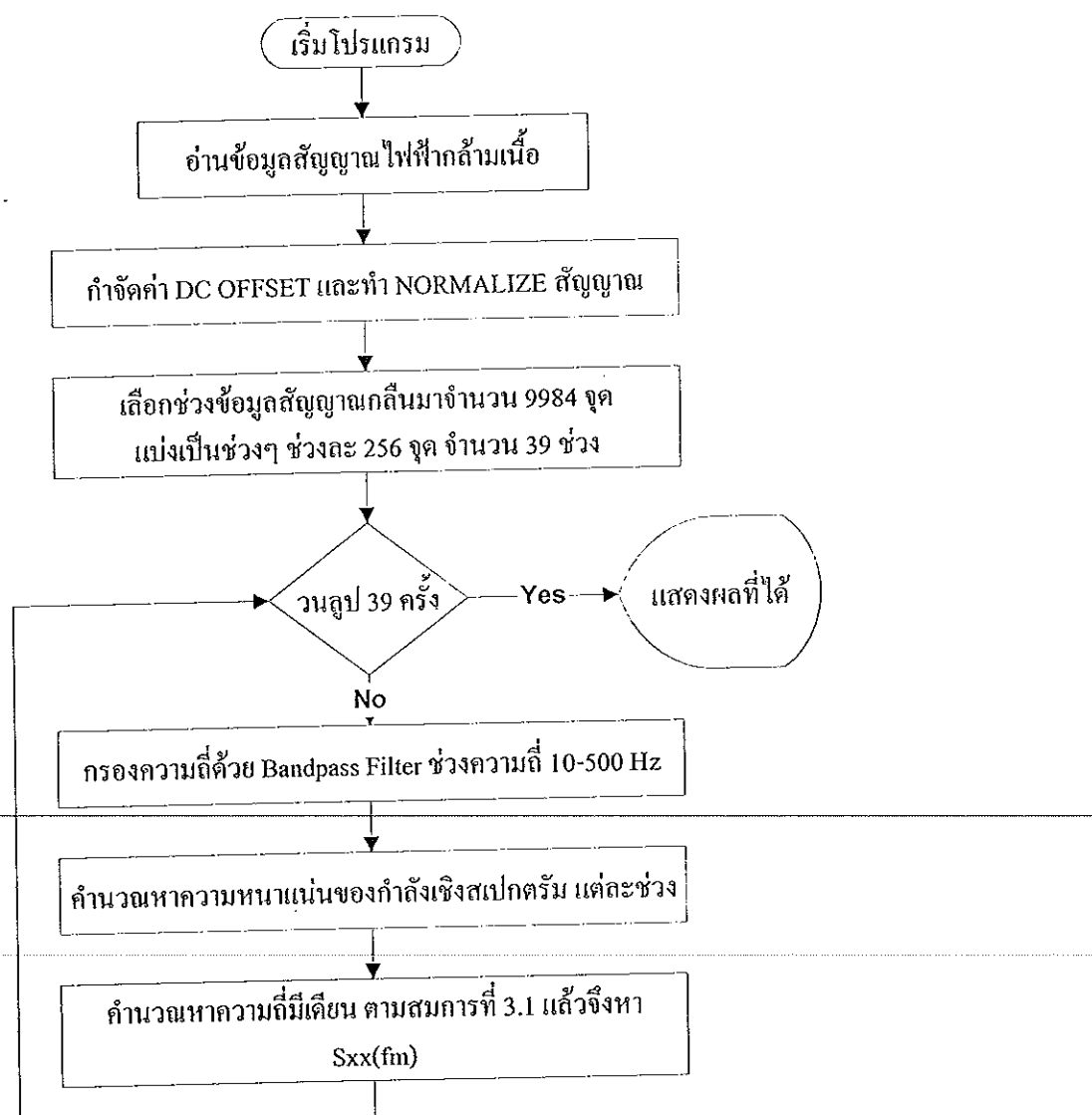
$$\int_{f_m}^{\infty} S_{xx}(f) df = \int_{f_m}^{\infty} S_{xx}(f) df = 1/2 \int_0^{\infty} S_{xx}(f) df \quad \dots(3.1)$$

โดยที่ $S_{xx}(f)$ คือความหนาแน่นของกำลังเชิงスペกตรัมที่ความถี่ f ใดๆ ที่มีค่าอยู่ในช่วงความถี่ 0 ถึง α

ความถี่มีเดียน (f_m) เป็นการวิเคราะห์โดยการคำนวณหาค่าความถี่ที่ทำให้กำลังของスペกตรัมแบ่งเป็นสองส่วนเท่าๆ กัน หลังจากนั้นเมื่อได้ค่า f_m แล้ว ก็จะคำนวณหาค่าความ

หนาแน่นของกำลังเชิงสเปกตรัมที่ fm ดังนี้จะได้ว่าค่าความหนาแน่นของกำลังเชิงสเปกตรัมที่ความถี่มีเดียน เท่ากับ Sxx(fm)

จากหลักการข้างต้นนำมาเขียนโปรแกรมคอมพิวเตอร์ด้วยโปรแกรม LabWindows/CVI for Windows Ver. 4.0.1 คำนวณหาค่าความหนาแน่นของกำลังเชิงสเปกตรัมที่ความถี่มีเดียน ดัง ผังงานในภาพประกอบ 3-2 และแสดงปุ่มคำสั่งที่ทำหน้าที่ดังกล่าวในโปรแกรมนี้ ดังภาพประกอบ 3-3



ภาพประกอบ 3-2 ผังงานแสดงการคำนวณหาความหนาแน่นของกำลังเชิงสเปกตรัมที่ความถี่มีเดียน

PS at MF

ภาพประกอบ 3-3 แสดงปุ่มคำสั่ง PS at MF ที่ทำหน้าที่คำนวณหาค่าความหนาแน่นของกำลังเชิงสเปกตรัมที่ความถี่มีเดียบของสัญญาณไฟฟ้ากลุ่มกล้านเนื้อถินและกลุ่มกล้านเนื้อคอกในโปรแกรมนี้

จากภาพประกอบ 3-2 สามารถเขียนฟังก์ชันของโปรแกรมได้ดังภาพประกอบ 3-4

```

int CVICALLBACK Method_2Callback (int panel, int control, int event,
                                  void *callbackData, int eventData1, int eventData2)

{ int i,x,error; switch (event)
  { case EVENT_COMMIT:
    /* DC OFFSET C2 */
    Mean (data_ps2, 32512, &average); for (i=0; i<32512; i++) { aver[i] = average; }
    Sub1D (data_ps2, aver, 32512, data_ps2);
    /* DC OFFSET C3 */
    Mean (data_ps21, 32512, &average); for (i=0; i<32512; i++) { aver[i] = average; }
    Abs1D (aver, 32512, aver); Add1D (data_ps21, aver, 32512, data_ps21);
    /* NORMALIZE C2 */
    MaxMin1D (data_ps2, 32512, &max2, &imax2, &min2, &jimin2); for (i=0; i<32512; i++) { maximum[i] = max2; }
    Abs1D (maximum, 32512, maximum); Div1D (data_ps2, maximum, 32512, data_ps2);
    /* NORMALIZE C3 */
    MaxMin1D (data_ps21, 32512, &max3, &imax3, &min3, &jimin3); for (i=0; i<32512; i++) { maximum[i] = max3; }
    Abs1D (maximum, 32512, maximum); Div1D (data_ps21, maximum, 32512, data_ps21);
    error = DeleteGraphPlot (Lda, LDATA_GRAPH, -1, VAL_DELAYED_DRAW);
    PlotY (Lda, LDATA_GRAPH, data_ps2, 32512, VAL_DOUBLE, VAL_THIN_LINE,
            VAL_EMPTY_SQUARE, VAL_SOLID, 1, VAL_RED);
    error = DeleteGraphPlot (Lda, LDATA_GRAPH_1, -1, VAL_DELAYED_DRAW);
    PlotY (Lda, LDATA_GRAPH_1, data_ps21, 32512, VAL_DOUBLE, VAL_THIN_LINE,
            VAL_EMPTY_SQUARE, VAL_SOLID, 1, VAL_BLUE);
    MaxMin1D (data_ps2, 32512, &max2, &imax2, &min2, &jimin2);
    MaxMin1D (data_ps21, 32512, &max3, &imax3, &min3, &jimin3);
    m1 = imax2+4992; position_1 = m1; if(imax2 >= 4992) {
      m2 = imax2-4992; sum = m1-m2; position_2 = m2;
    m1 = imax3+4992; position_11 = m1; if(imax3 >= 4992) {
      m2 = imax3-4992; sum = m1-m2; position_21 = m2; } for (i=0; i<39; i++) { if(position_2 < position_1) {
    
```

ภาพประกอบ 3-4 ฟังก์ชันของโปรแกรมการคำนวณหาค่าความหนาแน่นของกำลังเชิงสเปกตรัมที่ความถี่มีเดียบของกลุ่มกล้านเนื้อถินและกลุ่มกล้านเนื้อคอก

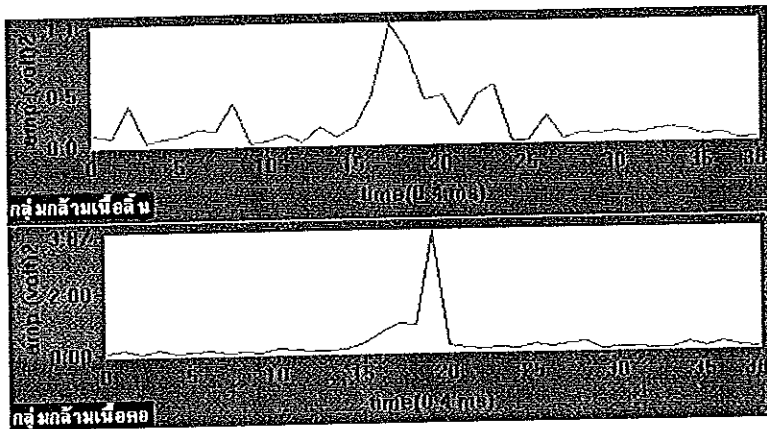
```

/* BP BUTTERWORTH IIR C2 */
Bw_BPF (&data_ps2[position_2], 256, 2500, 10, 500, 4, &filterwave_2[position_2]);
AutoPowerSpectrum (&filterwave_2[(position_2)], 256, (1/2500), spectrum_2, &freqspace);
Sum1D (spectrum_2, 128, &total); result = total/2; for (x=3; x<128; x++) {
spectrum_2[0] = 0; spectrum_2[1] = 0;
Sum1D (spectrum_2, x, &array);
if (result <= array) { medianp[i]=(spectrum_2[x])*1000; break; } }
position_2 = position_2+256; } }
for (i=0; i<39; i++) { if (position_21 < position_11) {
/* BP BUTTERWORTH IIR C3 */
Bw_BPF (&data_ps21[position_21], 256, 2500, 10, 500, 4, &filterwave_21[position_21]);
AutoPowerSpectrum (&filterwave_21[(position_21)], 256, (1/2500), spectrum_21, &freqspace);
Sum1D (spectrum_21, 128, &total); result = total/2; for (x=3; x<128; x++) {
spectrum_21[0] = 0; spectrum_21[1] = 0;
Sum1D (spectrum_21, x, &array);
if (result <= array) { medianp_2[i]=(spectrum_21[x])*1000; break; } }
position_21 = position_21+256; } }
error = DeleteGraphPlot (Psd_2, PSD_2_WAVEFORM_PSD_21, -1, VAL_DELAYED_DRAW);
PlotY (Psd_2, PSD_2_WAVEFORM_PSD_21, medianp, 39,VAL_DOUBLE,
       VAL_THIN_LINE, VAL_EMPTY_SQUARE, VAL_SOLID, 1, VAL_RED);
error = DeleteGraphPlot (Psd_2, PSD_2_WAVEFORM_PSD_22, -1, VAL_DELAYED_DRAW);
PlotY (Psd_2, PSD_2_WAVEFORM_PSD_22, medianp_2, 39,VAL_DOUBLE,
       VAL_THIN_LINE, VAL_EMPTY_SQUARE, VAL_SOLID, 1, VAL_BLUE);
InstallPopup (Psd_2);
break; }
return 0; }

```

ภาพประกอบ 3-4 ฟังก์ชันของโปรแกรมการคำนวณหาค่าความหนาแน่นของกำลังเชิงสเปกตรัม
ที่ความถี่มีเดียนของกลุ่มคล้ามเนื้อลีนและกลุ่มคล้ามเนื้อคอก (ต่อ)

จากภาพประกอบ 3-4 แสดงฟังก์ชันของโปรแกรมการคำนวณหาค่าความหนาแน่นของ
กำลังเชิงสเปกตรัมที่ความถี่มีเดียน การคำนวณจะคำนวณจากสัญญาณไฟฟ้าของกลุ่มคล้ามเนื้อลีน
และกลุ่มคล้ามเนื้อคอก จากข้อมูลที่เลือกมาในช่วงของการลีนจำนวน 9984 ชุด มาคำนวณเป็นช่วงๆ
ละ 256 ชุด ดังนี้จะได้ผลการคำนวณ 39 ค่า ตามค่าที่ได้จากการคำนวณนำมาพล็อตกราฟ ดังตัว
อย่างภาพประกอบ 3-5



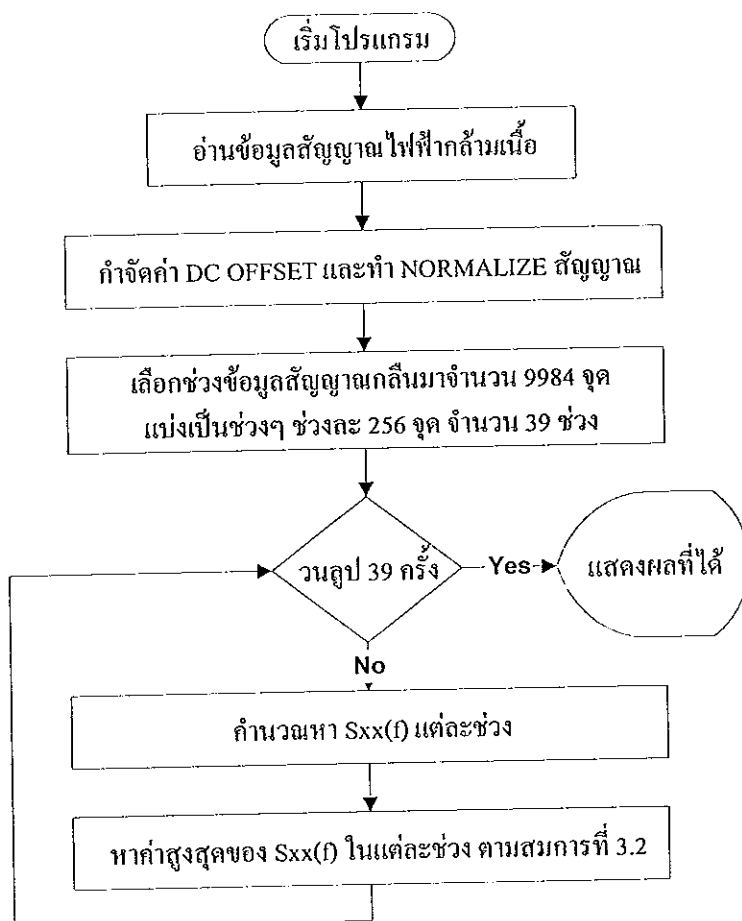
ภาพประกอบ 3-5 แสดงตัวอย่างที่ได้จากการคำนวณหาค่าความหนาแน่นของกล้ามเนื้อสปектรัม ที่ความถี่เดียวกันของกลุ่มกล้ามเนื้อลิ้นและกลุ่มกล้ามเนื้อคอ

3.2 การวิเคราะห์หาค่าสูงสุดของค่าความหนาแน่นของกล้ามเนื้อสปектรัม

เป็นการหาค่าสูงสุดของค่าความหนาแน่นของกล้ามเนื้อสปектรัม โดยจะคำนวณหาค่าสูงสุดของค่าความหนาแน่นของกล้ามเนื้อสปектรัมของสัญญาณในแต่ละช่วง และสามารถเขียนเป็นสมการได้ดังต่อไปนี้

$$\text{Max } S_{xx} = S_{xx}(f) \Big|_{\max} \quad \dots(3.2)$$

กำหนดให้ $S_{xx}(f)$ คือความหนาแน่นของกล้ามเนื้อสปектรัม ที่ความถี่ใดๆ จากหลักการข้างต้น นำมาเขียนโปรแกรมคอมพิวเตอร์ ด้วยโปรแกรม LabWindows/CVI for Windows Ver. 4.0.1 คำนวณหาค่าสูงสุดของค่าความหนาแน่นของกล้ามเนื้อสปектรัม โดยมีผังงานของโปรแกรมดังแสดงในภาพประกอบ 3-6 และแสดงปุ่มคำสั่งที่ทำหน้าที่ดังกล่าวไว้ในโปรแกรมนี้ ดังภาพประกอบ



ภาพประกอบ 3-6 ผังงานแสดงการคำนวณหาสูงสุดของค่าความหนาแน่นของกำลังเชิงสเปกตรัม

Max of PS

ภาพประกอบ 3-7 แสดงปุ่มคำสั่ง Max of PS ที่ทำหน้าที่คำนวณหาค่าสูงสุดของความหนาแน่นของกำลังเชิงสเปกตรัมของสัญญาณไฟฟ้ากล้องกล้องเนื้อดินและกล้องกล้องเนื้อคอในโปรแกรมนี้

จากภาพประกอบ 3-6 สามารถเขียนพื้นที่ของชั้นของโปรแกรมได้ดังภาพประกอบ 3-8

```

int CVICALLBACK Method_3Callback (int panel, int control, int event,
                                  void *callbackData, int eventData1, int eventData2)

{ int i,error; switch (event)
  { case EVENT_COMMIT:
    /* DC OFFSET C2 */
    Mean (data_ps3, 32512, &average); for (i=0; i<32512; i++) { aver[i] = average; }
    Sub1D (data_ps3, aver, 32512, data_ps3);
    /* DC OFFSET C3 */
    Mean (data_ps31, 32512, &average); for (i=0; i<32512; i++) { aver[i] = average; }
    Abs1D (aver, 32512, aver); Add1D (data_ps31, aver, 32512, data_ps31);
    /* NORMALIZE C2 */
    MaxMin1D (data_ps3, 32512, &max2, &imax2, &min2, &imin2);
    for (i=0; i<32512; i++) { maximum[i] = max2; } Abs1D (maximum, 32512, maximum);
    Div1D (data_ps3, maximum, 32512, data_ps3);
    /* NORMALIZE C3 */
    MaxMin1D (data_ps31, 32512, &max3, &imax3, &min3, &imin3);
    for (i=0; i<32512; i++) { maximum[i] = max3; } Abs1D (maximum, 32512, maximum);
    Div1D (data_ps31, maximum, 32512, data_ps31);
    error = DeleteGraphPlot (Lda, LDATA_GRAPH, -1, VAL_DELAYED_DRAW);
    PlotY (Lda, LDATA_GRAPH, data_ps3, 32512, VAL_DOUBLE, VAL_THIN_LINE,
           VAL_EMPTY_SQUARE, VAL_SOLID, 1, VAL_RED);
    error = DeleteGraphPlot (Lda, LDATA_GRAPH_1, -1, VAL_DELAYED_DRAW);
    PlotY (Lda, LDATA_GRAPH_1, data_ps31, 32512, VAL_DOUBLE, VAL_THIN_LINE,
           VAL_EMPTY_SQUARE, VAL_SOLID, 1, VAL_BLUE);
    MaxMin1D (data_ps3, 32512, &max2, &imax2, &min2, &imin2);
    MaxMin1D (data_ps31, 32512, &max3, &imax3, &min3, &imin3);
    m1 = imax2+4992; position_1 = m1; if (imax2 >= 4992) {
      m2 = imax2-4992; sum = m1-m2; position_2 = m2; }
    m1 = imax3+4992; position_11 = m1; if (imax3 >= 4992) {
      m2 = imax3-4992; sum = m1-m2; position_21 = m2; }
    for (i=0; i<39; i++) { if (position_2 < position_1) {
      AutoPowerSpectrum (&data_ps3[(position_2)], 256, (1/2500), spectrum_3, &freqspace);
      MaxMin1D (spectrum_3, 128, &maxp[i], &pmax, &minp[i], &pmin);
      maxp[i] = maxp[i]*100; position_2 = position_2+256; } }
    for (i=0; i<39; i++) { if (position_21 < position_11) {
      AutoPowerSpectrum (&data_ps31[(position_21)], 256, (1/2500), spectrum_31, &freqspace);
      MaxMin1D (spectrum_31, 128, &maxp[i], &pmax, &minp[i], &pmin);
      maxp[i] = maxp[i]*100; position_21 = position_21+256; } }
  }
}

```

ภาพประกอบ 3-8 ทั้งชั้นของโปรแกรมการคำนวณหาค่าสูงสุดของค่าความหนาแน่นของ
กำลังเชิงสเปกตรัมของกลุ่มคล้ามเนื้อสีและกลุ่มคล้ามเนื้อคอ

```

MaxMinID (spectrum_31, 128, &maxp_2[i], &pmax, &minp[i], &pmin);

maxp_2[i] = maxp_2[i]*100;
position_21 = position_21+256; }

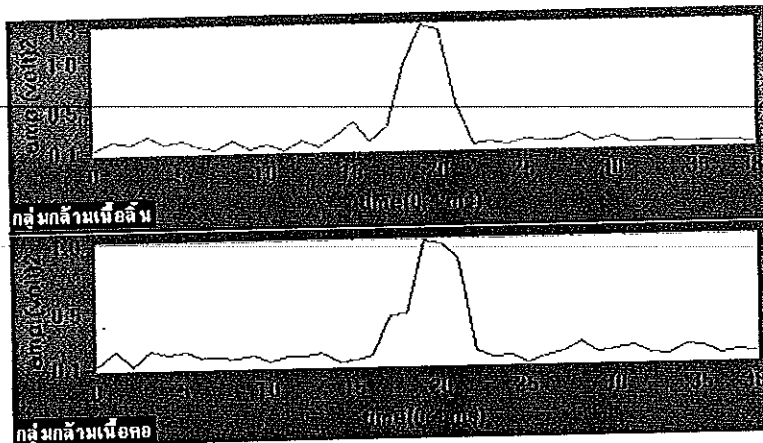
error = DeleteGraphPlot (Psd_3, PSD_3_WAVEFORM_PSD_31, -1, VAL_DELAYED_DRAW);
PlotY (Psd_3, PSD_3_WAVEFORM_PSD_31, maxp, 39,VAL_DOUBLE,
       VAL_THIN_LINE, VAL_EMPTY_SQUARE, VAL_SOLID, 1, VAL_RED);
error = DeleteGraphPlot (Psd_3, PSD_3_WAVEFORM_PSD_32, -1, VAL_DELAYED_DRAW),
PlotY (Psd_3, PSD_3_WAVEFORM_PSD_32, maxp_2, 39,VAL_DOUBLE,
       VAL_THIN_LINE, VAL_EMPTY_SQUARE, VAL_SOLID, 1, VAL_BLUE);

InstallPopup (Psd_3);
break;
return 0; }

```

ภาพประกอบ 3-8 ฟังก์ชันของโปรแกรมการคำนวณหาค่าสูงสุดของค่าความหนาแน่นของกำลังเชิงสเปกตรัมของกลุ่มกล้ามเนื้อลิ้นและกลุ่มกล้ามเนื้อคอ (ต่อ)

จากภาพประกอบ 3-8 แสดงฟังก์ชันของโปรแกรมการคำนวณหาค่าสูงสุดของค่าความหนาแน่นของกำลังเชิงสเปกตรัม การคำนวณจะคำนวณจากสัญญาณไฟฟ้าของกลุ่มกล้ามเนื้อลิ้น และกลุ่มกล้ามเนื้อคอ โดยเลือกช่วงเวลาในช่วงการกินมาจำนวน 9984 จุด มาแบ่งคำนวณเป็นช่วงๆ ละ 256 จุด ดังนั้นจะคำนวณ 39 ครั้ง ซึ่งค่าสูงสุดของความหนาแน่นของกำลังเชิงสเปกตรัมที่ได้จาก การคำนวณนำมาเพื่อตัดกราฟ ดังตัวอย่างภาพประกอบ 3-9



ภาพประกอบ 3-9 แสดงตัวอย่างค่าที่ได้จากการคำนวณหาค่าสูงสุดของค่าความหนาแน่นของกำลังเชิงสเปกตรัมของกลุ่มกล้ามเนื้อลิ้นและกลุ่มกล้ามเนื้อคอ

3.3 การวิเคราะห์ค่าสัมประสิทธิ์ของออ โตรีเกรสซีฟโนเดล

โดยทั่วไปสัญญาณแรงดันใดๆ สามารถถูกแทนด้วยสมการของโนเดลออ โตรีเกรสซีฟได้ ดังนี้

$$Z(n) = - \sum_{k=1}^p a_k Y(n-k) + e(n) \quad \dots(3.3)$$

เมื่อ $Z(n)$ เป็นสัญญาณจำลองที่ได้จากโนเดลออ โตรีเกรสซีฟ

a_k เป็นค่าสัมประสิทธิ์ออ โตรีเกรสซีฟ

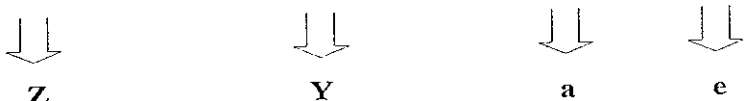
$e(n)$ เป็นค่าความผิดพลาด

p เป็นอันดับของโนเดลออ โตรีเกรสซีฟ

$Y(n-k)$ เป็นสัญญาณจริงที่การสุ่มครั้งที่ $n-k$

ความหมายของสมการที่ 3.3 คือ สัญญาณจำลองที่ n จะขึ้นกับค่าของสัญญาณจริงในอดีต ตั้งแต่ตัวที่ $n-1$ จนถึงตัวที่ $n-p$ ซึ่งสามารถเขียนใหม่ในรูปของเมตริกซ์ ได้ดังนี้

$$\begin{bmatrix} Z_n \\ Z_{n-1} \\ \vdots \\ Z_{n-p} \end{bmatrix} + \begin{bmatrix} y_{n-1} & y_{n-2} & \dots & y_{n-p} \\ y_{n-2} & y_{n-3} & \dots & y_{n-p-1} \\ \vdots & \vdots & \ddots & \vdots \\ y_{n-p-1} & y_{n-p-2} & \dots & y_{n-2p} \end{bmatrix} \begin{bmatrix} a_1 \\ a_2 \\ \vdots \\ a_p \end{bmatrix} = \begin{bmatrix} e_n \\ e_{n-1} \\ \vdots \\ e_{n-p} \end{bmatrix}$$



 $\downarrow \downarrow \downarrow \downarrow$

 $Z \quad Y \quad a \quad e$

หรือ $Z + Ya = e \quad \dots(3.4)$

เมื่อ Z แผนเมตริกซ์ของสัญญาณจำลอง

Y แผน เมตริกซ์ของสัญญาณจริงในอดีต

a แผน เมตริกซ์ของสัมประสิทธิ์โนเดลออ โตรีเกรสซีฟ

e แผน เมตริกซ์ของค่าความผิดพลาด

ถ้า y_i เป็นสัญญาณจริงที่การสุ่มครั้งที่ i ดังนี้

ค่า Least Square ของความผิดพลาด มีค่าเท่ากับ $Q = \sum_{i=0}^{n-1} (y_i - Z_i)^2$

และจากสมการที่ 3.3 เราสามารถเขียนสมการได้ใหม่ $Q = \sum_{i=0}^{n-1} [y_i + \sum_{k=1}^p a_k y_{i-k}]^2 \quad \dots(3.5)$

ถ้าให้การเปลี่ยนแปลงของ Q มีค่าไม่น้อยมากเทียบกับสัมประสิทธิ์ a_k (วาระชัย ฉุบลสูตร วนิช, 2541) ดังนี้

$$\partial Q / \partial a_1 = \partial Q / \partial a_2 = \dots = \partial Q / \partial a_{k-1} = 0 \text{ ดังนั้น } Y^T Y a = -Y^T y$$

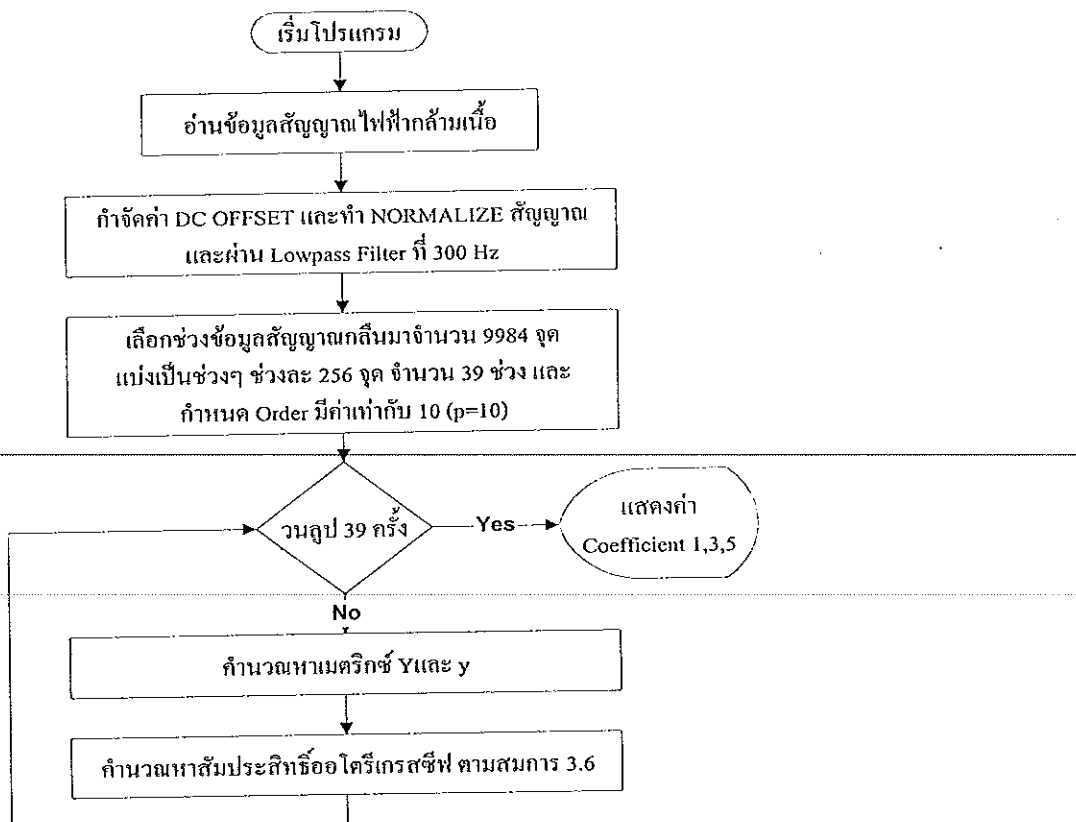
เราสามารถหาค่าสัมประสิทธิ์ของออ โตรีเกรสซีฟ ได้ดังนี้

$$a = -(Y^T Y)^{-1} Y^T y \quad \dots(3.6)$$

เมื่อ Y^T คือ ทราบสภาพสมมาตริกซ์ของ Y

y คือ ค่าของสัญญาณจริงตัวที่ n

จากหลักการข้างต้นนำมาเขียน โปรแกรมคอมพิวเตอร์ด้วย โปรแกรม LabWindows/CVI for Windows Ver. 4.0.1 คำนวณหาค่าสัมประสิทธิ์ของออ โตรีเกรสซีฟ โดยมีผังงานของ โปรแกรม ดังแสดงในภาพประกอบ 3-10 และแสดงปุ่มคำสั่งที่ทำหน้าที่ดังกล่าวในโปรแกรมนี้ ดังภาพประกอบ 3-11



ภาพประกอบ 3-10 ผังงานแสดงการคำนวณหาสัมประสิทธิ์ของออ โตรีเกรสซีฟ

Coeff of AR

ภาพประกอบ 3-11 แสดงปุ่มคำสั่ง Coeff of AR ที่ทำหน้าที่คำนวณหาค่าสัมประสิทธิ์ของ ออโตรีเกรสซีฟลำดับที่ 1, 3 และ 5 ของสัญญาณไฟฟ้ากลุ่มกล้านเนื้อถิน และกลุ่มกล้านเนื้อคอกในโปรแกรมนี้

จากภาพประกอบ 3-10 สามารถเขียนฟังก์ชันของโปรแกรมได้ดังภาพประกอบ 3-12

```

int CVICALLBACK Method_4Callback (int panel, int control, int event,
                                 void *callbackData, int eventData1, int eventData2)
{
    int i,x,y,error; switch (event) { case EVENT_COMMIT:
        /* DC OFFSET C2 */
        Mean (data_ps4, 32512, &average); for (i=0; i<32512; i++) { aver[i] = average; }
        Sub1D (data_ps4, aver, 32512, data_ps4);
        /* DC OFFSET C3 */
        Mean (data_ps41, 32512, &average); for (i=0; i<32512; i++) { aver[i] = average; }
        Abs1D (aver, 32512, aver); Add1D (data_ps41, aver, 32512, data_ps41);
        /* NORMALIZE C2 */
        MaxMin1D (data_ps4, 32512, &max2, &imax2, &min2, &imin2);
        for (i=0; i<32512; i++) { maximum[i] = max2; }
        Abs1D (maximum, 32512, maximum); Div1D (data_ps4, maximum, 32512, data_ps4);
        /* NORMALIZE C3 */
        MaxMin1D (data_ps41, 32512, &max3, &imax3, &min3, &imin3);
        for (i=0; i<32512; i++) { maximum[i] = max3; }
        Abs1D (maximum, 32512, maximum); Div1D (data_ps41, maximum, 32512, data_ps41);
        error = DeleteGraphPlot (Lda, LDATA_GRAPH, -1, VAL_DELAYED_DRAW);
        PlotY (Lda, LDATA_GRAPH, data_ps4, 32512, VAL_DOUBLE, VAL_THIN_LINE,
               VAL_EMPTY_SQUARE, VAL_SOLID, 1, VAL_RED);
        error = DeleteGraphPlot (Lda, LDATA_GRAPH_1, -1, VAL_DELAYED_DRAW);
        PlotY (Lda, LDATA_GRAPH_1, data_ps41, 32512, VAL_DOUBLE, VAL_THIN_LINE,
               VAL_EMPTY_SQUARE, VAL_SOLID, 1, VAL_BLUE);
        MaxMin1D (data_ps4, 32512, &max2, &imax2, &min2, &imin2);
        MaxMin1D (data_ps41, 32512, &max3, &imax3, &min3, &imin3);
        m1 = imax2+4992; position_1 = m1; if (imax2 >= 4992) { m2 = imax2-4992; sum = m1-m2; position_2 = m2; }
        m1 = imax3+4992; position_11 = m1; if (imax3 >= 4992) {
            m2 = imax3-4992; sum = m1-m2; position_21 = m2; }
    }
}

```

ภาพประกอบ 3-12 ฟังก์ชันของโปรแกรมการคำนวณหาค่าสัมประสิทธิ์ของออโตรีเกรสซีฟลำดับที่ 1, 3 และ 5 ของกลุ่มกล้านเนื้อถินและกลุ่มกล้านเนื้อคอก

```

for (i=0; i<39; i++) { if (position_2 < position_1) {
/* LP BUTTERWORTH IIR C2 */
Bw_LPF (&data_ps4[position_2], 256, 2500, 300, 2, &filterwave_4[position_2]);
for (x=0; x<246; x++) { yf[x][0] = 1; position_2 = position_2+9;
for (y=1; y<11; y++) { yf[x][y] = filterwave_4[position_2];
if (y < 10) position_2--; } position_2 = position_2+10;
yn[x] = filterwave_4[position_2]; position_2 = position_2-9; }

GenLSFitCoef (yf, 246, 10, yn, ar,0);
ar_2[i] = ar[1]; /* Coeff 5 of AR C2 */
ar_4[i] = ar[3]; /* Coeff 3 of AR C2 */
ar_6[i] = ar[5]; /* Coeff 1 of AR C2 */
position_2 = position_2+10; }

for (i=0; i<39; i++) { if (position_21 < position_11) {
/* LP BUTTERWORTH IIR C3 */
Bw_LPF (&data_ps41[position_21], 256, 2500, 300, 2, &filterwave_41[position_21]);
for (x=0; x<246; x++) { yf[x][0] = 1; position_21 = position_21+9;
for (y=1; y<11; y++) { yf[x][y] = filterwave_41[position_21];
if (y < 10) position_21--; } position_21 = position_21+10;
yn[x] = filterwave_41[position_21]; position_21 = position_21-9; }

GenLSFitCoef (yf, 246, 10, yn, ar,0);
ar_21[i] = ar[1]; /* Coeff 3 of AR C3 */
ar_41[i] = ar[3]; /* Coeff 5 of AR C3 */
ar_61[i] = ar[5]; /* Coeff 1 of AR C3 */
position_21 = position_21+10; }

error = DeleteGraphPlot (Psd_4, PSD_4_WAVEFORM_PSD4_1, -1, VAL_DELAYED_DRAW);
PlotY (Psd_4, PSD_4_WAVEFORM_PSD4_1, ar_2, 39, VAL_DOUBLE,
VAL_THIN_LINE, VAL_EMPTY_SQUARE, VAL_SOLID, 1, VAL_RED);

error = DeleteGraphPlot (Psd_4, PSD_4_WAVEFORM_PSD4_2, -1, VAL_DELAYED_DRAW);
PlotY (Psd_4, PSD_4_WAVEFORM_PSD4_2, ar_4, 39, VAL_DOUBLE,
VAL_THIN_LINE, VAL_EMPTY_SQUARE, VAL_SOLID, 1, VAL_RED);

error = DeleteGraphPlot (Psd_4, PSD_4_WAVEFORM_PSD4_3, -1, VAL_DELAYED_DRAW);
PlotY (Psd_4, PSD_4_WAVEFORM_PSD4_3, ar_6, 39, VAL_DOUBLE,
VAL_THIN_LINE, VAL_EMPTY_SQUARE, VAL_SOLID, 1, VAL_RED);

error = DeleteGraphPlot (Psd_4, PSD_4_WAVEFORM_PSD4_4, -1, VAL_DELAYED_DRAW);
PlotY (Psd_4, PSD_4_WAVEFORM_PSD4_4, ar_41, 39, VAL_DOUBLE,
VAL_THIN_LINE, VAL_EMPTY_SQUARE, VAL_SOLID, 1, VAL_BLUE);

```

ภาพประกอบ 3-12 ฟังก์ชันของโปรแกรมการคำนวณหาสัมประสิทธิ์ของอัตรีเกรสซึ่งดำเนินการ
ที่ 1, 3 และ 5 ของกลุ่มกล้ามเนื้อคืนและกลุ่มกล้ามเนื้อคอด (ต่อ)

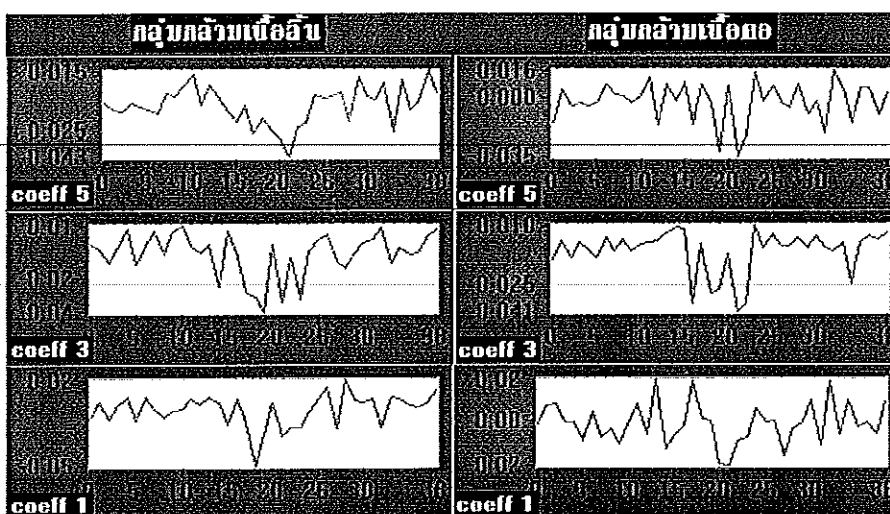
```

error = DeleteGraphPlot (Psd_4, PSD_4_WAVEFORM_PSD4_5, -1, VAL_DELAYED_DRAW);
PlotY (Psd_4, PSD_4_WAVEFORM_PSD4_5, ar_21, 39,VAL_DOUBLE,
       VAL_THIN_LINE, VAL_EMPTY_SQUARE, VAL_SOLID, 1, VAL_BLUE);
error = DeleteGraphPlot (Psd_4, PSD_4_WAVEFORM_PSD4_6, -1, VAL_DELAYED_DRAW);
PlotY (Psd_4, PSD_4_WAVEFORM_PSD4_6, ar_61, 39,VAL_DOUBLE,
       VAL_THIN_LINE, VAL_EMPTY_SQUARE, VAL_SOLID, 1, VAL_BLUE);
InstallPopup (Psd_4);
break;
return 0;
}

```

ภาพประกอบ 3-12 ฟังก์ชันของโปรแกรมการคำนวณหาค่าสัมประสิทธิ์ของอโตรีเกรสซีฟลำดับที่ 1, 3 และ 5 ของกลุ่มคล้ามเนื้อดินและกลุ่มคล้ามเนื้อคอก (ต่อ)

จากภาพประกอบ 3-12 แสดงฟังก์ชันของโปรแกรมการคำนวณหาค่าสัมประสิทธิ์ของอโตรีเกรสซีฟลำดับที่ 1, 3 และ 5 จากข้อมูลที่เลือกมาจำนวน 9984 จุด มาแบ่งคำนวณ เป็นช่วงๆ ละ 256 จุด ดังนั้นจะคำนวณ 39 ช่วง โดยจะคำนวณค่าสัมประสิทธิ์อโตรีเกรสซีฟอันดับเท่ากับ 10 ซึ่งจะให้ผลการคำนวณเป็นค่าสัมประสิทธิ์จำนวน 10 ค่า แต่จะเอาผลการคำนวณเฉพาะค่าสัมประสิทธิ์ลำดับที่ 1, 3 และ 5 มาใช้ในการจำแนกเท่านั้น (วนเชษฐ์ อุบลสูตรวนิช, 2541) โดยทำการคำนวณตลอดทั้งสัญญาณ และนำค่าที่ได้จากการคำนวณนำมาหาลักษณะของภาพประกอบ 3-13



ภาพประกอบ 3-13 แสดงตัวอย่างค่าที่ได้จากการคำนวณหาค่าสัมประสิทธิ์อโตรีเกรสซีฟที่ค่าลำดับที่ 1, 3 และ 5 ตามลำดับ ของกลุ่มคล้ามเนื้อดินและกลุ่มคล้ามเนื้อคอก

3.4 การวิเคราะห์ค่ากำลังของสัญญาณในช่วงการกึ่น

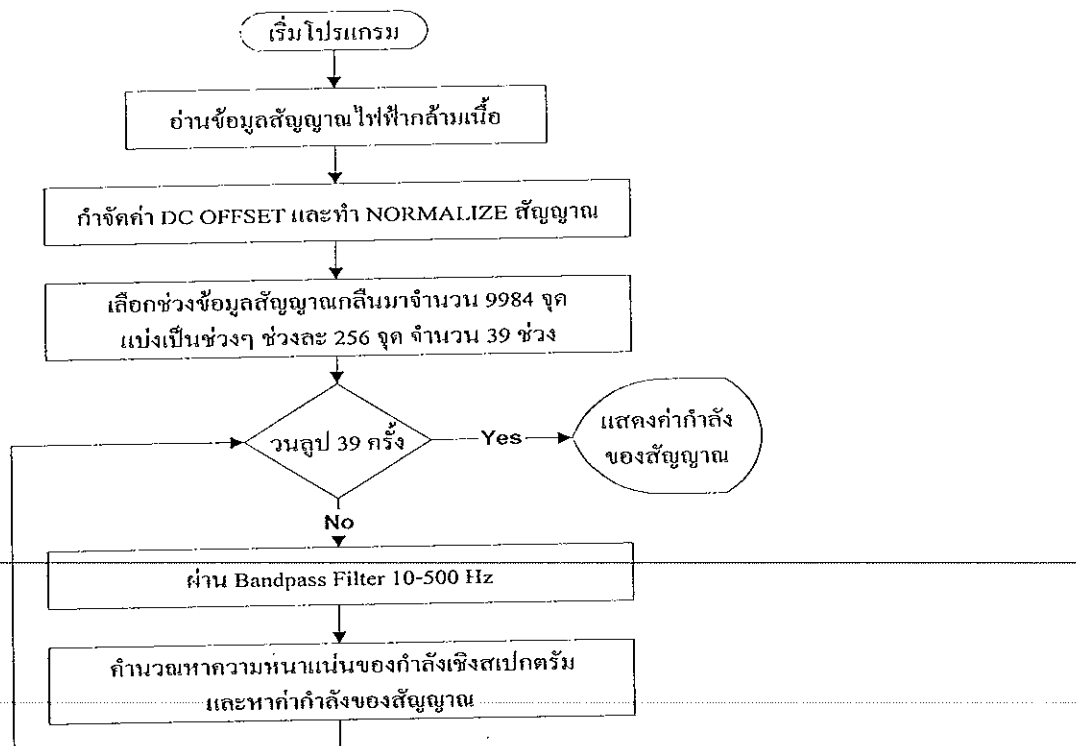
ในการจำแนกถักยมจะเด่นของสัญญาณ การคำนวณจะคำนวณหาผลรวมของกำลังของสัญญาณ เป็นช่วงๆ ดังความสัมพันธ์ต่อไปนี้

$$\text{กำลังของสัญญาณ} = \sum_{i=2}^{n/2} S_{xx}(f) \cdot \Delta f \quad \dots(3.7)$$

เมื่อ n คือจำนวนจุดของสัญญาณ $x(t)$ ที่ใช้คำนวณหาค่า $S_{xx}(f)$

i จะเริ่มต้นที่ค่าเท่ากับ 2 เพื่อตัดค่า ดซีและความถี่ต่ำมากๆ

จากหลักการข้างต้น นำมาเขียนโปรแกรมคอมพิวเตอร์ด้วย LabWindows/CVI for Windows Ver. 4.0.1 คำนวณหาค่ากำลังสัญญาณไฟฟ้าช่วงการกึ่น โดยมีผังงานของโปรแกรมดังแสดงในภาพประกอบ 3-14 และแสดงปุ่มคำสั่งที่ทำหน้าที่นี้ในโปรแกรม ดังภาพประกอบ 3-15



ภาพประกอบ 3-14 ผังงานแสดงการคำนวณหาค่ากำลังของสัญญาณในช่วงการกึ่น

Sum of PS

ภาพประกอบ 3-15 แสดงปุ่มคำสั่ง Sum of PS ที่ทำหน้าที่คำนวณหาค่ากำลังของสัญญาณในช่วง การกลืนของสัญญาณไฟฟ้ากลุ่มกล้ามเนื้อลิ้นและกลุ่มกล้ามเนื้อคอในโปรแกรมนี้

จากภาพประกอบ 3-14 สามารถเขียนฟังก์ชันของโปรแกรมได้ดังภาพประกอบ 3-16

```

int CVICALLBACK Method_SCallback (int panel, int control, int event,
                                  void *callbackData, int eventData1, int eventData2)
{
    int i,x,error; switch (event) { case EVENT_COMMIT:
        /* DC OFFSET C2 */
        Mean (data_ps5, 32512, &average); for (i=0; i<32512; i++) { aver[i] = average; }
        Sub1D (data_ps5, aver, 32512, data_ps5);

        /* DC OFFSET C3 */
        Mean (data_ps51, 32512, &average); for (i=0; i<32512; i++) { aver[i] = average; }
        Abs1D (aver, 32512, aver); Add1D (data_ps51, aver, 32512, data_ps51);

        /* NORMALIZE C2 */
        MaxMin1D (data_ps5, 32512, &max2, &imax2, &min2, &imin2);
        for (i=0; i<32512; i++) { maximum[i] = max2; } Abs1D (maximum, 32512, maximum);
        Div1D (data_ps5, maximum, 32512, data_ps5);

        /* NORMALIZE C3 */
        MaxMin1D (data_ps51, 32512, &max3, &imax3, &min3, &imin3);
        for (i=0; i<32512; i++) { maximum[i] = max3; } Abs1D (maximum, 32512, maximum);
        Div1D (data_ps51, maximum, 32512, data_ps51);

        error = DeleteGraphPlot (Lda, LDATA_GRAPH, -1, VAL_DELAYED_DRAW);
        PlotY (Lda, LDATA_GRAPH, data_ps5, 32512, VAL_DOUBLE, VAL_THIN_LINE,
               VAL_EMPTY_SQUARE, VAL_SOLID, 1, VAL_RED);
        error = DeleteGraphPlot (Lda, LDATA_GRAPH_1, -1, VAL_DELAYED_DRAW);
        PlotY (Lda, LDATA_GRAPH_1, data_ps51, 32512, VAL_DOUBLE, VAL_THIN_LINE,
               VAL_EMPTY_SQUARE, VAL_SOLID, 1, VAL_BLUE);

        MaxMin1D (data_ps5, 32512, &max2, &imax2, &min2, &imin2);
        MaxMin1D (data_ps51, 32512, &max3, &imax3, &min3, &imin3);
        m1 = imax2+4992; position_1 = m1; if (imax2 >= 4992) {
            m2 = imax2-4992; sum = m1-m2; position_2 = m2; }
        m1 = imax3+4992; position_11 = m1; if (imax3 >= 4992) { m2 = imax3-4992; sum = m1-m2; position_21 = m2; }
    }
}

```

ภาพประกอบ 3-16 ฟังก์ชันของโปรแกรมการคำนวณหาค่าสูงสุดของกำลังของสัญญาณ ในช่วงการกลืนของกลุ่มกล้ามเนื้อลิ้นและกลุ่มกล้ามเนื้อคอ

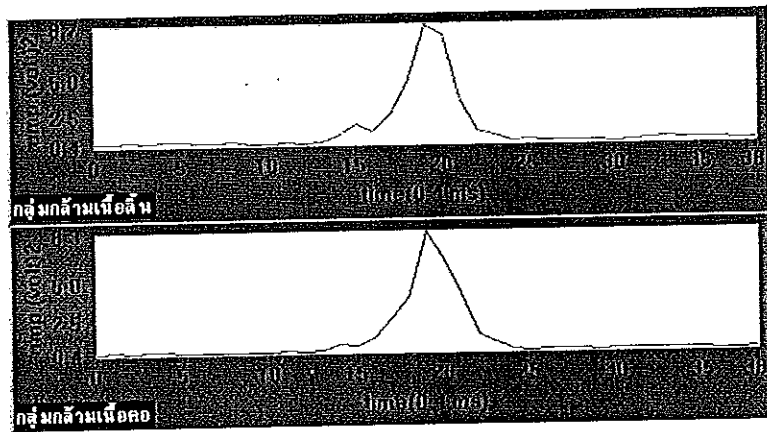
```

for (i=0; i<39; i++) { if (position_2 < position_1) {
/* BP BUTTERWORTH IIR C2 */
Bw_BPF (&data_ps5[position_2], 256, 2500, 10, 500, 4, &filterwave_5[position_2]);
AutoPowerSpectrum (&filterwave_5[(position_2)], 256, (1/2500), spectrum_5, &freqspace);
spectrum_5[0] = 0; spectrum_5[1] = 0; Sum1D (spectrum_5, 128, &sump[i]);
sump[i] = sump[i]*100; position_2 = position_2+256; } }
for (i=0; i<39; i++) { if (position_21 < position_11) {
/* BP BUTTERWORTH IIR C3 */
Bw_BPF (&data_ps51[position_21], 256, 2500, 10, 500, 4, &filterwave_51[position_21]);
AutoPowerSpectrum (&filterwave_51[(position_21)], 256, (1/2500), spectrum_51, &freqspace);
spectrum_51[0] = 0; spectrum_51[1] = 0; Sum1D (spectrum_51, 128, &sump_2[i]);
sump_2[i] = sump_2[i]*100; position_21 = position_21+256; } }
error = DeleteGraphPlot (Psd_5, PSD_5_WAVEFORM_PSD_51, -1, VAL_DELAYED_DRAW);
PlotY (Psd_5, PSD_5_WAVEFORM_PSD_51, sump, 39, VAL_DOUBLE,
VAL_THIN_LINE, VAL_EMPTY_SQUARE, VAL_SOLID, 1, VAL_RED);
error = DeleteGraphPlot (Psd_5, PSD_5_WAVEFORM_PSD_52, -1, VAL_DELAYED_DRAW);
PlotY (Psd_5, PSD_5_WAVEFORM_PSD_52, sump_2, 39, VAL_DOUBLE,
VAL_THIN_LINE, VAL_EMPTY_SQUARE, VAL_SOLID, 1, VAL_BLUE);
InstallPopup (Psd_5);
break; }
return 0; }

```

ภาพประกอบ 3-16 ฟังก์ชันของโปรแกรมการคำนวณหาค่าสูงสุดของกำลังของสัญญาณ
ในช่วงการถีนของกลุ่มกล้านเนื้อถีนและกลุ่มกล้านเนื้อคอก (ต่อ)

จากภาพประกอบ 3-16 แสดงฟังก์ชันของโปรแกรมการคำนวณหาค่ากำลังของสัญญาณ ใน
ฟ้าในช่วงการถีน จากข้อมูลที่เลือกมาจำนวน 9984 จุด มาแบ่งคำนวณเป็นช่วงๆ ละ 256 จุด ตั้ง
นั้นจะคำนวณ 39 ช่วง คำนวณตลอดทั้งสัญญาณในแต่ละช่วง และค่าที่ได้จากการคำนวณนำมา
พิสูจน์ทราบ ดังตัวอย่างภาพประกอบ 3-17



ภาพประกอบ 3-17 แสดงตัวอย่างผลที่ได้จากการคำนวณหากำลังของสัญญาณในช่วงการถีนของกลุ่มกล้ามเนื้อถีนและกลุ่มกล้ามเนื้อคอ

บทที่ 4

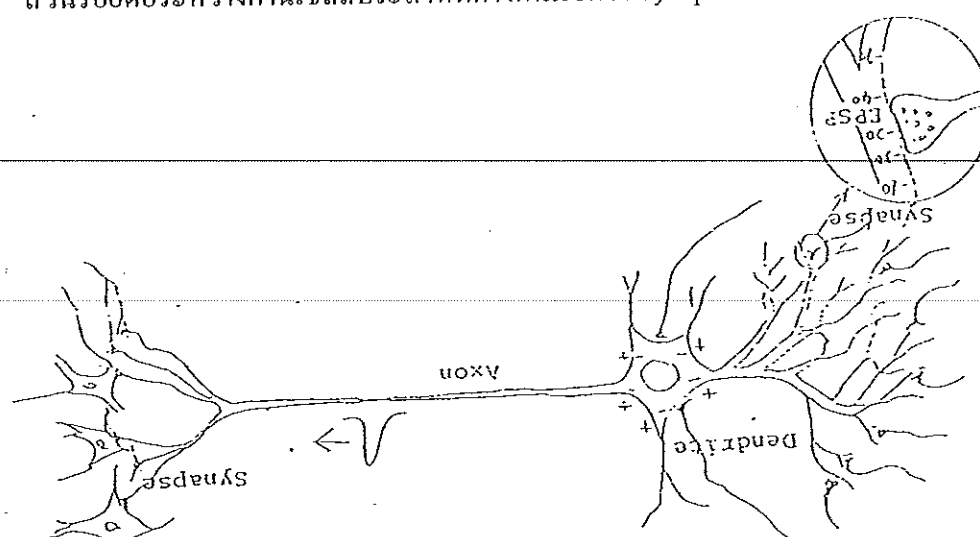
การจำแนกผู้มีปัญหาการกลืนโดยวิธีโครงข่ายประสาท

ในบทนี้จะกล่าวถึงการนำพารามิเตอร์ที่คำนวณได้จากการทางคอมพิวเตอร์ในบทที่ 3 มาใช้ในการจำแนกผู้มีปัญหาการกลืนด้วยวิธีโครงข่ายประสาทรูปแบบต่างๆ โดยเบื้องต้นจะกล่าวถึงทฤษฎีและหลักการของโครงข่ายประสาท หลังจากนั้นจะกล่าวถึงผลที่ได้จากการจำแนกด้วยพารามิเตอร์แต่ละค่า และสรุปผลการจำแนกด้วยโครงข่ายประสาทรูปแบบที่ให้ผลการจำแนกดีที่สุด

4.1 การจำแนกด้วยโครงข่ายประสาท

ประโยชน์ของโครงข่ายประสาทที่นิยมใช้กันมากคือ การจำแนก (Classification) หลักการพื้นฐานของโครงข่ายประสาทเกิดจากการจำลองของระบบประสาท ดังแสดงในภาพประกอบ 4-1 ซึ่งมีส่วนประกอบที่สำคัญ 4 ส่วน ดังต่อไปนี้

- 1) ตัวเซลล์ที่มีนิวเคลียสอยู่ตรงกลาง
- 2) เซลล์ประสาทที่ยื่นออกไปรับหรือส่งสัญญาณจากเซลล์ประสาทเรียกว่า Axon
- 3) ส่วนที่ปลายกิ่งที่แตกออกเป็นก้านย่อยๆ เรียกว่า Dendrite
- 4) ส่วนรอยต่อระหว่างก้านเซลล์ประสาทที่ต่างกันเรียกว่า Synapse



ภาพประกอบ 4-1 โครงสร้างและส่วนประกอบของเซลล์ประสาท

ที่มา: Yukio Kosugi, 1997

จากภาพประกอบ 4-1 เราสามารถจำลองการทำงานของเซลล์ประสาทด้วย ฟังก์ชันพื้นฐานทางคณิตศาสตร์ ดังต่อไปนี้

$$Y = f(\sum w_i x_i - \emptyset) \quad \dots(4.1)$$

เมื่อ

Y = ค่าของโครงข่ายประสาท

x_i = ข้อมูลอินพุตตำแหน่งที่ i

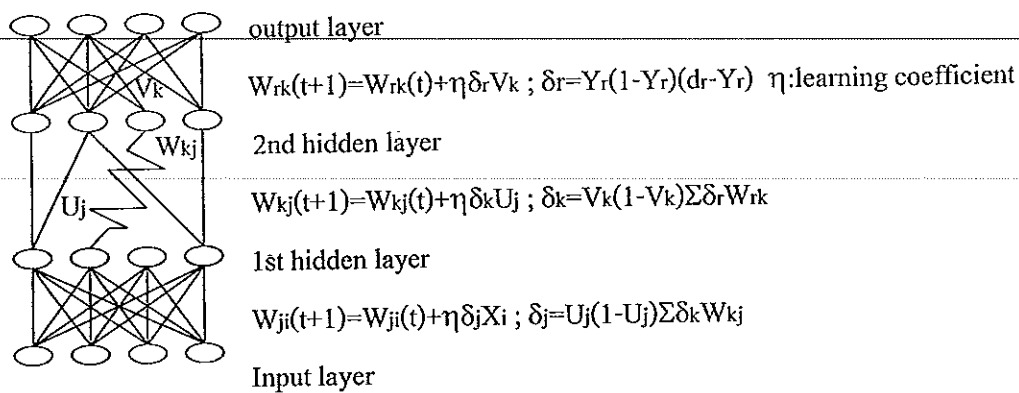
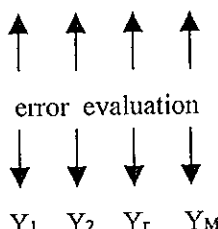
w_i = น้ำหนักของข้อมูลที่ i

\emptyset = ค่าอ้างอิง

โดยที่ $f(X) = 1/(1+\exp(-X))$

จากสมการที่ 4.1 เป็นสมการพื้นฐานจำลองการทำงานของโครงสร้างระบบเซลล์ประสาท ค่าของโครงข่ายประสาทได้จากการหา ฟังก์ชันของข้อมูลอินพุต คูณด้วยน้ำหนักของข้อมูล ซึ่งสมการพื้นฐานนี้ได้มีการพัฒนาในลำดับต่อมา ทำให้เกิดแบบจำลองของการเรียนรู้ของโครงข่ายประสาทหลายแบบด้วยกัน แต่แบบที่นิยมนำมาใช้ในการจำแนกสัญญาณไฟฟ้ากล้องเนื้อคือ แบบจำลองการแพร่กลับ (Back Propagation) ซึ่งเราจะนำมารายละเอียดในภาพประกอบ 4-2

$d_1 \ d_2 \ dr \ dm$:tutorial signal



ภาพประกอบ 4-2 แสดงโครงสร้างของแบบจำลองการแพร่กลับ(Back Propagation)

ที่มา: Yukio Kosugi, 1997

จากภาพประกอบ 4-2 โครงสร้างแบบจำลองการแพร่กลับ จะประกอบด้วยเซลล์ประสาท เรียงกันอยู่อย่างน้อย 3 ชั้น ประกอบด้วยชั้นอินพุต ชั้นซ่อน และชั้นาเอต์พุต

โดยที่ d_i = ค่าเอต์พุตที่ใช้ในการฝึกสอน

y_i = ค่าเอต์พุตที่ได้จากการประมวลผลของโครงข่ายประสาท ในชั้นาเอต์พุต

x_i = ข้อมูลอินพุต ลำดับที่ i ในชั้นอินพุต

u_j = ข้อมูลอินพุต ลำดับที่ j ในชั้นซ่อนที่ 1

v_k = ข้อมูลอินพุต ลำดับที่ k ในชั้นซ่อนที่ 2

w_{ij} = ค่าน้ำหนักของเซลล์ประสาทลำดับที่ i กับ j ในชั้นอินพุตกับชั้นซ่อนที่ 1

w_{kj} = ค่าน้ำหนักของเซลล์ประสาทลำดับที่ k กับ j ในชั้นซ่อนที่ 1 กับชั้นซ่อนที่ 2

w_{rk} = ค่าน้ำหนักของเซลล์ประสาทลำดับที่ r กับ k ในระหว่างชั้นซ่อนที่ 2 กับ

ชั้นาเอต์พุต

แบบจำลองแบบแพร่กลับ (Back Propagation) จะทำงานโดยใช้เทคนิคการปรับค่าน้ำหนัก ของเซลล์ในแต่ละชั้น เพื่อให้เอต์พุตที่ได้มีค่าความผิดพลาดในระดับหนึ่งที่สามารถยอมรับได้ การวิเคราะห์ด้วยโครงข่ายประสาทจำเป็นต้องฝึกฝน (Train) โครงข่ายก่อน โดยการป้อนข้อมูลอินพุต-เอต์พุต เพื่อให้โครงข่ายประสาททราบว่าถ้าอินพุตแบบนี้ เอต์พุตต้องเป็นแบบนี้ ข้อมูลอินพุตที่ป้อนเข้าสู่โครงข่ายประสาทจะถูกประมวลผล และส่งผลลัพธ์ไปประมวลผลต่อไปแต่ละชั้น จนไปให้เอต์พุตออกมาน่าจะของเอต์พุตที่ได้จะถูกนำไปเปรียบเทียบกับเอต์พุตจริง ซึ่งค่าความผิดพลาดจะลดลงเมื่อเอต์พุตทั้งสองนี้จะถูกนำกลับไปใช้ในการปรับค่าน้ำหนักแล้วคำนวณตามขั้นตอน ต่อไป ซึ่งหลักการการคำนวณหน้าหนักในแต่ละชั้นสามารถดูได้ในหัวข้อ 4.1.1 ดังนี้

4.1.1 การคำนวณหน้าหนักในแต่ละชั้น

จากภาพประกอบ 4-2 แสดงโครงสร้างแบบจำลองการแพร่กลับ ที่มีชั้นซ่อน 2 ชั้น การคำนวณเริ่มจากชั้นาเอต์พุต \Rightarrow ชั้นซ่อนที่ 2 \Rightarrow ชั้นซ่อนที่ 1 \Rightarrow ชั้นอินพุต ตามลำดับ ดังนี้ค่า น้ำหนักในแต่ละชั้นจะคำนวณได้ดังนี้

ชั้นาเอต์พุต : ค่าน้ำหนักที่ชั้นนี้จะคำนวณได้จากการต่อไปนี้

$$W_{ik}(t+1) = W_{ik}(t) + \gamma \delta_r V_k \quad \dots(4.2)$$

กำหนดให้ V_k เป็นเอต์พุตลำดับที่ k ในชั้นซ่อนที่ 2

γ เป็นค่าสัมประสิทธิ์ของการเรียนรู้ (Learning Coefficient)

δ_r เป็นฟังก์ชันความผิดพลาด (Error Function) ลำดับที่ r

w_{rk} เป็นน้ำหนักระหว่างชั้นเอ้าท์พุตกับชั้นซ่อนที่ 2

จากสมการที่ 4.2 สามารถคำนวณน้ำหนัก w_{rk} ตัวใหม่ได้จาก w_{rk} ตัวเดิม รวมกับ ผลลัพธ์ของค่าสัมประสิทธิ์ของการเรียนรู้(ท) ฟังก์ชันความผิดพลาดที่ r (δ_r) และ เอ้าท์พุตลำดับที่ k ของชั้นซ่อนที่ 2 ซึ่งค่าของ δ_r หาได้จากนำค่าเอ้าท์พุตลำดับที่ r ของชั้นเอ้าท์พุต กับ เอ้าท์พุตในการเรียนรู้ มาหารความสัมพันธ์ดังนี้

$$\delta_r = y_r(1-y_r)(d_r - y_r) \quad \dots(4.3)$$

กำหนดให้ y_r เป็นเอ้าท์พุตลำดับที่ r ในชั้นเอ้าท์พุต

d_r เป็นค่าเอ้าท์พุตในการเรียนรู้ ที่นำมาใช้ในการเรียนรู้ ลำดับที่ r

ชั้นซ่อนที่ 2 : ค่าน้ำหนักในชั้นนี้จะคำนวณได้จากสมการต่อไปนี้

$$w_{kj}(t+1) = w_{kj}(t) + \eta \delta_k \mu_j \quad \dots(4.4)$$

กำหนดให้ μ_j เป็นเอ้าท์พุตลำดับที่ j ของชั้นซ่อนที่ 1

δ_k เป็นฟังก์ชันความผิดพลาดลำดับที่ k

w_{kj} เป็นน้ำหนักระหว่าง เขல์ประสาทลำดับที่ k กับ j ในชั้นซ่อนที่ 1 กับ ชั้นซ่อนที่ 2

การคำนวณจะแทนที่น้ำหนักของ w_{kj} ด้วย w_{kj} ตัวเดิม กับ ผลลัพธ์ของค่าสัมประสิทธิ์ในการเรียนรู้ (ท) ฟังก์ชันความผิดพลาดที่ k (δ_k) และเอ้าท์พุตลำดับที่ k ของชั้นซ่อนที่ 1 ซึ่งค่าของ δ_k ได้จากนำค่าเอ้าท์พุตลำดับที่ k ของชั้นเอ้าท์พุต กับน้ำหนัก w_{rk} มาหารความสัมพันธ์ดังสมการต่อไปนี้

$$\delta_k = v_k(I-v_k) \sum \delta_r w_{rk} \quad \dots(4.5)$$

ชั้นซ่อนที่ 1 : ค่าน้ำหนักในชั้นนี้จะคำนวณได้จากสมการดังต่อไปนี้

$$w_{ji}(t+1) = w_{ji}(t) + \eta \delta_j x_i \quad \dots(4.6)$$

กำหนดให้ x_i เป็นอินพุตลำดับที่ i ของชั้นอินพุต

δ_j เป็นฟังก์ชันความผิดพลาดลำดับที่ j

w_{ji} เป็นน้ำหนักระหว่างชั้นอินพุตกับชั้นซ่อนที่ 1

การคำนวณจะแทนที่น้ำหนัก w_{ji} ใหม่ ด้วยน้ำหนัก w_{ji} ตัวเดิม รวมกับผลลัพธ์ของค่าคงที่ของการเรียนรู้(ท) ค่าความผิดพลาดลำดับที่ j (δ_j) และอินพุตลำดับที่ i ของชั้นอินพุต ซึ่งค่าของ δ_j ได้จากนำค่าเอ้าท์พุตลำดับที่ j ของชั้นซ่อนที่ 1 กับ น้ำหนัก w_{kj} มาหารความสัมพันธ์ดังนี้

$$\delta_j = \mu_j(1-\mu_j) \sum \delta_k w_{kj} \quad \dots (4.7)$$

การคำนวณในแต่ละชั้นค่าความผิดพลาดจะถูกส่งจากชั้นเอ้าท์พุต \Rightarrow ชั้นช่องที่ 2 \Rightarrow ชั้นช่องที่ 1 \Rightarrow ชั้นอินพุต ตามลำดับ นำหนักที่เข้มต่อของแต่ละเซลล์จะถูกปรับค่าไปตามความมากน้อยของสัญญาณค่าความผิดพลาดที่ได้รับขบวนการส่งค่าความผิดพลาดจะทำซ้ำๆ เพื่อให้เน็ตเวอร์กปรับค่าต่างๆ ที่จะทำให้ค่าของความผิดพลาดที่ต่ำกว่าค่าที่กำหนดได้แล้วจึงหยุดการคำนวณ

หลังจากผ่านขบวนการเรียนรู้ เพื่อให้เซลล์แต่ละชั้นทำการปรับค่าน้ำหนักของเซลล์ ในแต่ละชั้นจนได้ค่าที่เหมาะสม ในการเรียนรู้และจำลักษณะที่แตกต่างของสัญญาโนินพุตแล้ว จึงนำผลของการเรียนรู้ไปใช้ในการทดสอบข้อมูล (Data Test) เพื่อจำแนกข้อมูลสัญญาโนินพุตอื่นๆ ตามความต้องการ

ในการวิเคราะห์สัญญาโนไฟฟ้ากล้ามเนื้อเพื่อจำแนกหาผู้มีปัญหาการกลืน จะใช้โปรแกรมการตรวจจับจุดกัดนิ่นจากสัญญาโนกล้ามเนื้อ โดยวิธีการทาง Neural Network (พิทักษ์ ทางรัตน สุวรรณ, 2540) เจียนด้วยภาษาซีบนระบบคอม มาช่วยในการวิเคราะห์จำแนกหาสัญญาโนที่ผิดปกติ โดยนำผลการคำนวณทางคณิตศาสตร์ทั้ง 4 วิธี ได้แก่ วิธี PS at MF, Max of PS, Coeff of AR และ Sum of PS กับสัญญาโนไฟฟ้ากลุ่มกล้ามเนื้อดื่นและกลุ่มกล้ามเนื้อคอ มาให้เป็นข้อมูลในการวิเคราะห์สัญญาโนไฟฟ้า จะแบ่งข้อมูลออกเป็น 2 กลุ่ม โดยกลุ่มแรกเป็นข้อมูลสำหรับใช้ในการเรียนรู้ (Training) และกลุ่มที่สองเป็นข้อมูลสำหรับใช้ในการทดสอบ (Testing) ในการทดสอบครั้งนี้อาสาสมัครจำนวน 65 คน ประกอบด้วยอาสาสมัครที่ไม่มีปัญหาการกลืนจำนวน 43 คน และผู้มีปัญหาการกลืนจำนวน 22 คน โดยมีการจัดกลุ่มของอาสาสมัครสำหรับการเรียนรู้และทดสอบดังนี้

กลุ่มที่ 1 เป็นกลุ่มข้อมูลสำหรับใช้ในการเรียนรู้ (Training) อาสาสมัครที่ไม่มีปัญหาการกลืนจำนวน 15 คน และ อาสาสมัครที่มีปัญหาการกลืนจำนวน 15 คน

กลุ่มที่ 2 เป็นกลุ่มข้อมูลสำหรับใช้ในการทดสอบ (Testing) ประกอบด้วยอาสาสมัครที่ไม่มีปัญหาการกลืนจำนวน 28 คน และ อาสาสมัครที่มีปัญหาการกลืนจำนวน 7 คน

ตั้งนี้ค่าน้ำหนักที่ได้จากการจำแนกจะถูกนำไปใช้ในโครงข่าย เพื่อใช้ในการจำแนกในบทที่ 2 ส่วนการจำแนกหาผู้มีปัญหาการกลืนโดยโครงข่ายประสาทจะต้องกำหนดลักษณะข้อมูลของอินพุตและเอาท์พุตที่ต้องการ โดยในการวิเคราะห์จะนำผลการคำนวณทางคณิตศาสตร์ทั้ง 4 วิธี ได้แก่ วิธี PS at MF, Max of PS, Coeff of AR และ Sum of PS กับสัญญาโนไฟฟ้ากลุ่มกล้ามเนื้อดื่น และกลุ่มกล้ามเนื้อคอมาใช้เป็นข้อมูลในการเรียนรู้และทดสอบ ลักษณะข้อมูลอินพุตของอาสา

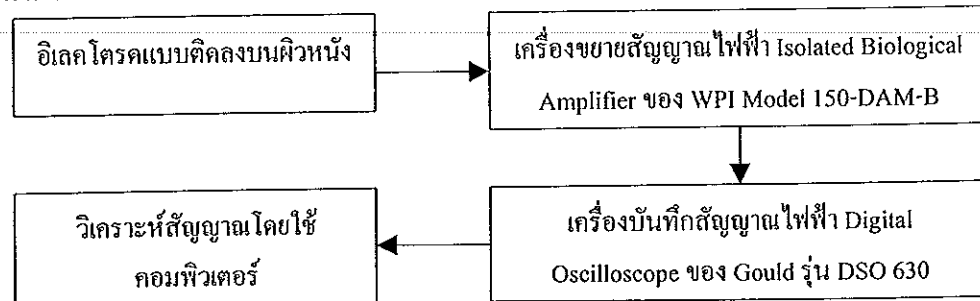
สมัครแต่ละคน มีจำนวน 39 ข้อมูล และกำหนดให้เอกสารทุกมีจำนวน 2 เอกสาร พุต คือ y_1 และ y_2 มีค่าเท่ากัน 0 หรือ 1 แทนผลการจำแนกดังต่อไปนี้

สำหรับ y_1	ถ้า เอกสาร พุต มีค่าเท่ากับ 1 หมายความว่า เป็นคนปกติ
	ถ้า เอกสาร พุต มีค่าเท่ากับ 0 หมายความว่า เป็นผู้มีปัญหาการกลืน
สำหรับ y_2	ถ้า เอกสาร พุต มีค่าเท่ากับ 1 หมายความว่า เป็นผู้มีปัญหาการกลืน
	ถ้า เอกสาร พุต มีค่าเท่ากับ 0 หมายความว่า เป็นคนปกติ

ดังนั้นถ้าผลการจำแนกให้เอกสาร พุต y_1 มีค่ามากกว่า 0.5 ให้ถือว่าเป็นผู้ไม่มีปัญหาการกลืน แต่ถ้าผลการจำแนกให้เอกสาร พุต y_1 มีค่าน้อยกว่า 0.5 ถือว่าเป็นผู้มีปัญหาการกลืน ซึ่งผลการจำแนก จะได้กล่าวรายละเอียดในหัวข้อต่อไป

4.2 เครื่องมือและวิธีการวัดสัญญาณไฟฟ้ากล้ามเนื้อคลื่นและกล้ามเนื้อคอด

เครื่องมือและวิธีการวัดสัญญาณไฟฟ้ากล้ามเนื้อคลื่นและกล้ามเนื้อคอดในบทนี้ จะใช้เครื่องมือและวิธีการบันทึกข้อมูลโดย รศ.น.พ. วิทูร ลีลามานิตย์ ภาควิชาโสต นาสิกและ daraing ชีวิตยา คณะแพทยศาสตร์ มหาวิทยาลัยสงขลานครินทร์ ในขั้นตอนสัญญาณไฟฟ้าจากอิเล็กโทรด จะผ่านไปยังเครื่องขยายสัญญาณไฟฟ้าโดยใช้ Isolated Biological Amplifier ของ WPI รุ่น Model 150-DAM-B ซึ่งสัญญาณไฟฟ้าจะถูกขยายตัวอย่างต่อเนื่อง 100 เท่า และกรองสัญญาณที่ความถี่ 10 Hz ถึง 3 KHz ดังภาพประกอบ 4-3 หลังจากผ่านเครื่องขยายสัญญาณแล้ว สัญญาณจะถูกบันทึกโดยเครื่องบันทึกสัญญาณ Digital Oscilloscope ของ Gould รุ่น DSO 630 ใช้ความเร็วในการสุ่มสัญญาณ 2500 Hz และบันทึกข้อมูลสูงสุดจำนวน 50000 จุด โดยจะจับสัญญาณจากอาสาสมัคร ขณะกลืนน้ำ ขนาด 5 ช้อน จำนวน 3 ครั้ง จากนั้นจะทำการถ่ายข้อมูลไปยังเครื่องคอมพิวเตอร์ เพื่อนำข้อมูลไปทำการวิเคราะห์ในลำดับต่อไป

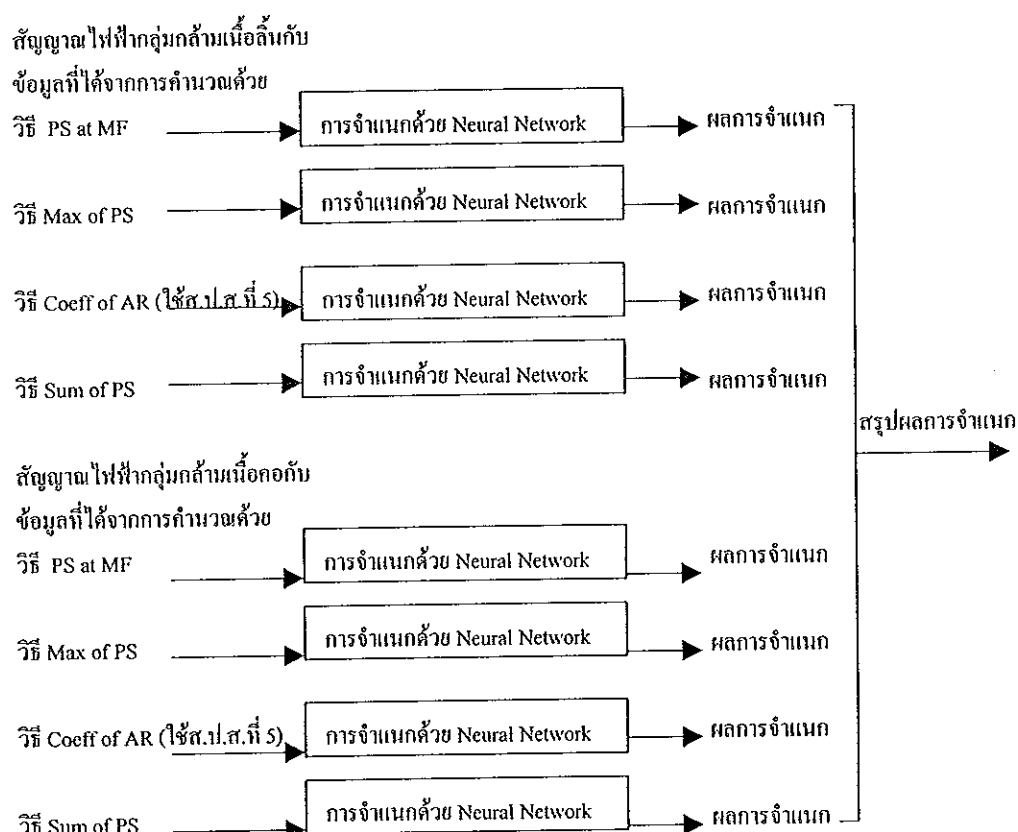


ภาพประกอบ 4-3 แสดงแผนภาพอุปกรณ์ที่ใช้ในการบันทึกสัญญาณไฟฟ้าและวิเคราะห์สัญญาณไฟฟ้าของ รศ.น.พ. วิทูร ลีลามานิตย์ โรงพยาบาลสงขลานครินทร์

4.3 รูปแบบของโครงข่ายประสาทที่ใช้ในการจำแนก

รูปแบบของการจำแนกด้วยโครงข่ายประสาทที่ใช้ในโปรแกรม มี 3 รูปแบบด้วยกัน ดังนี้

4.3.1 การจำแนกด้วยโครงข่ายประสาทรูปแบบที่ 1



ภาพประกอบ 4-4 แสดงการจำแนกด้วยโครงข่ายประสาทรูปแบบที่ 1 กับพารามิเตอร์ทาง

คณิตศาสตร์หลายๆ วิธีของกลุ่มคล้านเนื้อดินและกลุ่มคล้านเนื้อคอ

จากภาพประกอบ 4-4 แสดงการจำแนกด้วยโครงข่ายประสาทรูปแบบที่ 1 กับพารามิเตอร์ที่ได้จากการคำนวณทางคณิตศาสตร์ของวิธีการวิเคราะห์จากค่าความหนาแน่นของกำลังเชิงสเปกตรัมที่ความถี่มีเดียน (PS at MF) วิธีการวิเคราะห์จากค่าสูงสุดของค่าความหนาแน่นของกำลังเชิงสเปกตรัม (Max of PS) วิธีการวิเคราะห์โดยหาค่าสัมประสิทธิ์ของออโตรีเกรสซีฟลำดับที่ 5 (Coeff 5 of AR) และวิธีการวิเคราะห์โดยวิธีการหากำลังของสัญญาณในช่วงการถีน (Sum of PS)

ของกลุ่มกล้ามเนื้อดินและกลุ่มกล้ามเนื้อคอ ซึ่งจะได้ผลการจำแนกออกอีกมาทั้งหมดจำนวน 8 ผลการจำแนกด้วยกัน หลังจากนั้นทำการสรุปผลการจำแนก ดังนี้ ถ้าผลการจำแนกที่ได้จำแนกว่าปกติมากกว่าหรือเท่ากับ 5 สรุปผลการจำแนกได้ว่าเป็นคนปกติ และถ้าผลการจำแนกที่ได้จำแนกเป็นผู้ป่วยมากกว่าหรือเท่ากับ 5 สรุปผลการจำแนกได้ว่าเป็นผู้ที่มีปัญหาการกลืน แต่ถ้าผลการจำแนกที่ได้เป็นคนปกติเท่ากับ 4 และมีจำนวนผิดปกติเท่ากับ 4 เช่นกัน โปรแกรมจะไม่สามารถสรุปผลการจำแนกได้ว่าเป็นคนปกติหรือเป็นผู้ที่มีปัญหาการกลืน ผลการจำแนกด้วยโครงข่ายประสาทรูปแบบที่ 1 กับพารามิเตอร์ทางคณิตศาสตร์หลายๆ วิธีของกลุ่มกล้ามเนื้อดินและกลุ่มกล้ามเนื้อคอ มีดังนี้

4.3.1.1 ผลการจำแนกด้วยโครงข่ายประสาทรูปแบบที่ 1 กับพารามิเตอร์ที่ได้จากการวิธีการคำนวณหาค่าความหนาแน่นของกำลังเชิงสเปกตรัมที่ความถี่มีเดียน

สำหรับการเรียนรู้และทดสอบ การเรียนรู้จะใช้ข้อมูลที่ได้จากการคำนวณหาค่าความหนาแน่นของกำลังเชิงสเปกตรัมที่ความถี่มีเดียนของสัญญาณไฟฟ้ากลุ่มกล้ามเนื้อดิน และกลุ่มกล้ามเนื้อคอ ของอาสาสมัครจำนวน 30 คน โดยโครงข่ายประสาทมีคุณสมบัติดังนี้ มีอินพุต 39 ข้อมูล เอาต์พุต 2 ข้อมูล ชั้นซ่อนมี 1 ชั้น และ 4 โนนด ค่าความคิดพลาดที่ต้องการเท่ากับ 0.0001 ค่าอัตราการขยายสำหรับการเรียนรู้เท่ากับ 5 และค่าอินเนอร์เรชั่นพารามิเตอร์เท่ากับ 0.9 จะให้ผลเป็นน้ำหนักของการเรียนรู้มีรายละเอียดดังตารางต่อไปนี้

ตาราง 4-1 ก แสดงค่าน้ำหนักที่ได้จากการเรียนรู้ด้วยโครงข่ายประสาทรูปแบบที่ 1 กับ

พารามิเตอร์ที่ได้จากการคำนวณหาค่าความหนาแน่นของกำลังเชิงสเปกตรัมที่ความถี่มีเดียนของสัญญาณกลุ่มกล้ามเนื้อดิน

Whi

7.96E-01	3.16E-01	1.10E+00	1.43E-01	-4.87E-01	3.61E-01	-1.43E+00	-1.11E+00	-1.26E-01	6.62E-04	-6.19E-02	2.06E+00	1.01E+00
-2.27E-01	5.00E-02	-3.35E-01	1.81E-01	8.29E-02	-1.55E-01	1.12E+00	7.19E-01	-5.87E-02	1.22E-01	-1.09E-01	-2.54E-01	-3.96E-01
-1.70E+00	9.25E-02	-8.74E-01	2.44E-02	4.62E-02	-5.20E-01	3.40E-01	1.13E+00	7.09E-01	2.74E-01	2.63E-01	-7.62E-01	-6.34E-01
8.43E-01	2.98E-01	1.03E+00	2.00E-01	-4.51E-01	3.43E-01	-1.60E+00	-1.28E+00	-1.31E-01	-8.91E-02	-1.41E-01	2.28E+00	1.15E+00

3.19E-01	-5.63E-01	-9.19E-02	1.81E+00	-1.50E+00	-8.80E-01	6.58E-02	-2.36E-01	-7.37E-01	3.67E-01	-1.25E-01	2.16E+00	1.26E+00
-1.67E-01	1.72E-01	2.16E-01	8.53E-01	-6.06E-01	1.88E-01	5.19E-01	4.65E-01	-3.67E-01	-7.88E-03	-7.10E-01	-6.57E-01	-7.14E-01
9.33E-03	-3.06E+00	-5.71E-01	-6.73E-01	7.56E-01	1.57E+00	5.00E-01	2.71E-01	1.93E+00	-9.79E-01	1.32E-01	-2.07E+00	-1.61E+00
3.79E-01	-5.50E-01	-1.51E-01	1.97E+00	-1.63E+00	-9.52E-01	-3.10E-02	-2.28E-01	-8.12E-01	3.68E-01	-8.51E-02	2.27E+00	1.43E+00

1.92E-02	1.03E+00	1.52E-01	2.89E-01	3.24E-01	6.66E-01	4.75E-01	-1.07E-01	1.31E-02	1.93E-01	1.72E-01	1.01E+00	8.95E-01
-1.20E-01	-5.60E-01	-9.39E-02	-1.91E-01	-2.21E-02	-2.60E-01	4.22E-02	2.77E-02	1.20E-01	-1.19E-03	-4.52E-01	-5.65E-01	-1.26E-01
-3.35E-01	-1.45E+00	-3.37E-01	-2.92E-01	-2.33E-01	-4.54E-01	-5.26E-01	1.11E-01	-3.34E-02	-3.14E-01	-2.02E-01	-1.15E+00	-1.09E+00
-1.12E-01	1.09E+00	1.86E-01	2.75E-01	3.28E-01	7.17E-01	4.03E-01	-1.43E-01	6.12E-02	2.00E-01	3.41E-01	1.27E+00	1.02E+00

Woh

-4.15E+00	6.90E+00	6.95E+00	-4.32E+00
4.04E+00	-6.90E+00	-6.95E+00	4.43E+00

Bh

5.64E-01	-2.39E-01	-9.84E-02	4.91E-01
----------	-----------	-----------	----------

Bo

3.26E+00	-3.26E+00
----------	-----------

Whi : ค่านำหน้ากระหว่างชั้นอินพุตกับชั้นซ่อน

Woh : ค่านำหน้ากระหว่างชั้นซ่อนกับชั้นเอาต์พุต

Bh : ค่าไบอสของชั้นซ่อน

Bo : ค่าไบอสของชั้นเอาต์พุต

ตาราง 4-1 ฯ แสดงค่าน้ำหนักที่ได้จากการเรียนรู้ด้วยโครงข่ายประสาทรูปแบบที่ 1 กับ

พารามิเตอร์ที่ได้จากการคำนวณหาค่าความหนาแน่นของกำลังเชิงสเปกตรัม

ที่ความถี่มีเดียนของสัญญาณกลุ่มกล้านเนื้อคือ

Whi

5.52E-01	2.98E-01	-1.72E-01	-1.73E-01	-3.92E-01	-4.81E-01	-1.47E-01	-4.91E-01	4.38E-03	-2.92E-01	-2.58E-01	-1.85E-01	-1.27E-01
-5.37E-01	-8.39E-01	6.87E-02	-8.72E-02	5.56E-01	4.16E-01	-3.35E-01	6.84E-01	-8.32E-02	1.33E-01	3.83E-01	1.52E-01	-7.53E-03
2.87E-01	2.62E-01	-3.77E-01	-3.54E-01	-4.23E-01	-3.26E-01	8.71E-03	-8.86E-01	-3.60E-01	-6.47E-01	-8.24E-01	-1.51E-01	-6.15E-01
-2.80E-01	-4.49E-01	1.73E-01	2.12E-01	3.98E-01	3.52E-01	1.59E-01	5.64E-01	-1.89E-01	3.16E-01	4.91E-01	1.77E-01	3.00E-01

-4.38E-01	-1.82E-01	-4.85E-01	1.89E-01	1.17E+00	-1.90E-01	-8.94E-01	3.68E-01	1.49E+00	-4.26E-01	4.85E-01	-9.73E-02	-2.40E-01
6.61E-01	-1.40E-01	6.29E-01	-5.00E-01	-3.87E-01	1.08E+00	-7.39E-01	1.54E+00	3.57E-01	1.52E+00	3.44E-01	1.99E-01	4.82E-01
-1.85E+00	-2.92E-01	-9.90E-01	-3.29E-01	7.98E-02	1.18E+00	6.20E-01	1.11E+00	-6.90E-01	-1.75E+00	4.27E-02	-4.87E-01	-5.58E-01
7.87E-01	4.00E-02	4.58E-01	7.99E-02	-1.85E-01	-1.44E+00	1.95E+00	-9.34E-01	7.87E-01	2.36E-01	-8.33E-02	-5.70E-02	3.00E-01

-2.57E-01	3.09E-01	7.00E-01	7.68E-02	-5.48E-02	-1.23E-01	1.52E-02	2.96E-02	-1.70E-01	-9.55E-01	5.93E-02	7.27E-02	1.07E-01
3.20E-01	-1.89E-01	-5.06E-01	4.87E-01	1.89E-01	4.32E-01	-8.08E-02	-1.25E-02	2.17E-01	8.63E-01	-3.41E-01	8.54E-02	-1.41E-01
-7.62E-01	-9.89E-02	3.85E-01	-9.45E-01	-3.00E-01	-5.71E-02	7.46E-01	3.49E-02	-3.89E-01	-9.43E-02	5.94E-01	-1.91E-01	2.34E-01
3.41E-01	-2.66E-03	-5.87E-01	5.77E-01	2.91E-01	5.10E-02	-4.64E-01	-2.00E-01	1.51E-01	1.33E-01	-4.74E-01	-2.81E-02	-2.21E-01

Woh

4.24E+00	-7.66E+00	5.74E+00	-4.26E+00
-4.22E+00	7.66E+00	-5.74E+00	4.28E+00

Bh

-1.01E+00	1.16E+00	-1.47E+00	1.18E+00
-----------	----------	-----------	----------

Bo

-2.27E+00	2.29E+00
-----------	----------

Whi : ค่านำหนักระหว่างชั้นอินพุตกับชั้นช่อง

Woh : ค่านำหนักระหว่างชั้นช่องกับชั้นเอาต์พุต

Bh : ค่าใบอัสของชั้นช่อง

Bo : ค่าใบอัสของชั้นเอาต์พุต

จากตาราง 4-1 ก แสดงค่านำหนักรที่ได้จากการเรียนรู้ กับพารามิเตอร์ที่ได้จากการคำนวณ หาค่าความหนาแน่นของกำลังเชิงสเปกตรัมที่ความถี่มีเดียนของกลุ่มกล้ามเนื้อดืน และตาราง 4-1 ข แสดงค่านำหนักรที่ได้จากการเรียนรู้ กับพารามิเตอร์ที่ได้จากการคำนวณหาค่าความหนาแน่นของ กำลังเชิงสเปกตรัมที่ความถี่มีเดียนของกลุ่มกล้ามเนื้อคือ ผลจากการเรียนรู้จะนำไปใช้ในการทดสอบกับข้อมูลที่มีพารามิเตอร์ที่ได้จากการคำนวณหาค่าความหนาแน่นของกำลังเชิงสเปกตรัมที่ ความถี่มีเดียน ของอาสาสมัครจำนวน 35 คน ผลที่ได้จากการทดสอบจำแนกผู้มีปัญหาการกลืน แสดงดังตารางต่อไปนี้

ตาราง 4-2 ก แสดงผลการทดสอบโครงข่ายประสาทรูปแบบที่ 1 กับพารามิเตอร์ที่ได้จากการ คำนวณหาค่าความหนาแน่นของกำลังเชิงสเปกตรัมที่ความถี่มีเดียนของ สัญญาณไฟฟ้ากลุ่มกล้ามเนื้อดืน

อาสา สมัครใน กลุ่ม ทดสอบ	อาต์พุต (y1) ที่ ได้จาก โครงข่าย								
ลำดับที่	ประสาท								
1*	0.923	8*	1.000	15*	1.000	22*	1.000	29*	0.010
2*	0.994	9*	0.995	16	0.220	23*	1.000	30*	0.000
3*	1.000	10*	1.000	17*	1.000	24*	0.992	31*	0.000
4*	1.000	11*	0.999	18*	0.991	25*	0.999	32*	0.008
5*	1.000	12*	0.622	19	0.257	26*	0.999	33*	0.000
6*	0.929	13*	1.000	20	0.016	27	0.091	34*	0.011
7*	1.000	14*	1.000	21*	0.999	28*	0.989	35*	0.009

เครื่องหมาย * แสดงว่าอาสาสมัครในกลุ่มทดสอบสามารถจำแนกได้ถูกต้องด้วยโครงข่ายประสาท

ตาราง 4-2 ข แสดงผลการทดสอบ โครงข่ายประชากรูปแบบที่ 1 กับพารามิเตอร์ที่ได้จาก การคำนวณหาค่าความหนาแน่นของกำลังเชิงสเปกตรัมที่ความถี่มีเดียนของ สัญญาณไฟฟ้ากลุ่มกล้ามเนื้อคอด

อาสา สมัครใน กลุ่ม ทดสอบ ลำดับที่	เอาต์พุต (y1) ที่ ได้จาก โครงข่าย ทดสอบ ประสาท	อาสา สมัครใน กลุ่ม ทดสอบ ประสาท	เอาต์พุต (y1) ที่ ได้จาก โครงข่าย ทดสอบ ประสาท						
1*	0.932	8*	0.970	15*	0.990	22*	0.643	29*	0.006
2*	0.941	9*	0.990	16*	0.895	23*	0.971	30*	0.446
3	0.025	10*	0.991	17*	0.996	24*	0.985	31*	0.002
4*	0.890	11*	0.961	18*	0.994	25	0.005	32	0.570
5	0.020	12*	0.997	19*	0.580	26*	0.950	33*	0.008
6*	0.989	13*	0.957	20	0.297	27*	0.999	34*	0.005
7*	0.944	14*	0.999	21	0.235	28*	0.984	35*	0.004

เครื่องหมาย * แสดงว่าอาสาสมัครในกลุ่มทดสอบสามารถจำแนกได้ถูกต้องด้วยโครงข่ายประสาท

จากตาราง 4-2 ก แสดงผลการทดสอบ โครงข่ายประชากรูปแบบที่ 1 กับพารามิเตอร์ที่ได้จากการคำนวณหาค่าความหนาแน่นของกำลังเชิงสเปกตรัมที่ความถี่มีเดียนของสัญญาณไฟฟ้ากลุ่มกล้ามเนื้อล้วน สามารถจำแนกได้ถูกต้องจำนวน 31 คน และผิดพลาดไปจำนวน 4 คน

จากตาราง 4-2 ข แสดงผลการทดสอบ โครงข่ายประชากรูปแบบที่ 1 กับพารามิเตอร์ที่ได้จากการคำนวณหาค่าความหนาแน่นของกำลังเชิงสเปกตรัมที่ความถี่มีเดียนของสัญญาณไฟฟ้ากลุ่มกล้ามเนื้อคอด สามารถจำแนกได้ถูกต้องจำนวน 29 คน และผิดพลาดไปจำนวน 6 คน

4.3.1.2 ผลการจำแนกด้วยโครงข่ายประชากรูปแบบที่ 1 กับพารามิเตอร์ที่ได้จากวิธีการ คำนวณหาค่าสูงสุดของความหนาแน่นของกำลังเชิงสเปกตรัม

สำหรับการเรียนรู้และทดสอบ การเรียนรู้จะใช้ข้อมูลที่ได้จากการคำนวณหาค่าสูงสุดของ ความหนาแน่นของกำลังเชิงสเปกตรัมของการคลื่นจากสัญญาณไฟฟ้ากลุ่มกล้ามเนื้อล้วน และกลุ่ม กล้ามเนื้อคอด ของอาสาสมัครจำนวน 30 คน โดยโครงข่ายประสาทมีคุณสมบัติดังนี้ มีอินพุต 39

ข้อมูล เอ่าต์พุต 2 ข้อมูล ชั้นชั้อนมี 1 ชั้น และ 2 โหนด ค่าความผิดพลาดที่ต้องการเท่ากับ 0.0001
ค่าอัตราการขยายสำหรับการเรียนรู้เท่ากับ 5 และค่าอินเนอร์เซย์ฟารามิเตอร์เท่ากับ 0.9 จะให้ผลเป็น^{ชี้}
นำหนักของการเรียนรู้ มีรายละเอียดดังตารางต่อไปนี้

ตาราง 4-3 ก แสดงค่าน้ำหนักที่ได้จากการเรียนรู้ ด้วยโครงข่ายประสาทรูปแบบที่ 1 กับ^{ชี้}
พารามิเตอร์ที่ได้จากวิธีการคำนวณหาค่าสูงสุดของความหนาแน่นของกำลัง^{ชี้}
เชิงสเปกตรัมของสัญญาณกลุ่มกล้ามเนื้อดิน

Whi

-1.29E+00	1.47E-01	-2.79E-01	-1.42E+00	-5.11E-01	-2.31E-01	-1.48E+00	-3.90E-01	-7.84E-01	1.41E+00	4.30E-01	1.93E+00	1.93E+00
-1.20E+00	-1.87E-03	-3.11E-01	-1.25E+00	-3.12E-01	-2.76E-01	-1.48E+00	-4.64E-01	-8.26E-01	1.45E+00	4.42E-01	1.85E+00	1.83E+00

-5.48E-01	3.76E-01	-2.11E+00	2.24E+00	2.52E+00	-9.39E-01	1.27E+00	-5.53E+00	1.37E-01	2.37E+00	1.57E+00	2.99E+00	7.52E-01
-3.92E-01	3.55E-01	-2.02E+00	2.16E+00	2.39E+00	-8.97E-01	1.20E+00	-5.30E+00	1.54E-01	2.17E+00	1.51E+00	2.98E+00	8.20E-01

4.92E+00	4.58E-01	6.53E-01	1.12E+00	-3.72E-01	2.66E-01	-9.64E-01	-4.79E-01	1.10E+00	7.35E-01	1.83E-01	-2.90E-01	2.94E-01
4.63E+00	3.44E-01	6.66E-01	1.04E+00	-3.45E-01	2.57E-01	-9.80E-01	-5.68E-01	1.11E+00	8.11E-01	1.65E-01	-1.57E-01	2.30E-01

Woh

-6.14E+00	-5.87E+00	3.29E+00	3.17E+00	-5.66E+00	5.66E+00
6.19E+00	5.83E+00				

Whi : ค่าน้ำหนักระหว่างชั้นอินพุตกับชั้นชั้อน

Woh : ค่าน้ำหนักระหว่างชั้นชั้อนกับชั้นเอ่าต์พุต

Bh : ค่าไบอัสของชั้นชั้อน

Bo : ค่าไบอัสของชั้นเอ่าต์พุต

ตาราง 4-3 ข แสดงค่าน้ำหนักที่ได้จากการเรียนรู้ ด้วยโครงข่ายประสาทรูปแบบที่ 1 กับ

พารามิเตอร์ที่ได้จากวิธีการคำนวณหาค่าสูงสุดของความหนาแน่นของกำลัง

เชิงสเปกตรัมของสัญญาณกลุ่มกล้ามเนื้อคอ

Whi

-2.09E+00	9.12E-01	-3.03E-01	-7.44E-01	5.07E-01	-6.13E-01	-4.30E-01	3.84E-01	-2.21E-01	1.46E+00	1.23E+00	1.98E+00	1.04E+00
2.60E+00	-3.77E-01	1.10E+00	1.44E+00	-8.06E-01	1.66E+00	5.29E-01	-8.65E-01	6.89E-01	-1.60E+00	-1.90E+00	-1.90E+00	-1.75E+00

1.00E+00	-4.52E-01	9.00E-01	-4.35E-01	1.38E+00	-1.00E+00	-9.90E-01	-2.03E+00	2.67E+00	4.15E-01	9.28E-01	1.96E+00	1.05E+00
-1.10E+00	2.97E-01	-1.58E+00	1.38E-01	-2.21E+00	2.33E+00	-9.55E-01	1.27E+00	-2.77E+00	2.45E-01	9.59E-01	-2.76E+00	-1.73E+00

-5.36E-02	9.79E-01	2.76E-02	-2.93E-02	-1.12E+00	7.18E-02	-4.79E-01	2.25E-01	-6.27E-01	-1.39E-01	-1.92E-01	8.40E-02	-1.53E+00
-3.50E-02	-5.91E-01	2.76E-02	-8.53E-01	1.45E+00	-8.97E-01	1.86E-02	4.69E-01	1.28E+00	-7.68E-03	6.97E-01	-1.10E+00	1.93E+00

Woh

-4.09E+00	8.47E+00
4.09E+00	-8.47E+00

Bh

2.57E+00	-5.18E+00
----------	-----------

Bo

3.26E+00	-3.26E+00
----------	-----------

Whi : ค่า俌หนังกระหว่างชั้นอินพุตกับชั้นซ่อน

Woh : ค่า俌หนังกระหว่างชั้นซ่อนกับชั้นเอาต์พุต

Bh : ค่าไบอิสของชั้นซ่อน

Bo : ค่าไบอิสของชั้นเอาต์พุต

จากตาราง 4-3 ก แสดงค่า俌หนังที่ได้จากการเรียนรู้ กับพารามิเตอร์ที่ได้จากการคำนวณ
หาค่าสูงสุดของความหนาแน่นของกำลังเชิงสเปกตรัมของสัญญาณกลุ่มกล้ามเนื้อเลี้ยง แต่ตาราง
4-3 ข แสดงค่า俌หนังที่ได้จากการเรียนรู้ กับพารามิเตอร์ที่ได้จากการคำนวณหาค่าสูงสุดของความ
หนาแน่นของกำลังเชิงสเปกตรัมของสัญญาณกลุ่มกล้ามเนื้อคอด ผลจากการเรียนรู้จะนำไปใช้ในการ
ทดสอบ กับข้อมูลของพารามิเตอร์ที่ได้จากการคำนวณหาค่าสูงสุดของความหนาแน่นของกำลังเชิง
สเปกตรัมของสัญญาณกลุ่มกล้ามเนื้อเลี้ยงและกลุ่มกล้ามเนื้อคอด ของอาสาสมัครจำนวน 35 คน ผลที่
ได้จากการทดสอบ แสดงดังตารางต่อไปนี้

ตาราง 4-4 ก แสดงผลการทดสอบ โครงข่ายประชากรูปแบบที่ 1 กับพารามิเตอร์ที่ได้จาก
วิธีการคำนวณหาค่าสูงสุดของความหนาแน่นของกำลังเชิงสเปกตรัมของ
สัญญาณกลุ่มกล้ามเนื้อตื้น

อาสา สมัครใน กลุ่ม ทดสอบ ลำดับที่	เจ้าชู้ด (y1) ที่ ได้จาก โครงข่าย ประชากร								
1*	0.600	8*	0.997	15*	0.990	22*	0.986	29*	0.002
2	0.149	9*	0.981	16*	0.756	23	0.025	30*	0.002
3*	0.979	10*	0.851	17*	0.992	24*	0.997	31*	0.002
4*	0.961	11*	0.991	18*	0.997	25*	0.993	32*	0.484
5*	0.996	12*	0.996	19*	0.787	26*	0.996	33*	0.002
6*	0.996	13*	0.731	20*	0.969	27*	0.844	34*	0.002
7*	0.996	14*	0.994	21*	0.995	28*	0.987	35*	0.002

เครื่องหมาย * แสดงว่าอาสาสมัครในกลุ่มทดสอบสามารถจำแนกได้ถูกต้องด้วยโครงข่ายประชากร

ตาราง 4-4 ข แสดงผลการทดสอบ โครงข่ายประชากรูปแบบที่ 1 กับพารามิเตอร์ที่ได้จาก
วิธีการคำนวณหาค่าสูงสุดของความหนาแน่นของกำลังเชิงสเปกตรัมของ
สัญญาณกลุ่มกล้ามเนื้อตื้น

อาสา สมัครใน กลุ่ม ทดสอบ ลำดับที่	เจ้าชู้ด (y1) ที่ ได้จาก โครงข่าย ประชากร								
1*	0.977	8*	0.982	15*	0.994	22*	0.991	29*	0.001
2	0.001	9*	0.932	16*	0.994	23*	0.985	30*	0.001
3*	0.980	10	0.037	17*	0.540	24*	0.986	31*	0.015
4*	0.739	11*	0.989	18*	0.994	25*	0.994	32	0.994
5*	0.968	12*	0.994	19	0.004	26*	0.993	33*	0.005
6*	0.994	13*	0.985	20*	0.993	27*	0.992	34*	0.395
7*	0.754	14*	0.992	21	0.004	28*	0.988	35*	0.002

เครื่องหมาย * แสดงว่าอาสาสมัครในกลุ่มทดสอบสามารถจำแนกได้ถูกต้องด้วยโครงข่ายประชากร

จากตาราง 4-4 ก แสดงผลการทดสอบ โครงข่ายประสาทรูปแบบที่ 1 กับพารามิเตอร์ที่ได้จากการคำนวณหาค่าสูงสุดของความหนาแน่นของกำลังเชิงสเปกตรัมของสัญญาณกลุ่มกล้านเนื้อตื้น และตาราง 4-4 ข แสดงผลการทดสอบ โครงข่ายประสาทรูปแบบที่ 1 กับพารามิเตอร์ที่ได้จากการคำนวณหาค่าสูงสุดของความหนาแน่นของกำลังเชิงสเปกตรัมของสัญญาณกลุ่มกล้านเนื้อของสามารถแสดงการจำแนกหาผู้มีปัญหาการกลืนดังต่อไปนี้

การจำแนกหาผู้มีปัญหาการกลืนด้วยโครงข่ายประสาทรูปแบบที่ 1 กับพารามิเตอร์ที่ได้จากการคำนวณหาค่าสูงสุดของความหนาแน่นของกำลังเชิงสเปกตรัมของสัญญาณกลุ่มกล้านเนื้อตื้น สามารถจำแนกได้ถูกต้องจำนวน 33 คน และผิดพลาดไปจำนวน 2 คน

การจำแนกหาผู้มีปัญหาการกลืนด้วยโครงข่ายประสาทรูปแบบที่ 1 กับพารามิเตอร์ที่ได้จากการคำนวณหาค่าสูงสุดของความหนาแน่นของกำลังเชิงสเปกตรัมของสัญญาณกลุ่มกล้านเนื้อของสามารถจำแนกได้ถูกต้องจำนวน 30 คน และผิดพลาดไปจำนวน 5 คน

4.3.1.3 ผลการจำแนกด้วยโครงข่ายประสาทรูปแบบที่ 1 กับพารามิเตอร์ที่ได้จากการวิธีการคำนวณหาค่าสัมประสิทธิ์ของออโตรีเกรสซีฟโนมเดล

สำหรับการเรียนรู้และทดสอบ การเรียนรู้จะใช้ข้อมูลที่ได้จากการคำนวณหาสัมประสิทธิ์ของออโตรีเกรสซีฟของสัญญาณไฟฟ้ากลุ่มกล้านเนื้อตื้น และกลุ่มกล้านเนื้อของอาสามมาร์จำนวน 30 คน โดยโครงข่ายประสาทมีคุณสมบัติดังนี้ มีอินพุต 39 ข้อมูล เอาท์พุต 2 ข้อมูล ชั้นชั้นที่ 1 ชั้น และ 2 โหนด ค่าความผิดพลาดที่ต้องการเท่ากับ 0.0001 ค่าอัตราการขยายสำหรับการเรียนรู้เท่ากับ 5 และค่าอินเนอร์เซย์พารามิเตอร์เท่ากับ 0.9 จะให้ผลเป็นน้ำหนักของการเรียนรู้สำหรับค่าสัมประสิทธิ์ของออโตรีเกรสซีฟที่ลำดับต่างๆ มีรายละเอียดดังตารางต่อไปนี้

ตาราง 4-5 ก1 แสดงผลการเรียนรู้ด้วยโครงข่ายประสาทรูปแบบที่ 1 กับสัมประสิทธิ์ของออโตรีเกรสซีฟลำดับที่ 1 ของสัญญาณกลุ่มกล้านเนื้อตื้น

Whi

-5.17E+00	7.02E+00	-2.41E+00	1.96E-01	-9.90E-01	-4.30E+00	-1.81E+00	-4.56E+00	-1.07E+00	-1.56E+00	-5.12E+00	-7.22E-01	1.69E+00
4.94E+00	-6.83E+00	2.30E+00	-1.85E-01	8.81E-01	4.59E+00	1.15E+00	5.06E+00	9.56E-01	1.75E+00	5.69E+00	8.23E-01	-1.64E+00

1.07E+00	-4.24E+00	-2.38E-01	5.75E+00	7.21E-01	-1.66E+01	-1.26E+01	3.70E+00	-9.01E+00	7.03E-01	8.21E-01	-1.25E+00	4.79E+00
-4.23E-01	4.02E+00	-2.59E-02	-4.98E+00	-3.60E-01	1.59E+01	1.26E+01	-3.30E+00	8.79E+00	1.84E-01	-5.42E-01	1.26E+00	-5.05E+00

-5.93E+00	4.68E-02	-6.66E+00	-4.08E+00	-1.18E+00	-6.73E+00	1.03E+01	-9.67E-01	-3.95E+00	9.32E+00	2.45E+00	-2.38E+00	1.14E+00
5.84E+00	1.48E-01	6.81E+00	4.38E+00	1.11E+00	6.88E+00	-1.01E+01	1.06E+00	3.98E+00	-9.39E+00	-2.17E+00	2.80E+00	-8.80E-01

Woh

Bh

Bo

1.41E+01	-1.39E+01
-1.41E+01	1.39E+01

-1.66E-02	2.56E-02
-----------	----------

-1.77E-02	2.70E-02
-----------	----------

Whi : ค่า俌หนักระหว่างชั้นอินพุตกับชั้นซ่อน

Woh : ค่า俌หนักระหว่างชั้นซ่อนกับชั้นเอาต์พุต

Bh : ค่าໄบอัสของชั้นซ่อน

Bo : ค่าໄบอัสของชั้นเอาต์พุต

ตาราง 4-5 ก2 แสดงผลการเรียนรู้ด้วยโครงข่ายประสาทรูปแบบที่ 1 กับสัมประสิทธิ์ของ
ออ โครีเกอร์สซีฟลำดับที่ 3 ของสัญญาณกลุ่มกล้ามเนื้อดิน

Whi

-2.40E+00	-1.26E+00	-1.07E+00	-3.73E+00	-3.60E+00	-2.28E+00	4.16E+00	1.24E-01	-4.17E-01	7.26E-01	-6.09E-01	-3.07E+00	6.37E+00
5.70E+00	1.97E+00	2.69E+00	7.58E+00	7.88E+00	5.57E+00	-1.02E+01	1.35E+00	6.46E-01	-9.80E-01	2.18E+00	8.07E+00	-1.39E+01

-2.88E+00	-5.63E-01	-9.62E-01	4.32E-01	4.75E-01	-4.96E+00	-8.66E+00	2.60E+00	-3.84E+00	2.87E+00	-9.63E-01	-1.92E+00	2.96E+00
6.57E+00	1.53E+00	1.58E+00	2.78E-01	-7.87E-01	1.10E+01	1.98E+01	-3.72E+00	8.58E+00	-3.21E+00	2.35E+00	5.28E+00	-6.77E+00

-5.09E+00	-1.28E+00	-6.53E+00	-1.71E+00	-1.05E+00	-1.89E+00	7.69E+00	-3.81E+00	-2.59E+00	3.53E+00	-2.74E+00	1.64E+00	5.97E-01
1.09E+01	2.91E+00	1.47E+01	4.27E+00	2.30E+00	4.81E+00	-1.84E+01	9.54E+00	6.33E+00	-7.61E+00	-5.87E+00	-3.75E+00	-5.97E-01

Woh

Bh

Bo

1.00E+01	-1.92E+01
-9.99E+00	1.92E+01

-1.78E-01	-5.18E-02
-----------	-----------

-3.93E+00	3.97E+00
-----------	----------

Whi : ค่า俌หนักระหว่างชั้นอินพุตกับชั้นซ่อน

Woh : ค่า俌หนักระหว่างชั้นซ่อนกับชั้นเอาต์พุต

Bh : ค่าໄบอัสของชั้นซ่อน

Bo : ค่าໄบอัสของชั้นเอาต์พุต

ตาราง 4-5 ก3 แสดงผลการเรียนรู้ด้วยโครงข่ายประสาทรูปแบบที่ 1 กับสัมประสิทธิ์ของ ออโตรีเ格รสด้วยลำดับที่ 5 ของสัญญาณกลุ่มกล้ามเนื้อดิน

Whi

-2.62E+00	2.43E+00	4.90E+00	-2.09E+00	3.68E+00	-1.72E+00	-2.05E+00	-3.25E+00	-1.11E-01	1.33E+00	-1.33E+00	-3.92E+00	3.05E+00
5.19E+00	-5.31E+00	-1.04E+01	3.73E+00	-7.36E+00	4.10E+00	4.00E+00	8.40E+00	2.62E-01	-2.24E+00	4.23E+00	8.30E+00	-6.24E+00

-1.57E+00	-1.42E+00	1.33E+00	1.29E+00	-4.01E+00	-3.29E+00	-1.38E+01	-2.19E-01	-2.29E+00	4.68E-01	-2.45E+00	1.30E+00	6.19E-01
3.38E+00	3.36E+00	-2.75E+00	-1.95E+00	7.85E+00	8.50E+00	3.06E+01	1.19E-01	5.14E+00	-4.69E-01	4.99E+00	-1.90E+00	-1.69E+00

-3.03E+00	-3.76E+00	-7.71E+00	-4.52E+00	1.25E+00	5.71E-01	5.30E+00	5.01E-01	-1.84E-01	4.88E-01	2.75E+00	-2.58E+00	4.78E-01
5.30E+00	9.02E+00	1.65E+01	9.97E+00	-6.97E-01	-1.28E+00	-1.10E+01	-2.22E-01	7.46E-01	-5.28E-01	-6.29E+00	4.47E+00	-6.18E-01

Woh

Bh

Bo

-1.36E+01	1.79E+01		1.77E-01	-3.85E-01		-3.41E+00	3.49E+00					
1.36E+01	1.73E+01											

Whi : ค่าน้ำหนักระหว่างชั้นอินพุตกับชั้นซ่อน

Woh : ค่าน้ำหนักระหว่างชั้นซ่อนกับชั้นเอ้าต์พุต

Bh : ค่าไบอสของชั้นซ่อน

Bo : ค่าไบอสของชั้นเอ้าต์พุต

ตาราง 4-5 ข1 แสดงผลการเรียนรู้ด้วยโครงข่ายประสาทรูปแบบที่ 1 กับสัมประสิทธิ์ของ ออโตรีเกรสด้วยลำดับที่ 1 ของสัญญาณกลุ่มกล้ามเนื้อดอก

Whi

-2.39E+00	4.18E+00	7.07E+00	6.88E-01	4.60E+00	-3.06E+00	5.59E+00	9.85E+00	8.06E+00	2.52E+00	2.18E+00	2.76E+00	-2.71E+00
1.64E+00	-3.21E+00	-4.86E+00	-6.61E-01	-3.18E+00	2.01E+00	-4.11E+00	-7.36E+00	-6.24E+00	-2.25E+00	-1.55E+00	-1.51E+00	1.88E+00

-1.87E+00	2.50E+00	-1.98E-01	6.42E+00	2.63E+00	5.46E+00	1.20E+01	8.87E+00	8.37E+00	-1.40E+01	-5.94E+00	5.85E+00	-2.61E+00
2.31E+00	-1.36E+00	-9.43E-01	-4.67E+00	-2.05E+00	-3.71E+00	-7.99E+00	-5.84E+00	-5.29E+00	1.03E+01	5.30E+00	-4.16E+00	2.47E+00

7.16E+00	4.93E+00	1.30E+01	1.48E+00	-1.05E+00	6.15E+00	-1.21E+01	6.34E+00	-1.79E+00	-8.61E+00	-6.41E-01	7.91E-01	2.19E+00
-4.74E+00	-3.27E+00	-9.30E+00	-1.43E+00	5.62E-01	-4.34E+00	8.73E+00	-4.61E+00	1.35E+00	6.55E+00	6.90E-01	-5.14E-01	-1.80E+00

Woh
-1.70E+01
1.70E+01

Bh
2.00E-01
-2.27E-01

Bo
-1.70E+00
1.71E+00

Whi : ค่า俈หนักระหว่างชั้นอินพุตกับชั้นซ่อน

Woh : ค่า俈หนักระหว่างชั้นซ่อนกับชั้นเอาต์พุต

Bh : ค่าไบอัสของชั้นซ่อน

Bo : ค่าไบอัสของชั้นเอาต์พุต

ตาราง 4-5 ช 2 แสดงผลการเรียนรู้ด้วยโครงข่ายประสาทรูปแบบที่ 1 กับสัมประสิทธิ์ของ
อัตรีเกรสเซนฟลัมดับที่ 3 ของสัญญาณกลุ่มกล้ามเนื้อคอ

Whi

-1.10E+00	3.32E+00	-1.08E+01	4.43E+00	2.06E+00	4.25E+00	2.80E+00	-3.62E+00	-4.69E-01	-1.35E+01	-8.27E+00	-8.53E-01	2.02E+01
2.43E-01	-1.25E+00	3.60E+00	-1.62E+00	-5.26E-01	-1.49E+00	-9.28E-01	1.30E+00	6.45E-02	4.64E+00	2.63E+00	2.24E-01	-6.67E+00

-6.45E+00	-2.00E+00	4.81E-01	-1.11E+01	1.37E+01	2.48E-01	-1.19E+01	-9.85E+00	4.58E-01	-2.66E+00	4.01E+00	3.41E+00	1.05E+01
2.23E+00	5.96E-01	-3.15E-01	3.50E+00	-4.59E+00	-1.64E-02	3.84E+00	3.20E+00	7.90E-02	9.13E-01	-1.37E+00	-1.31E+00	-3.67E+00

-4.49E+00	-6.65E+00	-1.55E+01	-2.61E+00	1.03E+01	-9.68E+00	4.34E+00	1.43E+00	1.42E+00	1.04E+01	-2.03E+00	4.76E+00	-2.05E+00
1.59E+00	2.17E+00	5.27E+00	8.34E-01	-3.58E+00	3.17E+00	-1.34E+00	-5.25E-01	-5.09E-01	-3.26E+00	7.55E-01	-1.71E+00	8.68E-01

Woh

Bh

Bo

1.00E+01	-1.92E+01
-9.99E+00	1.92E+01

-1.78E-01	-5.18E-02
-----------	-----------

5.34E+00	-5.31E+00
----------	-----------

Whi : ค่า俈หนักระหว่างชั้นอินพุตกับชั้นซ่อน

Woh : ค่า俈หนักระหว่างชั้นซ่อนกับชั้นเอาต์พุต

Bh : ค่าไบอัสของชั้นซ่อน

Bo : ค่าไบอัสของชั้นเอาต์พุต

ตาราง 4-5 ข13 แสดงผลการเรียนรู้ค่าย โครงข่ายประสาทรูปแบบที่ 1 กับสัมประสิทธิ์ของ ออโตรีเกรสซีฟลำดับที่ 5 ของลัญญาณกลุ่มกล้ามเนื้อคอ

Whi

-3.38E-01	5.41E-01	9.62E-01	-1.50E+00	6.82E+00	5.83E-01	3.34E+00	7.13E+00	2.96E+00	3.05E+00	1.55E+00	-2.19E+00	-7.06E+00
2.42E-02	6.39E-02	-1.24E+00	1.95E+00	-8.92E+00	-7.74E-01	-4.99E+00	-9.76E+00	-5.48E+00	-4.32E+00	-2.55E+00	2.50E+00	1.01E+01

-4.03E-02	3.23E+00	2.56E+00	7.25E+00	-7.36E+00	3.85E+00	6.08E+00	5.55E+00	3.29E+00	1.40E+00	-1.23E+00	4.78E-01	-3.06E+00
9.88E-01	-4.61E+00	-4.55E+00	-9.34E+00	1.08E+01	-5.12E+00	-7.72E+00	-6.48E+00	-4.12E+00	-1.43E+00	2.59E+00	2.01E-02	4.87E+00

2.79E+00	1.12E+01	4.26E+00	3.30E+00	-4.06E+00	6.67E+00	-6.33E+00	3.76E+00	-1.49E+00	-1.23E+01	3.25E-02	1.36E+00	1.34E+00
-3.00E+00	-1.53E+01	-5.60E+00	-4.39E+00	5.80E+00	-9.16E+00	8.61E+00	-5.39E+00	2.11E+00	1.76E+01	5.53E-01	-1.53E+00	-1.87E+00

Woh

Bh

Bo

-1.36E+01	1.79E+01
1.36E+01	-1.79E+01

1.77E-01	-3.85E-01
----------	-----------

1.88E+00	-1.90E+00
----------	-----------

Whi : ค่านำหนักระหว่างชั้นอินพุตกับชั้นช่อง

Woh : ค่านำหนักระหว่างชั้นช่องกับชั้นเอาต์พุต

Bh : ค่าใบอัลอกของชั้นช่อง

Bo : ค่าใบอัลอกของชั้นเอาต์พุต

ตาราง 4-5 ก1-ก3 แสดงค่านำหนักรักที่ได้จากการเรียนรู้ กับพารามิเตอร์ที่ได้จากการคำนวณ

หาสัมประสิทธิ์ของออโตรีเกรสซีฟลำดับที่ 1, 3 และ 5 ของกลุ่มกล้ามเนื้อดินน์ และตาราง 4-5 ข1-ข3

แสดงค่านำหนักรักที่ได้จากการเรียนรู้ กับพารามิเตอร์ที่ได้จากการคำนวณหาสัมประสิทธิ์ของออโตรีเกรส-

ซีฟลำดับที่ 1, 3 และ 5 ของกลุ่มกล้ามเนื้อคอ ผลจากการเรียนรู้ จะนำไปใช้ในการทดสอบกับข้อมูล

ของพารามิเตอร์ที่ได้จากการคำนวณหาสัมประสิทธิ์ของออโตรีเกรสซีฟลำดับที่ 1, 3 และ 5 ของ

อาสาสมัครจำนวน 35 คน ผลที่ได้จากการทดสอบ แสดงดังตารางต่อไปนี้

ตาราง 4-6 ก1 แสดงผลการทดสอบ โครงข่ายประสาทรูปแบบที่ 1 ด้วยสัมประสิทธิ์ของ ออโตรีเกรสซีฟ ลำดับที่ 1 ของสัญญาณกลุ่มกล้ามเนื้อลิ้น

อาสา สมัครใน กลุ่ม ทดสอบ ลำดับที่	ເອົ້າຫຼຸດ (y1) ທີ່ ໄດ້ຈາກ ໂຄງໝ່າຍ ປະສາກ	อาสา สมัครໃນ กลุ่ม ทดสอบ ลำดับທີ່	ເອົ້າຫຼຸດ (y1) ທີ່ ໄດ້ຈາກ ໂຄງໝ່າຍ ປະສາກ	อาสา สมัครใน กลุ่ม ทดสอบ ลำดับທີ່	ເອົ້າຫຼຸດ (y1) ທີ່ ໄດ້ຈາກ ໂຄງໝ່າຍ ປະສາກ	อาสา สมัครใน กลุ่ม ทดสอบ ลำดับທີ່	ເອົ້າຫຼຸດ (y1) ທີ່ ໄດ້ຈາກ ໂຄງໝ່າຍ ປະສາກ	อาสา สมัครใน กลุ่ม ทดสอบ ลำดับທີ່	ເອົ້າຫຼຸດ (y1) ທີ່ ໄດ້ຈາກ ໂຄງໝ່າຍ ປະສາກ
1	0.394	8*	0.990	15*	0.944	22	0.005	29	0.961
2	0.005	9*	0.988	16	0.401	23	0.264	30*	0.000
3*	0.998	10*	1.000	17	0.156	24*	0.999	31*	0.000
4*	0.986	11	0.347	18*	0.939	25*	0.999	32	1.000
5*	0.980	12*	0.996	19*	0.724	26*	0.980	33	1.000
6*	1.000	13*	0.997	20	0.031	27*	0.998	34	0.998
7*	0.968	14*	0.999	21*	0.988	28	0.020	35*	0.004

เครื่องหมาย * แสดงว่าอาสาสมัครในกลุ่มทดสอบสามารถจำแนกໄດ້ถูกต้องด้วยโครงข่ายประสาท

ตาราง 4-6 ก2 แสดงผลการทดสอบ โครงข่ายประสาทรูปแบบที่ 1 ด้วยสัมประสิทธิ์ของ ออโตรีเกรสซีฟ ลำดับที่ 3 ของสัญญาณกลุ่มกล้ามเนื้อลิ้น

อาสา สมัครใน กลุ่ม ทดสอบ ลำดับที่	ເອົ້າຫຼຸດ (y1) ທີ່ ໄດ້ຈາກ ໂຄງໝ່າຍ ປະສາກ	อาสา สมัครໃນ กลุ่ມ ทดสอบ ลำดับທີ່	ເອົ້າຫຼຸດ (y1) ທີ່ ໄດ້ຈາກ ໂຄງໝ່າຍ ປະສາກ	อาสา สมัครใน กลุ่ม ทดสอบ ลำดับທີ່	ເອົ້າຫຼຸດ (y1) ທີ່ ໄດ້ຈາກ ໂຄງໝ່າຍ ປະສາກ	อาสา สมัครใน กลุ่ມ ทดสอบ ลำดับທີ່	ເອົ້າຫຼຸດ (y1) ທີ່ ໄດ້ຈາກ ໂຄງໝ່າຍ ປະສາກ	อาสา สมัครใน กลุ่ມ ทดสอบ ลำดับທີ່	ເອົ້າຫຼຸດ (y1) ທີ່ ໄດ້ຈາກ ໂຄງໝ່າຍ ປະສາກ
1*	0.982	8*	0.720	15*	0.911	22*	0.995	29	0.998
2	0.047	9*	1.000	16*	1.000	23	0.147	30*	0.002
3*	1.000	10*	1.000	17*	1.000	24*	1.000	31*	0.000
4*	0.999	11	0.084	18*	0.742	25*	1.000	32	1.000
5*	0.991	12	0.370	19*	1.000	26*	0.988	33	1.000
6*	0.933	13*	0.998	20*	0.956	27*	0.986	34	1.000
7	0.283	14*	0.990	21*	0.941	28	0.073	35*	0.000

เครื่องหมาย * แสดงว่าอาสาสมัครในกลุ่มทดสอบสามารถจำแนกໄດ້ถูกต้องด้วยโครงข่ายประสาท

ตาราง 4-6 ก3 แสดงผลการทดสอบ โครงข่ายประสาทรูปแบบที่ 1 ด้วยสัมประสิทธิ์ของ

ออโตรีเกรสซีฟ ลำดับที่ 5 ของสัญญาณกลุ่มกล้ามเนื้อulin

อาสา สมัครใน กลุ่ม ทดสอบ ลำดับที่	เอาต์พุต (y1) ที่ ได้จาก โครงข่าย ทดสอบ ลำดับที่								
1*	0.979	8*	0.709	15*	0.993	22*	1.000	29	1.000
2	0.001	9*	1.000	16*	1.000	23*	0.725	30*	0.045
3*	1.000	10*	1.000	17*	1.000	24*	1.000	31*	0.000
4*	1.000	11*	0.785	18*	0.996	25*	1.000	32*	0.016
5*	1.000	12*	0.995	19*	0.996	26*	0.997	33	1.000
6*	0.999	13*	0.998	20*	0.991	27*	0.999	34*	0.006
7*	0.998	14*	0.999	21*	0.999	28*	1.000	35*	0.000

เครื่องหมาย * แสดงว่าอาสาสมัครในกลุ่มทดสอบสามารถจำแนกได้ถูกต้องด้วยโครงข่ายประสาท

ตาราง 4-6 ข1 แสดงผลการทดสอบ โครงข่ายประสาทรูปแบบที่ 1 ด้วยสัมประสิทธิ์ของ

ออโตรีเกรสซีฟ ลำดับที่ 1 ของสัญญาณกลุ่มกล้ามเนื้อกอก

อาสา สมัครใน กลุ่ม ทดสอบ	เอาต์พุต (y1) ที่ ได้จาก โครงข่าย ทดสอบ								
ลำดับที่	ประสาท								
1*	0.991	8	0.006	15*	0.943	22*	0.772	29*	0.332
2*	0.923	9*	0.988	16	0.444	23*	0.816	30*	0.002
3*	1.000	10*	0.719	17*	1.000	24*	0.995	31*	0.000
4*	1.000	11*	0.995	18*	0.986	25	0.000	32*	0.093
5*	1.000	12	0.325	19	0.000	26*	0.984	33*	0.104
6*	0.602	13*	1.000	20	0.009	27*	0.964	34	0.996
7*	1.000	14*	0.707	21*	1.000	28*	0.999	35	0.934

เครื่องหมาย * แสดงว่าอาสาสมัครในกลุ่มทดสอบสามารถจำแนกได้ถูกต้องด้วยโครงข่ายประสาท

ตาราง 4-6 ช2 แสดงผลการทดสอบโครงข่ายประสานรูปแบบที่ 1 ด้วยสัมประสิทธิ์ของ
ออโตรีเกรสซีฟ ลำดับที่ 3 ของสัญญาณกลุ่มกล้ามเนื้อคอ

อาสา สมัครใน กลุ่ม ทดสอบ ลำดับที่	อาต์พุต (y1) ที่ ได้จาก โครงข่าย ภาษา								
1*	0.861	8	0.001	15*	1.000	22*	1.000	29*	0.152
2*	1.000	9*	1.000	16*	0.999	23*	1.000	30	0.996
3*	1.000	10*	1.000	17	0.488	24*	1.000	31*	0.005
4*	0.999	11*	0.999	18*	0.992	25	0.014	32*	0.000
5*	1.000	12*	1.000	19*	0.999	26*	0.973	33	1.000
6*	1.000	13*	1.000	20*	0.715	27*	0.914	34	0.899
7*	1.000	14	0.455	21*	0.982	28*	0.997	35*	0.001

เครื่องหมาย * แสดงว่าอาสาสมัครในกลุ่มทดสอบสามารถจำแนกได้ถูกต้องด้วยโครงข่ายภาษา

ตาราง 4-6 ช3 แสดงผลการทดสอบโครงข่ายประสานรูปแบบที่ 1 ด้วยสัมประสิทธิ์ของ
ออโตรีเกรสซีฟ ลำดับที่ 5 ของสัญญาณกลุ่มกล้ามเนื้อคอ

อาสา สมัครใน กลุ่ม ทดสอบ ลำดับที่	อาต์พุต (y1) ที่ ได้จาก โครงข่าย ภาษา								
1*	0.989	8	0.000	15*	1.000	22*	1.000	29*	0.097
2*	1.000	9*	1.000	16*	0.999	23*	1.000	30	0.983
3*	0.999	10*	0.913	17*	1.000	24*	1.000	31*	0.001
4*	0.979	11*	1.000	18*	0.981	25	0.030	32*	0.000
5*	1.000	12*	0.994	19*	0.999	26	0.349	33	0.750
6*	0.999	13*	0.999	20*	0.952	27*	0.932	34*	0.325
7*	0.996	14*	0.897	21*	1.000	28*	0.945	35*	0.003

เครื่องหมาย * แสดงว่าอาสาสมัครในกลุ่มทดสอบสามารถจำแนกได้ถูกต้องด้วยโครงข่ายภาษา

จากตาราง 4-6 ก1-ก3 แสดงผลการทดสอบโครงข่ายประสาทรูปแบบที่ 1 กับสัมประสิทธิ์ของออโตรีเกรสซีฟ ลำดับที่ 1, 3 และ 5 ของกลุ่มกล้ามเนื้อลิ้น และตาราง 4-6 ข1-ข3 แสดงผลการทดสอบโครงข่ายประสาทรูปแบบที่ 1 กับสัมประสิทธิ์ของออโตรีเกรสซีฟ ลำดับที่ 1, 3 และ 5 ของกลุ่มกล้ามเนื้อคอก สามารถจำแนกหาผู้มีปัญหาการกลืน ได้ดังต่อไปนี้

การจำแนกหาผู้มีปัญหาการกลืนด้วยโครงข่ายประสาทรูปแบบที่ 1 กับสัมประสิทธิ์ของออโตรีเกรสซีฟ ลำดับที่ 1 ของกลุ่มกล้ามเนื้อลิ้น สามารถจำแนกหาผู้มีปัญหาการกลืนได้ถูกต้องจำนวน 22 คน และผิดพลาดไปจำนวน 13 คน สัมประสิทธิ์ของออโตรีเกรสซีฟ ลำดับที่ 3 ของกลุ่มกล้ามเนื้อลิ้น สามารถจำแนกได้ถูกต้องจำนวน 25 คน และผิดพลาดไปจำนวน 10 คน สัมประสิทธิ์ของออโตรีเกรสซีฟ ลำดับที่ 5 ของกลุ่มกล้ามเนื้อลิ้น สามารถจำแนกได้ถูกต้องจำนวน 32 คน และผิดพลาดไปจำนวน 3 คน

ส่วนการจำแนกหาผู้มีปัญหาการกลืนด้วยโครงข่ายประสาทรูปแบบที่ 1 กับสัมประสิทธิ์ของออโตรีเกรสซีฟ ลำดับที่ 1 ของกลุ่มกล้ามเนื้อคอก สามารถจำแนกได้ถูกต้องจำนวน 27 คน และผิดพลาดไปจำนวน 8 คน สัมประสิทธิ์ของออโตรีเกรสซีฟ ลำดับที่ 3 ของกลุ่มกล้ามเนื้อคอก สามารถจำแนกได้ถูกต้องจำนวน 28 คน และผิดพลาดไปจำนวน 7 คน สัมประสิทธิ์ของออโตรีเกรสซีฟ ลำดับที่ 5 ของกลุ่มกล้ามเนื้อคอก สามารถจำแนกได้ถูกต้องจำนวน 30 คน และผิดพลาดไปจำนวน 5 คน จากผลการทดลองจะเห็นว่าการจำแนกด้วยค่าสัมประสิทธิ์ของออโตรีเกรสซีฟ ลำดับที่ 1 และ 3 มีความผิดพลาดค่อนข้างสูง เมื่อเทียบกับการจำแนกด้วยค่าสัมประสิทธิ์ของออโตรีเกรสซีฟ ลำดับที่ 5 ซึ่งสามารถจำแนกได้หลดลงกว่า

4.3.1.4 ผลการจำแนกด้วยโครงข่ายประสาทรูปแบบที่ 1 กับพารามิเตอร์ที่ได้จากการวิธีการคำนวณหาค่ากำลังช่วงการกลืน

สำหรับการเรียนรู้และทดสอบ การเรียนรู้จะใช้ข้อมูลที่ได้จากการคำนวณหาค่ากำลังช่วงการกลืนของสัญญาณไฟฟ้ากลุ่มกล้ามเนื้อลิ้น และกลุ่มกล้ามเนื้อคอก ของอาสาสมัครจำนวน 30 คน โดยโครงข่ายประสาทนี้คุณสมบัติดังนี้ มีอินพุต 39 ข้อมูล เอาท์พุต 2 ข้อมูล ชั้นชั้อนมี 1 ชั้น 3 โหนด สำหรับกลุ่มกล้ามเนื้อลิ้น และชั้นชั้อนมี 1 ชั้น 5 โหนด สำหรับกลุ่มกล้ามเนื้อคอก ค่าความผิดพลาดที่ต้องการเท่ากับ 0.0001 ค่าอัตราการขยายสำหรับการเรียนรู้เท่ากับ 5 และค่าอินเนอร์เรีย พารามิเตอร์เท่ากับ 0.9 จะให้ผลเป็นน้ำหนักของการเรียนรู้มีรายละเอียดดังตารางต่อไปนี้

ตาราง 4-7 ก แสดงค่า俈หนักที่ได้จากการเรียนรู้ด้วยโครงข่ายประสาทรูปแบบที่ 1 กับพารามิเตอร์ที่ได้จากการคำนวณหาค่าลังของสัญญาณช่วงการกลืนของกลุ่มกล้ามเนื้อลิ้น

Whi

6.36E-01	-2.35E-03	-1.38E-01	-2.71E-01	7.70E-01	7.57E-01	8.09E-01	4.99E-01	2.69E-01	6.01E-01	2.79E-01	-6.77E-01	-1.11E+00
-3.28E-01	-1.22E-01	-7.29E-02	-1.10E-02	-2.62E-01	-2.24E-01	-3.37E-01	-6.10E-02	1.59E-02	5.01E-02	-4.85E-03	4.56E-01	4.71E-01
-6.14E-01	2.85E-01	4.92E-01	7.31E-01	-1.16E+00	-9.66E-01	-1.69E+00	-2.21E-02	1.40E-01	-6.16E-01	1.61E-01	3.09E+00	4.31E+00

-3.16E-01	-1.48E-01	1.05E+00	-1.40E+00	-6.14E-01	-8.35E-01	1.77E+00	2.47E+00	1.96E-01	-1.02E+00	-1.86E+00	-2.73E+00	-1.91E+00
1.10E-01	1.33E-01	-4.59E-01	3.36E-01	3.30E-02	-9.05E-01	-2.43E+00	-1.43E+00	-9.56E-01	9.83E-02	4.80E-01	7.07E-01	8.49E-01
2.24E+00	1.30E+00	-3.93E+00	2.42E+00	1.61E+00	-9.64E-01	-3.27E+00	-3.41E+00	-2.35E+00	1.33E+00	4.42E+00	5.31E+00	4.45E+00

-1.42E+00	-2.36E-01	-3.31E-01	-2.67E-01	2.89E-01	-1.23E-01	-6.10E-02	3.06E-02	-1.10E-01	-3.09E-01	-2.84E-01	-2.32E-01	-5.01E-01
5.81E-01	3.19E-01	3.68E-01	3.38E-01	1.18E-01	8.87E-02	7.90E-02	-7.28E-02	3.02E-01	2.73E-01	9.85E-02	5.99E-02	3.04E-01
3.16E+00	9.85E-02	5.53E-01	1.58E-01	-7.84E-01	1.08E-01	1.53E-02	-2.05E-01	5.67E-01	2.12E-01	7.53E-01	3.70E-01	1.89E+00

Woh

7.88E+00	-1.49E+00	-4.47E+00
-7.88E+00	1.50E+00	4.47E+00

Bh

-1.21E-01	1.84E-01	-3.54E-02
-----------	----------	-----------

Bo

3.12E+00	-3.12E+00
----------	-----------

Whi : ค่า俈หนักกระหว่างชั้นอินพุตกับชั้นซ่อน

Woh : ค่า俈หนักกระหว่างชั้นซ่อนกับชั้นาเอต์พุต

Bh : ค่าไปอีสของชั้นซ่อน

Bo : ค่าไปอีสของชั้นาเอต์พุต

ตาราง 4-7 ข แสดงค่า俈หนักที่ได้จากการเรียนรู้ด้วยโครงข่ายประสาทรูปแบบที่ 1 กับ

พารามิเตอร์ที่ได้จากการคำนวณหาค่าลังของสัญญาณช่วงการกลืนของกลุ่มกล้ามเนื้อคอ

Whi

-7.88E-01	-2.95E-01	-1.90E-01	-2.45E-01	-5.71E-02	-5.41E-02	5.41E-02	-6.76E-04	6.68E-02	1.61E-01	3.06E-01	4.42E-01	2.63E-01
6.12E-01	3.79E-01	2.51E-01	2.85E-01	1.39E-01	1.31E-01	-2.40E-02	-4.38E-02	2.92E-02	-3.39E-01	-2.43E-01	-3.76E-01	-4.42E-01
-1.59E+00	-2.09E-01	-2.90E-01	5.49E-02	4.12E-02	5.89E-03	7.19E-03	3.25E-01	4.71E-01	7.04E-01	8.14E-01	1.33E+00	1.34E+00
7.31E+00	3.14E-01	4.40E-01	8.41E-02	3.97E-01	-5.51E-01	-6.53E-01	-1.06E+00	-7.29E-01	-1.81E+00	-2.70E+00	-5.52E+00	-5.92E+00
-3.87E+00	-5.42E-01	-3.12E-01	-2.87E-01	-2.39E-01	4.98E-01	4.28E-01	5.57E-01	4.08E-01	9.14E-01	1.54E+00	2.55E+00	2.55E+00

3.02E-01	-1.27E-01	1.28E-01	-4.53E-01	-3.71E-01	-1.24E+00	-2.36E+00	-1.05E+00	-2.08E-01	5.57E-01	3.17E-01	3.49E-01	3.65E-01
-5.25E-01	9.29E-02	-9.20E-02	3.85E-01	4.33E-01	1.44E+00	2.29E+00	1.05E+00	1.07E-01	-6.01E-01	-3.29E-01	-3.23E-01	-3.85E-01
1.15E+00	5.41E-01	9.30E-01	1.30E-01	1.21E+00	4.72E-02	-1.72E+00	1.34E-01	2.79E+00	2.83E+00	2.11E+00	1.64E+00	1.47E+00
-3.57E+00	2.51E-01	-1.69E+00	2.41E+00	-1.69E+00	2.08E+00	9.13E+00	1.95E+00	-6.13E+00	-4.49E+00	-3.44E+00	-3.38E+00	-4.88E+00
2.06E+00	1.05E+00	1.24E+00	-3.14E-01	1.98E+00	1.77E-02	-2.98E+00	8.76E-02	5.38E+00	5.56E+00	3.48E+00	2.65E+00	2.96E+00

2.79E-01	4.63E-01	1.45E-01	1.64E-01	5.50E-02	8.41E-02	-7.32E-01	-1.51E-01	3.12E-01	-6.67E-02	-8.07E-01	1.80E-01	2.10E-01
-1.94E-01	-5.48E-01	-5.70E-02	-1.42E-01	-4.86E-02	-1.29E-02	7.69E-01	1.88E-01	-1.20E-01	3.19E-02	7.88E-01	-1.21E-01	-6.93E-02
5.05E-01	2.06E+00	1.30E-01	2.53E-01	4.15E-01	4.89E-01	-1.13E+00	-1.16E-02	6.45E-01	2.01E-01	-1.88E+00	7.95E-01	6.37E-01
5.58E-01	-7.32E+00	1.39E+00	-1.84E-01	4.34E-01	-1.06E+00	-1.22E+00	-1.41E-01	-1.51E+00	-1.52E+00	2.86E+00	-1.01E+00	-6.38E-01
1.99E-01	3.72E+00	-3.36E-01	4.22E-02	1.73E-01	1.05E+00	-1.14E+00	2.16E-01	9.43E-01	1.56E+00	-1.22E+00	1.21E+00	8.63E-01

Woh

Bh

Bo

-1.45E+00	2.06E+00	-3.76E+00	9.07E+00	-3.65E+00		5.72E-01	-5.85E-01	8.62E-01		-8.05E-01	7.64E-01
1.35E+00	-2.10E+00	3.76E+00	-9.07E+00	3.65E+00		-1.41E+00	1.03E+00				

Whi : ค่าหน้าหนังกระหว่างชั้นอินพุตกับชั้นซ่อน

Woh : ค่าหน้าหนังกระหว่างชั้นซ่อนกับชั้นเอาต์พุต

Bh : ค่าใบอัลฟ์ของชั้นซ่อน

Bo : ค่าใบอัลฟ์ของชั้นเอาต์พุต

จากตาราง 4-7 ก แสดงค่าหน้าหนังที่ได้จากการเรียนรู้ กับพารามิเตอร์ที่ได้จากการคำนวณ
 หากำลังช่วงการกลืนของกลุ่มกล้ามเนื้อคลื่น และตาราง 4-7 ข แสดงค่าหน้าหนังที่ได้จากการเรียนรู้
 กับพารามิเตอร์ที่ได้จากการคำนวณหากำลังช่วงการกลืนของกลุ่มกล้ามเนื้อคลื่น ผลจากการเรียนรู้ จะ
 นำไปใช้ในการทดสอบ กับข้อมูลของพารามิเตอร์ที่ได้จากการคำนวณหากำลังช่วงการกลืนของ
 อาสาสมัครในกลุ่มทดสอบจำนวน 35 คน ผลที่ได้จากการทดสอบ แสดงดังตารางต่อไปนี้

ตาราง 4-8 ก แสดงผลการทดสอบ โครงข่ายประสาทรูปแบบที่ 1 ด้วยพารามิเตอร์ที่ได้จาก
วิธีการหาลำดับช่วงการกลืนของกลุ่มกล้ามเนื้อกลืน

อาสา สมัครใน กลุ่ม ทดสอบ ลำดับที่	เอ่าท์พุต (y1) ที่ ได้จาก โครงข่าย ประสาท								
1*	0.572	8*	0.992	15*	0.992	22*	0.992	29*	0.001
2*	0.991	9*	0.991	16*	0.992	23*	0.992	30*	0.001
3*	0.992	10*	0.991	17*	0.992	24*	0.992	31*	0.247
4*	0.992	11*	0.991	18*	0.992	25*	0.992	32	0.992
5*	0.992	12	0.001	19*	0.992	26*	0.992	33*	0.000
6*	0.992	13*	0.990	20*	0.992	27*	0.992	34*	0.001
7*	0.992	14*	0.979	21*	0.992	28*	0.992	35	0.983

เครื่องหมาย * แสดงว่าอาสาสมัครในกลุ่มทดสอบสามารถจำแนกได้ถูกต้องด้วยโครงข่ายประสาท

ตาราง 4-8 ข แสดงผลการทดสอบ โครงข่ายประสาทรูปแบบที่ 1 ด้วยพารามิเตอร์ที่ได้จาก
วิธีการหาลำดับช่วงการกลืนของกลุ่มกล้ามเนื้อคอด

อาสา สมัครใน กลุ่ม ทดสอบ ลำดับที่	เอ่าท์พุต (y1) ที่ ได้จาก โครงข่าย ประสาท								
1*	0.989	8*	0.989	15*	0.989	22*	0.989	29*	0.011
2*	0.989	9*	0.989	16*	0.989	23*	0.989	30	0.987
3*	0.989	10*	0.989	17	0.011	24*	0.989	31	0.989
4	0.011	11*	0.989	18*	0.990	25	0.010	32	0.989
5*	0.989	12*	0.871	19*	0.989	26*	0.989	33*	0.011
6*	0.990	13*	0.989	20*	0.989	27*	0.993	34*	0.011
7*	0.989	14*	0.769	21	0.011	28	0.011	35*	0.011

เครื่องหมาย * แสดงว่าอาสาสมัครในกลุ่มทดสอบสามารถจำแนกได้ถูกต้องด้วยโครงข่ายประสาท

จากตาราง 4-8 ก แสดงผลการทดสอบ โครงข่ายประสาทรูปแบบที่ 1 กับพารามิเตอร์ที่ได้จากการหาจำลังของสัญญาณช่วงการกลืนของกลุ่มกล้ามเนื้อลิ้น สามารถจำแนกหาผู้มีปัญหาการกลืนได้ถูกต้องจำนวน 32 คน และพิเศษลดไปจำนวน 3 คน และตาราง 4-8 ข แสดงผลการทดสอบ โครงข่ายประสาทรูปแบบที่ 1 กับพารามิเตอร์ที่ได้จากการหาจำลังของสัญญาณช่วงการกลืนของกลุ่มกล้ามเนื้อคอก สามารถจำแนกหาผู้มีปัญหาการกลืนได้ถูกต้องจำนวน 27 คน และพิเศษลดไปจำนวน 8 คน

จากผลการทดสอบ โครงข่ายประสาทรูปแบบที่ 1 กับพารามิเตอร์ทางคณิตศาสตร์หลายๆ วิธีดังกล่าว ข้างต้นของกลุ่มกล้ามเนื้อลิ้นและกลุ่มกล้ามเนื้อคอกที่ผ่านมา ของอาสาสมัครที่ใช้ในการทดสอบจำนวน 35 คน สามารถนำผลการทดสอบที่ได้ทั้งหมดมาทำการสรุปผลการจำแนก ดังแสดงในตาราง 4-9 โดยที่วิธีการจำแนกด้วยค่าสัมประสิทธิ์ของอัตรีเกรสซีฟ จะใช้เฉพาะอันดับที่ 5 เนื่องจากความถูกต้องสูงสุด

ตาราง 4-9 แสดงการสรุปผลการจำแนกที่ได้จากผลการทดสอบด้วยโครงข่ายประสาทรูปแบบ

ที่ 1 กับพารามิเตอร์ที่ได้จากการคำนวณทางคณิตศาสตร์หลาຍฯ วิธีของสัญญาณ

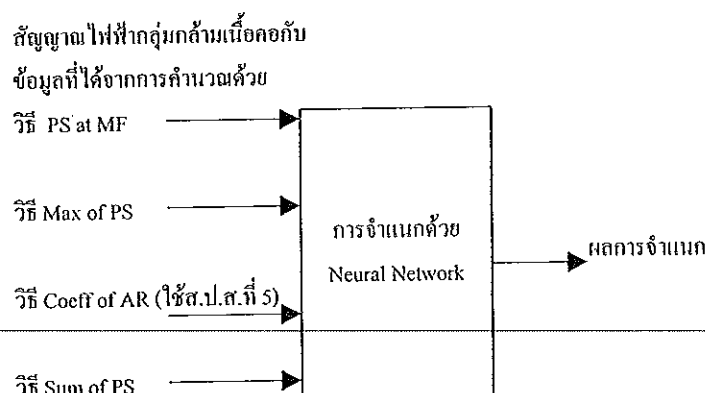
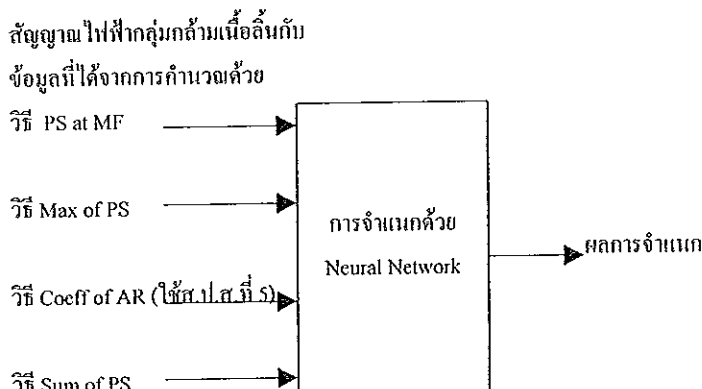
ไฟฟ้าิกคุ่มกล้า้มเนื้อถื้นและกุ่มกล้า้มเนื้อคอด

ตัวแปรที่ สำคัญที่	ผลการจำแนกของสัญญาณกล้า้มเนื้อถื้น				ผลการจำแนกของสัญญาณกล้า้มเนื้อคอด				ผลการจำแนก ชุดแบบที่ 1	สูง ผลการวินิจฉัย
	PS at MF	Max of PS	Sum of PS	Coeff's of AR	PS at MF	Max of PS	Sum of PS	Coeff's of AR		
1	0.923*	0.600*	0.572*	0.979*	0.932*	0.977*	0.989*	0.989*	1	ถูกต้อง
2	0.994*	0.149	0.991*	0.001	0.941*	0.001	0.989*	1.000*	1	ถูกต้อง
3	1.000*	0.979*	0.992*	1.000*	0.025	0.980*	0.989*	0.999*	1	ถูกต้อง
4	1.000*	0.961*	0.992*	1.000*	0.890*	0.739*	0.011	0.979*	1	ถูกต้อง
5	1.000*	0.996*	0.992*	1.000*	0.020	0.968*	0.989*	1.000*	1	ถูกต้อง
6	0.929*	0.996*	0.992*	0.999*	0.989*	0.994*	0.990*	0.999*	1	ถูกต้อง
7	1.000*	0.996*	0.992*	0.998*	0.944*	0.754*	0.989*	0.996*	1	ถูกต้อง
8	1.000*	0.997*	0.992*	0.709*	0.970*	0.982*	0.989*	0.000	1	ถูกต้อง
9	0.995*	0.981*	0.991*	1.000*	0.990*	0.932*	0.989*	1.000*	1	ถูกต้อง
10	1.000*	0.851*	0.991*	1.000*	0.991*	0.037	0.989*	0.913*	1	ถูกต้อง
11	0.999*	0.991*	0.991*	0.785*	0.961*	0.989*	0.989*	1.000*	1	ถูกต้อง
12	0.622*	0.996*	0.001	0.995*	0.997*	0.994*	0.871*	0.994*	1	ถูกต้อง
13	1.000*	0.731*	0.990*	0.998*	0.957*	0.985*	0.989*	0.999*	1	ถูกต้อง
14	1.000*	0.994*	0.979*	0.999*	0.999*	0.992*	0.769*	0.897*	1	ถูกต้อง
15	1.000*	0.990*	0.992*	0.993*	0.990*	0.994*	0.989*	1.000*	1	ถูกต้อง
16	0.220	0.756*	0.992*	1.000*	0.895*	0.994*	0.989*	0.999*	1	ถูกต้อง
17	1.000*	0.992*	0.992*	1.000*	0.996*	0.540*	0.011	1.000*	1	ถูกต้อง
18	0.991*	0.997*	0.992*	0.996*	0.994*	0.994*	0.990*	0.981*	1	ถูกต้อง
19	0.257	0.787*	0.992*	0.996*	0.580*	0.004	0.989*	0.999*	1	ถูกต้อง
20	0.016	0.969*	0.992*	0.991*	0.297	0.993*	0.989*	0.952*	1	ถูกต้อง
21	0.999*	0.995*	0.992*	0.999*	0.235	0.004	0.011	1.000*	1	ถูกต้อง
22	1.000*	0.986*	0.992*	1.000*	0.643*	0.991*	0.989*	1.000*	1	ถูกต้อง
23	1.000*	0.025	0.992*	0.725*	0.971*	0.985*	0.989*	1.000*	1	ถูกต้อง
24	0.992*	0.997*	0.992*	1.000*	0.985*	0.986*	0.989*	1.000*	1	ถูกต้อง
25	0.999*	0.993*	0.992*	1.000*	0.005	0.994*	0.010	0.030	1	ถูกต้อง
26	0.999*	0.996*	0.992*	0.997*	0.950*	0.993*	0.989*	0.349	1	ถูกต้อง
27	0.091	0.844*	0.992*	0.999*	0.999*	0.992*	0.993*	0.932*	1	ถูกต้อง
28	0.989*	0.987*	0.992*	1.000*	0.984*	0.988*	0.011	0.945*	1	ถูกต้อง
29	0.010*	0.002*	0.001*	1.000	0.006*	0.001*	0.011*	0.097*	0	ถูกต้อง
30	0.000*	0.002*	0.001*	0.045*	0.446*	0.001*	0.987	0.983	0	ถูกต้อง
31	0.000*	0.002*	0.247*	0.000*	0.002*	0.015*	0.989	0.001*	0	ถูกต้อง
32	0.008*	0.484*	0.992	0.016*	0.570	0.994	0.989	0.000*	—	ผิดพลาด
33	0.000*	0.002*	0.000*	1.000	0.008*	0.005*	0.011*	0.750	0	ถูกต้อง
34	0.011*	0.002*	0.001*	0.006*	0.005*	0.395*	0.011*	0.325*	0	ถูกต้อง
35	0.009*	0.002*	0.983	0.000*	0.004*	0.002*	0.011*	0.003*	0	ถูกต้อง
% ความถูกต้อง	88.60%	94.30%	91.40%	91.40%	82.90%	85.70%	77.10%	85.70%	97.00%	97.00%

เกรียงหมาย * แสดงว่าอาสาสมัครในกลุ่มทดสอบสามารถจำแนกได้ถูกต้องด้วยโครงข่ายประสาท

จากตาราง 4-9 แสดงการสรุปผลการจำแนกที่ได้จากการทดสอบด้วยโครงข่ายประสาทรูปแบบที่ 1 กับพารามิเตอร์ที่ได้จากการคำนวณทางคณิตศาสตร์หลายๆ วิธี ของสัญญาณไฟฟ้ากลุ่มกล้ามเนื้อด้านและกลุ่มกล้ามเนื้อคอ สามารถทำการสรุปผลการจำแนกหาผู้มีปัญหาการกลืนได้ถูกต้องจำนวน 34 คน และพิดพลาดไปจำนวน 1 คน

4.3.2 การจำแนกด้วยโครงข่ายประสาทรูปแบบที่ 2



ภาพประกอบ 4-5 แสดงการจำแนกด้วยโครงข่ายประสาทรูปแบบที่ 2 กับพารามิเตอร์ทางคณิตศาสตร์หลายๆ วิธีของกลุ่มกล้ามเนื้อด้านและกลุ่มกล้ามเนื้อคอ

จากภาพประกอบ 4-5 แสดงการจำแนกด้วยโครงข่ายประสาทรูปแบบที่ 2 กับพารามิเตอร์ที่ได้จากการคำนวณทางคณิตศาสตร์ของวิธีการวิเคราะห์จากค่าความหนาแน่นของกำลังเชิงสเปกตรัมที่ความถี่มีเดียน (PS at MF) วิธีการวิเคราะห์จากค่าสูงสุดของค่าความหนาแน่นของกำลังเชิงสเปกตรัม (Max of PS) วิธีการวิเคราะห์โดยหาค่าสัมประสิทธิ์ของอัตรีเกรสซีฟลำดับที่ 5

(Coeff 5 of AR) และวิธีการวิเคราะห์โดยวิธีการหาค่าลังของสัญญาณในช่วงการกึ่น (Sum of PS) ตามลำดับ ของกลุ่มกล้ามเนื้อลิ้นและกลุ่มกล้ามเนื้อคอ เอ้าท์พุตของโครงข่ายจะเป็นผลการจำแนก หาซึ่มีปัญหาการกึ่นทั้งในส่วนของกลุ่มกล้ามเนื้อลิ้นและกลุ่มกล้ามเนื้อคอแยกออกจากกัน ผลการ จำแนกด้วยโครงข่ายประสาทรูปแบบที่ 2 กับพารามิเตอร์ทางคณิตศาสตร์หลายๆ วิธีของกลุ่มกล้าม เนื้อลิ้นและกลุ่มกล้ามเนื้อคอ มีดังนี้

4.3.2.1 ผลการจำแนกด้วยโครงข่ายประสาทรูปแบบที่ 2 กับพารามิเตอร์ทางคณิตศาสตร์ หลายๆ วิธีของกลุ่มกล้ามเนื้อลิ้น

สำหรับการเรียนรู้และทดสอบ การเรียนรู้จะใช้ข้อมูลที่ได้จากการคำนวณทางคณิตศาสตร์ ทั้ง 4 วิธีของสัญญาณไฟฟ้ากลุ่มกล้ามเนื้อลิ้น ของอาสาสมัครจำนวน 30 คน โดยโครงข่ายประสาท มีคุณสมบัติคงนี้ มีอินพุต 156 ข้อมูล เอ้าท์พุต 2 ข้อมูล ชั้นซ่อนมี 1 ชั้น และ 2 โหนด ค่าความผิด พลาดที่ต้องการเท่ากับ 0.0001 ค่าอัตราการขยายสำหรับการเรียนรู้เท่ากับ 5 และค่าอินเนอร์เรีย พารามิเตอร์เท่ากับ 0.9 จะให้ผลเป็นน้ำหนักของการเรียนรู้ มีรายละเอียดดังตารางต่อไปนี้

ตาราง 4-10 ก แสดงค่าน้ำหนักที่ได้จากการเรียนรู้ ด้วยโครงข่ายประสาทรูปแบบที่ 2 กับ พารามิเตอร์ที่ได้จากการคำนวณทางคณิตศาสตร์พร้อมกันทั้งหมด 4 วิธีที่ นำมาเรียงตัวรวมกันของกลุ่มกล้ามเนื้อลิ้น

Whi

-1.03E+00	1.96E-01	-1.87E-01	-2.85E-02	2.71E-01	5.48E-02	6.00E-01	9.97E-01	4.84E-01	2.50E-01	1.05E-01	-1.16E+00	-7.69E-01
1.11E-01	8.53E-02	1.44E-01	9.49E-02	-1.10E-01	-7.54E-03	-2.52E-01	-2.25E-01	-4.78E-02	-3.56E-02	4.34E-02	5.00E-01	2.60E-01

1.22E-01	-2.75E+00	-1.74E-01	-2.06E+00	1.06E+00	2.66E+00	1.44E+00	-4.03E-01	1.49E+00	-1.41E+00	-1.06E+00	-1.59E+00	-1.50E+00
-9.56E-02	8.52E-03	-1.23E-01	5.81E-01	-1.27E-02	-5.46E-01	-1.06E-01	-1.23E-01	-2.64E-01	2.44E-01	2.80E-01	2.54E-01	4.38E-01

-4.04E-01	-1.53E-01	-1.58E-01	-4.53E-01	-5.15E-02	-4.45E-01	-2.12E-01	1.47E-01	3.06E-01	9.93E-03	-1.18E-01	-3.22E-01	-2.64E-01
1.11E-01	1.69E-01	1.56E-01	2.85E-01	-3.12E-03	1.62E-01	-4.02E-02	9.28E-03	7.51E-02	1.08E-01	-4.77E-03	5.90E-02	1.43E-01

-1.69E-01	-1.94E-01	-1.54E-01	1.88E-02	8.76E-03	-8.50E-02	-8.71E-02	-8.77E-01	-5.70E-02	-8.57E-02	-8.60E-01	-6.32E-01	-4.24E-01
-3.41E-02	-1.23E-02	1.36E-01	6.16E-02	4.69E-02	1.44E-02	-9.30E-02	7.10E-02	6.99E-02	1.22E-01	1.87E-01	2.72E-01	1.01E-01

-2.24E-01	-2.47E-01	3.41E-01	-1.04E-01	-1.01E+00	-5.31E-01	-1.53E+00	4.33E-01	-2.88E+00	-1.31E+00	-5.27E-01	-6.35E-01	-2.74E-01
6.63E-02	3.95E-02	-1.07E-01	8.84E-02	3.40E-01	1.04E-01	4.98E-01	2.15E-02	2.51E-01	1.82E-01	1.05E-01	2.67E-01	6.85E-02

-9.16E-01	-2.84E-01	-4.79E-01	-2.92E-01	-3.16E-01	-1.78E-01	-2.87E-03	-5.82E-02	-3.17E-01	-2.34E-01	-2.39E-01	-1.50E-01	-3.18E-01
1.63E-01	9.93E-02	3.01E-01	2.11E-01	2.97E-02	1.89E-01	1.10E-02	8.11E-04	1.36E-01	1.76E-01	3.64E-02	5.57E-02	7.44E-02

1.06E-02	1.64E-03	-1.29E-02	-1.06E-01	-8.02E-02	-6.02E-03	2.75E-02	-1.45E-01	-3.84E-02	-7.73E-02	-9.15E-02	-1.30E-01	9.89E-02
-8.09E-02	-3.43E-02	6.19E-02	9.99E-02	-6.39E-02	7.70E-02	-7.96E-02	-3.22E-02	3.00E-02	2.56E-02	-4.27E-02	-6.13E-02	-2.90E-02

-1.07E-01	-5.33E-02	8.46E-02	-6.84E-02	-1.16E-01	1.60E-02	-9.05E-02	-6.78E-02	-1.04E-01	2.81E-02	-8.59E-02	3.45E-02	-1.03E-01
2.14E-02	8.58E-02	-8.41E-02	-9.88E-02	-5.74E-02	3.60E-02	4.81E-03	-1.89E-02	3.47E-02	2.19E-02	3.88E-02	7.18E-02	-5.44E-02

5.17E-02	-7.76E-02	-1.23E-01	-1.05E-01	-8.85E-02	4.93E-02	1.03E-01	-2.38E-02	8.41E-03	5.07E-02	5.65E-02	4.54E-02	9.57E-02
-7.33E-02	2.15E-02	5.18E-02	-6.38E-02	-5.74E-02	-8.25E-02	-5.16E-02	-9.17E-02	-6.42E-02	-6.03E-02	2.84E-02	1.67E-02	9.06E-02

-2.88E-01	-4.56E-01	-5.90E-01	-3.73E-01	2.14E-01	1.19E-01	1.91E-01	-6.39E-01	-5.20E-01	-1.09E-01	-1.92E-01	-1.39E+00	-1.94E+00
-7.85E-02	1.19E-01	1.35E-01	2.48E-02	-8.93E-02	-4.10E-02	-3.84E-01	1.24E-01	7.57E-02	7.87E-02	1.81E-01	4.74E-01	7.19E-01

-1.02E+00	-1.08E+00	1.25E+00	-1.94E+00	-9.60E-01	2.19E-01	2.54E+00	3.80E+00	1.70E+00	-8.60E-01	-2.91E+00	-3.85E+00	-3.80E+00
2.44E-01	-3.76E-01	-5.93E-01	4.97E-01	3.77E-01	-2.95E-02	-8.44E-01	-8.00E-01	-2.15E-01	2.60E-01	6.88E-01	6.44E-01	9.38E-01

-2.69E+00	-9.45E-01	-9.99E-01	-1.05E+00	-5.46E-01	-5.91E-01	-3.58E-01	-2.36E-01	-9.70E-01	-8.07E-01	-6.77E-01	-6.81E-01	-1.37E+00
5.08E-01	4.23E-01	4.96E-01	4.69E-01	2.71E-01	3.34E-01	2.05E-01	2.24E-01	4.20E-01	4.11E-01	1.84E-01	2.08E-01	3.28E-01

Woh	Bh	Bo
8.06E+00	-7.89E+00	5.19E-02
-8.06E+00	7.89E+00	3.48E-02

Whi : ค่า俈หนึ่งกระหว่างชั้นอินพุตกับชั้นซ่อน

Woh : ค่า俈หนึ่งกระหว่างชั้นซ่อนกับชั้นเอาต์พุต

Bh : ค่าไบโอบสของชั้นซ่อน

Bo : ค่าไบโอบสของชั้นเอาต์พุต

4.3.2.2 ผลการจำแนกด้วยโครงข่ายประสาทรูปแบบที่ 2 กับพารามิเตอร์ทางคณิตศาสตร์ หลายๆ วิธีของกลุ่มกล้ามเนื้อคอ

สำหรับการเรียนรู้และทดสอบ การเรียนรู้จะใช้ข้อมูลที่ได้จากการคำนวณทางคณิตศาสตร์ ทั้ง 4 วิธีของสัญญาณไฟฟ้ากลุ่มกล้ามเนื้อคอ ของอาสาสมัครจำนวน 30 คน โดยโครงข่ายประสาท มีคุณสมบัติดังนี้ มีอินพุต 156 ข้อมูล เอาต์พุต 2 ข้อมูล ชั้นซ่อนมี 1 ชั้น และ 2 โหนด ค่าความผิด พลาดที่ต้องการเท่ากับ 0.0001 ค่าอัตราการขยายสำหรับการเรียนรู้เท่ากับ 5 และค่าอินเนอร์เชีย พารามิเตอร์เท่ากับ 0.9 จะให้ผลเป็นน้ำหนักของการเรียนรู้ มีรายละเอียดดังตารางต่อไปนี้

ตาราง 4-10 ฯ แสดงค่าน้ำหนักที่ได้จากการเรียนรู้ ด้วยโครงข่ายประสาทรูปแบบที่ 2 กับ พารามิเตอร์ที่ได้จากการคำนวณทางคณิตศาสตร์พร้อมกันทั้งหมด 4 วิธีที่ มาเรียงตัวรวมกันของกลุ่มกล้ามเนื้อคอ

Whi

5.16E-01	3.26E-01	3.39E-02	3.73E-02	-3.77E-01	-1.45E-01	2.18E-01	-3.11E-01	-3.59E-01	-3.42E-01	-2.08E-01	-8.34E-02	-7.27E-01
-2.13E-01	-8.09E-02	6.48E-02	8.57E-02	3.82E-02	1.63E-01	2.41E-02	3.70E-01	1.76E-01	1.77E-01	3.15E-01	1.86E-01	2.13E-01

-5.01E-01	1.23E-01	-8.12E-02	9.54E-01	2.10E-01	-1.34E-01	-5.93E-01	2.12E-01	-4.51E-01	-1.14E+00	4.85E-02	-7.18E-01	-3.34E-01
4.37E-01	2.77E-02	1.07E-01	-3.84E-01	1.27E-01	-6.44E-01	-5.82E-01	-1.44E+00	4.29E-01	4.08E-01	6.08E-02	-1.06E-01	2.86E-01

-6.14E-01	1.35E-01	7.92E-02	1.16E-01	-1.68E-01	-1.85E-02	2.85E-03	-1.41E-01	9.14E-02	-1.75E-01	9.73E-02	8.58E-02	-9.03E-02
1.50E-01	-7.40E-02	-8.21E-02	3.32E-02	2.50E-01	-6.29E-02	-4.74E-02	-1.29E-02	3.33E-04	2.91E-01	6.74E-02	9.60E-02	-3.55E-02

2.99E-02	-7.23E-01	-2.84E-01	-2.99E-02	-1.67E-01	-7.83E-02	-1.30E-01	-1.58E-01	-1.54E-01	-2.60E-01	-2.07E-01	-4.55E-01	-1.65E-01
7.14E-03	3.36E-01	2.26E-01	1.19E-01	3.11E-01	8.04E-02	1.56E-01	2.41E-01	1.67E-01	1.45E-01	3.20E-01	6.89E-01	2.67E-01

-2.52E-01	-2.60E-01	-2.40E-01	-1.88E-01	-3.66E-01	2.25E-01	-8.45E-01	6.40E-02	-4.46E-01	-2.18E-01	-2.36E-01	-6.08E-01	-2.46E-01
3.53E-01	3.31E-01	2.35E-01	3.87E-01	2.69E-01	9.07E-02	1.36E+00	2.12E-01	1.97E-01	3.84E-01	9.91E-02	2.69E-01	1.86E-01

-1.92E-01	-5.85E-01	-1.10E-01	-1.52E-01	-8.15E-03	-9.11E-02	3.92E-01	-8.80E-02	-4.66E-02	1.02E+00	2.11E-01	1.54E-02	-8.40E-02
9.46E-02	6.20E-01	2.79E-01	1.70E-01	1.23E-01	2.21E-01	-2.10E-01	9.96E-02	9.93E-02	-5.97E-01	3.03E-02	7.60E-02	1.79E-01

6.73E-03	-2.30E-02	7.36E-02	-1.45E-02	-7.65E-02	-7.06E-02	5.05E-02	5.17E-02	2.15E-02	-6.27E-02	-6.09E-02	4.76E-02	9.98E-02
-9.82E-02	-2.15E-02	-9.51E-02	-3.39E-02	-1.47E-02	-8.94E-02	1.10E-02	9.90E-02	2.72E-02	6.11E-02	5.47E-02	1.03E-01	-7.54E-02

-1.05E-01	5.19E-02	2.23E-02	4.53E-02	-8.22E-02	4.73E-03	5.24E-02	-1.04E-01	-2.37E-02	3.15E-03	3.08E-02	-9.04E-02	6.85E-02
8.50E-03	-7.97E-02	-2.72E-03	1.38E-02	-9.45E-03	9.74E-02	5.50E-02	1.09E-01	-6.14E-03	5.74E-02	-1.53E-02	6.07E-02	-4.74E-02

2.37E-02	-4.61E-02	-1.82E-02	-2.32E-02	1.04E-01	8.03E-02	-5.06E-02	7.09E-02	9.41E-02	1.48E-02	-8.57E-02	7.60E-02	-8.74E-02
-9.37E-02	-2.39E-02	7.22E-02	-7.14E-02	-2.15E-02	1.02E-01	-4.11E-02	1.54E-02	-8.46E-02	-6.35E-02	5.74E-02	-7.12E-02	5.32E-02

1.07E+00	3.03E-01	1.49E-01	2.26E-01	1.87E-01	-3.09E-01	2.86E-02	-1.34E-02	-1.32E-01	-1.70E-01	-2.39E-01	-5.60E-01	-5.56E-01
-5.80E-01	-1.23E-01	-1.20E-01	5.09E-02	-1.12E-01	-4.26E-02	1.23E-01	1.51E-01	6.36E-02	2.17E-01	3.31E-01	5.37E-01	4.19E-01

-4.24E-01	-1.72E-01	-3.17E-01	3.01E-01	-6.61E-01	6.20E-01	2.60E+00	-8.44E-02	-9.54E-01	-5.39E-01	-5.24E-01	-5.50E-01	-7.83E-01
4.56E-01	5.99E-01	5.42E-01	4.20E-01	3.46E-01	-7.46E-01	-1.85E+00	-4.32E-01	-1.46E-02	3.24E-01	2.93E-01	2.46E-01	5.39E-01

-2.06E-01	-2.78E-01	-8.68E-02	-7.87E-02	-6.81E-02	-1.46E-01	-5.04E-01	-1.43E-01	-2.62E-01	-1.44E-01	5.48E-02	-6.10E-02	-9.20E-02
6.23E-02	5.05E-01	2.48E-01	1.80E-01	2.25E-01	4.23E-01	5.34E-01	4.75E-01	4.30E-01	6.35E-01	2.87E-01	4.79E-01	5.23E-01

Woh	Bh	Bo
8.55E+00	-4.68E+00	-3.65E-01
-8.55E+00	4.68E+00	1.09E-01

3.83E+00 -3.83E+00

Whi : ការណែនក្រឡវងខ្លួនឱ្យមិនអីកំបុងទៅលើខ្លួន

Woh : ការណែនក្រឡវងខ្លួនដែលរាយក្នុងខ្លួនខ្លួន

Bh : ការបងិតសម្រាប់ខ្លួនខ្លួន

Bo : ការបងិតសម្រាប់ខ្លួនខ្លួន

จากตาราง 4-10 ก แสดงค่าหนักที่ได้จากการเรียนรู้ กับพารามิเตอร์ที่ได้จากการคำนวณทางคณิตศาสตร์พร้อมกันทั้งหมด 4 วิธี ได้แก่ วิธี PS at MF, Max of PS, Coeff of AR (ส.ป.ส.ที่ 5) และ Sum of PS ที่มาเรียงตัวรวมกันตามลำดับ ของกลุ่มกล้ามเนื้อลิ้น และตาราง 4-10 ข แสดงค่าหนักที่ได้จากการเรียนรู้ กับพารามิเตอร์ที่ได้จากการคำนวณทางคณิตศาสตร์พร้อมกันทั้งหมด 4 วิธี ได้แก่ วิธี PS at MF, Max of PS, Coeff of AR (ส.ป.ส.ที่ 5) และ Sum of PS ที่มาเรียงตัวรวมกันตามลำดับของกลุ่มกล้ามเนื้อคอ ผลจากการเรียนรู้จะนำไปใช้ในการทดสอบ กับข้อมูลของพารามิเตอร์ที่ได้จากการคำนวณทางคณิตศาสตร์พร้อมกันทั้งหมด 4 วิธีที่มาเรียงตัวรวมกันของสัญญาณกลุ่มกล้ามเนื้อลิ้นและกลุ่มกล้ามเนื้อคอของอาสาสมัครจำนวน 35 คน ผลที่ได้จากการทดสอบ แสดงดังตารางต่อไปนี้

ตาราง 4-11 ก แสดงผลการทดสอบ โครงข่ายประสาทรูปแบบที่ 2 กับพารามิเตอร์ที่ได้จากการคำนวณทางคณิตศาสตร์พร้อมกันทั้งหมด 4 วิธี ที่มาเรียงตัวรวมกันของสัญญาณไฟฟ้ากลุ่มกล้ามเนื้อลิ้น

อาสา สมัครใน กลุ่ม ทดสอบ ลำดับที่	เอาต์พุต (y1) ที่ ได้จาก โครงข่าย ประสาท								
1*	0.575	8*	1.000	15*	1.000	22*	1.000	29*	0.009
2*	0.754	9*	1.000	16*	1.000	23*	1.000	30*	0.009
3*	1.000	10*	1.000	17*	1.000	24*	1.000	31*	0.009
4*	1.000	11*	1.000	18*	1.000	25*	1.000	32*	0.046
5*	1.000	12	0.010	19*	0.999	26*	1.000	33*	0.009
6*	1.000	13*	1.000	20	0.017	27*	1.000	34*	0.009
7*	1.000	14*	0.871	21*	1.000	28*	1.000	35	0.993

เครื่องหมาย * แสดงว่าอาสาสมัครในกลุ่มทดสอบสามารถจำแนกได้ถูกต้องด้วยโครงข่ายประสาท

ตาราง 4-11 ข แสดงผลการทดสอบ โครงข่ายประชากรูปแบบที่ 2 กับพารามิเตอร์ที่ได้จาก
วิธีคำนวณทางคณิตศาสตร์พร้อมกันทั้งหมด 4 วิธี ที่มาเรียงตัวรวมกันของ
สัญญาณไฟฟ้ากลุ่มกล้ามเนื้อคอ

อาสา สมัครใน กลุ่ม ทดสอบ ลำดับที่	เอาต์พุต (y1) ที่ ได้จาก โครงข่าย ประชากร								
1*	0.991	8*	0.595	15*	0.955	22*	0.991	29*	0.000
2	0.000	9*	0.991	16*	0.989	23*	0.991	30*	0.094
3*	0.987	10*	0.980	17	0.000	24*	0.991	31*	0.000
4*	0.991	11	0.266	18*	0.991	25	0.000	32*	0.101
5*	0.991	12*	0.991	19*	0.957	26*	0.991	33*	0.496
6*	0.991	13*	0.979	20*	0.991	27	0.309	34*	0.000
7*	0.853	14	0.156	21	0.000	28	0.021	35*	0.000

เครื่องหมาย * แสดงว่าอาสาสมัครในกลุ่มทดสอบสามารถจำแนกได้ถูกต้องด้วยโครงข่ายประชากร

จากตาราง 4-11 ก แสดงผลการทดสอบ โครงข่ายประชากรูปแบบที่ 2 กับพารามิเตอร์ที่ได้
จากวิธีการคำนวณทางคณิตศาสตร์พร้อมกันทั้งหมด 4 วิธี ได้แก่ วิธี PS at MF, Max of PS, Coeff of
AR (ส.ป.ส.ที่ 5) และ Sum of PS ที่มาเรียงตัวรวมกันตามลำดับ ของกลุ่มกล้ามเนื้อเล็บ สามารถ

จำแนกหาผู้มีปัญหาการกลืนได้ถูกต้องจำนวน 32 คน และศักยภาพไปจำนวน 3 คน และ ตาราง

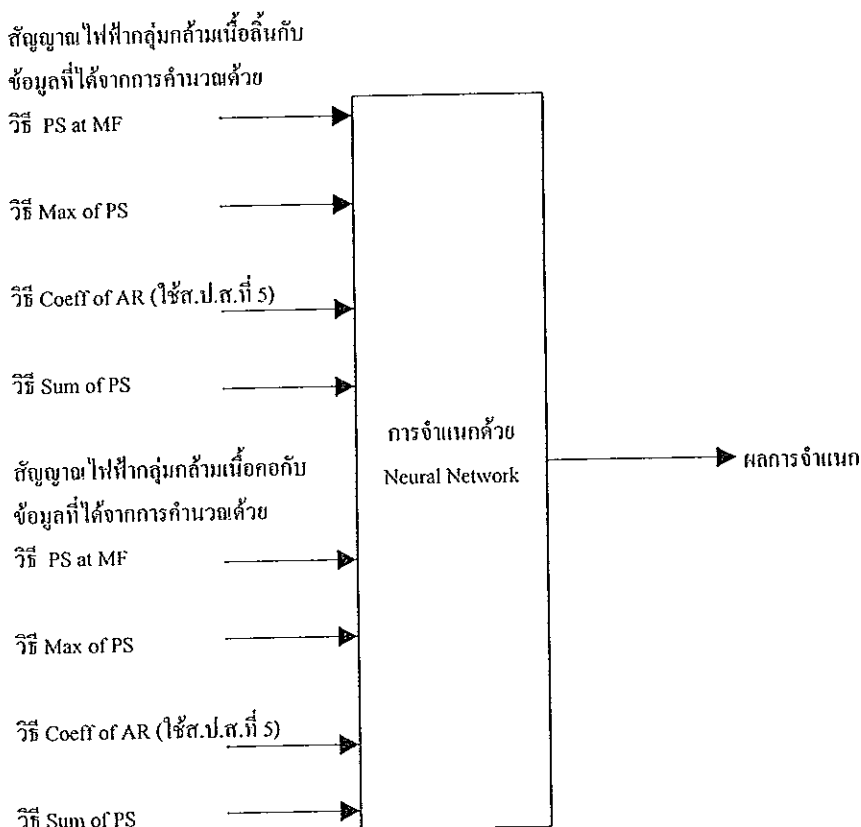
4-11 ข แสดงผลการทดสอบ โครงข่ายประชากรูปแบบที่ 2 กับพารามิเตอร์ที่ได้จากวิธีการคำนวณ

ทางคณิตศาสตร์พร้อมกันทั้งหมด 4 วิธี ได้แก่ วิธี PS at MF, Max of PS, Coeff of AR (ส.ป.ส.ที่ 5)

และ Sum of PS ที่มาเรียงตัวรวมกันตามลำดับ ของกลุ่มกล้ามเนื้อคอ สามารถจำแนกหาผู้มีปัญหา

การกลืนได้ถูกต้องจำนวน 27 คน และศักยภาพไปจำนวน 8 คน

4.3.3 การจำแนกด้วยโครงข่ายประสาทรูปแบบที่ 3



ภาพประกอบ 4-6 แสดงการจำแนกด้วยโครงข่ายประสาทรูปแบบที่ 3 กับพารามิเตอร์ทางคณิตศาสตร์หลายๆ วิธีของกลุ่มกล้ามเนื้อดินและกลุ่มกล้ามเนื้อคอรวมกัน

จากภาพประกอบ 4-6 แสดงการจำแนกด้วยโครงข่ายประสาทรูปแบบที่ 3 กับพารามิเตอร์ที่ได้จากการคำนวณทางคณิตศาสตร์ของวิธีการวิเคราะห์จากค่าความหนาแน่นของกำลังเชิงสเปกตรัมที่ความถี่มีเดียน (PS at MF) วิธีการวิเคราะห์จากค่าสูงสุดของค่าความหนาแน่นของกำลังเชิงสเปกตรัม (Max of PS) วิธีการวิเคราะห์โดยหาค่าสัมประสิทธิ์ของออโตรีเกรสซีฟลำดับที่ 5 (Coeff 5 of AR) และวิธีการวิเคราะห์โดยวิธีการหากำลังของสัญญาณในช่วงการกลืน (Sum of PS) ของกลุ่มกล้ามเนื้อดินและกลุ่มกล้ามเนื้อคอที่มารียงตัวรวมกันตามลำดับ เอ้าท์พุตของโครงข่ายจะเป็นผลการจำแนก ผลการจำแนกด้วยโครงข่ายประสาทรูปแบบที่ 3 กับพารามิเตอร์ทางคณิตศาสตร์หลายๆ วิธี ของกลุ่มกล้ามเนื้อดินและกลุ่มกล้ามเนื้อคอที่มารียงตัวรวมกันตามลำดับ มีดังนี้

**4.3.3.1 ผลการจำแนกด้วยโครงข่ายประสาทรูปแบบที่ 3 กับพารามิเตอร์ทางคณิตศาสตร์
หลายๆ วิธีของกลุ่มกล้ามเนื้อลิ้นและกลุ่มกล้ามเนื้อคอที่มาเรียงตัวรวมกัน**

สำหรับการเรียนรู้และทดสอบ การเรียนรู้จะใช้ข้อมูลที่ได้จากการคำนวณทางคณิตศาสตร์ทั้ง 4 วิธี (โดยละเอียดในบทที่ 3) ของสัญญาณไฟฟ้ากลุ่มกล้ามเนื้อลิ้นและอีก 4 วิธีของสัญญาณไฟฟ้ากลุ่มกล้ามเนื้อคอเท่านเดียวกัน แล้วนำข้อมูลที่ได้มาเรียงตัวรวมกันตามลำดับ เนื่องจากสำหรับอาสาสมัคร 1 คน จะมีจำนวนข้อมูล 39 ข้อมูล สำหรับวิธีการทางคณิตศาสตร์แต่ละวิธี ดังนี้ 8 วิธี จะมีข้อมูลทั้งหมด 312 ข้อมูล แต่ด้วยข้อจำกัดทางค้าน โครงข่ายประสาทที่ไม่สามารถจำแนกอินพุตจำนวนคังกล่าวໄດ้ จึงได้ทำการตัดข้อมูลจากแต่ละวิธีออกไปให้เหลือจำนวนอินพุตเพียง 20 ข้อมูล จำนวนคังกล่าวໄດ้ จึงได้ทำการตัดข้อมูลจากแต่ละวิธีออกไปให้เหลือเพียง 20 ข้อมูล จะทำการตัดข้อมูลอินพุตใน kolmn ที่เป็นเลขคู่ออกไปให้เหลือเพียงข้อมูลอินพุตใน kolmn ที่เป็นเลขคี่ ซึ่งจะทำให้อินพุตมีจำนวนทั้งหมดเท่ากับ $20 \times 8 = 160$ ข้อมูล ดังนั้น โครงข่ายประสาทที่ได้จะมีคุณสมบัติดังนี้ มีอินพุต 160 ข้อมูล เอ้าค์พุต 2 ข้อมูล ชั้นช่อนมี 1 ชั้น และ 2 โหนด ค่าความผิดพลาดที่ต้องการเท่ากับ 0.0001 ค่าอัตราการขยายสำหรับการเรียนรู้เท่ากับ 5 และค่าอินเนอร์เชียพารามิเตอร์เท่ากับ 0.9 จะให้ผลเป็นว่าหนักของการเรียนรู้ มีรายละเอียดดังตารางต่อไปนี้

ตาราง 4-12 แสดงค่าวนัยหนักที่ได้จากการเรียนรู้ด้วยโครงข่ายประสาทรูปแบบที่ 3 กับพารามิเตอร์ที่ได้จากการคำนวณทางคณิตศาสตร์หรือมันกันทั้งหมด 4 วิธีของกลุ่มกล้ามเนื้อลิ้นและกลุ่มกล้ามเนื้อคอที่มาเรียงตัวรวมกันตามลำดับ

Whi

3.72E-02	-1.95E-01	5.96E-02	4.88E-01	3.47E-01	-1.24E-01	-4.89E-01	-1.84E+00	-1.83E+00	2.39E+00
2.43E-02	1.54E-01	-7.90E-02	-1.28E-01	3.06E-02	1.60E-01	1.17E-01	3.19E-01	6.69E-01	-4.84E-01

2.67E+00	-6.45E-01	-1.10E+00	-3.68E-01	-1.21E-01	-9.20E-02	1.81E-02	4.40E-01	-2.74E-01	-1.79E-01
-1.01E-01	1.66E-01	2.46E-01	3.48E-02	4.77E-03	-8.59E-02	-1.06E-02	-2.54E-01	5.19E-02	1.51E-02

9.60E-02	-7.49E-02	-2.32E-02	-1.45E-01	-1.24E-02	-8.81E-01	-3.34E-01	-2.82E-01	-1.52E-01	6.75E-02
2.66E-02	-2.12E-03	2.56E-02	1.16E-02	-6.80E-02	4.73E-02	5.38E-02	-4.05E-02	5.15E-02	3.79E-02

6.25E-02	-9.98E-01	-3.09E-01	-6.77E-01	-5.81E-01	-2.28E-01	-1.35E-01	-3.34E-01	-1.77E-01	-3.07E-01
3.70E-02	2.52E-01	5.87E-02	1.38E-01	6.80E-02	2.61E-02	-6.76E-02	-9.66E-03	1.05E-01	6.62E-03

-1.08E-01	-8.67E-02	-3.74E-02	7.25E-02	7.63E-02	3.22E-02	2.76E-02	-5.57E-02	-3.24E-02	2.04E-02
-7.19E-02	8.97E-02	-4.08E-02	-9.30E-02	7.90E-02	-5.89E-02	-9.29E-02	4.26E-02	6.51E-02	4.30E-02

-3.01E-02	-6.09E-02	-6.44E-02	-5.24E-02	8.43E-03	-1.17E-01	1.07E-01	-4.38E-02	-2.89E-02	1.82E-02
-7.04E-02	3.82E-03	2.16E-02	-7.75E-02	-7.18E-02	-7.46E-02	-6.61E-02	8.00E-02	1.16E-02	-1.65E-03

9.24E-01	4.66E-03	5.90E-01	5.23E-01	-2.91E-01	-5.10E-01	-1.82E+00	-9.49E-01	-1.77E+00	3.31E+00
-7.37E-02	3.69E-02	2.50E-02	-6.57E-02	5.45E-02	-1.92E-02	2.79E-01	1.68E-01	4.50E-01	-3.93E-01

3.17E+00	-8.14E-01	-2.28E+00	-2.32E+00	-6.09E-01	4.86E-02	-1.91E-01	-7.68E-01	-7.29E-01	-1.07E+00
-3.15E-01	4.43E-01	4.95E-01	2.61E-01	9.00E-02	-2.55E-01	-4.65E-02	1.39E-02	1.38E-01	2.78E-01

6.71E-01	2.26E-01	-1.41E-01	2.72E-01	-6.69E-01	-9.70E-01	-1.96E+00	4.87E-01	2.41E+00	5.41E-02
-2.93E-01	-2.29E-01	-1.97E-01	-7.39E-02	5.69E-02	2.60E-01	4.26E-01	-4.53E-02	-1.23E-01	5.17E-01

2.50E+00	-2.73E+00	-4.38E-01	-1.19E+00	4.97E-02	-3.10E-01	-2.98E-01	-1.66E-01	6.04E-02	-2.31E-01
-1.57E-01	7.66E-01	-2.66E-01	1.39E-01	1.32E-01	8.15E-02	2.54E-02	1.32E-01	-9.16E-02	3.38E-02

-9.15E-02	-1.62E-01	-8.26E-01	-1.30E-01	-8.83E-01	-7.21E-01	-6.94E-01	-6.22E-01	-8.54E-01	-4.56E-01
8.35E-02	-1.23E-01	1.83E-01	3.34E-02	4.17E-01	2.13E-01	2.48E-01	2.66E-01	2.15E-01	2.22E-01

-1.07E+00	-1.18E+00	-1.70E+00	-5.42E-01	-5.03E-01	-9.07E-02	1.29E-01	-1.19E-01	8.89E-02	-2.63E-01
3.41E-01	2.48E-01	2.81E-01	1.37E-01	2.76E-01	3.50E-02	-1.17E+00	1.60E-01	-3.71E-01	1.24E-01

-8.78E-02	-4.47E-03	7.62E-03	-1.08E-02	-1.43E-02	2.70E-02	-4.84E-02	-5.49E-02	-1.05E-01	-1.06E-01
7.05E-02	-3.79E-02	-5.07E-02	-1.21E-02	1.35E-02	-4.53E-02	-1.21E-02	-1.51E-02	1.66E-02	-7.19E-04

-1.21E-01	1.74E-02	2.72E-02	6.37E-02	-3.15E-02	-2.14E-02	7.16E-02	7.46E-02	-1.77E-02	6.11E-02
-8.60E-02	-7.31E-03	3.08E-02	4.67E-02	-7.97E-02	-6.49E-02	-6.46E-02	-9.81E-03	3.27E-02	-9.95E-02

1.94E+00	1.83E+00	9.48E-01	-2.08E-01	-5.81E-01	-1.03E+00	-1.80E+00	-8.36E-01	-6.67E-01	-2.35E-01
-4.62E-01	-9.78E-01	-6.31E-01	1.10E-01	2.64E-01	2.62E-01	5.35E-01	4.76E-01	3.63E-01	6.61E-01

3.23E-01	-1.90E+00	-8.72E-01	-4.26E-01	-4.30E-01	-8.35E-01	-1.53E+00	-1.01E+00	-4.93E-01	-1.08E+00
7.37E-01	1.05E+00	2.23E-01	4.03E-01	3.64E-01	3.43E-01	3.63E-01	4.62E-01	-2.21E-01	3.48E-01

Woh

9.08E+00	-3.25E+00
-9.08E+00	3.23E+00

Bh

-9.27E-01	3.29E-01
-----------	----------

Bo

1.29E+00	-1.31E+00
----------	-----------

Whi : ค่าไนท์หนักระหว่างชั้นอินพุตกับชั้นซ่อน

Woh : ค่าไนท์หนักระหว่างชั้นซ่อนกับชั้นาเอต์พุต

Bh : ค่าไบอสของชั้นซ่อน

Bo : ค่าไบอสของชั้นาเอต์พุต

จากตาราง 4-12 แสดงค่าไนท์หนักที่ได้จากการเรียนรู้ กับพารามิเตอร์ที่ได้จากการคำนวณทางคณิตศาสตร์พร้อมกันทั้งหมด 4 วิธี ได้แก่ วิธี PS at MF, Max of PS, Coeff of AR (ส.ป.ส.ที่ 5) และ Sum of PS ของกลุ่มกล้ามเนื้อลิ้น รวมกับพารามิเตอร์ที่ได้จากการคำนวณทางคณิตศาสตร์พร้อมกันทั้งหมด 4 วิธี ได้แก่ วิธี PS at MF, Max of PS, Coeff of AR (ส.ป.ส.ที่ 5) และ Sum of PS

ของกลุ่มกล้ามเนื้อคอก โดยพารามิเตอร์ที่ได้ทั้งหมดจะถูกนำมาเรียงตัวรวมกันตามลำดับข้างต้น ผลของการเรียนรู้จะนำไปใช้ในการทดสอบกับข้อมูลของพารามิเตอร์ที่ได้จากการคำนวณทางคณิตศาสตร์พร้อมกันทั้งหมด 4 วิธี ข้างต้นของสัญญาณกลุ่มกล้ามเนื้อลิ้นและกลุ่มกล้ามเนื้อคอก ที่มาเรียบตัวรวมกันตามลำดับ ของอาสาสมัครจำนวน 35 คน ผลที่ได้จากการจำแนกผู้มีปัญหาการกลืนแสดงดังตารางต่อไปนี้

ตาราง 4-13 แสดงผลการจำแนกด้วยโครงข่ายประสาทรูปแบบที่ 3 กับพารามิเตอร์ที่ได้จาก
วิธีการคำนวณทางคณิตศาสตร์พร้อมกันทั้งหมด 4 วิธีของสัญญาณไฟฟ้ากลุ่ม
กลุ่มเนื้อถินและกลุ่มกล้ามเนื้อคือ ที่มาเรียงตัวรวมกันตามลำดับ

อาสา สมัครใน กลุ่ม ทดสอบ ลำดับที่	อาสา สมัครใน กลุ่ม โครงข่าย ประสาท	อาสา สมัครใน กลุ่ม ทดสอบ ลำดับที่	อาสา สมัครใน กลุ่ม โครงข่าย ประสาท	อาสา สมัครใน กลุ่ม ทดสอบ ลำดับที่	อาสา สมัครใน กลุ่ม โครงข่าย ประสาท	อาสา สมัครใน กลุ่ม ทดสอบ ลำดับที่	อาสา สมัครใน กลุ่ม โครงข่าย ประสาท	อาสา สมัครใน กลุ่ม โครงข่าย ประสาท	อาสา (y1) ที่ ได้จาก โครงข่าย ประสาท
1	0.011	8*	0.994	15*	0.989	22*	0.989	29*	0.011
2	0.011	9*	0.989	16*	0.989	23*	0.989	30*	0.011
3*	0.989	10*	0.989	17	0.011	24*	0.989	31*	0.011
4*	0.989	11*	0.999	18*	0.999	25	0.011	32	0.989
5*	0.989	12*	0.989	19	0.011	26*	0.989	33*	0.011
6*	0.989	13*	0.989	20*	0.989	27*	0.998	34*	0.011
7	0.011	14*	0.992	21*	0.503	28*	0.989	35	0.989

เครื่องหมาย * แสดงว่าอาสาสมัครในกลุ่มทดสอบสามารถจำแนกได้ถูกต้องด้วยโครงข่ายประสาท

จากตาราง 4-13 แสดงผลการจำแนกด้วยโครงข่ายประสาทรูปแบบที่ 3 กับพารามิเตอร์ที่ได้
จากวิธีการคำนวณทางคณิตศาสตร์พร้อมกันทั้งหมด 4 วิธี ได้แก่ วิธี PS at MF, Max of PS, Coeff of
AR (ส.ป.ส.ที่ 5) และ Sum of PS ของกลุ่มกล้ามเนื้อถิน รวมกับพารามิเตอร์ที่ได้จากวิธีการคำนวณ
ทางคณิตศาสตร์พร้อมกันทั้งหมด 4 วิธี ได้แก่ วิธี PS at MF, Max of PS, Coeff of AR (ส.ป.ส.ที่ 5)

และ Sum of PS ของกลุ่มกล้ามเนื้อคือ โดยพารามิเตอร์ที่ได้ทั้งหมดจะถูกนำมาเรียงตัวรวมกันตาม
ลำดับ สามารถจำแนกหาผู้มีปัญหาการลืมได้ถูกต้องจำนวน 27 คน และผิดพลาดไปจำนวน 8 คน

จากการจำแนกที่ได้จากโครงข่ายประสาทรูปแบบต่างๆ พนับว่าการจำแนกด้วยโครงข่าย
ประสาทรูปแบบที่ 1 ให้ผลดีกว่าการจำแนกด้วยโครงข่ายประสาทรูปแบบที่ 2 และรูปแบบที่ 3 ดังนี้
การจำแนกด้วยโครงข่ายประสาทรูปแบบที่ 1 ของกลุ่มกล้ามเนื้อถินและกลุ่มกล้ามเนื้อคือ มี
เปอร์เซ็นต์ความถูกต้อง 97% ส่วนการจำแนกด้วยโครงข่ายประสาทรูปแบบที่ 2 แบ่งเป็นของกลุ่ม
กล้ามเนื้อถิน มีเปอร์เซ็นต์ความถูกต้อง 91.4% และของกลุ่มกล้ามเนื้อคือ มีเปอร์เซ็นต์ความถูกต้อง
77.1% ส่วนการจำแนกด้วยโครงข่ายประสาทรูปแบบที่ 3 ของกลุ่มกล้ามเนื้อถินและกลุ่มกล้ามเนื้อ
คือ มีเปอร์เซ็นต์ความถูกต้อง 77.1% ตามลำดับ

บทที่ 5

ผลการทดลองโปรแกรมระบบตรวจวินิจฉัยผู้ป่วยที่มีปัญหาการกลืน

ในบทนี้จะกล่าวถึงผลการทดลองโปรแกรมระบบตรวจวินิจฉัยผู้ป่วยที่มีปัญหาการกลืนที่ได้ทำการออกแบบไว้ในบทที่ 2 และ 3 ใน การวิเคราะห์สัญญาณของงานวิจัยนี้จะนำข้อมูลสัญญาณไฟฟ้าจากกลุ่มกล้ามเนื้อลิ้น และกลุ่มกล้ามเนื้อคอ ขณะทำกิจกรรมการกลืนน้ำปริมาณ 5 มิลลิลิตรจากการบันทึกโดยใช้โปรแกรมระบบตรวจวินิจฉัยผู้ป่วยที่มีปัญหาการกลืน ผลการทดลองที่ได้จะแบ่งเป็น 3 ส่วน ดังนี้

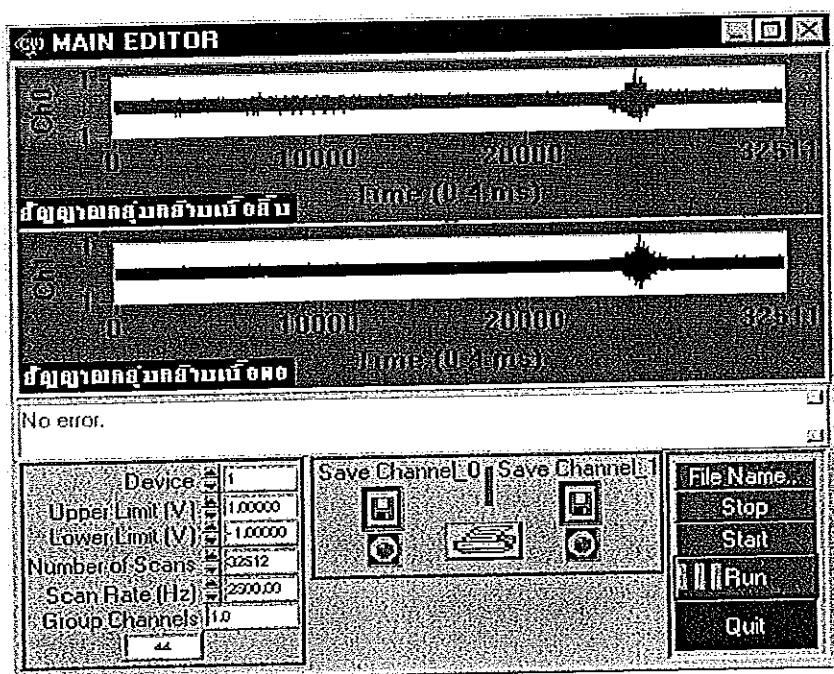
- 1) ผลการทดลองการใช้งานฟังก์ชันการทำงานต่างๆ ในโปรแกรม
- 2) ผลการทดลองโครงสร้างการทำงานและส่วนประกอบต่างๆ ของระบบตรวจวินิจฉัย
- 3) ผลการทดลองตรวจสอบความถูกต้อง แม่นยำ ของโปรแกรม

5.1 ผลการทดลองการใช้งานฟังก์ชันการทำงานต่างๆ ในโปรแกรม

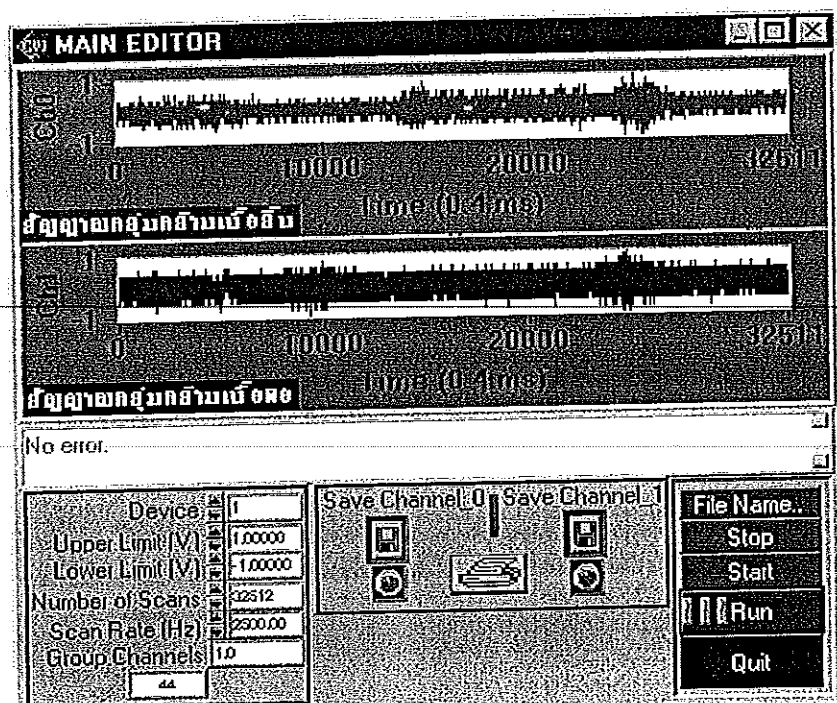
ผลการทดลองการใช้งานฟังก์ชันการทำงานต่างๆ ในโปรแกรมระบบตรวจวินิจฉัยผู้ป่วยที่มีปัญหาการกลืน จะเป็นการทดลองเพื่อตรวจสอบการทำงานของฟังก์ชันต่างๆ ในโปรแกรม ได้แก่ ฟังก์ชันการแสดงผล ฟังก์ชันการคำนวณทางคณิตศาสตร์ ฟังก์ชันการได้ตออบกับผู้ใช้ผ่านทางหน้าจอ ฟังก์ชันการตัดสินใจ โดยอัตโนมัติ เป็นต้น โดยการทดลองจะป้อนข้อมูลที่ได้จากการบันทึกโดย รศ.น.พ. วิชูร ลีภามานิตย์ ภาควิชาโสต นาสิกและลารингซ์วิทยา คณภาพแพทยศาสตร์ มหาวิทยาลัยสงขลานครินทร์ ซึ่งจะทำการบันทึกสัญญาณไฟฟ้าจากกลุ่มกล้ามเนื้อลิ้น และกลุ่มกล้ามเนื้อคอ จากอาสาสมัครที่มีปัญหาการกลืน และไม่มีปัญหาการกลืน ขณะทำกิจกรรมกลืนน้ำปริมาณ 5 มิลลิลิตร สำหรับโปรแกรมที่ได้มีรายละเอียดดังนี้

5.1.1 การแสดงผลสัญญาณกลุ่มกล้ามเนื้อผ่านทางหน้าจอการทำงานหลักของโปรแกรม

เมื่อทำการรันแฟ้ม AI_LOG.PRJ บนโปรแกรม LabWindows/CVI Ver. 4.0.1 และมีการป้อนข้อมูลสัญญาณไฟฟ้ากลุ่มกล้ามเนื้อลิ้นและกลุ่มกล้ามเนื้อคอที่ได้ทำการบันทึกไว้ให้กับโปรแกรม โปรแกรมจะเข้าสู่หน้าจอการทำงานหลัก ดังแสดงตัวอย่างในภาพประกอบ 5-1 และ 5-2

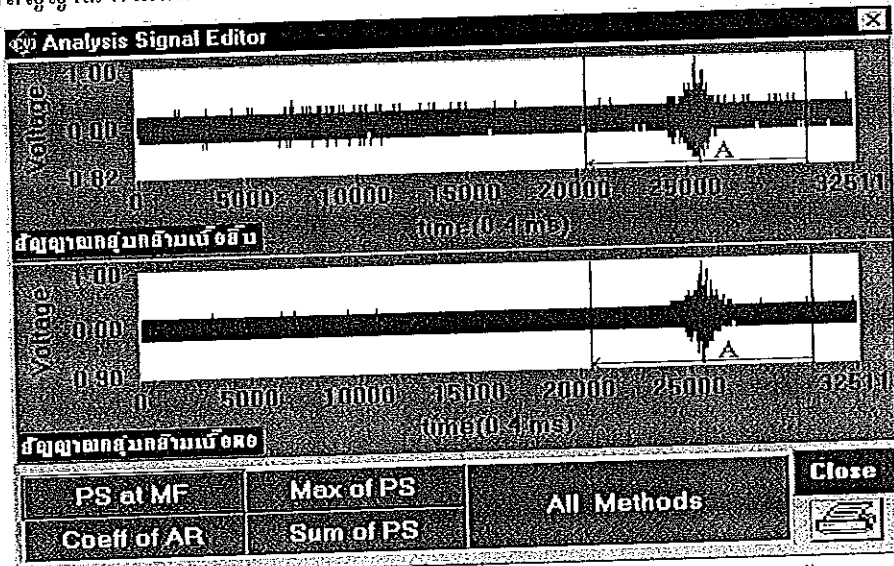


ภาพประกอบ 5-1 แสดงสัญญาณไฟฟ้าของกลุ่มกล้ามเนื้อคืนและกลุ่มกล้ามเนื้อคอกของคนปกติ (อาสาสมัครคนที่ 24) ในหน้าจอการทำงานหลักของโปรแกรม

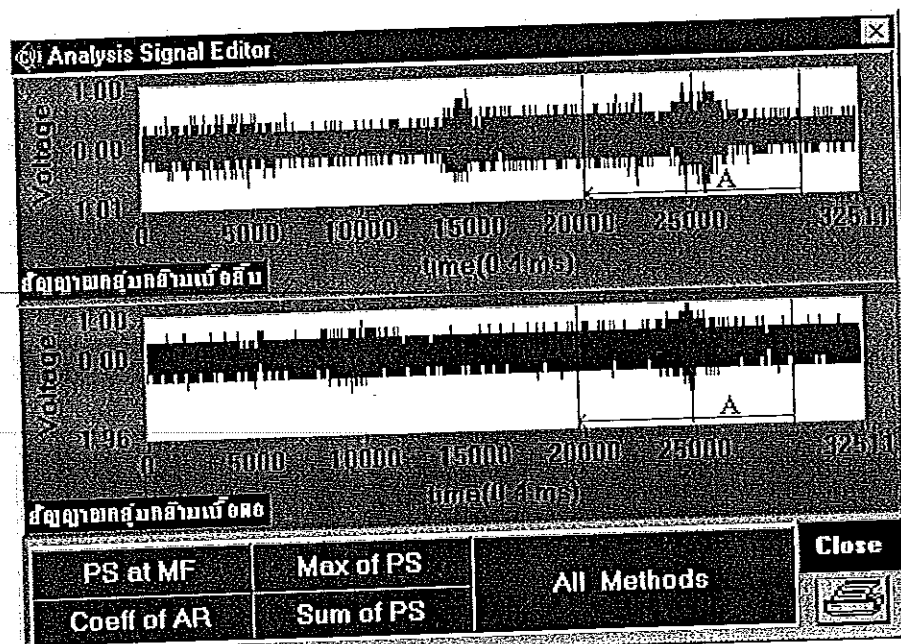


ภาพประกอบ 5-2 แสดงสัญญาณไฟฟ้าของกลุ่มกล้ามเนื้อคืนและกลุ่มกล้ามเนื้อคอกของผู้มีปัญหาการกลืน (อาสาสมัครคนที่ 29) ในหน้าจอการทำงานหลักของโปรแกรม

จากการประกอบ 5-1 และ 5-2 เมื่อทำการเลือกปุ่มคำสั่ง Run ก็จะเข้าสู่หน้าของการวิเคราะห์สัญญาณ ดังแสดงในภาพประกอบ 5-3 และ 5-4 ตามลำดับ



ภาพประกอบ 5-3 แสดงสัญญาณไฟฟ้าของกลุ่มคลื่นเนื้อคลื่นและกลุ่มคลื่นเนื้อคลื่นของคนปกติ (อาสาสมัครคนที่ 24) และช่วงสัญญาณไฟฟ้าที่เลือก (A) สำหรับวิธีการในบทที่ 3 หัวข้อ 3.1-3.4

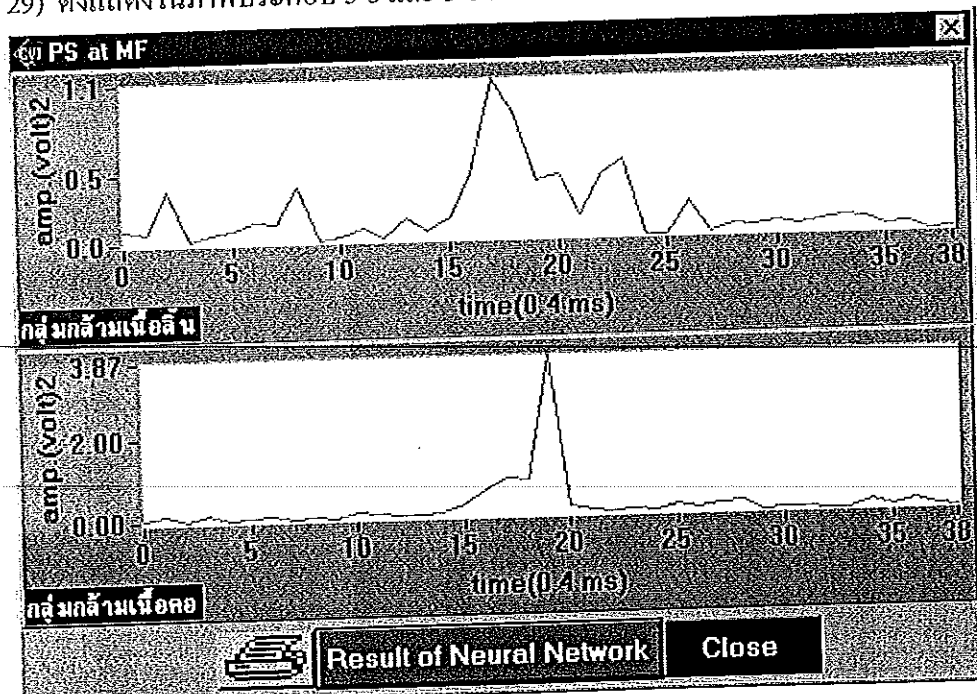


ภาพประกอบ 5-4 แสดงสัญญาณไฟฟ้าของกลุ่มคลื่นเนื้อคลื่นและกลุ่มคลื่นเนื้อคลื่นของผู้มีปัญหาการกลืน (อาสาสมัครคนที่ 29) และช่วงสัญญาณไฟฟ้าที่เลือก (A) สำหรับวิธีการในบทที่ 3 หัวข้อ 3.1-3.4

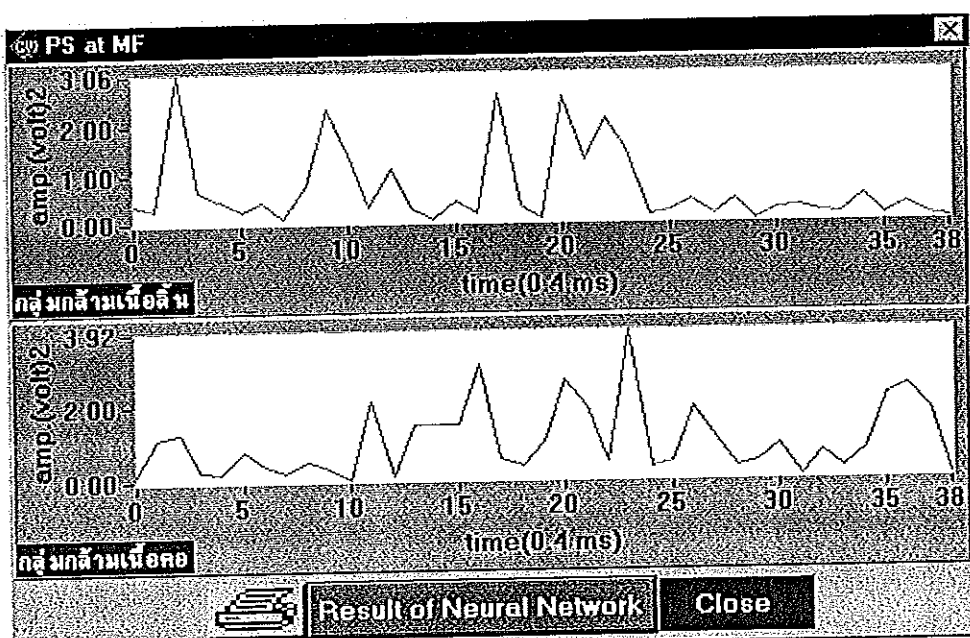
ผลการทดลองจากการใช้วิธีการทางคณิตศาสตร์ในหน้าจอการวิเคราะห์สัญญาณ ซึ่งการวิเคราะห์สัญญาณจะใช้การเขียนโปรแกรม LabWindows/CVI for Windows Ver. 4.0.1 มาทำการวิเคราะห์ในแกนความถี่ โดยจะทำการคำนวณดังนี้ที่ก่อตัวในบทที่ 3 ในหัวข้อที่ 3.1-3.4 กับสัญญาณไฟฟ้ากลุ่มกล้ามเนื้อลิ้นและกลุ่มกล้ามเนื้อคอ ค่าต่างๆ ที่ได้จากการผลการทดลอง มีดังนี้

5.1.2 ผลการทดลองคำนวณหาค่าความหนาแน่นของกำลังเชิงสเปกตรัมที่ความถี่มีเดียน

จากการทดลองโปรแกรม โดยทำการเลือกปุ่มคำสั่ง PS at MF ในหน้าจอการวิเคราะห์สัญญาณพบว่า โปรแกรมจะคำนวณหาค่าความหนาแน่นของกำลังเชิงสเปกตรัมที่ความถี่มีเดียนตามหัวข้อ 3.1 โดยทำการวิเคราะห์สัญญาณไฟฟ้าจากสัญญาณไฟฟ้ากลุ่มกล้ามเนื้อลิ้น และกลุ่มกล้ามเนื้อคอ โดยเลือกช่วงสัญญาณมาคำนวณจำนวน 9984 จุด และกรองความถี่ด้วยตัวกรองແบอนผ่านที่มีช่วงความถี่ 10-500 Hz การคำนวณจะแบ่งช่วงการคำนวณช่วงละ 256 จุด จำนวน 39 ช่วง และมีตัวอย่างผลการคำนวณของคนปกติ (อาสาสมัครคนที่ 24) และผู้มีปัญหาการกัดลิ้น (อาสาสมัครคนที่ 29) ดังแสดงในภาพประกอบ 5-5 และ 5-6 ตามลำดับ

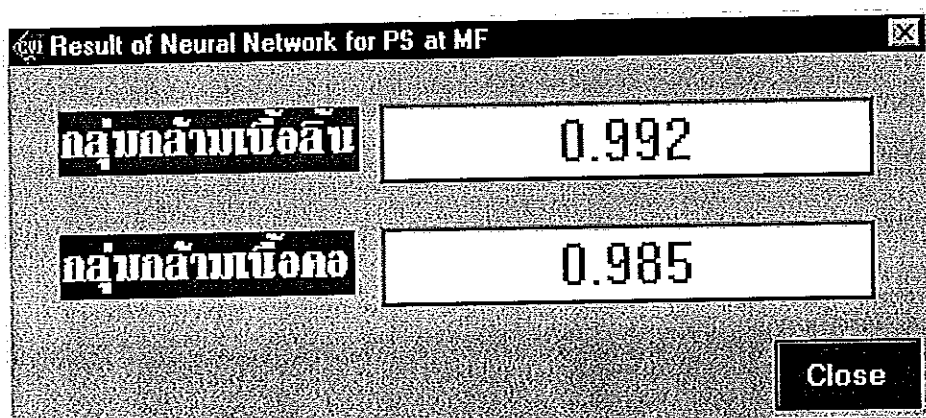


ภาพประกอบ 5-5 แสดงตัวอย่างผลที่ได้จากการคำนวณหาค่าความหนาแน่นของกำลังเชิงสเปกตรัมที่ความถี่มีเดียนของสัญญาณไฟฟ้ากลุ่มกล้ามเนื้อลิ้นและกลุ่มกล้ามเนื้อคอของคนปกติ (อาสาสมัครคนที่ 24)

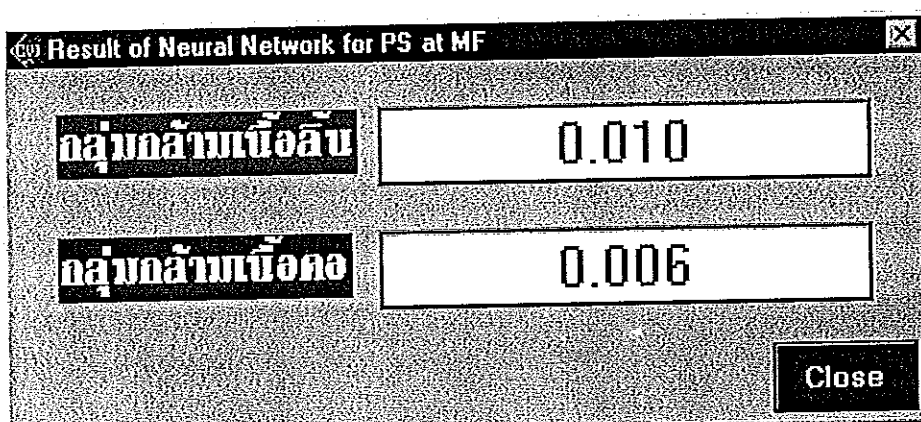


ภาพประกอบ 5-6 แสดงตัวอย่างผลที่ได้จากการคำนวณหาค่าความหนาแน่นของกำลังเชิงเส้นปกติ รวมที่ความถี่มีเดียนของสัญญาณไฟฟ้ากลุ่มกล้ามเนื้อถันและกลุ่มกล้ามเนื้อคอของผู้มีปัญหาการคลื่น (อาสาสมัครคนที่ 29)

เมื่อทำการเลือกปุ่มคำสั่ง Result of Neural Network ในภาพประกอบ 5-5 และ 5-6 โปรแกรมจะทำการจำแนกด้วยวิธีโครงข่ายประสาทต่อไป ซึ่งมีตัวอย่างผลการจำแนกด้วยวิธีโครงข่ายประสาทของกลุ่มกล้ามเนื้อถันและกลุ่มกล้ามเนื้อคอของคนปกติ (อาสาสมัครคนที่ 24) และตัวอย่างผลการจำแนกด้วยวิธีโครงข่ายประสาทของกลุ่มกล้ามเนื้อถันและกลุ่มกล้ามเนื้อคอของผู้มีปัญหาการคลื่น (อาสาสมัครคนที่ 29) โดยใช้พารามิเตอร์ที่ได้จากการคำนวณด้วยวิธี PS at MF ของกลุ่มกล้ามเนื้อถันและกลุ่มกล้ามเนื้อคอ แสดงในภาพประกอบ 5-7 และ 5-8 ตามลำดับ



ภาพประกอบ 5-7 แสดงผลการจำแนกด้วยโครงข่ายประสาทกับพารามิเตอร์ที่ได้จากการคำนวณ
หาค่าความหนาแน่นของกล้ามเนื้อสันและกล้ามเนื้อหลังที่ความถี่มีเดียนของสัญญาณไฟฟ้า
กลุ่มกล้ามเนื้อสันและกล้ามเนื้อหลังของคนปกติ (อาสาสมัครคนที่ 24)

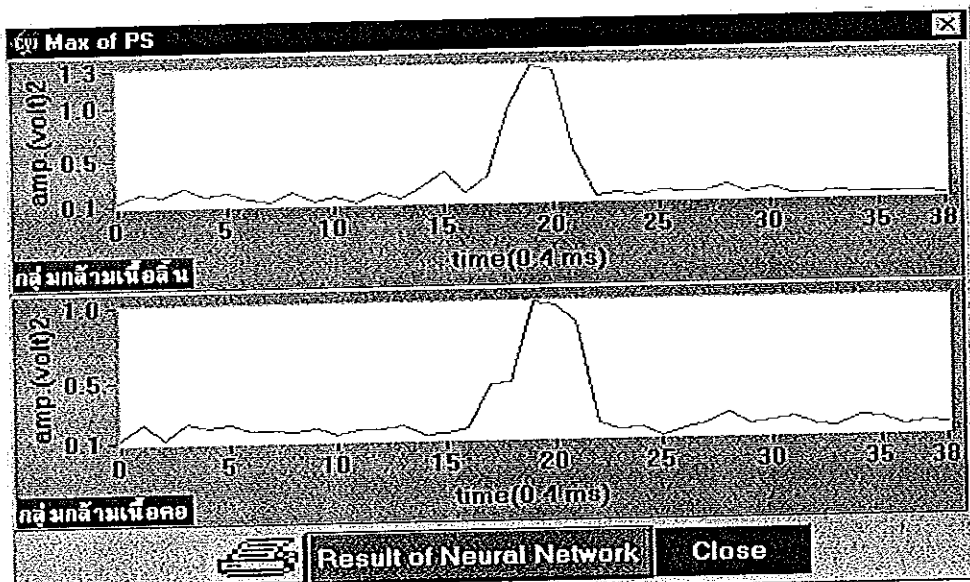


ภาพประกอบ 5-8 แสดงผลการจำแนกด้วยโครงข่ายประสาทกับพารามิเตอร์ที่ได้จากการคำนวณ
หาค่าความหนาแน่นของกล้ามเนื้อสันและกล้ามเนื้อหลังที่ความถี่มีเดียนของสัญญาณไฟฟ้า
กลุ่มกล้ามเนื้อสันและกล้ามเนื้อหลังของผู้มีปัญหาการกลืน (อาสาสมัครคนที่ 29)

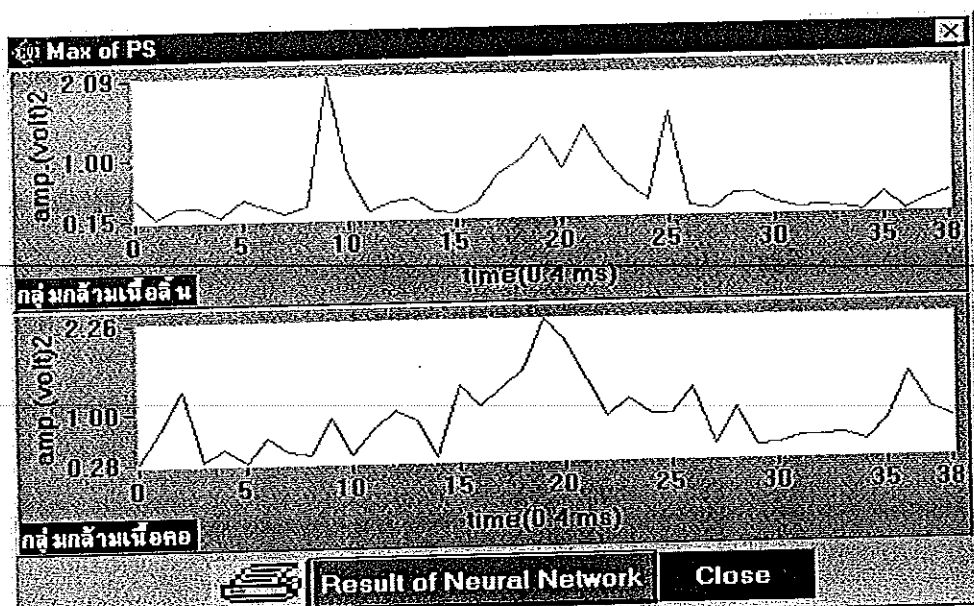
5.1.3 ผลการทดลองคำนวณหาค่าสูงสุดของความหนาแน่นของกล้ามเนื้อสัน

จากการทดลองโปรแกรม โดยทำการเลือกปุ่มค่าสั้ง Max of PS ในหน้าจอการวิเคราะห์
สัญญาณพบว่า โปรแกรมจะคำนวณหาค่าสูงสุดของความหนาแน่นของกล้ามเนื้อสันจาก
สัญญาณไฟฟ้ากกลุ่มกล้ามเนื้อสันและกลุ่มกล้ามเนื้อหลัง โดยเลือกช่วงสัญญาณมาคำนวณจำนวน
9984 จุด และการคำนวณจะแบ่งช่วงการคำนวณช่วงละ 256 จุด จำนวน 39 ช่วง ซึ่งมีตัวอย่างผลการ

คำนวณของคนปกติ (อาสาสมัครคนที่ 24) และผู้มีปัญหาการกลืน (อาสาสมัครคนที่ 29) ดังแสดงในภาพประกอบ 5-9 และ 5-10 ตามลำดับ

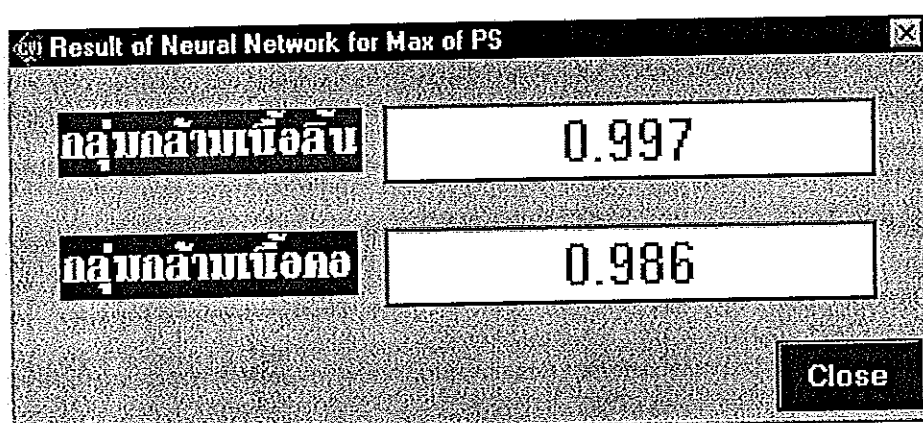


ภาพประกอบ 5-9 แสดงตัวอย่างผลที่ได้จากการคำนวณหาค่าสูงสุดของความหนาแน่นของกำลังเสียงสเปกตรัมของสัญญาณไหไฟกกลุ่มกล้ามเนื้อคิ้นและกลุ่มกล้ามเนื้อคอของคนปกติ (อาสาสมัครคนที่ 24)

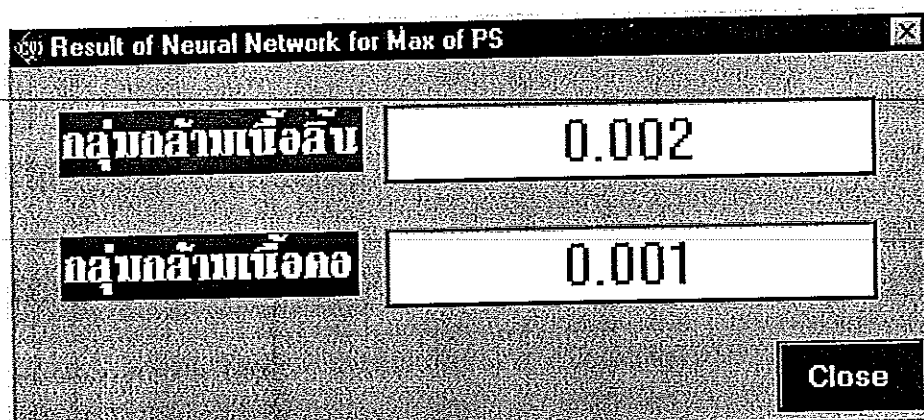


ภาพประกอบ 5-10 แสดงตัวอย่างผลที่ได้จากการคำนวณหาค่าสูงสุดของความหนาแน่นของกำลังเสียงสเปกตรัมของสัญญาณไหไฟกกลุ่มกล้ามเนื้อคิ้นและกลุ่มกล้ามเนื้อคอของผู้มีปัญหาการกลืน (อาสาสมัครคนที่ 29)

เมื่อทำการเลือกปุ่มคำสั่ง Result of Neural Network ในภาพประกอบ 5-9 และ 5-10 โปรแกรมจะทำการจำแนกด้วยวิธีโครงข่ายประสาทต่อไป ซึ่งมีตัวอย่างผลการจำแนกด้วยวิธีโครงข่ายประสาทของกลุ่มกล้ามเนื้อดินและกลุ่มกล้ามเนื้อคอของคนปกติ (อาสาสมัครคนที่ 24) และตัวอย่างผลการจำแนกด้วยวิธีโครงข่ายประสาทของกลุ่มกล้ามเนื้อดินและกลุ่มกล้ามเนื้อคอของผู้มีปัญหาการกลืน (อาสาสมัครคนที่ 29) โดยใช้พารามิเตอร์ที่ได้จากการคำนวณด้วยวิธี Max of PS ของกลุ่มกล้ามเนื้อดินและกลุ่มกล้ามเนื้อคอ แสดงในภาพประกอบ 5-11 และ 5-12 ตามลำดับ



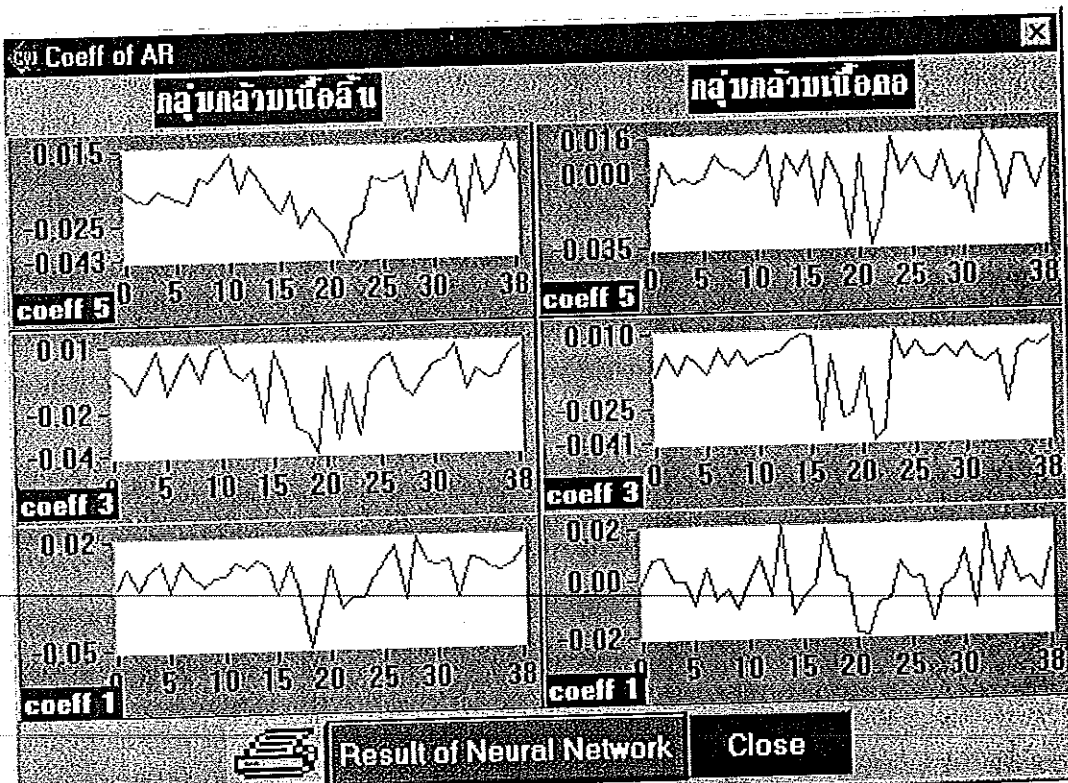
ภาพประกอบ 5-11 แสดงผลการจำแนกด้วยโครงข่ายประสาทกับพารามิเตอร์ที่ได้จากการคำนวณ หาค่าสูงสุดของความหนาแน่นของกำลังเชิงสเปกตรัมของสัญญาณไฟฟ้ากลุ่มกล้ามเนื้อดินและกลุ่มกล้ามเนื้อคอของคนปกติ (อาสาสมัครคนที่ 24)



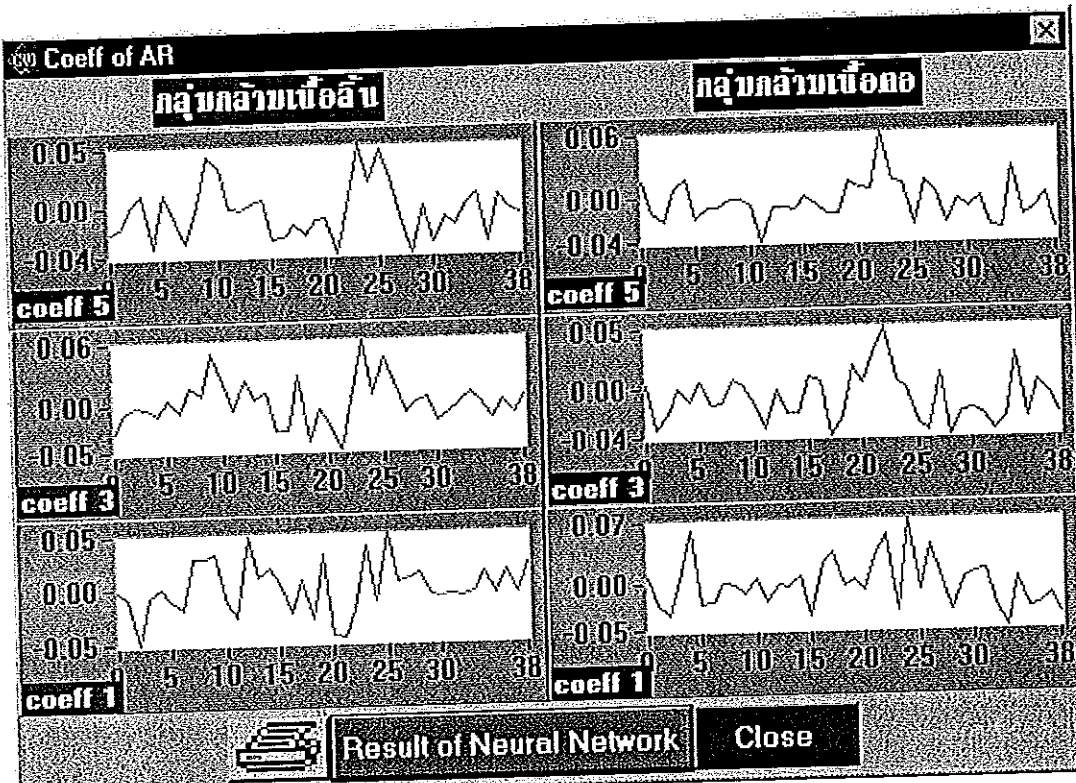
ภาพประกอบ 5-12 แสดงผลการจำแนกด้วยโครงข่ายประสาทกับพารามิเตอร์ที่ได้จากการคำนวณ หาค่าสูงสุดของความหนาแน่นของกำลังเชิงสเปกตรัมของสัญญาณไฟฟ้ากลุ่มกล้ามเนื้อดินและกลุ่มกล้ามเนื้อคอของผู้มีปัญหาการกลืน(อาสาสมัครคนที่29)

5.1.4 ผลการทดลองคำนวณหาค่าสัมประสิทธิ์ของออโตรีเกรสซีฟไมโคร

จากการทดลองโปรแกรม โดยทำการเลือกปุ่มคำสั่ง Coeff of AR ในหน้าจอการวิเคราะห์สัญญาณพบว่า โปรแกรมจะคำนวณหาค่าสัมประสิทธิ์ของออโตรีเกรสซีฟลำดับที่ 1, 3 และ 5 จากสัญญาณไฟฟ้ากลุ่มกล้ามเนื้อลิ้นและกลุ่มกล้ามเนื้อกอ โดยเลือกช่วงสัญญาณมาคำนวณจำนวน 9984 จุด และกรองความถี่ด้วยตัวกรองความถี่ต่ำที่ความถี่ 300 Hz การคำนวณจะแบ่งช่วงการคำนวณช่วงละ 256 จุด จำนวน 39 ช่วง ซึ่งมีตัวอย่างผลการคำนวณของคนปกติ (อาสาสมัครคนที่ 24) และผู้มีปัญหาการกลืน (อาสาสมัครคนที่ 29) แสดงในภาพประกอบ 5-13 และ 5-14 ตามลำดับ

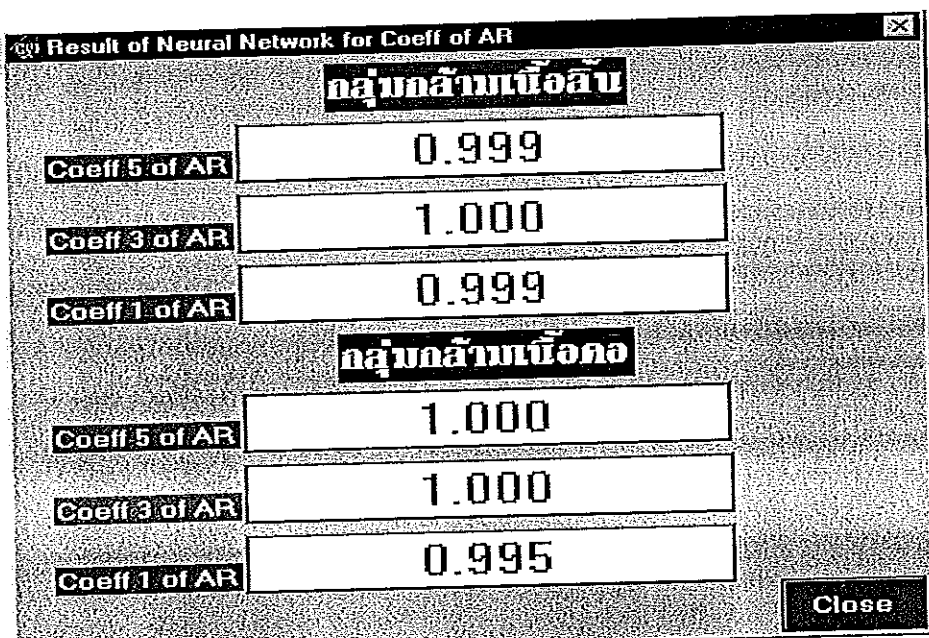


ภาพประกอบ 5-13 แสดงตัวอย่างผลที่ได้จากการคำนวณหาค่าสัมประสิทธิ์ของออโตรีเกรสซีฟ ลำดับที่ 1, 3 และ 5 ของสัญญาณไฟฟ้ากลุ่มกล้ามเนื้อลิ้นและกลุ่มกล้ามเนื้อกอของคนปกติ (อาสาสมัครคนที่ 24)

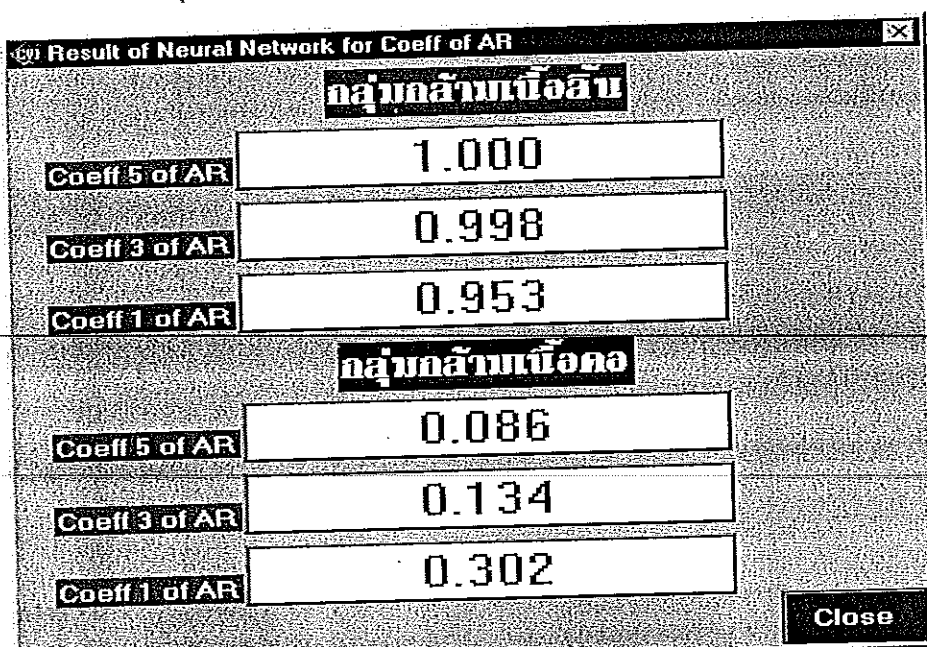


ภาพประกอบ 5-14 แสดงตัวอย่างผลที่ได้จากการคำนวณหาค่าสัมประสิทธิ์ของอัตรากำลังที่
ลำดับที่ 1, 3 และ 5 ของสัญญาณไฟฟ้ากลุ่มกล้ามเนื้อดินและกลุ่มกล้ามเนื้อ
ของผู้มีปัญหาการกลืน (อาสาสมัครคนที่ 29)

เมื่อทำการเดือยปูมคำสั่ง Result of Neural Network ในภาพประกอบ 5-13 และ 5-14
โปรแกรมจะทำการจำแนกด้วยวิธีโครงข่ายประสาทต่อไป ซึ่งมีตัวอย่างผลการจำแนกด้วยวิธีโครง
ข่ายประสาทของกลุ่มกล้ามเนื้อดินและกลุ่มกล้ามเนื้อของชัยคนบากติ (อาสาสมัครคนที่ 24) และตัว
อย่างผลการจำแนกด้วยวิธีโครงข่ายประสาทของกลุ่มกล้ามเนื้อดินและกลุ่มกล้ามเนื้อของผู้มี
ปัญหาการกลืน (อาสาสมัครคนที่ 29) โดยใช้พารามิเตอร์ที่ได้จากการคำนวณด้วยวิธี Coeff of AR
สัมประสิทธิ์ลำดับที่ 1, 3 และ 5 ของกลุ่มกล้ามเนื้อดินและกลุ่มกล้ามเนื้อคอ แสดงในภาพประกอบ
5-15 และ 5-16 ตามลำดับ



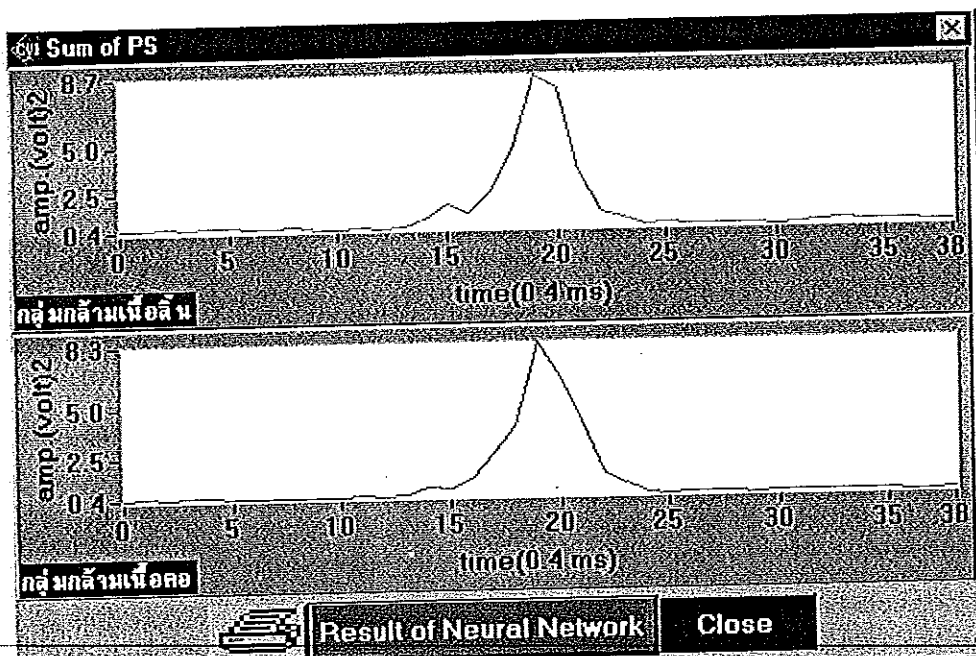
ภาพประกอบ 5-15 แสดงผลการจำแนกด้วยโกรงข่ายประสาทกับพารามิเตอร์ที่ได้จากการคำนวณ
หากค่าสัมประสิทธิ์ของออโตรีเกรสซึ่ฟลำดับที่ 1, 3 และ 5 ของสัญญาณไฟฟ้า
กลุ่มกล้ามเนื้อลื่นและกลุ่มกล้ามเนื้อคอกของคนปกติ (อาสาสมัครคนที่ 24)



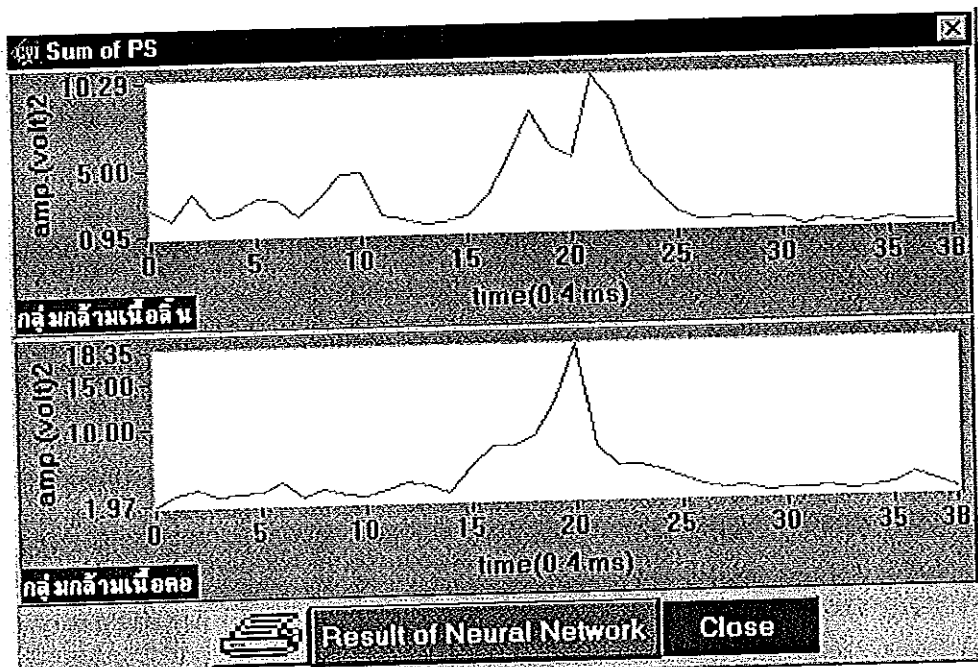
ภาพประกอบ 5-16 แสดงผลการจำแนกด้วยโกรงข่ายประสาทกับพารามิเตอร์ที่ได้จากการคำนวณ
หากค่าสัมประสิทธิ์ของออโตรีเกรสซึ่ฟลำดับที่ 1, 3, 5 ของสัญญาณไฟฟ้ากลุ่น
กล้ามเนื้อลื่นและกลุ่มกล้ามเนื้อคอกของผู้มีปัญหาการกลืน(อาสาสมัครคนที่ 29)

5.1.5 ผลการทดสอบคำนวณหาค่ากำลังของสัญญาณไฟฟ้าช่วงการคลื่น

จากการทดสอบโปรแกรม โดยทำการเลือกปุ่มคำสั่ง Sum of PS ในหน้าจอการวิเคราะห์สัญญาณพบว่า โปรแกรมจะคำนวณหาค่ากำลังของสัญญาณไฟฟ้าช่วงการคลื่น จากสัญญาณไฟฟ้ากลุ่มกล้ามเนื้อดันและกลุ่มกล้ามเนื้อคอ โดยเลือกช่วงสัญญาณมาคำนวณจำนวน 9984 จุด และกรองความถี่ด้วยตัวกรองความถี่ต่ำ ที่ช่วงความถี่ 10-500 Hz การคำนวณจะแบ่งช่วงการคำนวณช่วงละ 256 จุด จำนวน 39 ช่วง ซึ่งมีตัวอย่างผลการคำนวณของคนปกติ (อาสาสมัครคนที่ 24) และผู้มีปัญหาการคลื่น (อาสาสมัครคนที่ 29) แสดงในภาพประกอบ 5-17 และ 5-18 ตามลำดับ



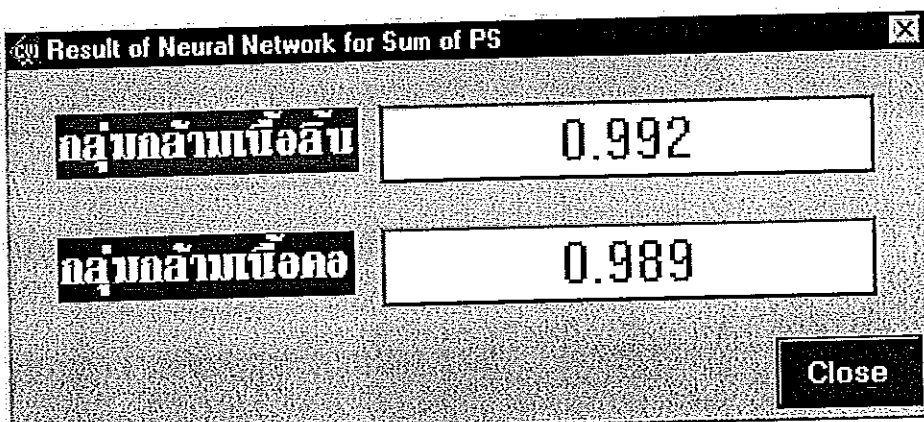
ภาพประกอบ 5-17 แสดงตัวอย่างผลที่ได้จากการคำนวณหาค่ากำลังของสัญญาณไฟฟ้าช่วงการคลื่น ของสัญญาณไฟฟ้ากลุ่มกล้ามเนื้อดันและกลุ่มกล้ามเนื้อคอของคนปกติ (อาสาสมัครคนที่ 24)



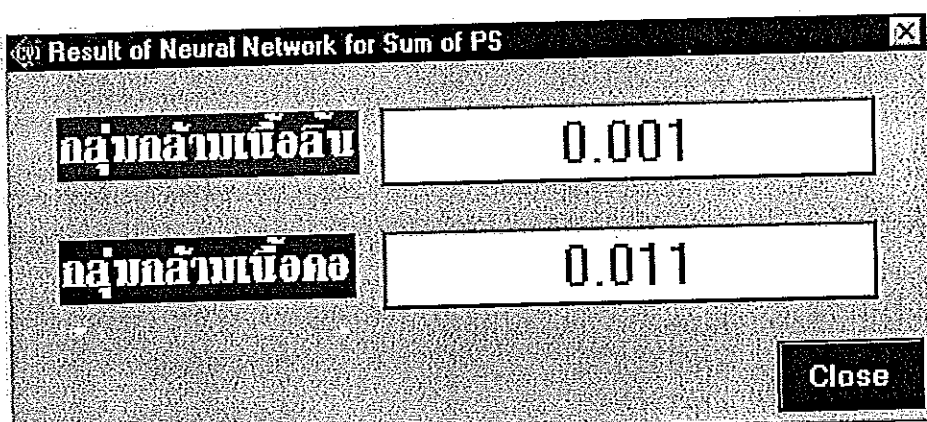
ภาพประกอบ 5-18 แสดงตัวอย่างผลที่ได้จากการคำนวณหาค่ากำลังของสัญญาณไฟฟ้าช่วงการกลืนของสัญญาณไฟฟ้ากลุ่มกล้ามนีอ dein และกลุ่มกล้ามนีอ colo ของผู้มีปัญหาการกลืน (อาสาสมัครคนที่ 29)

เมื่อทำการเลือกปุ่มคำสั่ง Result of Neural Network ในภาพประกอบ 5-17 และ 5-18 โปรแกรมจะทำการจำแนกด้วยวิธีโครงข่ายประสาทต่อไป ซึ่งมีตัวอย่างผลการจำแนกด้วยวิธีโครงข่ายประสาทของกลุ่มกล้ามนีอ dein และกลุ่มกล้ามนีอ colo ของคนปกติ (อาสาสมัครคนที่ 24) และตัวอย่างผลการจำแนกด้วยวิธีโครงข่ายประสาทของกลุ่มกล้ามนีอ dein และกลุ่มกล้ามนีอ colo ของผู้มีปัญหาการกลืน (อาสาสมัครคนที่ 29) โดยใช้พารามิเตอร์ที่ได้จากการคำนวณค่าวิธี Sum-of-PS

ของกลุ่มกล้ามนีอ dein และกลุ่มกล้ามนีอ colo แสดงในภาพประกอบ 5-19 และ 5-20 ตามลำดับ



ภาพประกอบ 5-19 แสดงผลการจำแนกด้วยโกรงข่ายประสาทกั้มพารามิเตอร์ที่ได้จากการคำนวณหาค่ากำลังของสัญญาณไฟฟ้าช่วงการกลืนของสัญญาณไฟฟ้ากลุ่มกล้ามเนื้อดื่นและกลุ่มกล้ามเนื้อคอกของคนปกติ (อาสาสมัครคนที่ 24)

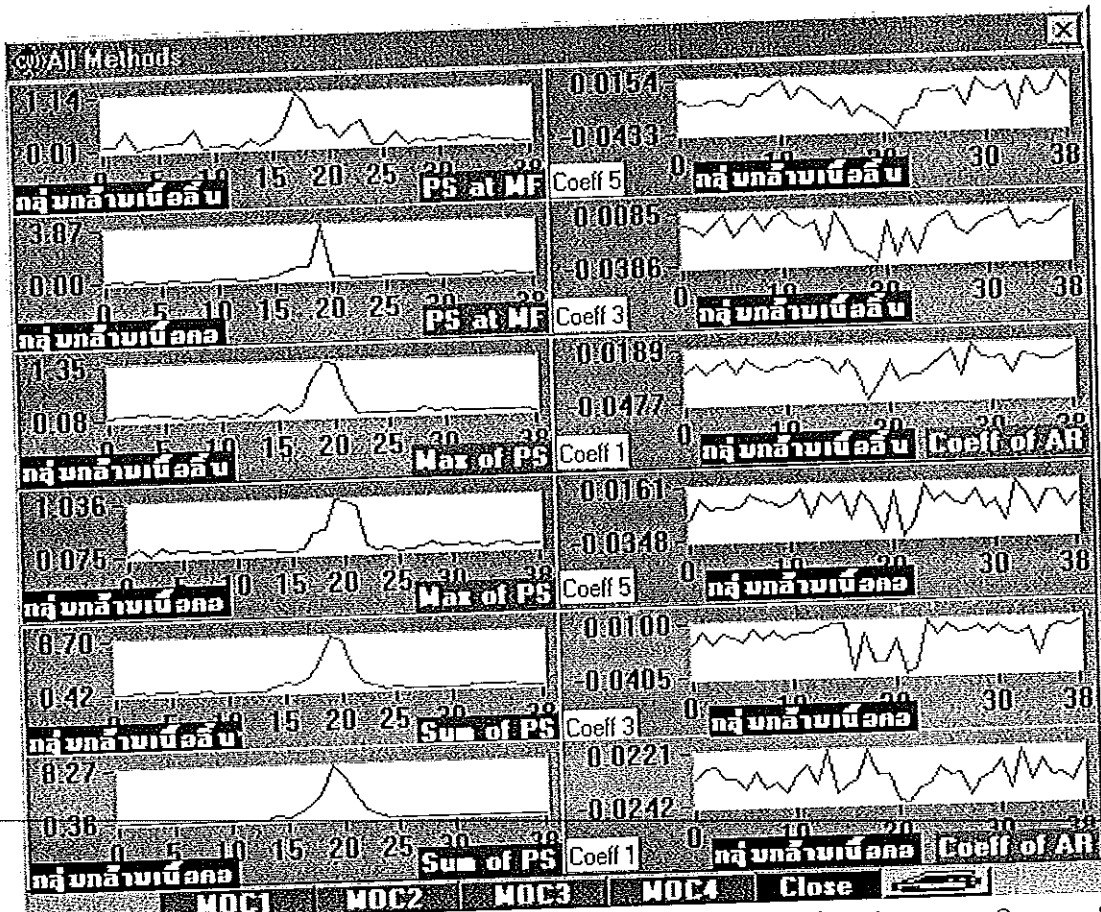


ภาพประกอบ 5-20 แสดงผลการจำแนกด้วยโกรงข่ายประสาทกั้มพารามิเตอร์ที่ได้จากการคำนวณหาค่ากำลังของสัญญาณไฟฟ้าช่วงการกลืนของสัญญาณไฟฟ้ากลุ่มกล้ามเนื้อดื่นและกลุ่มกล้ามเนื้อคอกของผู้มีปัญหาการกลืน (อาสาสมัครคนที่ 29)

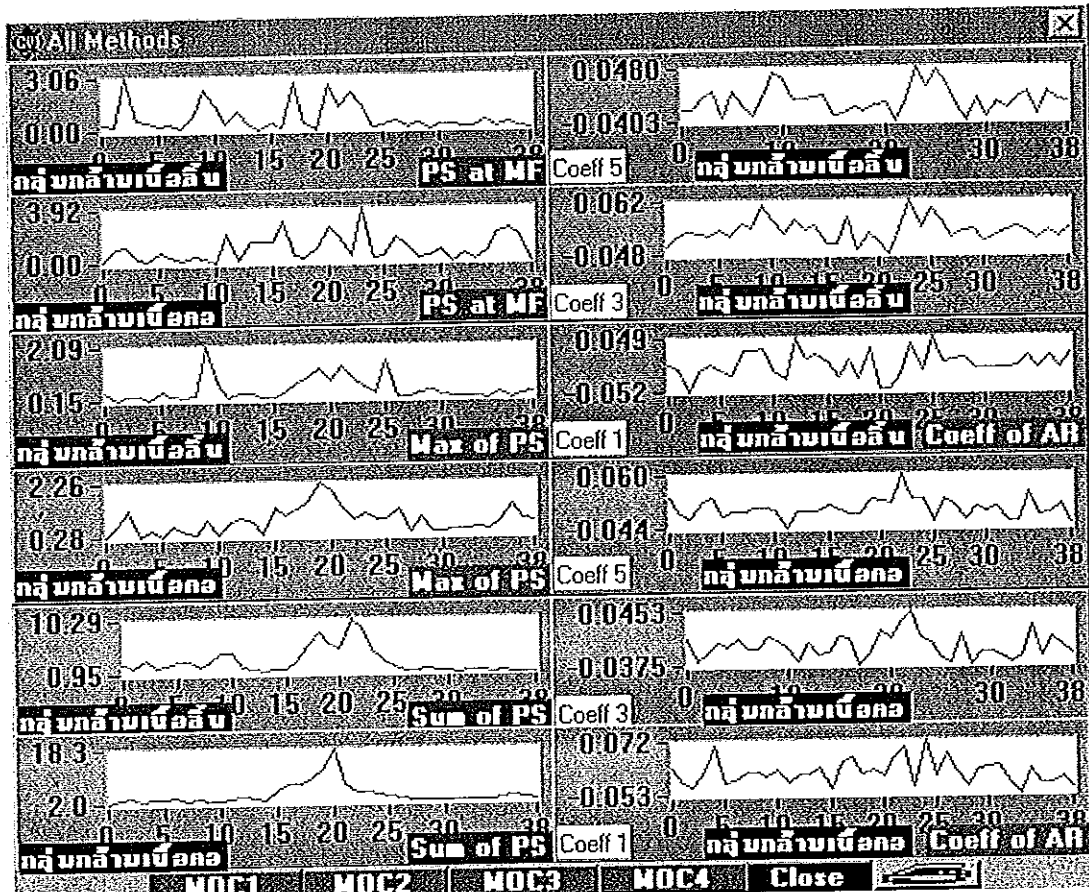
5.1.6 ผลการทดลองคำนวณหาค่าต่างๆด้วยวิธีการทางคณิตศาสตร์พร้อมกันทั้งหมด 4 วิธี

จากการทดลองโปรแกรม โดยทำการเลือกปุ่มคำสั่ง All Methods ในหน้าจอการวิเคราะห์สัญญาณพบว่า โปรแกรมจะคำนวณหาค่าต่างๆ ด้วยวิธีการทางคณิตศาสตร์พร้อมกันทั้งหมด 4 วิธี ได้แก่ วิธี PS at MF, Max of PS, Coeff of AR และ Sum of PS จากสัญญาณไฟฟ้ากลุ่มกล้ามเนื้อดื่น และกลุ่มกล้ามเนื้อ โดยเลือกช่วงสัญญาณมาคำนวณจำนวน 9984 จุด และกรองความถี่ด้วยตัวกรองแบบผ่านที่มีช่วงความถี่ 10-500 Hz สำหรับวิธีการ PS at MF กรองความถี่ด้วยตัวกรองความถี่ต่ำที่

ความถี่ 300 Hz สำหรับวิธีการ Coeff of AR และกรองความถี่ด้วยตัวกรองความถี่ต่ำที่ช่วงความถี่ 10-500 Hz สำหรับวิธีการ Sum of PS ส่วนวิธีการ Max of PS จะไม่มีการกรองความถี่ ต่อจากนั้นจะทำการคำนวณโดยการแบ่งช่วงการคำนวณช่วงละ 256 จุด จำนวน 39 ช่วง และมีตัวอย่างผลการคำนวณของคนปกติ (อาสาสมัครคนที่ 24) และผู้มีปัญหาการกลืน (อาสาสมัครคนที่ 29) ดังแสดงในภาพประกอบ 5-21 และ 5-22 ตามลำดับ



ภาพประกอบ 5-21 แสดงตัวอย่างผลที่ได้จากการคำนวณหาค่าต่างๆ ด้วยวิธีการทางคอมพิวเตอร์ พร้อมกันทั้งหมด 4 วิธี ของสัญญาณไฟฟ้ากลุ่มกล้ามเนื้อคลินและกลุ่มกล้ามเนื้อคอของคนปกติ (อาสาสมัครคนที่ 24)



ภาพประกอบ 5-22 แสดงตัวอย่างผลที่ได้จากการคำนวณหาค่าต่างๆ ด้วยวิธีการทางคณิตศาสตร์ พร้อมกันทั้งหมด 4 วิธี ของสัญญาณไฟฟ้ากลุ่มกล้ามเนื้อถื้นและกลุ่มกล้ามเนื้อของผู้มีปัญหาการกลืน (อาสาสมัครคนที่ 29)

เมื่อทำการเดือกดูปุ่มคำสั่ง MOC1 ในภาพประกอบ 5-21 และ 5-22 โปรแกรมจะทำการจำแนกด้วยวิธีโครงข่ายประสาทรูปแบบที่ 1 ซึ่งมีตัวอย่างผลการจำแนกด้วยโครงข่ายประสาทรูปแบบที่ 1 ของกลุ่มกล้ามเนื้อถื้นและกลุ่มกล้ามเนื้อของคนปกติ (อาสาสมัครคนที่ 24) และตัวอย่างผลการจำแนกด้วยโครงข่ายประสาทรูปแบบที่ 1 ของกลุ่มกล้ามเนื้อถื้นและกลุ่มกล้ามเนื้อของผู้ที่มีปัญหาการกลืน (อาสาสมัครคนที่ 29) โดยใช้พารามิเตอร์ที่ได้จากการคำนวณด้วยวิธีการทางคณิตศาสตร์ทั้ง 4 วิธี ได้แก่ วิธี PS at MF, Max of PS, Coeff 5 of AR และ Sum of PS ของกลุ่มกล้ามเนื้อถื้นและกลุ่มกล้ามเนื้อของ ดังแสดงในภาพประกอบ 5-23 และ 5-24 ตามลำดับ

Method of Classification 1			
PS at MF	Max of PS	Coeff 5 of AR	Sum of PS
กลุ่มกล้ามเนื้อฉัน	0.997	0.999	0.992
กลุ่มกล้ามเนื้อฉ้อด	0.986	1.000	0.989
กลุ่มกล้ามเนื้อฉัน	1	1	1
กลุ่มกล้ามเนื้อฉ้อด	1	1	1

Result of Classification			
PS at MF	Max of PS	Coeff 5 of AR	Sum of PS
กลุ่มกล้ามเนื้อฉัน	1	1	1
กลุ่มกล้ามเนื้อฉ้อด	1	1	1

ผลการวินิจฉัย **NORMAL** | Close

ภาพประกอบ 5-23 แสดงผลการจำแนกด้วยโครงข่ายประสาทรูปแบบที่ 1 กับพารามิเตอร์ที่ได้จาก การคำนวณหาค่าต่างๆ ด้วยวิธีการทางคณิตศาสตร์ทั้ง 4 วิธี ของสัญญาณไฟฟ้า กลุ่มกล้ามเนื้อฉันและกลุ่มกล้ามเนื้อฉ้อด รวมทั้งผลการวินิจฉัยที่ได้ของคนปกติ (อาสาสมัครคนที่ 24)

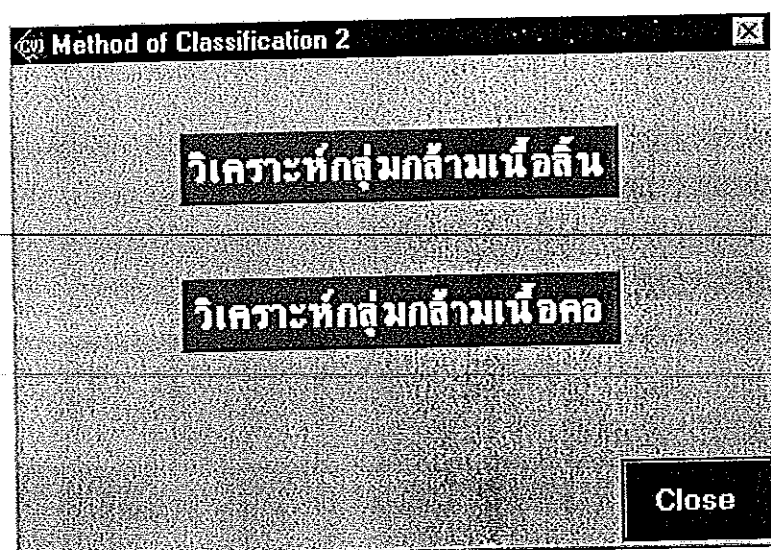
Method of Classification 1			
PS at MF	Max of PS	Coeff 5 of AR	Sum of PS
กลุ่มกล้ามเนื้อฉัน	0.002	1.000	0.001
กลุ่มกล้ามเนื้อฉ้อด	0.001	0.086	0.011
กลุ่มกล้ามเนื้อฉัน	0	1	0
กลุ่มกล้ามเนื้อฉ้อด	0	0	0

Result of Classification			
PS at MF	Max of PS	Coeff 5 of AR	Sum of PS
กลุ่มกล้ามเนื้อฉัน	0	1	0
กลุ่มกล้ามเนื้อฉ้อด	0	0	0

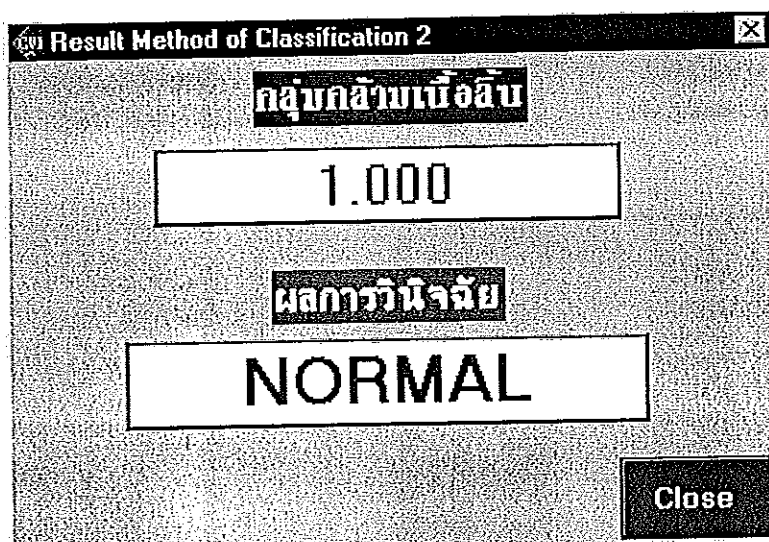
ผลการวินิจฉัย **PATIENT** | Close

ภาพประกอบ 5-24 แสดงผลการจำแนกด้วยโครงข่ายประสาทรูปแบบที่ 1 กับพารามิเตอร์ที่ได้จาก การคำนวณหาค่าต่างๆ ด้วยวิธีการทางคณิตศาสตร์ทั้ง 4 วิธี ของสัญญาณไฟฟ้า กลุ่มกล้ามเนื้อฉันและกลุ่มกล้ามเนื้อฉ้อด รวมทั้งผลการวินิจฉัยที่ได้ของผู้ที่มี ปัญหาการกลืน (อาสาสมัครคนที่ 29)

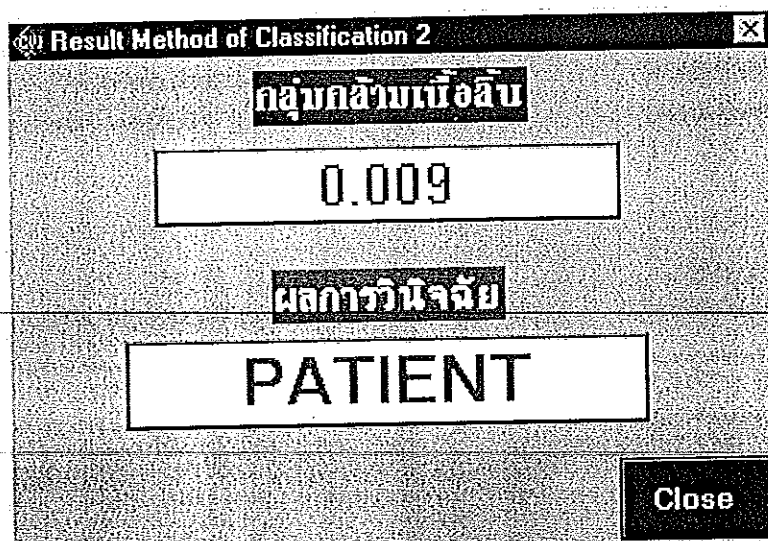
เมื่อทำการเลือกปุ่มคำสั่ง MOC2 ในภาพประกอบ 5-21 และ 5-22 โปรแกรมจะเข้าสู่หน้าของการทำงาน Method of Classification 2 ดังแสดงในภาพประกอบ 5-25 และเมื่อทำการเลือกปุ่มคำสั่งวิเคราะห์กลุ่มกล้ามเนื้อดิน โปรแกรมจะเข้าสู่หน้าของการทำงาน Result Method of Classification 2 แสดงในภาพประกอบ 5-26 และ 5-27 ซึ่งจะเป็นการจำแนกด้วยวิธีโครงข่ายประสาทรูปแบบที่ 2 แสดงในภาพประกอบ 5-26 และ 5-27 ซึ่งจะเป็นการจำแนกด้วยวิธีโครงข่ายประสาทรูปแบบที่ 2 กับพารามิเตอร์ที่ได้จากการคำนวณด้วยวิธีการทางคณิตศาสตร์พร้อมกันทั้งหมด 4 วิธี ได้แก่ วิธี PS at MF, Max of PS, Coeff 5 of AR และ Sum of PS โดยนำพารามิเตอร์ที่ได้ทั้งหมดมาเรียงรวมกันตามลำดับ ของกลุ่มกล้ามเนื้อดิน และเมื่อทำการเลือกปุ่มคำสั่งวิเคราะห์กลุ่มกล้ามเนื้อคอก โปรแกรมจะเข้าสู่หน้าของการทำงาน Result Method of Classification 2 แสดงในภาพประกอบ 5-28 และ 5-29 ซึ่งจะเป็นการจำแนกด้วยโครงข่ายประสาทรูปแบบที่ 2 กับพารามิเตอร์ที่ได้จากการคำนวณด้วยวิธีการทางคณิตศาสตร์พร้อมกันทั้งหมด 4 วิธี ได้แก่ วิธี PS at MF, Max of PS, Coeff 5 of AR และ Sum of PS โดยนำพารามิเตอร์ที่ได้ทั้งหมดมาเรียงรวมกันตามลำดับ ของกลุ่มกล้ามเนื้อคอก ซึ่งมีตัวอย่างผลการจำแนกด้วยโครงข่ายประสาทรูปแบบที่ 2 ของกลุ่มกล้ามเนื้อดินและกลุ่มกล้ามเนื้อคอก ของคนปกติ (อาสาสมัครคนที่ 24) และตัวอย่างผลการจำแนกด้วยโครงข่ายประสาทรูปแบบที่ 2 ของกลุ่มกล้ามเนื้อดินและกลุ่มกล้ามเนื้อคอกของผู้ที่มีปัญหาการกลืน (อาสาสมัครคนที่ 29) ดังแสดงในภาพประกอบ 5-26 ถึง 5-29 ตามลำดับ



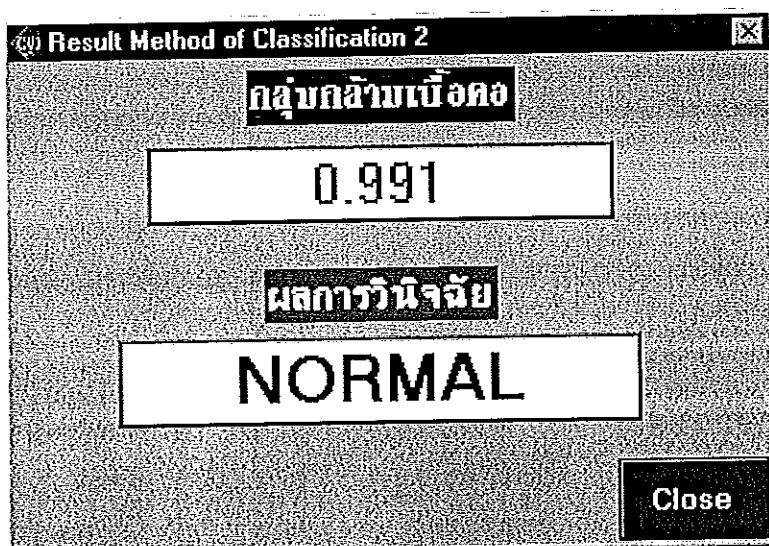
ภาพประกอบ 5-25 แสดงหน้าของการทำงานที่เกิดขึ้นจากการเลือกปุ่มคำสั่ง MOC2 ของหน้าจอ การทำงานที่แสดงในภาพประกอบ 5-21 และ 5-22



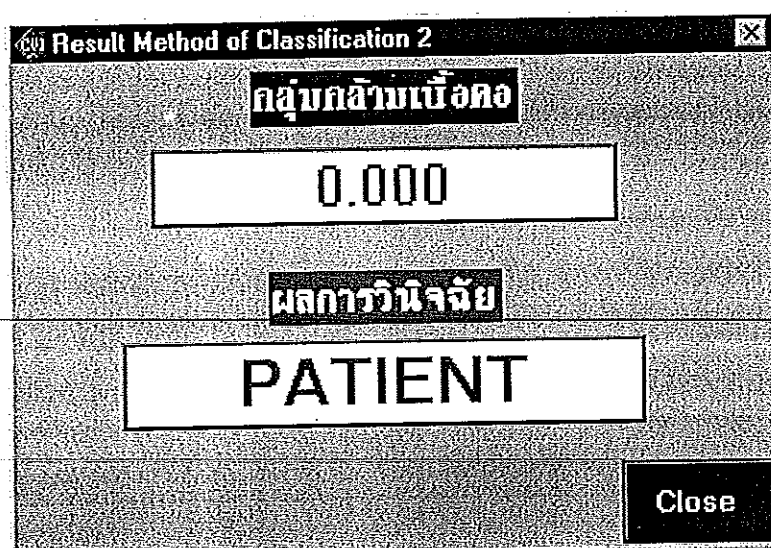
ภาพประกอบ 5-26 แสดงผลการจำแนกด้วยโครงข่ายประสาทรูปแบบที่ 2 กับพารามิเตอร์ที่ได้จาก การคำนวณหาค่าต่างๆด้วยวิธีทางคณิตศาสตร์พร้อมกันทั้งหมด 4 วิธีเรียงกัน ของสัญญาณไฟฟ้ากลุ่มกล้ามเนื้อลึกลับ รวมทั้งผลการวินิจฉัยที่ได้ของคนปกติ (อาสาสมัครคนที่ 24)



ภาพประกอบ 5-27 แสดงผลการจำแนกด้วยโครงข่ายประสาทรูปแบบที่ 2 กับพารามิเตอร์ที่ได้จาก การคำนวณหาค่าต่างๆด้วยวิธีทางคณิตศาสตร์พร้อมกันทั้งหมด 4 วิธีเรียงกัน ของสัญญาณไฟฟ้ากลุ่มกล้ามเนื้อลึกลับ รวมทั้งผลการวินิจฉัยที่ได้ของผู้มีปัญหา การกลืน (อาสาสมัครคนที่ 29)

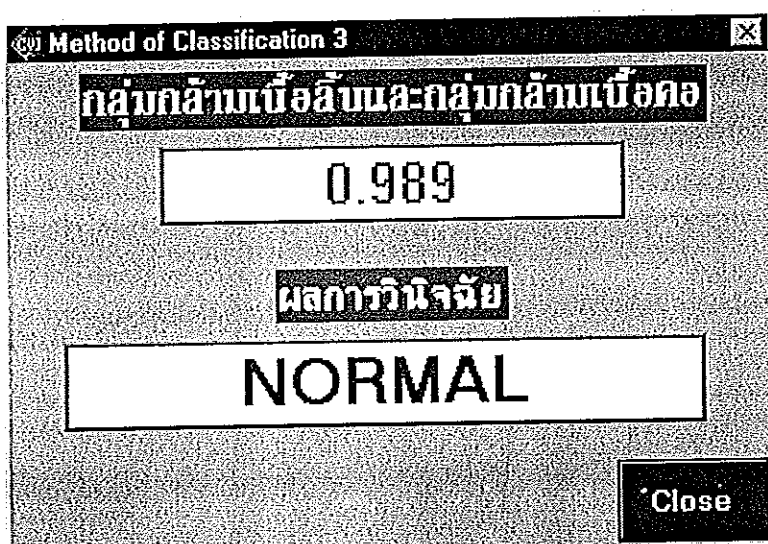


ภาพประกอบ 5-28 แสดงผลการจำแนกด้วยโครงข่ายประสาทรูปแบบที่ 2 กับพารามิเตอร์ที่ได้จาก การคำนวณหาค่าต่างๆด้วยวิธีทางคอมพิวเตอร์พร้อมกันทั้งหมด 4 วิธีเรียงกัน ของสัญญาณไฟฟ้ากลุ่มกล้ามเนื้อคือ รวมทั้งผลการวินิจฉัยที่ได้ของคนปกติ (อาสาสมัครคนที่ 24)

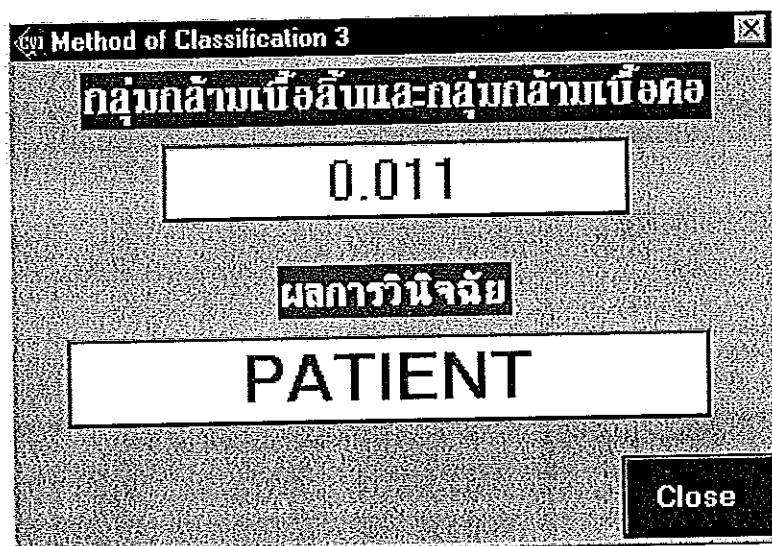


ภาพประกอบ 5-29 แสดงผลการจำแนกด้วยโครงข่ายประสาทรูปแบบที่ 2 กับพารามิเตอร์ที่ได้จาก การคำนวณหาค่าต่างๆด้วยวิธีทางคอมพิวเตอร์พร้อมกันทั้งหมด 4 วิธีเรียงกัน ของสัญญาณไฟฟ้ากลุ่มกล้ามเนื้อคือ รวมทั้งผลการวินิจฉัยที่ได้ของผู้ที่มีปัญหา การกลืน (อาสาสมัครคนที่ 29)

นอกจากนี้ เมื่อทำการเลือกปุ่มคำสั่ง MOC3 ในภาพประกอบ 5-21 และ 5-22 โปรแกรมจะทำการจำแนกด้วยวิธีโครงข่ายประสาทรูปแบบที่ 3 กับพารามิเตอร์ที่ได้จากการคำนวณทางคณิตศาสตร์พร้อมกันทั้งหมด 8 วิธีเรียงกัน ได้แก่ วิธี PS at MF, Max of PS, Coeff of AR (ส.ป.ส.ที่ 5) และ Sum of PS ของกลุ่มกล้ามเนื้อด้าน รวมกับวิธี PS at MF, Max of PS, Coeff of AR (ส.ป.ส.ที่ 5) และ Sum of PS ของกลุ่มกล้ามเนื้อคอก โดยนำพารามิเตอร์ที่ได้ทั้งหมดจากการคำนวณทั้ง 8 วิธี ข้างต้นมาเรียงรวมกันตามลำดับ ซึ่งมีตัวอย่างผลที่ได้ของคนปกติ (อาสาสมัครคนที่ 24) และผู้ที่มีปัญหาการกลืน (อาสาสมัครคนที่ 29) แสดงในภาพประกอบ 5-30 และ 5-31 ตามลำดับ

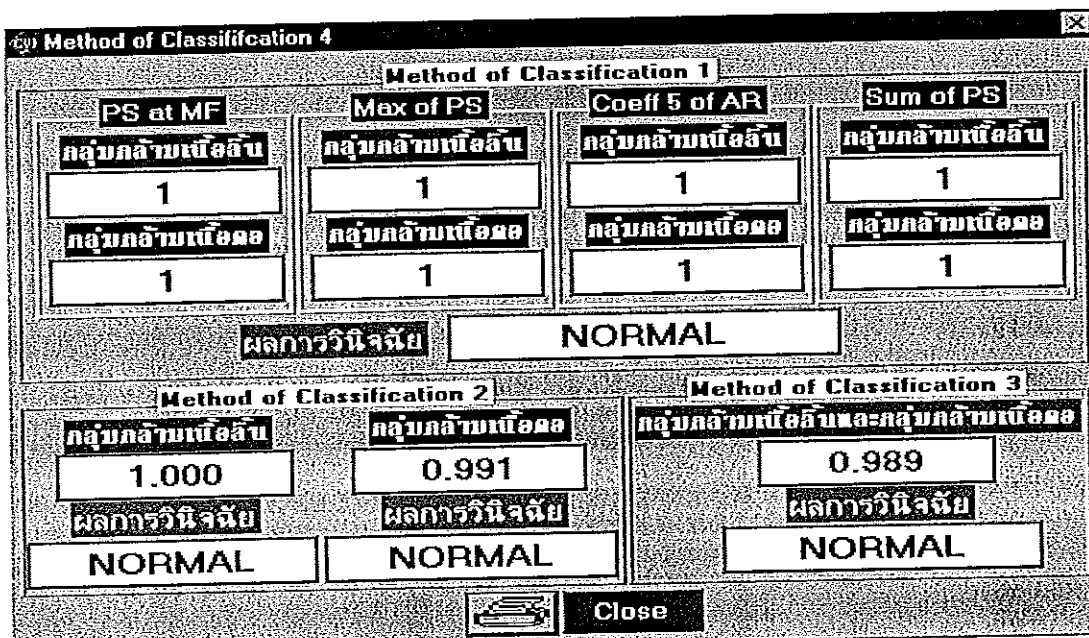


ภาพประกอบ 5-30 แสดงผลการจำแนกด้วยโครงข่ายประสาทรูปแบบที่ 3 กับพารามิเตอร์ที่ได้จากการคำนวณค่าต่างๆ ด้วยวิธีทางคณิตศาสตร์พร้อมกันทั้งหมด 4 วิธีของแต่ละสัญญาณไฟที่ได้จากกลุ่มกล้ามเนื้อด้านและกลุ่มกล้ามเนื้อคอกมาเรียงรวมกันตามลำดับ รวมทั้งสรุปผลการวินิจฉัยที่ได้ของคนปกติ (อาสาสมัครคนที่ 24)

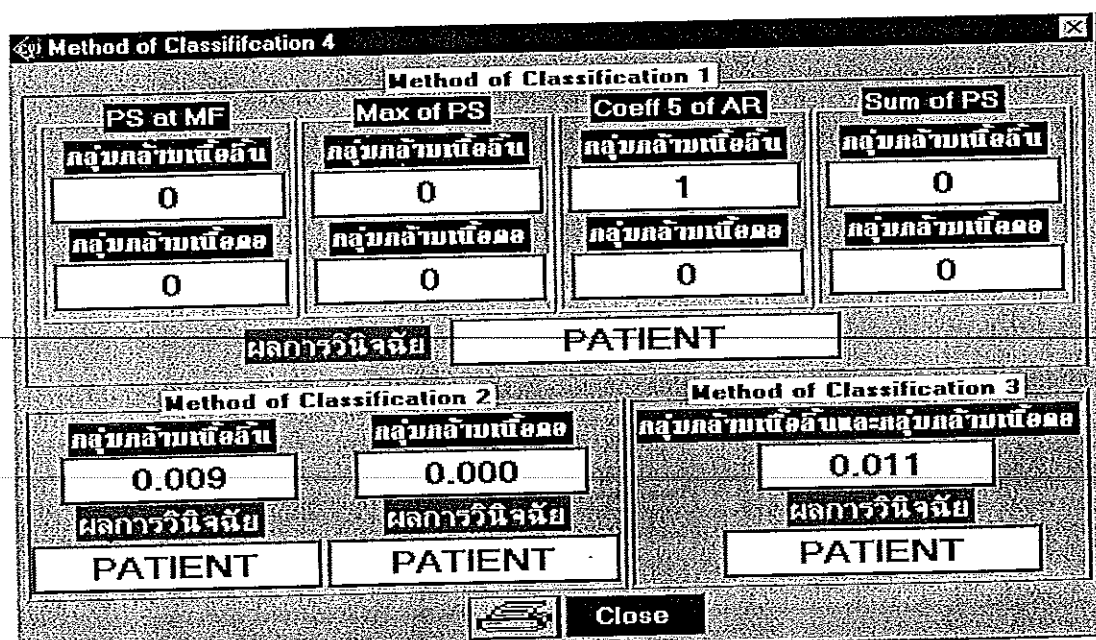


ภาพประกอบ 5-31 แสดงผลการจำแนกด้วยโครงข่ายประสาทรูปแบบที่ 3 กับพารามิเตอร์ที่ได้จาก การคำนวณค่าต่างๆด้วยวิธีทางคอมพิวเตอร์พร้อมกันทั้งหมด 4 วิธีของแต่ละ สัญญาณ ไฟฟ้ากลุ่มกล้ามเนื้อลีนและกลุ่มกล้ามเนื้อคอมาร์เรียงรวมกันตามลำดับ รวมทั้งสรุปผลการวินิจฉัยที่ได้ของผู้ที่มีปัญหาการกลืน (อาสาสมัครคนที่ 29)

เมื่อทำการเลือกปุ่มคำสั่ง MOC4 ในภาพประกอบ 5-21 และ 5-22 โปรแกรมจะทำการ แสดงผลลัพธ์ที่ได้ทั้งหมดจากการใช้งานปุ่มคำสั่ง MOC1 ปุ่มคำสั่ง MOC2 และปุ่มคำสั่ง MOC3 ดังตัวอย่างผลที่ได้ของคนปกติ (อาสาสมัครคนที่ 24) และผู้ที่มีปัญหาการกลืน (อาสาสมัครคนที่ 29) แสดงในภาพประกอบ 5-32 และ 5-33 ตามลำดับ



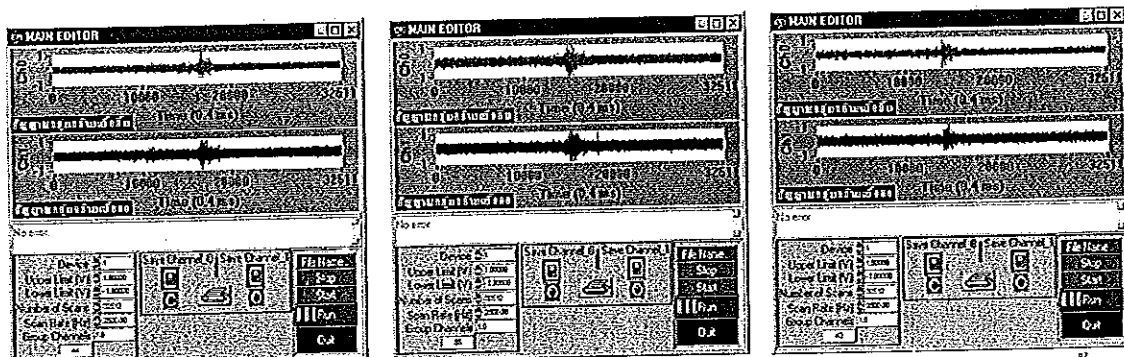
ภาพประกอบ 5-32 แสดงผลลัพธ์ที่ได้ทึ้งหมดจากการใช้งานปุ่มคำสั่ง MOC1, MOC2 และ MOC3 ของหน้าจอการทำงานที่แสดงในภาพประกอบ 5-21 ของคนปกติ (อาสาสมัครคนที่ 24)



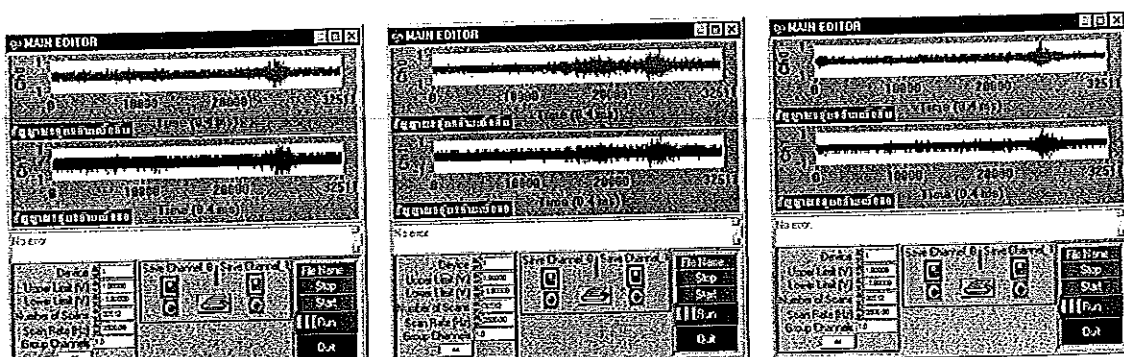
ภาพประกอบ 5-33 แสดงผลลัพธ์ที่ได้ทึ้งหมดจากการใช้งานปุ่มคำสั่ง MOC1, MOC2 และ MOC3 ของหน้าจอการทำงานที่แสดงในภาพประกอบ 5-22 ของผู้มีปัญหาการกลืน (อาสาสมัครคนที่ 29)

5.2 ผลการทดลองโครงการสร้างการทำงานและส่วนประกอบต่างๆ ของระบบตรวจวินิจฉัย

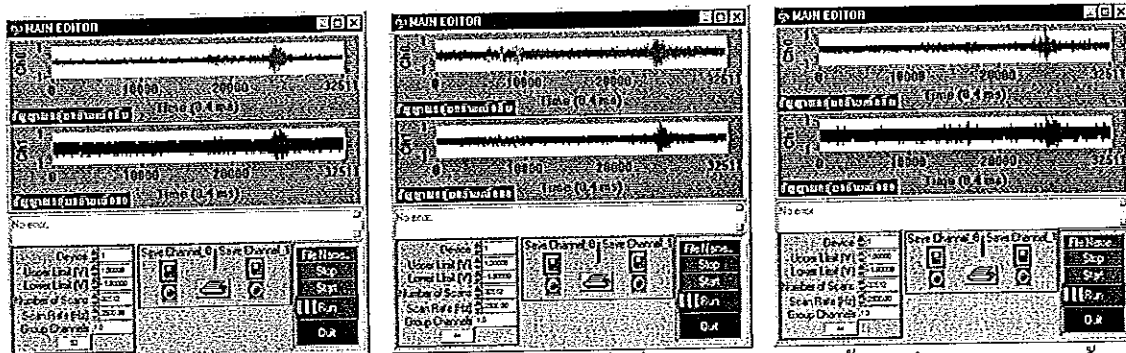
การทดลองโครงการสร้างการทำงานและส่วนประกอบต่างๆ ของระบบตรวจวินิจฉัย ที่แสดงในภาพประกอบ 2-2 ในบทที่ 2 จะเริ่มจากการนำอาสาสมัครมาทำการทดสอบจำนวน 5 คน แล้วทำการจับสัญญาณไฟฟ้ากลุ่มกล้ามเนื้อลิ้นและกลุ่มกล้ามเนื้อคอ ขณะทำการกินน้ำปริมาณ 5 มิลลิลิตร จำนวน 3 ครั้ง โดยใช้อิเลคโทรดเป็นตัวรับสัญญาณไฟฟ้ากล้ามเนื้อ แสดงตำแหน่งของการติดอิเลคโทรดบริเวณตำแหน่งอาสาสมัครในภาพประกอบ 2-1 หลังจากนั้นโปรแกรมจะทำการบันทึกข้อมูลสัญญาณไฟฟ้ากล้ามเนื้อที่ได้รับเข้ามา และทำการวิเคราะห์สัญญาณด้วยวิธีการทางคณิตศาสตร์ต่างๆ (คุณยะเอียดในบทที่ 3) แล้วนำข้อมูลหรือค่าพารามิเตอร์ที่ได้มานี้ในการจำแนกหาผู้มีปัญหาการกลืนด้วยวิธีโครงการข่ายประสาทรูปแบบต่างๆ (คุณยะเอียดในบทที่ 4) ซึ่งจะทำให้โปรแกรมสามารถจำแนกผู้ที่มีปัญหาการกลืนออกจากคนปกติได้ โดยจะแสดงภาพของสัญญาณที่จับด้วยระบบ ดังภาพประกอบ 5-34 ถึง 5-48 และสรุปผลการจำแนกที่ได้ในตาราง 5-1



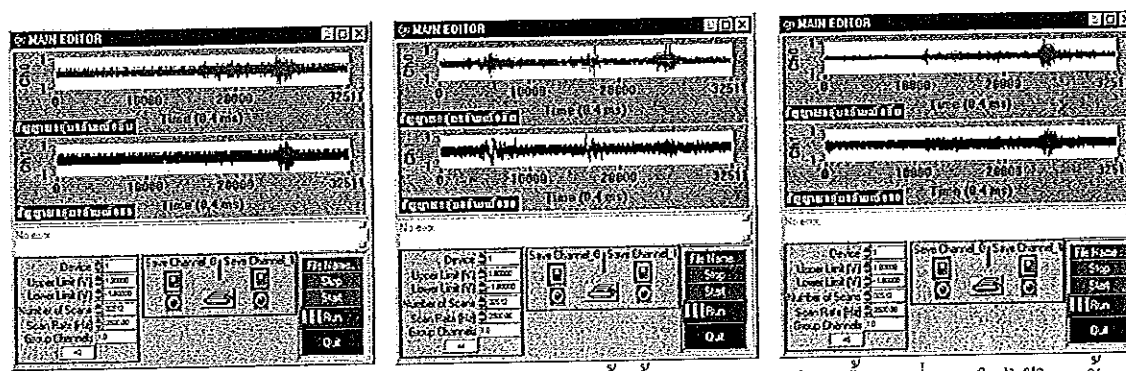
ภาพประกอบ 5-34 แสดงสัญญาณไฟฟ้ากลุ่มกล้ามเนื้อลิ้นและกลุ่มกล้ามเนื้อคอที่บันทึกได้ในครั้งที่ 1, 2 และ 3 ตามลำดับ ของอาสาสมัครทดสอบลำดับที่ 1



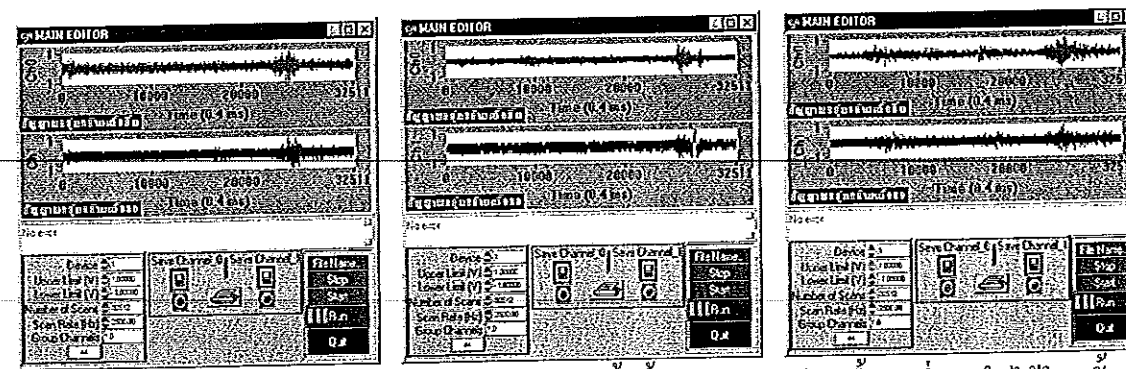
ภาพประกอบ 5-35 แสดงสัญญาณไฟฟ้ากลุ่มกล้ามเนื้อลิ้นและกลุ่มกล้ามเนื้อคอที่บันทึกได้ในครั้งที่ 1, 2 และ 3 ตามลำดับ ของอาสาสมัครทดสอบลำดับที่ 2



ภาพประกอบ 5-36 แสดงสัญญาณไฟฟ้ากลุ่มกล้ามเนื้อลินและกลุ่มกล้ามเนื้อคอกที่บันทึกได้ในครั้งที่ 1, 2 และ 3 ตามลำดับ ของอาสาสมัครทดสอบลำดับที่ 3



ภาพประกอบ 5-37 แสดงสัญญาณไฟฟ้ากลุ่มกล้ามเนื้อลินและกลุ่มกล้ามเนื้อคอกที่บันทึกได้ในครั้งที่ 1, 2 และ 3 ตามลำดับ ของอาสาสมัครทดสอบลำดับที่ 4



ภาพประกอบ 5-38 แสดงสัญญาณไฟฟ้ากลุ่มกล้ามเนื้อลินและกลุ่มกล้ามเนื้อคอกที่บันทึกได้ในครั้งที่ 1, 2 และ 3 ตามลำดับ ของอาสาสมัครทดสอบลำดับที่ 5

ตาราง 5-1 แสดงผลการทดลอง โครงสร้างการทำงานและส่วนประกอบต่างๆ ของระบบ
ระบบตรวจวินิจฉัยที่ใช้ในการจำแนกอาสาสมัครในกลุ่มทดสอบ

อาสาสมัคร ทดสอบลำดับที่	ผลการจำแนก ครั้งที่ 1	ผลการจำแนก ครั้งที่ 2	ผลการจำแนก ครั้งที่ 3	สรุป ผลการจำแนก
1	ปกติ	ผิดปกติ	ปกติ	ปกติ
2	ปกติ	ปกติ	ปกติ	ปกติ
3	ผิดปกติ	ปกติ	ปกติ	ปกติ
4	ปกติ	ผิดปกติ	ปกติ	ปกติ
5	ผิดปกติ	ปกติ	ผิดปกติ	ผิดปกติ

จากผลการทดลองในตาราง 5-1 พบร่วมระบบตรวจวินิจฉัยสามารถทำการจำแนกได้คนปกติ 4 คน และผู้มีความผิดปกติ 1 คน จากจำนวนอาสาสมัครที่ใช้ในการทดสอบทั้งหมด 5 คน แสดงให้เห็นว่า โครงสร้างการทำงานและส่วนประกอบต่างๆ ของระบบตรวจวินิจฉัยสามารถทำการจำแนกได้ตามโครงสร้างการทำงานที่ได้ออกแบบไว้ ส่วนหัวข้อถัดไปจะเป็นการทดลองเพื่อตรวจสอบความถูกต้อง แม่นยำ ของโปรแกรมระบบตรวจวินิจฉัยผู้ป่วยที่มีปัญหาการกลืน

5.3 ผลการทดลองตรวจสอบความถูกต้อง แม่นยำ ของระบบตรวจวินิจฉัย

การทดลองเพื่อตรวจสอบความถูกต้อง แม่นยำ ของระบบ จะเริ่มการทดลองโดยนำ ข้อมูลของอาสาสมัครที่ได้จากการบันทึกข้อมูลโดย รศ.น.พ. วิชูร ลีลามานิตย์ ภาควิชาโสต นาสิกและตาริญช์วิทยา คณะแพทยศาสตร์ มหาวิทยาลัยสงขลานครินทร์ โดยไม่รู้มาก่อนว่าข้อมูลใดเป็นของคนปกติหรือผู้ป่วย (คุณiyaloh อายุ 42 ของบทที่ 4) มาป้อนให้กับโปรแกรม เพื่อทำการวิเคราะห์และจำแนกหาผู้ที่มีปัญหาการกลืน หลังจากนั้นจะได้นำผลเฉลยจาก รศ.น.พ. วิชูร ลีลามานิตย์ มาเปรียบเทียบกับผลการทดลอง ดังแสดงในตาราง 5-2

ตาราง 5-2 แสดงผลการทดลองที่ได้จากการตรวจสอบความถูกต้อง แม่นยำ ของระบบ

อาสาสมัคร ทดสอบ	ผลการจำแนก ครั้งที่ 1	ผลการจำแนก ครั้งที่ 2	ผลการจำแนก ครั้งที่ 3	สรุปผลการจำแนก ที่ได้จากโปรแกรม	ผลการจำแนกที่ได้จาก รศ.น.พ. วิชูร ลีลามานนิตย์
B2	ปกติ	ผิดปกติ	ผิดปกติ	ผิดปกติ	ผิดปกติ
B3	ผิดปกติ	ปกติ	ผิดปกติ	ผิดปกติ	ผิดปกติ
B4	ปกติ	ปกติ	ปกติ	ปกติ	ปกติ
B5	ปกติ	ผิดปกติ	ผิดปกติ	ผิดปกติ	ผิดปกติ
B6	ผิดปกติ	ผิดปกติ	ผิดปกติ	ผิดปกติ	ปกติ
B7	ผิดปกติ	ปกติ	ปกติ	ปกติ	ปกติ
B8	ผิดปกติ	ปกติ	ผิดปกติ	ผิดปกติ	ผิดปกติ
B10	ผิดปกติ	ผิดปกติ	ปกติ	ผิดปกติ	ผิดปกติ
B11	ปกติ	ปกติ	ปกติ	ปกติ	ผิดปกติ
B12	ผิดปกติ	ผิดปกติ	ปกติ	ผิดปกติ	ผิดปกติ

จากผลการทดลองที่ได้ในตาราง 5-2 พบร่วมกันว่าโปรแกรมสามารถจำแนกหาผู้มีความผิดปกติ ด้านการกลืน ได้จำนวน 7 คน และจำแนกหาคนปกติได้จำนวน 3 คน ซึ่งเมื่อทำการเปรียบเทียบกับ ผลการจำแนกที่ได้จาก รศ.น.พ. วิชูร ลีลามานนิตย์ ภาควิชาโสต นาสิกและลารингซ์วิทยา คณะแพทยศาสตร์ สรุปผลได้ว่าโปรแกรมระบบตรวจวินิจฉัยปัจจัยที่มีปัญหาการกลืนสามารถจำแนกได้ถูกต้องจำนวน 8 คน และผิดพลาดไปจำนวน 2 คน คิดเป็นเปอร์เซ็นต์ความถูกต้องเท่ากับ 80% ซึ่งอยู่ในระดับความถูกต้องที่ยอมรับได้ ส่วนสาเหตุที่ทำให้โปรแกรมจำแนกผิดพลาดไปจำนวน 2 คน จากการตรวจสอบข้อมูลสัญญาณดิบที่ได้รับมาและที่ได้ทำการปรึกษากับพศ.ดร.อุ๊คกี้ ลิ่มสกุล สรุปได้ว่าสัญญาณที่ได้รับมาของอาสาสมัคร B6 และ B11 มีสัญญาณรบกวนมากผิดปกติ ทำให้โปรแกรมไม่สามารถที่จะทำการวินิจฉัยสัญญาณในช่วงการกลืนได้ แต่จะไปทำการวินิจฉัยสัญญาณในช่วงที่มีสัญญาณรบกวนแทน ดังนั้นโปรแกรมจึงสรุปผลการวินิจฉัยผิดพลาดดังกล่าว ซึ่งปัญหาตรงจุดนี้จะได้รับการทำการแก้ไขต่อไป เพื่อทำให้โปรแกรมสามารถจำแนกได้อย่างถูกต้อง

5.4 สรุปผลการทดลอง

- ผลการทดลองการใช้งานฟังก์ชันการทำงานต่างๆ ในโปรแกรม พบร่วมกันว่าทุกฟังก์ชันในโปรแกรมสามารถทำงานได้อย่างมีประสิทธิภาพ ทำให้การเชื่อมต่อ (Interface) กับผู้ใช้โปรแกรม ผ่านทางหน้าจอคอมพิวเตอร์สามารถทำได้ง่าย สะดวกรวดเร็ว และยังพบว่า การจำแนกด้วยวิธีโครง

ข่ายประสาทรูปแบบที่ 1 ให้ผลดีกว่าการจำแนกด้วยวิธีโกรงข่ายประสาทรูปแบบที่ 2 และรูปแบบที่ 3 ดังนี้ การจำแนกด้วยวิธีโกรงข่ายประสาทรูปแบบที่ 1 (คุณภาพเฉียดในตาราง 4-9) ของกลุ่มกล้ามเนื้อถ้นและกลุ่มกล้ามเนื้อคอ มีเปอร์เซ็นต์ความถูกต้อง 97% ส่วนการจำแนกด้วยวิธีโกรงข่ายประสาทรูปแบบที่ 2 (คุณภาพเฉียดในตาราง 4-11ก และ 4-11ข) แบ่งเป็นของกลุ่มกล้ามเนื้อลิ้น มีเปอร์เซ็นต์ความถูกต้อง 91.4% และของกลุ่มกล้ามเนื้อคอ มีเปอร์เซ็นต์ความถูกต้อง 77.1% ส่วนการจำแนกด้วยวิธีโกรงข่ายประสาทรูปแบบที่ 3 (คุณภาพเฉียดในตาราง 4-13) ของกลุ่มกล้ามเนื้อลิ้นและกลุ่มกล้ามเนื้อคอ มีเปอร์เซ็นต์ความถูกต้อง 77.1% ตามลำดับ

2. ผลการทดลองโครงสร้างการทำงานและส่วนประกอบต่างๆ ของระบบตรวจวินิจฉัย พบว่าระบบสามารถทำการจำแนกได้คนปกติ 4 คน และผู้ที่มีความผิดปกติ 1 คน จากจำนวนอาสาสมัครที่ใช้ในการทดสอบทั้งหมด 5 คน (คุณภาพเฉียดในตาราง 5-1) แสดงให้เห็นว่าโครงสร้างการทำงานและส่วนประกอบต่างๆ ของระบบตรวจวินิจฉัยสามารถทำการจำแนกได้ตามโครงสร้างการทำงานที่ได้ออกแบบไว้

3. ผลการทดลองตรวจสอบความถูกต้อง แม่นยำ ของระบบตรวจวินิจฉัย พบว่าระบบสามารถจำแนกหาผู้ที่มีความผิดปกติได้จำนวน 7 คน และจำแนกหาคนปกติได้จำนวน 3 คน (คุณภาพเฉียดในตาราง 5-2) ซึ่งเมื่อทำการเปรียบเทียบกับผลการจำแนกที่ได้จาก รศ.น.พ. วิทูร ลีลาภานันติ์ ภาควิชาโลสต นาสิกและ Larung Chaiyaphum คณะแพทยศาสตร์ สรุปผลได้ว่าระบบสามารถจำแนกได้ถูกต้องจำนวน 8 คน และผิดพลาดไปจำนวน 2 คน คิดเป็นเปอร์เซ็นต์ความถูกต้องเท่ากับ 80%

5.5 สรุปและข้อเสนอแนะ

1. โปรแกรมระบบตรวจวินิจฉัยผู้ป่วยที่มีปัญหาการกลืน สามารถจำแนกผู้ที่มีปัญหาการกลืนออกจากคนปกติได้ ซึ่งผลการจำแนกที่ได้รับจากโปรแกรม ดังแสดงในตาราง 5-2 พบว่า เปอร์เซ็นต์ความถูกต้องที่ได้รับอยู่ในระดับที่ยอมรับได้
2. ผลลัพธ์ที่ได้จากการใช้งานโปรแกรมจะผ่านการตรวจสอบจากแพทย์ผู้เชี่ยวชาญอีกครั้งหนึ่ง เพื่อความถูกต้อง แม่นยำมากขึ้น
3. ความรวดเร็วในการทำงานของโปรแกรมขึ้นอยู่กับสภาพของเครื่องคอมพิวเตอร์ที่ใช้งานอยู่
4. ในโปรแกรมควรเพิ่มวิธีการทำงานคอมพิวเตอร์ ที่จะนำมาใช้ในการวิเคราะห์ลักษณะไฟฟ้าจากกลุ่มกล้ามเนื้อลิ้นและกลุ่มกล้ามเนื้อคอให้มีมากขึ้น เพื่อทำให้โปรแกรมสามารถจำแนกผู้ที่มีปัญหาการกลืนออกจากคนปกติได้ผลดีที่สุด โดยเฉพาะเมื่อมีสัญญาณรบกวน

บรรณานุกรม

เกลินชัย แซ่ลี่ม. 2539. การคัดเลือกถักขณาด์ค่นของสัญญาณไฟฟ้าจากกล้ามเนื้อเพื่อตรวจจับสัญญาณที่บ่งบอกการกลืน. วิทยานิพนธ์วิศวกรรมศาสตร์บัณฑิต สาขาวิศวกรรมไฟฟ้า มหาวิทยาลัยสงขลานครินทร์.

พรษัย พฤกษ์ภารานนต์. 2540. การออกแบบและสร้างเครื่องดันแบบเครื่องกระตุ้นไฟฟ้าเชิงลำดับสำหรับผู้ป่วยที่มีปัญหาการกลืน. วิทยานิพนธ์วิศวกรรมศาสตร์บัณฑิต สาขาวิศวกรรมไฟฟ้า มหาวิทยาลัยสงขลานครินทร์.

พิทักษ์ ทางรัตนสุวรรณ. 2540. การตรวจจับจุดกลืนจากสัญญาณกล้ามเนื้อโดยวิธีการทาง Neural Network. ปริญญานิพนธ์ ภาควิชาวิศวกรรมไฟฟ้า คณะวิศวกรรมศาสตร์ มหาวิทยาลัยสงขลานครินทร์.

ธีระเดช เศวต ไฟบุญยศกิจ. 2540. การพัฒนาระบบหาร์ดแวร์ของระบบช่วยบินจี้ผู้ป่วยที่มีปัญหาการกลืน. ปริญญานิพนธ์ ภาควิชาวิศวกรรมไฟฟ้า คณะวิศวกรรมศาสตร์ มหาวิทยาลัยสงขลานครินทร์.

วนิชย์ อุบลสูตรวนิช. 2541. การจำแนกผู้มีปัญหาการกลืนโดยวิธีการวิเคราะห์สัญญาณไฟฟ้าจากกล้ามเนื้อและประเมินผลโดยวิธีโครงข่ายประสาท. วิทยานิพนธ์วิศวกรรมศาสตร์บัณฑิต สาขาวิศวกรรมไฟฟ้า มหาวิทยาลัยสงขลานครินทร์.

Fusfeld. 1982. "Classification of Electromyogram a Pattern Recognition Method", Medical & Biological Engineering & Computing. 20(July 1982), 496-500.

Knox et al. 1994. "Classification of Multifunction Surface EMG using Advanced AR Model Representation", Bioengineering Proceedings of the Northeast Conference.

Mulavara et al. 1993. "Frequency Characterization of EMG Activity During Gait", Proceeding of the Annual Conference an Engineering in Medicine and Biology. 15(1993)

National Instruments Corporation. 1996. Getting Started With LabWindows/CVI.

July 1996 Edition.

National Instruments Corporation. 1996. LabWindows/CVI User Manual. July 1996 Edition.

National Instruments Corporation. 1996. LabWindows/CVI Standard Libraries Reference Manual. July 1996 Edition.

National Instruments Corporation. 1996. LabWindows/CVI User Interface Reference Manual.

July 1996 Edition.

National Instruments Corporation. 1996. LabWindows/CVI Programmer Reference Manual.

July 1996 Edition.

National Instruments Corporation. 1996. LabWindows/CVI Instrument Driver Developers Guide.

July 1996 Edition.

National Instruments Corporation. 1996. LabWindows/CVI Advanced Analysis Library Reference Manual. July 1996 Edition.

National Instruments Corporation. 1996. LabWindows/CVI Master Index. July 1996 Edition.

National Instruments Corporation. 1996. Lab-PC-1200/AI User Manual. June 1996 Edition.

Omry Paiss et al. 1987. "Autoregressive Modeling of Surface EMG and Its Spectrum with Application to Fatigue", IEEE Transactions on Biomedical Engineering. 34, No. 10, (Oct 1987)

Roberto Merletti et al. 1985. "On-Line Monitoring of the Median Frequency of the Surface EMG Power Spectrum", IEEE Transactions on Biomedical Engineering. 32, No. 1(Jan 1985)

Tohru Kiryu et al. 1994. "AR Modeling of Myoelectric Interference Signal During a Ramp Contraction", IEEE Transactions on Biomedical Engineering. 41, No. 11(Nov 1994)

Yeap et al. 1990. "ECG Beat Classification by a Neural Network", Annual International Conference of the IEEE Engineering in Medicine and Biology Society. 12, No. 3(1990)

Yukio Kosugi. 1997. "Basic of Neural Networks", Interdisciplinary Graduate School of Science And Engineering Tokyo Institute of Technology.

ภาคผนวก

ภาคผนวก ก. คุณลักษณะและรายละเอียดการใช้งานเบื้องต้นของซอฟต์แวร์ LabWindows/CVI for Windows Version 4.0.1

ซอฟต์แวร์ LabWindows/CVI for Windows Version 4.0.1 ที่ใช้พัฒนาโปรแกรมระบบ
ตรวจวินิจฉัยผู้ป่วยที่มีปัญหาการกลืน เป็นของบริษัท National Instruments Corporation U.S.A ใช้
งานบนระบบ Windows 95 และต้องการเนื้อที่ในฮาร์ดดิสก์ในการติดตั้งโปรแกรมอย่างน้อย 28 Mb

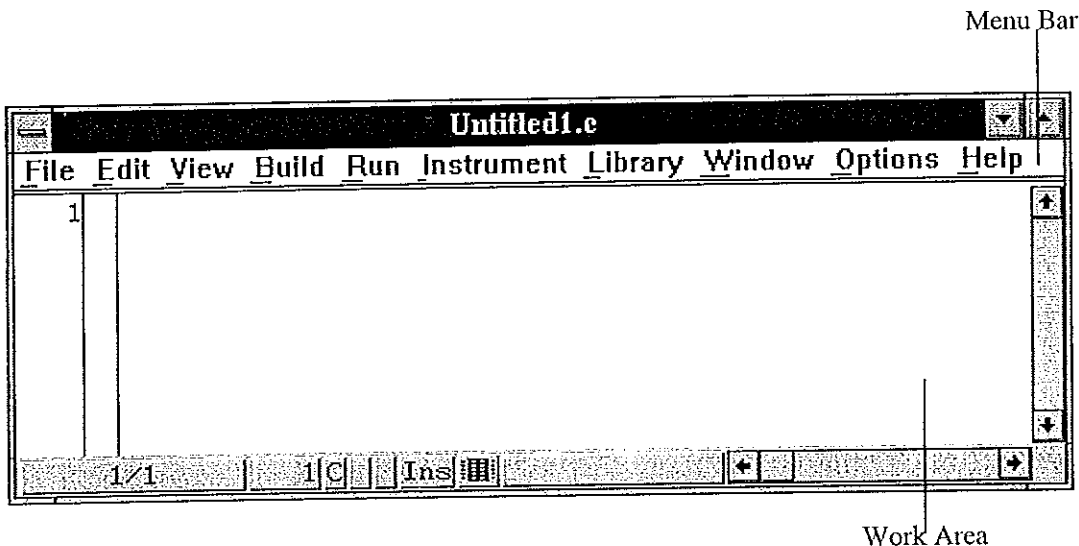
การใช้งานเบื้องต้นจะต้องมีการติดตั้งโปรแกรมลงบนฮาร์ดดิสก์ โดยนำแผ่นซีดีสำหรับ
การติดตั้ง 1 แผ่น ใส่ในช่องขับแผ่นซีดี จากนั้นเลื่อนลูกศรของมาส์ไฟไปที่ My Computer บน
Desktop ของ Windows 95 แล้วทำการคลิกสองครั้ง จากนั้นให้เลื่อนลูกศรของมาส์ไฟไปที่ไอคอนรูป
แผ่นซีดี แล้วทำการคลิกสองครั้ง เพื่อเข้าสู่หน้าต่าง LabWindows/CVI Installation CD ให้เลื่อน
ลูกศรของมาส์ไฟที่คำสั่ง Install CVI for Windows 95/NT แล้วทำการคลิกสองครั้ง จากนั้นก็จะมี
การติดตั้งและตอบคำถามในการติดตั้งต่างๆ จนกระทั่งการติดตั้งเสร็จสมบูรณ์

1. ส่วนประกอบของ LabWindows/CVI for Windows Version 4.0.1

โปรแกรม LabWindows/CVI เสนอในส่วนที่ได้นำมาใช้ในการพัฒนาระบบที่ต้องกับผู้
ใช้สำหรับระบบตรวจวินิจฉัยผู้ป่วยที่มีปัญหาการกลืน โปรแกรม LabWindows/CVI จะประกอบ
ด้วย ส่วนของ Source Windows, User Interface Editor Window, Function Tree Editor และ Project
Window ซึ่งมีรายละเอียดดังนี้

1.1 Source Window

เป็นหน้าต่างที่ใช้ในการแสดงและแก้ไขรหัสต้นฉบับ (Source Code) ซึ่งจะเขียนโปรแกรม
ในรูปแบบภาษา C/C++ โดยจะถูกเก็บในรูปของไฟล์นามสกุล .C มีลักษณะดังแสดงในภาพ
ประกอบ ก1



ภาพประกอบ ก 1 แสดงหน้าต่างส่วน Source Window

จากภาพประกอบ ก 1 แสดงหน้าต่างส่วน Source Window ประกอบด้วยส่วนต่างๆ ดังนี้

1.1.1 แถบเมนู (Menu Bar) ประกอบด้วย

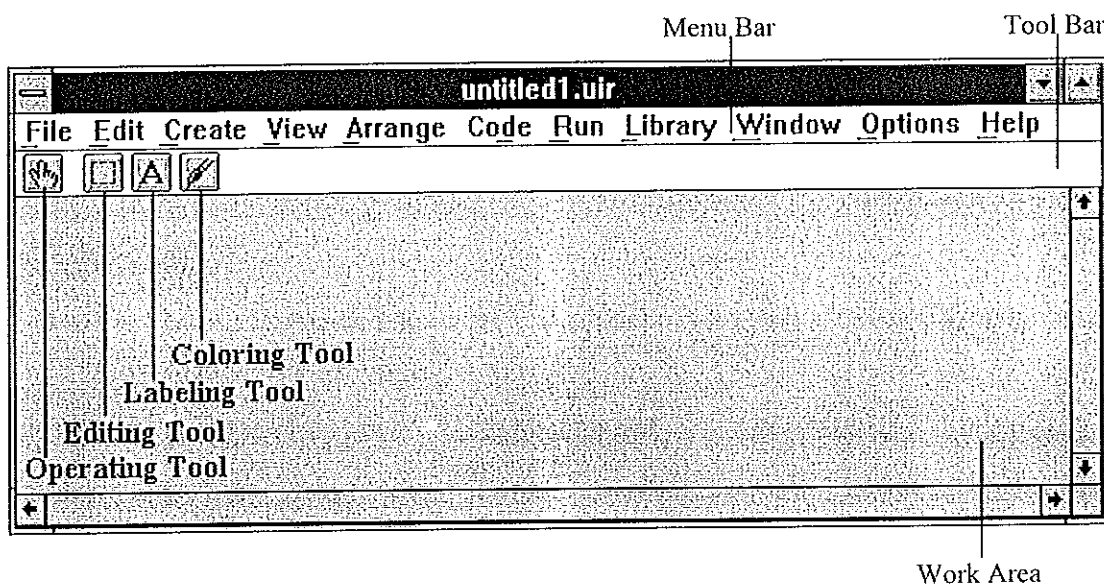
- 1) Edit เป็นเมนูคำสั่งที่ใช้ในการแก้ไขอื่นๆ
- 2) View เป็นเมนูคำสั่งที่ใช้กำหนดการแสดงรายการละเอียดต่างๆ ใน Source Window
- 3) Build เป็นเมนูคำสั่งที่ใช้ในการคอมไพล์ไฟล์ และสร้างและลิงค์ Projects
- 4) Run เป็นเมนูคำสั่งที่ใช้ในการรันและคีบักโปรแกรม
- 5) Instrument เป็นเมนูคำสั่งที่ใช้ในการ Load, Unload และแทรก เครื่องมือที่นำมาใช้งาน
- 6) Library เป็นเมนูคำสั่งที่เข้าถึงไลบรารีของ Function Panels ใน LabWindows/CVI
- 7) Window เป็นเมนูคำสั่งที่ใช้ในการเปิดหน้าต่างใดๆ ขึ้นมาเพื่อทำการแสดงและแทรก รวมทั้งการเปลี่ยนหน้าต่างใช้งาน
- 8) Options เป็นเมนูคำสั่งที่ใช้กำหนดค่าตั้งแวดล้อมต่างๆ ใน LabWindows/CVI และใช้ จัดการยูทิลิตี้ต่างๆ ใน LabWindows/CVI
- 9) Help เป็นเมนูคำสั่งที่ให้ความรู้เกี่ยวกับ LabWindows/CVI

1.1.2 Work Area

เป็นส่วนที่ใช้ในการเขียนโปรแกรมภาษา C/C++

1.2 User Interface Editor Window

เป็นหน้าต่างที่ใช้ในการสร้างและแก้ไข GUI Panels, Controls และ Menu Bars โดยจะถูกเก็บในรูปของไฟล์นามสกุล .UIR นอกจากนี้สามารถใช้แทนเครื่องมือได้ Menu Bar สำหรับการแก้ไขระดับสูงโดยการใช้เมาส์ มีลักษณะดังแสดงในภาพประกอบ ก2



ภาพประกอบ ก2 แสดงหน้าต่างส่วน User Interface Editor Window

จากภาพประกอบ ก2 แสดงหน้าต่างส่วน User Interface Editor Window ประกอบด้วยส่วนต่างๆ ดังนี้

1.2.1 แถบเมนู (Menu Bar) ประกอบด้วย

- 1) File เป็นเมนูคำสั่งที่ใช้จัดการเกี่ยวกับไฟล์
- 2) Edit เป็นเมนูคำสั่งที่ใช้สำหรับแก้ไข Panels, Controls และ Menu Bars

- 3) Create เป็นเมนูคำสั่งที่ใช้สำหรับสร้าง Panels, Controls และ Menu Bars
- 4) View เป็นเมนูคำสั่งที่ใช้กำหนดการแสดงรายละเอียดต่างๆ ใน User Interface Editor Window
- 5) Arrange เป็นเมนูคำสั่งที่ใช้ในการจัดรูปแบบการวางและการกระจาย Controls บน Panel
- 6) Code เป็นเมนูคำสั่งที่ไปทำให้เกิดการสร้าง Code โดยอัตโนมัติในไฟล์ที่มีนามสกุล .UIR และที่กำลังทำการสร้างหรือกำลังทำการแก้ไขอยู่
- 7) Run เป็นเมนูคำสั่งที่ใช้ในการรันและดีบักโปรแกรม
- 8) Library เป็นเมนูคำสั่งที่เข้าถึงไลบรารีของ Function Panels ใน LabWindows/CVI
- 9) Window เป็นเมนูคำสั่งที่ใช้ในการเปิดหน้าต่างใดๆ ขึ้นมาเพื่อทำการแสดงและแก้ไขรวมทั้งการเปลี่ยนหน้าต่างใช้งาน
- 10) Options เป็นเมนูคำสั่งที่ใช้จัดการยูติลิตี้ต่างๆ ใน User Interface Editor Window
- 11) Help เป็นเมนูคำสั่งที่ให้ความรู้เกี่ยวกับ LabWindows/CVI

1.2.2 แดบเครื่องมือ (Tool Bar) ประกอบด้วย

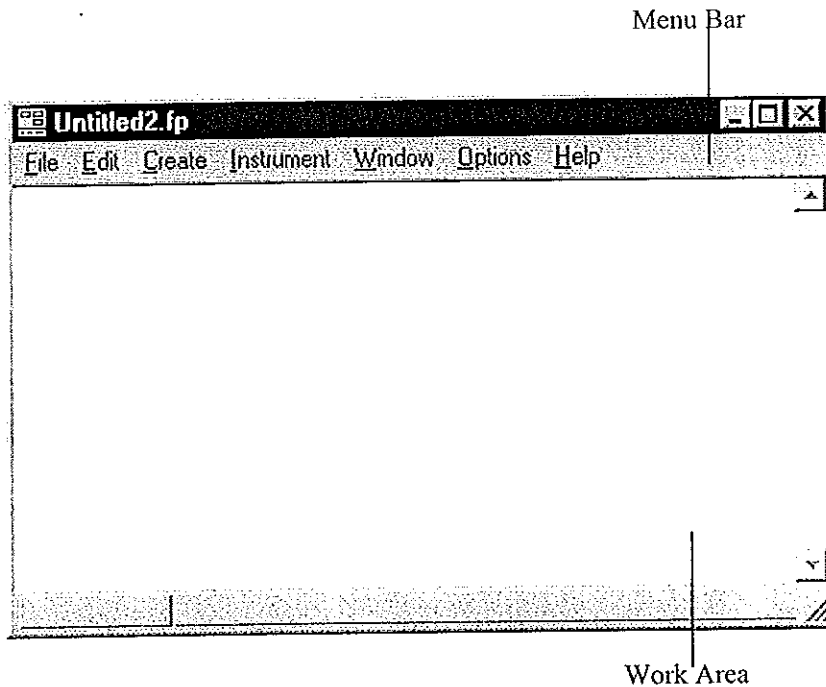
- 1) ปุ่ม Editing Tool ใช้เลือก ตำแหน่ง และขนาด ของ Objects
- 2) ปุ่ม Labeling Tool ใช้เปลี่ยนแปลงแก้ไขข้อความที่มีส่วนร่วมกับ Objects
- 3) ปุ่ม Coloring Tool ใช้ในการกำหนดสีให้กับ Objects

1.2.3 Work Area

เป็นส่วนที่ใช้ในการสร้างและแก้ไข Panels, Controls และ Menu Bars

1.3 Function Tree Editor

เป็นหน้าต่างที่ใช้ในการสร้างและเปลี่ยนแปลงแก้ไข Function Tree สำหรับเครื่องมือที่จะนำมาใช้งาน โดย Function Tree ที่สร้างขึ้นจะถูกเก็บในรูปของไฟล์นามสกุล .FP มีลักษณะดังแสดงในภาพประกอบ ก3



ภาพประกอบ ก 3 แสดงหน้าต่างส่วน Function Tree Editor

จากภาพประกอบ ก 3 แสดงหน้าต่างส่วน Function Tree Editor ประกอบด้วยส่วนต่างๆ ดัง

นี้

1.3.1 แถบเมนู (Menu Bar) ประกอบด้วย

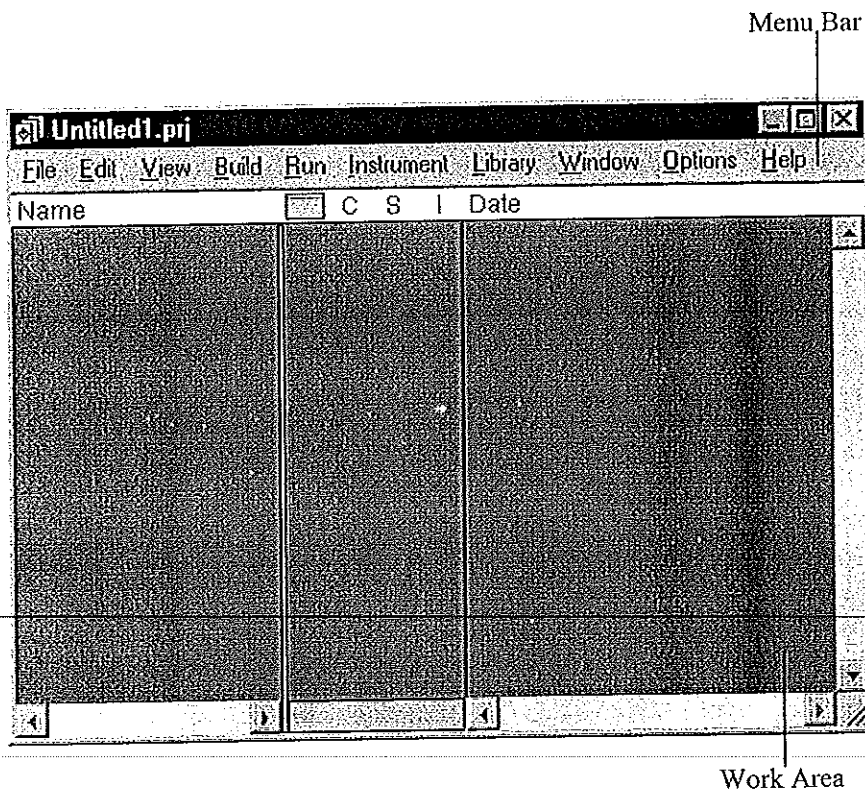
- 1) File เป็นเมนูคำสั่งที่ใช้จัดการเกี่ยวกับไฟล์
- 2) Edit เป็นเมนูคำสั่งที่ใช้จัดการเกี่ยวกับการแก้ไขต่างๆ
- 3) Create เป็นเมนูคำสั่งที่ใช้สร้าง Function Treeใหม่ หรือเพิ่มฟังก์ชันใหม่และจัดเรียงอยู่ในประเภท Function Tree ที่มีอยู่
- 4) Instrument เป็นเมนูคำสั่งที่ใช้ในการ Load, Unload เครื่องมือที่ใช้งาน หรือเลือก Function Panel ไปแก้ไข
- 5) Window เป็นเมนูคำสั่งที่ใช้ในการเปิดหน้าต่างใดๆ ขึ้นมาเพื่อทำการแสดงและแก้ไขรวมทั้งการเปลี่ยนหน้าต่างใช้งาน
- 6) Options เป็นเมนูคำสั่งที่ใช้จัดการยุทธวิธีต่างๆ ใน Function Tree Editor
- 7) Help เป็นเมนูคำสั่งที่ให้ความรู้เกี่ยวกับ LabWindows/CVI

1.3.2 Work Area

เป็นส่วนที่ใช้ในการสร้างและเปลี่ยนแปลงแก้ไข Function Tree

1.4 Project Window

เป็นหน้าต่างที่ใช้แสดงและการรวบรวมไฟล์นามสกุลต่างๆ ได้แก่ ไฟล์นามสกุล .C, .H, .UIR, .FP เป็นต้น มาสร้างเป็น Project File โดยจะถูกเก็บในรูปของไฟล์นามสกุล .PRJ มีลักษณะดังแสดงในภาพประกอบ ก4



ภาพประกอบ ก4 แสดงหน้าต่างส่วน Project Window

จากภาพประกอบ ก4 แสดงหน้าต่างส่วน Project Window ประกอบด้วยส่วนต่างๆ ดังนี้

1.4.1 แถบเมนู (Menu Bar) ประกอบด้วย

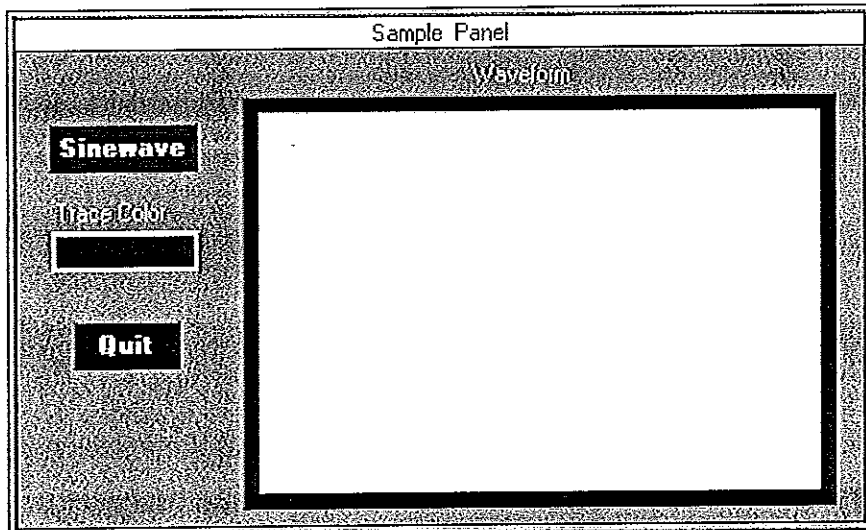
- 1) File เป็นเมนูคำสั่งที่ใช้จัดการเกี่ยวกับไฟล์
- 2) Edit เป็นเมนูคำสั่งที่ใช้จัดการเกี่ยวกับการแก้ไขต่างๆ
- 3) View เป็นเมนูคำสั่งที่ใช้กำหนดการแสดงรายการละเอียดค่าๆ ใน Project Window
- 4) Build เป็นเมนูคำสั่งที่ใช้ในการคอมไพล์ไฟล์ สร้างและลิงค์ Projects ทำเครื่องหมายไฟล์ต่างๆ สำหรับทำการรวมและสร้างไฟล์แอปพลิเคชัน
- 5) Run เป็นเมนูคำสั่งที่ใช้ในการรันโปรแกรมและการกำหนดจุดหยุด (Breakpoint) ในขณะรันโปรแกรม
- 6) Instrument เป็นเมนูคำสั่งที่ใช้ในการ Load, Unload และแก้ไข เครื่องมือที่นำมาใช้งาน
- 7) Library เป็นเมนูคำสั่งที่เข้าถึงไลบรารีของ Function Panels ใน LabWindows/CVI
- 8) Window เป็นเมนูคำสั่งที่ใช้ในการเปิดหน้าต่างใดๆ ขึ้นมาเพื่อทำการแสดงและแก้ไขรวมทั้งการเปลี่ยนหน้าต่างใช้งาน
- 9) Options เป็นเมนูคำสั่งที่ใช้กำหนดค่าสิ่งแวดล้อมต่างๆ ใน LabWindows/CVI และใช้จัดการยูทิลิตี้ต่างๆ ใน Project Window
- 10) Help เป็นเมนูคำสั่งที่ให้ความรู้เกี่ยวกับ LabWindows/CVI

1.4.2 Work Area

เป็นส่วนที่ใช้ในการรวมรวมไฟล์ต่างๆ ที่จะนำมาสร้างเป็น Project File

2. ตัวอย่างการเขียนโปรแกรมการสร้างสัญญาณ Sine

เมื่อทำการเข้าโปรแกรม LabWindows/CVI โปรแกรมจะเข้าสู่ส่วนของหน้าต่าง Project Window ให้เลือกเมนูคำสั่ง File และเลือกคำสั่ง New จากนั้นเลือกคำสั่ง User Interface (*.uir)... จะเข้าสู่หน้าต่าง User Interface Editor Window หลังจากนั้นให้เลือกเมนูคำสั่ง Create เพื่อทำการสร้าง Panels, Menu Bars และ Controls ต่างๆ สำหรับการสร้างสัญญาณ Sine ตั้งแสดงในภาพประกอบ



ภาพประกอบ ก แสดงการสร้าง Panel, Controls ในหน้าต่าง User Interface Editor Window
สำหรับโปรแกรมการสร้างสัญญาณ Sine

จากภาพประกอบ ก มีส่วนประกอบต่างๆ ดังนี้

Sinewave

→ เป็น Square Command Button Control ทำหน้าที่เป็นปุ่มคำสั่งสร้างสัญญาณ Sine โดยการคำนวณใช้ฟังก์ชันที่ชื่อ AcquireData

Trace Color

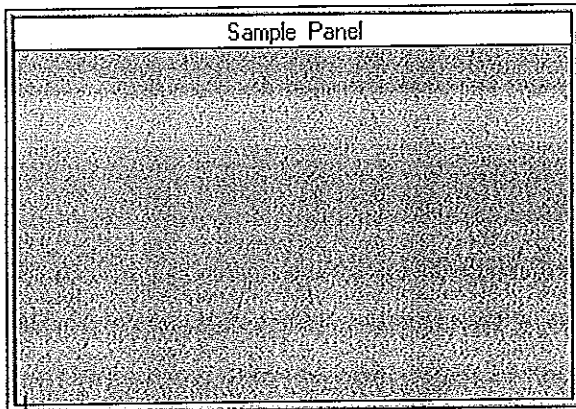
→ เป็น Color Numeric Control ทำหน้าที่กำหนดสีของเส้นที่ใช้ในการแสดงสัญญาณ Sine

Quit

→ เป็น Square Command Button Control ทำหน้าที่เป็นปุ่มคำสั่งยกเลิกการทำงานของโปรแกรม โดยใช้ฟังก์ชันที่ชื่อ Shutdown

Waveform

→ เป็น Graph Control ทำหน้าที่แสดงสัญญาณ Sine เมื่อมีการเดือกดูปุ่มคำสั่ง Sinewave



▶ เป็น Panel ทำหน้าที่เสมือนแผ่นกระดาษที่ใช้ในการติดตั้ง Menu Bars และ Controls ต่างๆ

นอกจากนี้ให้ทำการกำหนดคุณสมบัติ (Attribute) ของ Panel และ Controls ต่างๆ ที่แสดงอยู่ในภาพประกอบ ก5 โดยการเลื่อนเมาส์ไปที่ Panel และ Controls ที่ต้องการแล้วทำการคลิกเมาส์สองครั้ง เสร็จแล้วให้ทำการบันทึกเป็นชื่อไฟล์ Sample.uir จะเห็นเดียวกันโปรแกรมก็จะสร้าง Include File ที่ชื่อ Sample.h และในภาพประกอบ ก6 ซึ่งเกิดขึ้นเองหลังจากได้ไฟล์ Sample.uir หลังจากนั้นให้กลับไปยังหน้าต่าง Project Window แล้วทำการเลือกเมนูคำสั่ง File เลือกคำสั่ง New เลือกคำสั่ง Source (*.c)... ตามลำดับ โปรแกรมจะเข้าสู่หน้าต่าง Source Window ให้ทำการเขียนโปรแกรมด้วยภาษา C/C++ สำหรับการเขียนโปรแกรมการสร้างสัญญาณ Sine และในภาพประกอบ ก7 เสร็จแล้วให้ทำการบันทึกตั้งชื่อไฟล์เป็น Sample.c

```

<1> C:\thesis\sample.h
File Edit View Build Run Instrument Library Window Options Help

#include <userint.h>
#ifndef __cplusplus
    extern "C" {
#endif

/* Panels and Controls: */
#define PANEL 1
#define PANEL_QUIT 2
#define PANEL_ACQUIRE 3
#define PANEL_GRAPH 4
#define PANEL_COLOR 5

/* Menu Bars, Menus, and Menu Items: */
/* (no menu bars in the resource file) */

/* Callback Prototypes: */
int CVICALLBACK AcquireData(int panel, int control, int event,
    void *callbackData, int eventData1, int eventData2);
int CVICALLBACK Shutdown(int panel, int control, int event,
    void *callbackData, int eventData1, int eventData2);

#endif

```

ภาพประกอบ ก6 แสดงรายละเอียดของไฟล์ Sample.h ที่เกิดขึ้นเองหลังจากได้ไฟล์ Sample.uir

```

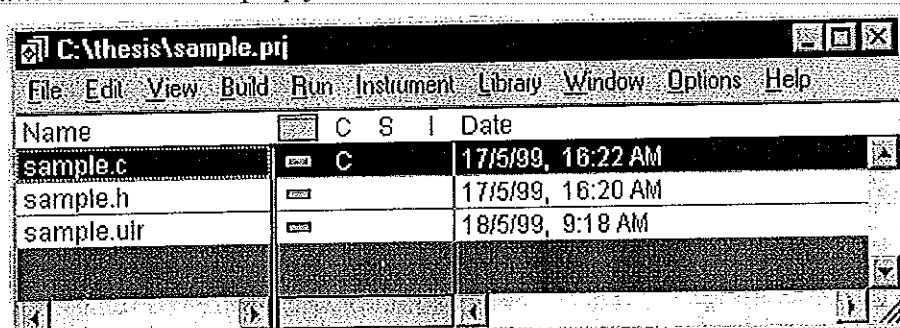
<1> C:\thesis\sample.c
File Edit View Build Run Instrument Library Window Options Help

#include <userint.h>
#include <analysis.h>
#include <ansi_c.h>
#include "sample.h"
int handle; double datapoints[100];
int main(int argc, char *argv[])
{ if (InitCVIRTE (0, argv, 0) == 0)
    return (-1); /* out of memory */
  if ((handle = LoadPanel (0, "sample.uir", PANEL)) < 0)
    return -1;
  DisplayPanel (handle); RunUserInterface ();
  return 0;
}
int CVICALLBACK AcquireData(int panel,int control,int event,
                             void *callbackData, int eventData1, int eventData2)
{ int trace_color, i;
  if (event == EVENT_COMMIT) {
    for (i=0;i<100;i++)
      datapoints[i]=50 * sin(((2*3.1415926539)/100)*i))+50;
    GetCtrlVal (handle, PANEL_COLOR, &trace_color);
    DeleteGraphPlot (handle, PANEL_GRAPH, -1, 1);
    PlotY (handle, PANEL_GRAPH, datapoints, 100, VAL_DOUBLE,
           VAL_THIN_LINE,VAL_EMPTY_SQUARE,VAL_SOLID,1,trace_color);
  }
  return(0);
}
int CVICALLBACK Shutdown(int panel, int control, int event,
                        void *callbackData,int eventData1,int eventData2)
{ if (event == EVENT_COMMIT)
    QuitUserInterface(0);
  return(0);
}

```

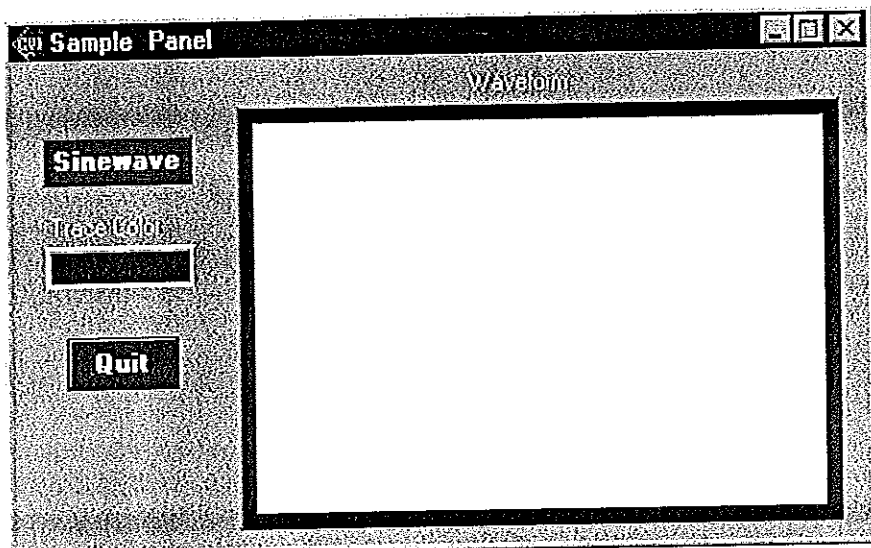
ภาพประกอบ ก 7 แสดงรายละเอียดของไฟล์ Sample.c สำหรับโปรแกรมการสร้างสัญญาณ Since

เมื่อเปิดโปรแกรมเสร็จแล้ว คำค้นต่อไปให้คลิปไปยังหน้าต่าง Project Window แล้วเลือก เมนูคำสั่ง Edit เลือกคำสั่ง Add Files To Project... เลือกคำสั่ง All Files [...]... เลือกไฟล์ Sample.c, Sample.h และ Sample.uir แล้วเลือกปุ่มคำสั่ง Add ตามด้วยปุ่มคำสั่ง OK ตามคำค้น เมื่อทำการรวมรวมไฟล์ Sample.c, Sample.h และ Sample.uir มาสร้างเป็น Project File เสร็จแล้วให้ทำการบันทึกตั้งชื่อไฟล์เป็น Sample.prj ดังแสดงในภาพประกอบ ก 8



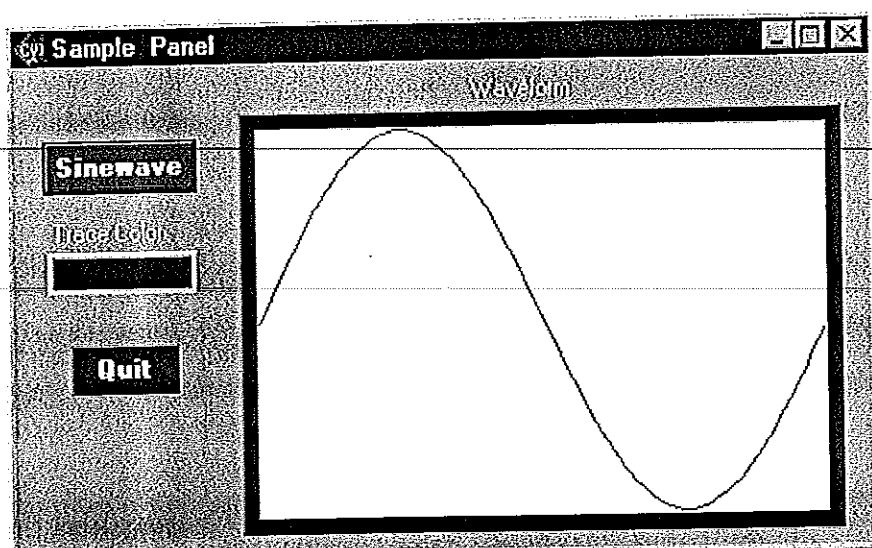
ภาพประกอบ ก 8 แสดงหน้าต่าง Project Window ของไฟล์ Sample.prj

จากภาพประกอบ ก8 ให้เลือกเมนูคำสั่ง Run และเลือกคำสั่ง Run Project โปรแกรมจะเข้าสู่หน้าจอการทำงาน ดังแสดงในภาพประกอบ ก9



ภาพประกอบ ก9 แสดงหน้าจอการทำงานที่เกิดขึ้น ไฟล์ Sample.prj

จากภาพประกอบ ก9 ให้เลือกปุ่มคำสั่ง Sinewave โปรแกรมจะทำงานและแสดงผลดังภาพประกอบ ก10



ภาพประกอบ ก10 แสดงผลลัพธ์ที่ได้จากการทำงานของโปรแกรมการสร้างสัญญาณ Sine

ภาคผนวก ข. คุณสมบัติและรายละเอียดของкар์ด Lab-PC-1200/AI

A/D Converter ที่ใช้ในการแปลงสัญญาณอนาลอกเป็นดิจิตอล สำหรับระบบตรวจวินิจฉัย ผู้ป่วยที่มีปัญหาการกลืน จะเป็นการ์ด Lab-PC-1200/AI ของบริษัท National Instruments ซึ่งสามารถเลือกบนสล็อตของในโครคอมพิวเตอร์ ข้อต่อของ การ์ด Lab-PC-1200/AI แสดงอยู่ในภาพประกอบ ข1

ACH0	1	2	ACH1
ACH2	3	4	ACH3
ACH4	5	6	ACH5
ACH6	7	8	ACH7
AISENSE/AIGND	9	10	NC
AGND	11	12	NC
DGND	13	14	PA0
PA1	15	16	PA2
PA3	17	18	PA4
PA5	19	20	PA6
PA7	21	22	PB0
PB1	23	24	PB2
PB3	25	26	PB4
PB5	27	28	PB6
PB7	29	30	PC0
PC1	31	32	PC2
PC3	33	34	PC4
PC5	35	36	PC6
PC7	37	38	EXTTRIG
NC	39	40	EXTCONV*
OUTB0	41	42	GATB0
OUTB1	43	44	GATB1
CLKB1	45	46	OUTB2
GATB2	47	48	CLKB2
+5V	49	50	DGND

ภาพประกอบ ข1 แสดงตำแหน่งของข้อต่อบนการ์ด Lab-PC-1200/AI

1. Lab-PC-1200/AI จะมีคุณลักษณะทางเทคนิคดังนี้

1.1 Analog Input

1.1.1 Input Characteristics

จำนวนของช่องสัญญาณ	Eight single-ended, eight pseudodifferential or four differential, software selectable
ชุดคิดของ ADC	Successive approximation
Resolution	12 bits, 1 in 4,096
อัตรา Sampling สูงสุด	100 kS/s single channel
ช่วงของสัญญาณอินพุต	

Board Gain (Software- Selectable)	Board Range (Software-Selectable)	
	± 5 V	0 to 10 V
1	± 5 V	0 to 10 V
2	± 2.5 V	0 to 5 V
5	± 1 V	0 to 2 V
10	± 500 mV	0 to 1 V
20	± 250 mV	0 to 500 mV
50	± 100 mV	0 to 200 mV
100	± 50 mV	0 to 100 mV

Input coupling	DC
Voltage สูงสุดที่ใช้งาน (signal + common mode)	ถ้าเป็น Negative Input ใช้ ± 5 V (Bipolar input range) หรือ -5 ถึง $+2$ V (Unipolar input range) ของ AGND ถ้าเป็น Positive Input ใช้ -5 V ถึง $+10$ V ของ AGND
Overvoltage protection	± 35 V powered on, ± 25 V powered off
Inputs protected	Analog channel 0 through 7 signals
การถ่ายข้อมูล	DMA, interrupts, programmed I/O

1.1.2 Transfer Characteristics

DNL	± 1 LSB max
No missing codes	12 bits, guaranteed
Offset error	
Pregain error after calibration	10 μ V max
Pregain error before calibration	± 20 mV max
Postgain error after calibration	1 mV max
Postgain error before calibration	± 200 mV max
Gain error (relative to calibration reference)	
After calibration	0.02% of reading max
Before calibration	$\pm 2\%$ of reading max

1.2 Amplifier Characteristics

Input impedance	
Normal powered on	100 G Ω in parallel with 50 pF
Powered off	4.7 k Ω min
Overload	4.7 k Ω min
Input bias current	± 100 pA
Input offset current	± 100 pA

1.3 Dynamic Characteristics

1.3.1 Bandwidth

Small signal (-3 dB)

Gain	Bandwidth
1-10	250 kHz
20	150 kHz
50	60 kHz
100	30 kHz

Settling time for full-scale step

Gain	Settling Time (Accuracy $\pm 0.024\%$ (± 1 LSB))
1	10 μ s typ, 14 μ s max
2-10	13 μ s typ, 16 μ s max
20	15 μ s typ, 19 μ s max
50	27 μ s typ, 34 μ s max
100	60 μ s typ, 80 μ s max

1.4 Stability

Recommended warm-up time 15 min

Offset temperature coefficient

Pregain $\pm 15 \mu V/^{\circ}C$

Postgain $\pm 100 \mu V/^{\circ}C$

Gain temperature coefficient $\pm 40 \text{ ppm}/^{\circ}C$

1.5 Bus Interface

Type Slave

1.6 Power Requirement

Power consumption

Lab-PC-1200AI 150 mA at \pm 5 VDC (\pm 5%)

Power available at I/O connector

+4.65 to +5.25 V fused at 1 A

1.7 Physical

Dimensions

17.45 by 10.56 cm

(6.87 by 4.16 in.)

I/O connector

50-pin male

1.8 Environment

Operating temperature

0° to 50° C

Storage temperature

-55° to 150° C

Relative humidity

5% to 90% noncondensing

ประวัติผู้เขียน

ชื่อ นายวิเชียร วาทีกานท์

วัน เดือน ปีเกิด 26 กรกฎาคม 2516

วุฒิการศึกษา

วุฒิ	ชื่อสถาบัน	ปีที่สำเร็จการศึกษา
วิศวกรรมศาสตร์บัณฑิต (คอมพิวเตอร์)	มหาวิทยาลัยสงขลานครินทร์	2539

ทุนการศึกษา (ที่ได้รับในระหว่างการศึกษา)

ทุนบัณฑิตศึกษาภายในประเทศ สำนักงานพัฒนาวิทยาศาสตร์และเทคโนโลยีแห่งชาติ (สวทช.)

ตำแหน่งและสถานที่ทำงาน

ตำแหน่ง ผู้ช่วยผู้จัดการฝ่ายผลิต

บริษัท ไอ.เอ็ม. จำกัด

75/2 หมู่ 8 ถ.ยะลา-ปัตตานี ต.บ้านนา อ.ยะลา จ.ยะลา

โทรศัพท์ 431311-4 โทรสาร 431315